



IMAGINAȚIE, CREATIVITATE, DESIGN, DEZVOLTARE

Lucrările
Sesiunii Naționale de Comunicări
Științifice Studentești ICDD 2010 Sibiu

Sibiu 2010

ISSN 2065-927X

IMAGINAȚIE, CREATIVITATE, DESIGN, DEZVOLTARE

**Lucrările
Sesiunii Naționale de Comunicări Științifice Studentești**

**Ediția a II-a
Sibiu, 23 – 24 Aprilie, 2010**

**UNIVERSITATEA “LUCIAN BLAGA” SIBIU, FACULTATEA DE
ȘTIINȚE
CATEDRA DE INFORMATICĂ**

**Lucrările Sesiunii Naționale de Comunicări Științifice Studentești
“Imaginație, Creativitate, Design, Dezvoltare”
Ediția a II-a, Sibiu, România**

Editor *Prof. Univ. Dr. Dana Simian*

Comitet Științific

Prof. Univ. Dr. Dana Simian – presedinte (chair)

Prof. Univ. Dr. Valer Roșca

Conf. Univ. Dr. Ioan Pop

Lector Univ. Dr. Florin Stoica

Lector Univ. Dr. Mircea Neamțu

Lector Univ. Dr. Daniel Hunyadi

Lector Univ. Drd. Ralf Fabian

Colectiv tehnoredactare

Prof. Univ. Dr. Dana Simian

Prep. Univ. Laura Cacovean

Design copertă

Stud. Nechifor Vasile Nicușor

ISSN 2065 – 927X

Motto:

“There are no limits, only your imagination”

Prefață

Prezentul volum reunește lucrările prezentate la a doua ediție a Sesiunii Naționale de Comunicări Științifice Studentești “Imaginație, Creativitate, Design, Dezvoltare”, desfășurată la Universitatea „Lucian Blaga” din Sibiu, în perioada 23-24 Aprilie 2010, organizată de către Catedra de Informatică din cadrul Facultății de Științe.

Scopul sesiunii de comunicări este de a reuni studenți din toate centrele universitare din țară pentru a prezenta și a discuta rezultate originale obținute în toate ariile tematice ale domeniului informatică: informatică teoretică, algoritmică, proiectarea și construirea de software, trimiterea datelor prin rețele, noi abordări în probleme de securitate, etc.

Sesiunea științifică include și o secțiune specială dedicată elevilor de liceu.

Mulțumim tuturor participanților, colectivului de organizare și colectivului științific, pentru contribuția adusă la succesul acestei manifestări științifice și la realizarea prezentului volum.

Prof. Univ. Dr. Dana Simian

CUPRINS

Partea I - Secțiunea dedicată STUDENȚILOR

<i>SIE-Search Inject Exploit</i>	5
Iulian Alexe, Stelian Morariu, Gheorghe Doda Coordonator: Lector univ. Dr. Mircea Iosif Neamțu	
<i>Active Shape and Appearance Models</i>	8
Adriana Ban, Diana Cristea Coordonator: Lector univ. drd. Ralf Fabian	
<i>Tehnici de planificare practică a drumurilor pentru caractere cu mișcare autonomă din jocuri de strategie</i>	16
Bota Florentin Coordonator: Lector univ. drd. Ralf Fabian	
<i>Impactul legăturilor între elemente din conjuncturi diferite într-un mediu SSD</i>	23
Francesco Capuzzo Coordonator: Prof. univ. Dr. Dana Simian	
<i>Soluție mobilă pentru cumpărături - sHELPy</i>	26
Luiza Cicone Coordonator: Asist. univ. drd. Ing. Alexandru Radovici	
<i>Portarea bibliotecii OpenYMSG pe platforma Android</i>	30
Domnina Burcă-Florea, Marius Constantinescu Coordonator: Asist. univ. drd. Ing. Alexandru Radovici	
<i>Multi-axis encoder using quadrature signals</i>	34
Tudor Consantinescu Coordonator: Asist. univ. drd. Ing. Alexandru Radovici	
<i>FPGA song composer</i>	41
Alexandra Elena Dragomir Coordonator: Asist. univ. drd. Ing. Alexandru Radovici	
<i>Human Brain Capillary Recognition</i>	51
Florin-Robert Drobotă Coordonator: Lector univ. Dr. Vlad Monescu	
<i>3D animation method from a fixed angle</i>	63
Iulian Flester, Ivascu Carina Coordonator: Lector univ. Dr. Anca Vasilescu	

<i>Arhitectura orientata pe servicii in e-marketing</i>	70
Valentina Lazar	
Coordonator: Lector univ. drd. Ralf Fabian	
<i>Computational methods in medical imaging analysis</i>	75
Grigore Lupescu	
Coordonator: Lector univ. Dr. Mircea Olteanu	
<i>Optimizarea sarcinilor cotidiene</i>	81
Laura Nechifor, Daiana Teona Negulici	
Coordonator: Asist univ. drd. Ing. Alexandru Radovici	
<i>Sistem de management și gestiune a parcurilor</i>	86
Dragoș Iulian Obancea	
Coordonator: Lector univ. Dr. Lucian Sasu	
<i>Maze - Joc interactiv</i>	98
Vasile Nechifor Nicusor, Sorin Radu Daniel	
Coordonator: Prof. univ. Dr. Dana Simian	
<i>Agenda electronica</i>	104
Raluca Pandaru	
Coordonator: Lector univ. Dr. Lucian Sasu	
<i>CineStar – a movie application</i>	110
Popa Bogdan Constantin	
Coordonator: Prep. univ. drd. Baicoianu Alexandra	
<i>Modelarea și simularea fenomenelor care apar la nivelul Poligonului Willis</i>	117
Cristina Elena Roman	
Coordonator: Lector univ. Dr. Vlad Monescu	
<i>Sistem de Management al Informatiei</i>	129
Rusu Andrei, Volosincu Mihai Bogdan	
Coordonator: Prof. univ. dr. Dana Simian	
<i>Agent SQL Express</i>	135
Mihai Stancu	
Coordonator: Prof. univ. Dr. Dana Simian	
<i>AI in 3D Gaming – AICon</i>	140
Lucian Stoica	
Coordonator: Prof. univ. Dr. Dana Simian	
<i>Aplicație Android pentru Localizarea Persoanelor cu Ajutorul Google Maps</i>	146
Monica Stoicescu	
Coordonator: Asist. univ. drd. Ing. Alexandru Radovici	

<i>Maya number converter</i>	150
Zoltan Tamasi, Zsigmond-Attila Szasz Coordonator: Lector univ. Dr. Anca Vasilescu	
<i>Sistem de recomandări bazat pe extragerea regulilor de asociere</i>	157
Claudia Vîrnă Coordonator: Lect. univ. Dr. Lucian Sasu	
 Partea a II-a - Secțiunea dedicată ELEVILOR	
<i>Aplicații grafice în C++</i>	170
Diana Nastase, Adina Gaja, Claudiu Bruda Coordonator: Prof. Monica Oancea	
<i>SWOOP – A P2P Application</i>	174
Victor-Gabriel Savu, Andra-Florina Mureșanu Coordonator: Prof. Delilah Florea	
Lista de autori	180

**Sesiunea Națională de Comunicări Științifice a Studenților
"Imaginație, Creativitate, Design, Dezvoltare"
Editia a II-a, Sibiu – România, 2010**

PARTEA 1

Secțiunea dedicată studenților

SIE-Search Inject Exploit

Alexe Iulian, Morariu Stelian, Doda Gheorghe
Coordonator: Lector univ. Dr. Mircea Iosif Neamțu

Abstract

Even though web programming level is reasonably advanced, even in Romania, there are still a lot of web sites that incorporate security vulnerabilities in the database layer of the web site. A technique that exploits these kinds of vulnerabilities is called SQL Injection and is the subject of this paper.

A successful attack using a SQL Injection could lead to the access and modification of the web site's database, which translates into extraction and modification of : ID's, passwords, e-mail addresses, home addresses, phone numbers-basically everything that is stored and used by the web site.

In this state of mind, we developed the application named SIE (Search Inject Exploit) to provide web programmers with a tool that searches vulnerable links of their web site (i.e. a product page), attempts to perform a SQL Injection and finally try to find the admin login page and *crack* the MD5 hashed password (inappropriately called "crack" because we are actually using Rainbow tables). The application is structured on three tabs, each corresponding to the actions performed by the application and, if you take into consideration that this is a project in development, it could be considered an All-In-One database security testing utility.

1 Introducere

Sql injection este una dintre cele mai comune vulnerabilități ale aplicațiilor de net și totodată una din cele mai fatale metode de a „exploata” un site, putând afla informații confidențiale din baza de date prin intermediul interogărilor SQL.

Această vulnerabilitate este fatala mai ales azi când informația pe web a evoluat atât de mult și majoritatea informațiilor despre persoane, conturi bancare, cumpărături online, etc. sunt ținute în baze de date pe servere, de aceea securitatea trebuie să fie maximă.

Atacurile SQL reprezintă o amenințare serioasă asupra oricărui site care are implementă o bază de date. În ciuda acestor riscuri un număr foarte mare de site-uri sunt susceptibile unei astfel de forme de atac.

2 Descriere Program

2.1 Metode de gasire a Vulnerabilității SQL Injection

Pentru un link: `http://www.numesite.ro/fisier.php?id=1` linia de cod caracteristică php-ului poate fi: `$sql = "SELECT * FROM users WHERE id=" . $_GET['id'];`

Variabila id este preluată cu GET din URL și afișată.

Pentru a vedea dacă link-ul este vulnerabil se adaugă un apostrof după secvența "id=1", adică : `http://www.numesite.ro/fisier.php?id=1'`

Apare o eroare de forma:

You have an error in your SQL syntax; check the manual that corresponds to your MySQL server version for the right syntax to use near ''' at line

Aici intervine programul nostru în descoperirea acestui tip de vulnerabilitate și verificarea securității site-ului.

Metoda de testare a posibilității de extragere a datelor din baza de date este prin interogarea bazei de date "information_schema" care se creează automat atunci când se creează un user nou cu acces la baza de date. Această baza de date conține informații cu privire la toate celelalte baze de date ale unui user și date generale despre utilizator. Aplicația folosește funcții în care sunt declarate interogările SQL speciale pentru testarea accesului la date.

2.2 Metode de evitare a vulnerabilități SQL Injection

- setarea obținerii `magic_quotes` în Php pe enable;
- folosirea funcției php `mysql_real_escape_string()`;
- folosirea funcțiilor php `is_numeric()` și `ctype_digit()`;
- folosirea fișierelor apache `.htaccess`.

3 Codul sursă a programului

Numele funcțiilor principale folosite și descrierea lor:

```
private void ListDB() // listază bazele de date pe care le conține site-ul vulnerabil;
```

```
private void ListTables() // listează tabelele din bazele de date;
```

```
ListColumns() //listează coloanele din tablele existente;
```

```
private void GetData() // preia datele din coloanele site-ului;
```

```
private string ConvertToHex(string asciiString) // convertește URL-ul în Hex;
```

```
public void DBTreeNode(string adddb) // organizează structura bazei de date;
```

```
private void ShowStatus() // afisează acțiunea curentă.
```

4 Concluzii

Pe viitor o să dezvoltăm aplicația să suporte :

- testarea bazelor de date MsSQL, Oracle, MsAccess, Mysql Blind;
- citirea de fișiere de pe server;
- scrierea de fișiere pe server;
- executarea de comenzi (pentru serverele Windows);
- introducerea manuala a sintaxei de injectare.

Bibliografie

- [1] <http://www.c-sharpcorner.com/>.
[2] <http://pentestmonkey.net/blog/mysql-sql-injection-cheat-sheet/>
[3] <http://www.milw0rm.com/>

Alexe Iulian
Universitatea Lucian Blaga
Facultatea de Stiinte
Informatica
Str. Dr. Ioan Raiu, nr. 5-7, Sibiu
ROMÂNIA
E-mail: iulian.alex@ulbsibiu.ro

Morariu Stelian
Universitatea Lucian Blaga
Facultatea de Stiinte
Informatica
Str. Dr. Ioan Raiu, nr. 5-7, Sibiu
ROMÂNIA
E-mail: modev_st@yahoo.com

Doda Gheorghe
Universitatea Lucian Blaga
Facultatea de Stiinte
Informatica
Str. Dr. Ioan Raiu, nr. 5-7, Sibiu
ROMÂNIA
E-mail: godlike_affairs@yahoo.com

Active Shape and Appearance Models

Adriana Ban, Diana Cristea
lect. univ. drd. Ralf Fabian

Rezumat

Statistical models of shape and appearance are powerful tools for interpreting medical images. We assume a training set of images in which corresponding ‘landmark’ points have been marked on every image. From this data we can compute a statistical model of the shape variation, a model of the texture variation and a model of the correlations between shape and texture. With enough training examples such models should be able to synthesize any image of normal anatomy. By finding the parameters which optimize the match between a synthesized model image and a target image we can locate all the structures represented by the model. Two approaches to the matching will be described. The Active Shape Model essentially matches a model to boundaries in an image. The Active Appearance Model finds model parameters which synthesize a complete image which is as similar as possible to the target image. By using a ‘difference decomposition’ approach the current difference between target image and synthesized model image can be used to update the model parameters, leading to rapid matching of complex models. We will demonstrate the application of such models to a variety of different problems.

Keywords: Shape Models, Appearance Models, Model Matching

1 Introducere

Multe probleme în interpretarea imaginilor medicale implică necesitatea unui sistem automatizat care să înțeleagă imaginile ce îi sunt prezentate, aceasta presupunând ca sistemul respectiv să fie capabil să descopere structura imaginii și să o înțeleagă. Acest lucru implică în mod necesar utilizarea unor modele care descriu și etichetează anumite structuri. Aplicațiile reale sunt caracterizate prin nevoia de a face față interpretării structurilor complexe și imaginilor incomplete. De asemenea, este adesea imposibil să interpretezi o imagine fără a avea în prealabil cunoștințe de anatomie.

Metodele bazate pe modele oferă potențiale soluții la toate aceste probleme. Cunoștințe anterioare legate de acestea pot fi folosite, în principiu, la rezolvarea unor potențiale confuzii cauzate de complexitatea structurală, de lipsa unor date, și să ofere un mijloc de reîntregire a structurilor. Se dorește aplicarea cunoștințelor referitoare la formele structurilor, relațiile lor spațiale pentru a preveni interpretările greșite ale sistemului. De interes special, sunt modelele de tip generator, care sunt suficient de complete pentru a fi în măsură să genereze imagini realiste ale obiectelor țintă. Un exemplu ar fi un model ”față” capabil să genereze imagini convingătoare ale oricărei persoane, schimbându-le expresia, ș.a.m.d. Folosind un astfel de model, interpretarea imaginii poate fi formulată ca o problemă de potrivire: fiind dată o imagine pentru a fi interpretată, structurile pot fi localizate și etichetate prin ajustarea parametrilor modelului într-un mod în care se generează o imagine ”imaginată” care este cât mai apropiată de realitate.

Deoarece aplicațiile reale implică adesea lucrul cu clase de obiecte care nu sunt identice, trebuie să ne confruntăm cu variabilitatea. Acest lucru ne duce în mod natural la ideea de modele deformabile - modele care mențin caracteristicile esențiale ale clasei de obiecte pe care le reprezintă, dar care se pot

deforma pentru a se potrivi unei serii de exemple. Există două caracteristici importante pe care am dori ca aceste modele să le posede. În primul rând, ar trebui să fie generale, adică să fie capabile să genereze orice exemplu plauzibil din clasa pe care o reprezintă. În al doilea rând, și cel mai important, ar trebui să fie specifice, adică ar trebui să fie capabile să genereze doar modele plauzibile, deoarece scopul este obținerea unei interpretări plauzibile. Pentru a obține anumite modele de obiecte diferite trebuie să știm cum variază acestea.

O abordare interesantă este de a instrui sistemul folosind un set de imagini corespunzătoare. Vom descrie mai jos cum modele statistice pot fi construite pentru a reprezenta atât forma cât și "textura" (modelul intensității pixelilor) exemplelor de structuri de interes. Aceste modele pot generaliza folosindu-se de setul de imagini de instruire și pot fi utilizate pentru a se potrivi unor noi imagini, localizând structura în imagini. Două abordări vor fi prezentate. Primul model, modelul Active Shape (ASM), se concentrează pe potrivirea unui model pe o imagine, de obicei, potrivirea unui contur pe marginile structurii țintă. Al doilea model, modelul Active Appearance (AAM), încearcă să sintetizeze apariția completă a imaginii țintă, alegând parametri care să reducă diferența dintre imaginea țintă și imaginea generată de model. Ambii algoritmi s-au dovedit a fi rapizi, exacti și fiabili.

2 Cadru general

Variabilitatea inter- și intra-personală a structurilor biologice face ca interpretarea imaginilor medicale să fie o sarcină destul de dificilă. În ultimii ani s-a dezvoltat un interes considerabil pentru metodele care folosesc modele deformabile pentru a interpreta imagini. Una dintre motivații este aceea de a obține performanțe prin utilizarea modelului pentru a constrânge soluțiile până la a fi exemple valide ale structurilor modelate. De o importanță fundamentală este faptul că, odată ce s-a găsit un model care să corespundă unei imagini a unui pacient, etichete anatomice și valori de intensitate pot fi transferate direct. Aceasta constituie o bază pentru interpretarea anatomică automată și pentru fuziunea datelor în imagini diferite ale aceleiași persoane sau pe imagini similare ale unor persoane diferite. Pentru o analiză corespunzătoare a activității în acest domeniu există studii recente asupra modelelor deformabile în analiza imaginilor medicale.

3 Modele Active Shape (ASM)

Fiind dată o aproximare nu foarte bună a unui model, acesta din urmă se poate potrivi pe o imagine. Alegând un set de parametri de contur, \mathbf{b} , definim pentru un model conturul acestuia într-un cadru de coordonate centrat în obiect. Putem crea o instanță \mathbf{X} a modelului prin definirea poziției, orientării și scalei. O abordare iterativă pentru o potrivire cât mai bună este după cum urmează:

1. Se examinează o regiune a imaginii în jurul fiecărui punct X_i pentru a găsi cea mai bună potrivire pentru punctul X'_i .
2. Se updatează parametrii (t, b) pentru a se potrivi mai bine noilor puncte X găsite.
3. Se repetă până când se ajunge la o potrivire cât mai exactă.

În practică se dorește crearea unor modele cu un grad cât mai ridicat de folosință. Dacă, spre exemplu, ne gândim ca respectivul contur al modelului să corespundă, putem pur și simplu să localizăm adevărata margine a structurii (incluzând orientarea, dacă aceasta se cunoaște).

Cu toate acestea, punctele modelului nu se află întotdeauna în apropierea marginii structurii - acestea pot reprezenta o margine secundară sau o altă structură diferită. Cea mai bună abordare este ca sistemul creat să știe ce să caute în imaginea respectivă. Aceasta se face creând mostre în limitele profilului normal din setul de date de instruire și construind un model statistic.

3.1 Modelarea locală a structurii

Să presupunem că pentru un punct dat cream k pixeli de ambele părți ale punctului din model în a i -a imagine din setul de instruire. Avem $2k + 1$ mostre care pot fi ordonate într-un vector g_i . Pentru a reduce

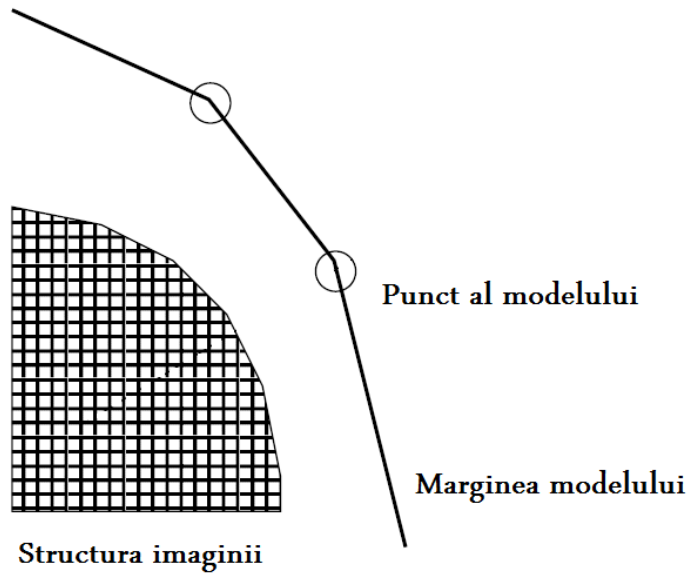


Figura 1: Pentru fiecare punct al modelului creăm mostre ale marginii

efectele schimbării intensității globale, creăm mostre ale derivatei de-a lungul profilului. Apoi aducem la normalitate mostra, divizând prin suma valorilor elementelor absolute,

$$g_i \rightarrow \frac{1}{\sum_j \|g_{ij}\|} g_i$$

Repetăm procesul pentru fiecare imagine din setul de instruire pentru a obține un set de mostre "normale" g_i pentru punctul modelului dat. În timpul căutării, creăm de-a lungul profilului, m pixeli de fiecare parte a punctului respectiv ($m > k$). Testăm apoi calitatea de potrivire cu modelul de nivel gri la fiecare dintre cele $2(m - k) + 1$ poziții posibile de-a lungul mostrei și alegem acela care se potrivește cel mai bine.

Aceasta se repetă pentru fiecare punct al modelului, sugerând o nouă poziție pentru fiecare punct. Apoi intersectăm poziția și forma parametrilor care potrivesc cel mai bine modelul la noile puncte, impunând constrângeri asupra pozițiilor punctelor.

3.2 Exemple

Figura 2 demonstrează cum ASM localizează trăsăturile feței. Modelul este plasat aproape de centrul imaginii și realizează o căutare exactă. Se realizează pași mari în primele câteva iterații, modelul apropiindu-se destul de mult de forma finală. Convergența finală (după un total de 18 iterații) oferă o oarecare potrivire cu imaginea țintă. În acest caz, cel mult 5 iterații fiind admise la fiecare rezoluție, iar algoritmul converge în mai puțin de o secundă (pe un calculator modern).

Figura 3 demonstrează cum ASM poate eșua dacă poziția inițială este prea departe de țintă. Deoarece se caută doar de-a lungul profilelor în jurul poziției curente, nu se poate corecta pe distanțe mari față de poziția curentă. Există două posibilități:

1. va diverge spre infinit sau
2. va converge la o soluție incorectă, realizând cea mai bună potrivire pe imaginea locală

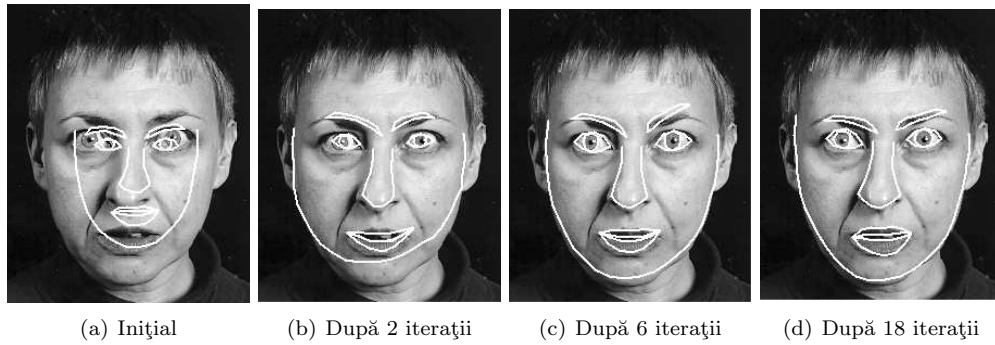


Figura 2: Căutare folosind ASM

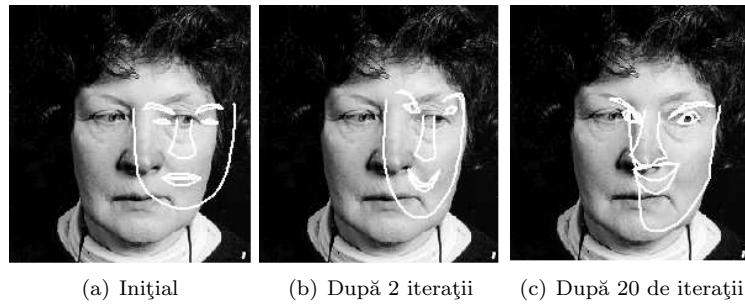


Figura 3: ASM poate eșua în găsirea unui rezultat acceptabil atunci când modelul nu este poziționat în apropierea structurii

În exemplul arătat, s-a putut localiza doar jumătate din față, cealaltă jumătate fiind prea departe. Figura 4 ne arată utilizarea ASM pe un cartilaj pentru a localiza structura într-o imagine nouă.

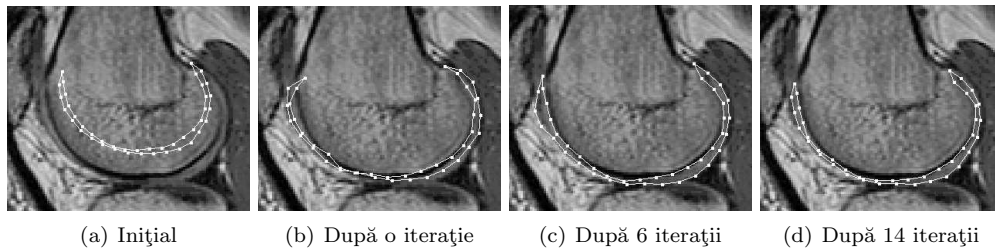


Figura 4: Căutarea unui cartilaj folosind ASM

4 Modele Active Appearance (AAM)

În această secțiune prezentăm algoritmul AAM. AAM este format din 2 componente: un model parametrizat al obiectului de studiat și o estimare a relației dintre parametrul erorilor și imaginea reziduală indusă.

Parametrii modelului apărut, notați cu c , și parametrul transformării conturului, notat cu t , definesc poziția unui punct al modelului în imaginea cadru, X , care ne dă conturul imaginii pe care vrem să o reprezentăm ca model. Pentru o potrivire mai bună a imaginii, eșantionăm pixeli în regiunea imaginii,

g_{im} , și a proiectului în textura modelului cadru, $g_s = T^{-1}g(im)$. Textura modelului curent este dată de $g_m = \bar{g} + P_g Q_g c$.

Diferența între model și imagine este dată de

$$r(p) = g_s - g_m \quad (1)$$

unde p este parametrul modelului, $p^T = (c^T | t^T | u^T)$. Un simplu scalar realizează diferența de măsură care este suma pătratelor elementelor r , $E(p) = r^T r$.

O primă ordine pentru extinderea Taylor (1) ne dă:

$$r(p + \delta p) = r(p) + \frac{\partial r}{\partial p} \delta p \quad (2)$$

unde elementul ij al matricii $\frac{\partial r}{\partial p}$ este $\frac{dr_i}{dr_j}$.

Să presupunem că timpul de potrivire rezidual este r . Trebuie să alegem $\pm p$ astfel încât să minimizăm $|r(p + \delta p)|^2$. Egalând relația (2) cu 0 vom obține o relație RSM:

$$\delta p = -Rr(p) \text{ unde } R = \left(\frac{\partial r^T}{\partial p} \frac{\partial r}{\partial p} \right)^{-1} \frac{\partial r^T}{\partial p} \quad (3)$$

Într-o schemă de optimizare standard ar fi necesar să recalculăm $\frac{\partial r}{\partial p}$ la fiecare pas, o operație costisitoare. Oricum, presupunem că, întrucât este calculat într-un cadru de referință normalizat, acesta poate fi considerat aproximativ fix. Estimăm $\frac{\partial r}{\partial p}$ de diferențială numerică, sistematic, deplasând fiecare parametru de la valoarea optimă cunoscută pe imagini tipice și calculate pe o medie de formare stabilite. Reziduale, la deplasări, de diferite mărimi sunt măsurate (de obicei, până la 0.5 deviații standard pentru fiecare parametru) și combinate cu un nucleu Gaussian pentru a le netezi.

Dupa ce recompunem R îl putem utiliza în toate cautiările ulterioare folosind modelul.

Folosind ecuația (3) putem sugera o corecție pentru a face în modelul parametric bazat pe o măsură reziduală r . Acest lucru ne permite să construim un algoritm iterativ pentru a optimiza problema noastră. Fiind dată o estimare curentă a modelului parametric, c , poziția t , textura transformării u , și imaginea simplă a estimării, g_{im} , un pas în algoritmul iterativ este următorul:

1. Proiectăm textura simplă în textura modelului cadru folosind $g_s = T_u^{-1}(g_{im})$;
2. Evaluăm vectorul de eroare, $r = g_s - g_m$, și eroarea curentă $E = |r|^2$;
3. Calculăm deplasările $\delta p = -Rr(p)$;
4. Actualizăm modelul parametric $p \rightarrow p + k\delta p$, unde inițial $k = 1$.
5. Calculăm noile puncte, X' și textura modelului cadru g'_m ;
6. Eșantionăm imaginea la noi puncte pentru a obține g'_{im} ;
7. Calculăm un nou vector al erorilor $r' = T_{u'}^{-1}(g'_{im}) - g'_m$;
8. Dacă $|r'|^2 < E$ acceptăm noua estimare, altfel încercăm cu $k = 0.5$, $k = 0.25$.

Această procedură se repetă până când nu are loc nicio îmbunătățire asupra erorii, $|r|^2$, și convergența este găsită. În practică se folosește o implementare a multor rezoluții, în care pornim de la o rezoluție brută și iterăm pentru a converge la fiecare nivel înainte de a proiecta soluția găsită la fiecare nivel al modelului. Acest mod este mai eficient și putem converge la soluția corectă.

4.1 Exemple de căutare AAM

De exemplu, în figura 5, avem un exemplu de AAM al unei structuri centrale al creierului provenită dintr-o poziție deplasată pe o imagine nevăzută anterior. Modelul poate fi reprezentat pe 10000 pixeli având 30 de c parametri. Această căutare durează o secundă pe un calculator modern. Figura 6 prezintă rezultatele unei căutări, cu punctele modelului găsit suprapuse pe imagini țintă. Deși am demonstrat doar în partea centrală a creierului, modelele pot fi construite în întreaga secțiune transversală.

Figura 4.1 arată primele două moduri unui astfel de model.

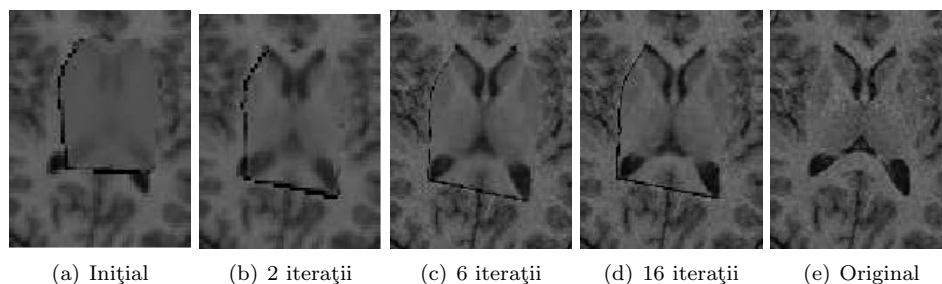


Figura 5: Căutare AAM multi-rezoluție

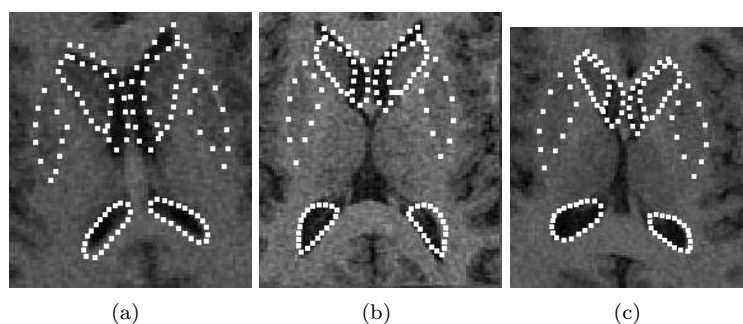


Figura 6: Rezultate ale căutării AAM

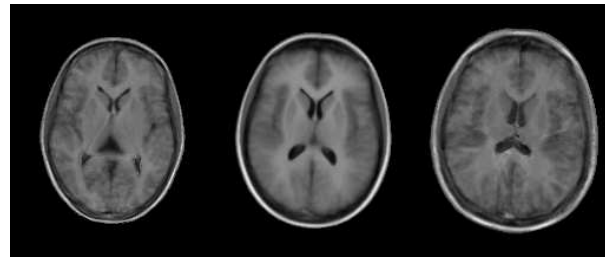
Modelul aspect se bazează pe existența de corespondenței între structuri în imagini diferite, și, astfel, pe o topologie coerentă în exemple.

Există situații în care acest algoritm eșuează după cum vom vedea din următorul exemplu.

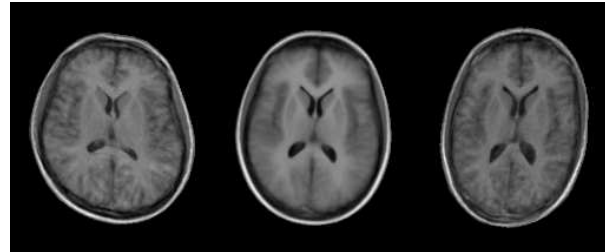
Figura 8 prezintă două exemple în cazul în care AAM nu a reușit să localizeze corect limitele pe imagini nevăzute. În ambele cazuri, exemplele demonstrează forma extremă variată mai mult de la medie, și este limita exterioară a faptului ca modelul nu poate localiza. Acest lucru se datorează faptului că probele modelului nu se găsesc în locația actuală. Acolo nu sunt întotdeauna suficient de multe informații pentru a conduce modelul spre exterior, pâna la frontiera exterioara corectă.

5 Discuții și concluzii

Am demonstrat că structurile de imagine pot fi reprezentate folosind modele statistice ASM și AAM. Atât ASM cât și AAM pot varia în moduri observate în formare stabilind deformări arbitrare care nu sunt permise. Potrivirile la o nouă imagine pot fi realizate rapid, fie folosind Active Shape Model fie Active Appearance Model cu algoritmi de model.

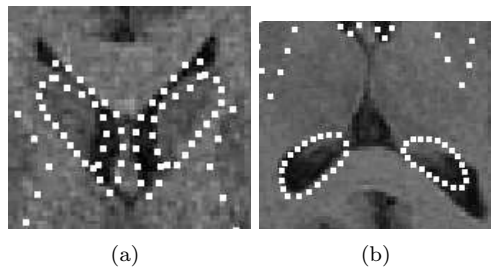


(a) $c1$ variază cu ± 2 s.d.s



(b) $c2$ variază cu ± 2 s.d.s

Figura 7: Primele două moduri ale AAM asupra unei secțiuni a creierului



(a)

(b)

Figura 8: AAM nu găsește întotdeauna marginile corecte ale ventriculelor (vezi text)

5.1 Aplicații ale AAM și ASM

ASM a fost folosit pentru a localiza vertebre în imagini ale coloanei vertebrale, oase și proteze în radiografii de înlocuitori de șold, structuri în imagini MR a creierului, și contururile ventriculelor în ecocardiograme. Ambele au fost utilizate în interpretarea fețelor. Abordări pot fi extinse la 3D, și au fost folosite pentru a interpreta volumul unor imagini.

5.2 Comparații între ASM și AAM

ASM caută în jurul locației curente, de-a lungul profilelor, astfel încât tind să aibă o gamă de captare mai mare decât AAM care examinează numai imaginea direct sub zona sa curentă.

ASM utilizează numai datele din jurul punctelor de model, și nu profită de toate informațiile la nivel de gri disponibile în cadrul unui obiect așa cum procedează AAM. Cu toate acestea, punctele de pe model tind să fie locuri de interes, în cazul în care există cele mai multe informații. Dacă de exemplu s-ar pregăti un AAM să caute numai folosind informații din zonele din apropierea granițelor puternic limitate - dar acest lucru ar necesita o imagine având mai puține probe prelevate în timpul de căutare, astfel un algoritm mai rapid din punct de vedere al potențialității.

Un avantaj al AAM este acela că se poate construi un model convingător cu un număr relativ mic de

repere. ASM are nevoie de puncte, astfel încât să definească direcțiile potrivite pentru căutare. Pentru a obține imagini de etichetare fiabile este nevoie de cât mai puține repere necesare pentru a obține rezultate cât mai bune.

În general, am constatat că ASM este mai rapidă și mai precisă realizând locații punctate mai caracteristice decât AAM. Cu toate acestea, deoarece minimizează în mod explicit erori, textura AAM dă rezultate mai bune la textura imaginii.

5.3 Extinderi ale ASM și AAM la 3-D

Abordări ale ASM și AAM au fost demonstrate în 2-D, în 3D ele fiind extensibile. Complicațiile principale sunt mărimea modelelor și dificultatea de a obține rezultate bune. Obținerea unor corespondențe în imagini 3D este dificilă dar este obiectul cercetării actuale. Extinderea ASM la 3D este relativ simplă, având în vedere un set adecvat de imagini adnotate. Profile modelate și eșantion sunt pur și simplu luate de-a lungul liniilor prin imagini 3D ortogonale locale pe o suprafață.

În teorie extinderea AAM este simplă, dar în practică modelele ar fi extrem de mari. Fiecare mod al aspectului modelului este de mărimea unui complet 3D de imagine, dar vor fi necesare multe moduri pentru a reprezenta imaginea. O abordare mai practică este probabil să fie doar de prelevare de probe în benzi în jurul granițelor de interes.

Abordări pot fi, de asemenea, extinse în domeniul temporal, pentru a urmări obiecte prin intermediul secvențelor, de exemplu, granița inimii în ecocardiograme.

5.4 Concluzii

Am arătat cum modele statistice de aspect pot fi reprezentate în medie în moduri de variație de forma și textura structurilor care apar în imagini. Astfel de modele pot fi adaptate la noi imagini rapid și fiabil, fie folosind algoritmi ASM sau AAM. Metodele sunt aplicabile pentru o mare varietate de probleme și oferă un cadru util pentru interpretarea automată a imaginii.

Bibliografie

- [1] T. F. Cootes, C. J. Taylor, *Statistical models of appearance for medical image analysis and computer vision*.
- [2] T. F. Cootes, C. J. Taylor, D. H. Cooper, J. Graham, *Active Shape Models - Their Training and Application*
- [3] T. F. Cootes, C. J. Taylor, *Statistical Models of Appearance for Computer Vision*

Ban Adriana
Universitatea "Lucian Blaga" Sibiu
Facultatea de Științe
Str. Dr. Ioan Rațiu nr. 5-7
ROMÂNIA
E-mail: ban.adriana@yahoo.com

Cristea Diana
Universitatea "Lucian Blaga" Sibiu
Facultatea de Științe
Str. Dr. Ioan Rațiu nr. 5-7
ROMÂNIA
E-mail: diana.cristea25@yahoo.com

Tehnici de planificare practică a drumurilor pentru caractere cu mișcare autonomă din jocuri de strategie

Bota Florentin

Coordonator: Lector univ. drd. Ralf Fabian

Abstract

The purpose of this project is to review and develop different pathfinding algorithms used mainly in computer games but also in some real-world applications. In this study, different programming languages were used, in order to display different examples correctly, but the most important parts were written in Java environment, using the free IDE Eclipse. Once again Java proves itself to be a real asset in the creation of simple examples but fully equipped to solve more complex operations.

The last section contains an implementation of the A* algorithm on a personal RTS game, currently in an alpha stage, written for the better understanding of computer graphics and Artificial Intelligence.

1 Introducere și descriere

Planificarea drumurilor sau **pathfinding** se referă la găsirea drumului optim dintre punctele A și B de către o aplicație informatică și constă în metode mai avansate de rezolvare a problemelor de tip labirint.

Din punctul de vedere al dezvoltării de jocuri, pathfinding-ul se ocupa de felul în care o entitate cu mișcare autonomă găsește o parcurgere, ocolind obstacole. După cum vom observa în următoarele secțiuni, nu este necesar ca acel drum să fie cel mai scurt dacă asta ar încetini prea mult sistemul de calcul pe care rulează aplicația. Un rezultat apropiat de cel optim este de preferat situației în care un număr mare de unități (*sprites*) ar utiliza toate resursele atribuite jocului doar pentru a calcula mișcările pe care urmează să le facă.

Din același motiv, cei mai buni algoritmi se bazează pe calcule euristice, obținând un plus de viteză într-un mediu ce tinde spre un număr de FPS (Frames per Second) cât mai mare.

Acești algoritmi sunt utilizați în mod frecvent în jocuri de strategie în timp real (RTS), în care jucătorul direcționează caracterele într-o zonă virtuală extinsă ce conține diverse obstacole, însă sunt întâlniți în majoritatea tipurilor de jocuri. Importanța aplicării corecte a acestora a crescut proporțional cu complexitatea lumilor virtuale în care se desfășoară acțiunea.

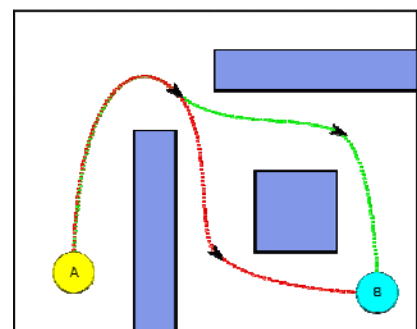


Fig. 1: Rute echivalente în ocolirea unui obstacol

Pe lângă industria jocurilor, algoritmi de pathfinding își găsesc utilitatea în cele mai diverse domenii, de la transmiterea informațiilor prin Internet, la sistemele GPS și chiar la programarea noilor generații de roboți.

Ideea de bază a planificării drumurilor în jocuri este folosirea reprezentării terenului sub formă de noduri, ce pot fi așa numitele *tiles* (dale de teren) din care e formată de obicei lumea într-un RTS, sau *waypoints* (puncte de direcție) ce sunt adăugate manual și folosite în principal în shooter FPS (First Person Shooter) dar și în alte jocuri 3D.

Într-un joc modern, indiferent de tipul său, simpla găsim a celui mai rapid drum nu este suficientă, întrucât de obicei se pune problema mai multor entități ce se mișcă în același timp pe hartă, așadar e necesară implementarea unor algoritmi specializați pentru evitarea conglomerării pe puncte de interes major (fig. 2.1) sau chiar pe coliziunea dintre unități.

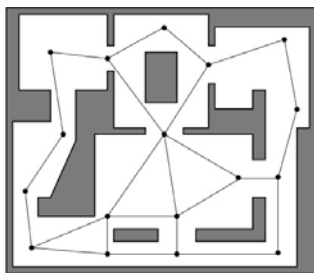


Fig. 2.1: Exemplu de waypoints pe o hartă poligonală
Sursa: Mat Buckland, Programming Game AI by Example

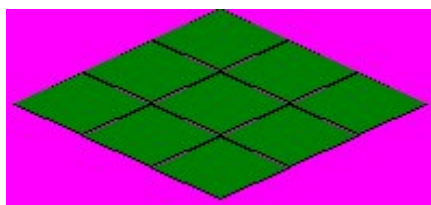


Fig. 2.2: Exemplu de hartă bazată pe celule
Sursa: DelphyX Game Tutorial One, Michael Dundee - <http://edn.embarcadero.com/article/22928>

2 Interpretare

2.1 Tipuri de creare a grafului în funcție de tipul hărții

Deoarece lumea virtuală în care se află agenții autonomi poate fi de mai multe tipuri, și metodele de gândire și reprezentare a grafului de drumuri pot fi dintre cele mai diverse. În funcție de dimensiunea hărții, tipul de grafică folosită (2D/3D) dar și de tipul jocului, conexiunea dintre nodurile grafului și reprezentarea vizuală variază de la o aplicație la alta.

2.1.1 Lumea bazată pe celule (tiles)

Jocurile bazate pe celule (tiles) așa cum sunt RTS-urile și seriile de jocuri-război au de obicei medii virtuale imense, complexe, bazate pe pătrate sau hexagoane. Așadar, pare normal construirea grafului navigațional în jurul acestora. Fiecare nod reprezintă centrul celulei, iar marginile acesteia vor conține nodurile de legătură dintre celulele alăturate. Uneori, un cost poate fi atribuit în funcție de tipul celulei, astfel mișcarea printr-o mlăștină fiind mai greoaie decât pe un drum, spre exemplu, sau ocolirea unui deal poate fi mai rapidă decât urcarea lui etc.

Dezavantajul acestei metode este însă numărul mare de noduri, deoarece chiar și o hartă de 100x100 celule are nevoie de 10000 de noduri și ~78000 de muchii. Adăugând la acestea și un număr mare de unități, găsim drumului optim devine o problemă mai complexă.

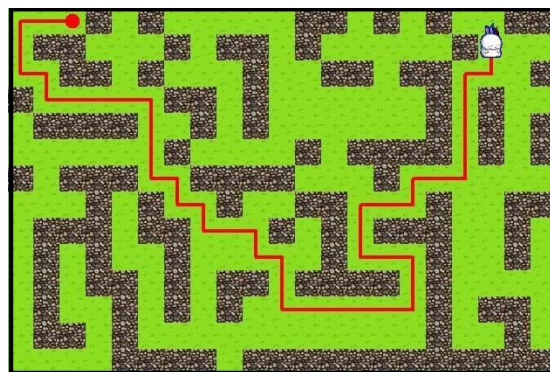


Fig. 3: Pathfinding pe o hartă bazată pe celule
Sursa: Cognition for Machines- <http://www.cognaxon.com/index.php?page=educational>

2.1.2 Puncte de vizibilitate

Un joc bazat pe puncte de vizibilitate(POV-fig. 2) este creat, de obicei, prin adaugarea manuală a unor puncte de interes astfel încât fiecare nod al grafului are viziune directă cel puțin asupra altui nod. Poziționate cu grijă, nodurile grafului pot conecta toate zonele importante ale geometriei hărții. Avantajul acestei metode este că geometria grafului poate fi ușor modificată în funcție de diferitele cerințe ale evenimentelor ce vor avea loc în locuri prestabilite (ambuscadă, pândă, atac etc), iar dacă lumea este construită din poligoane, acestea pot fi folosite pentru a crea automat punctele de vizibilitate (fig. 4).

Dezavantajul major al acestei metode este faptul că în cazul hărților de dimensiuni mari programatorul pierde foarte mult timp plasând manual puncte de interes, iar în cazul unor medii virtuale complexe este posibilă trecerea cu vederea a unor spații necartografiate, ce vor deveni invizibile pentru orice entitate din joc(asa cum se observă în figura alăturată).

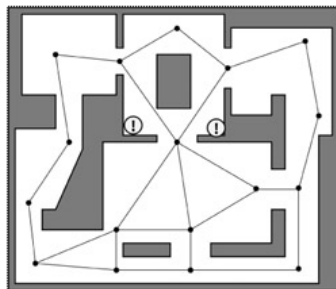


Fig. 4: Spații ce nu pot fi vizitate folosind punctele de navigare prestabilite
Sursa: Mat Buckland, Programming Game AI by Example

2.1.3 Rețea de navigare (NavMesh)

O metodă ce se bucură de o popularitate crescută în rândul dezvoltatorilor de jocuri constă în folosirea unei rețele de poligoane convexe pentru a descrie zonele ce pot fi parcurse pe hartă. Un asemenea poligon convex are proprietatea de a permite mișcarea neobstrucționată între oricare două puncte ale sale. Astfel nodurile grafului pot conține un spațiu convex și nu un punct.

În figurile alăturate se poate observa diferența clară dintre mișcarea prin *waypoints* și *navmesh*.



Fig. 5.1: Navigarea de la punctul A la punctul B folosind o rețea de navigare
Sursa: Paul Tozour - <http://www.ai-blog.net/archives/000152.html>



Fig. 5.1: Navigarea de la punctul A la punctul B folosind un sistem de puncte navigaționale
Sursa: Paul Tozour – Solving Pathfinding

2.2 Căutarea Depth-First

DFS este un algoritm clasic de căutare sau parcurgere a unui arbore sau a unui graf, bazat pe stivă. Se începe de la rădăcină (sau de la un nod selectat în cazul grafului) și se explorează cât de departe este posibil pe fiecare ramură înainte de a se întoarce înapoi prin backtracking. După cum se observă, metoda va parcurge exhaustiv graful, executând o multitudine de mișcări inutile.

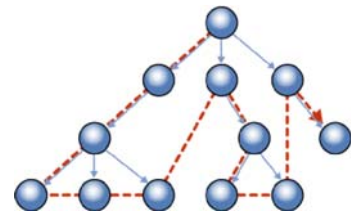


Fig. 6: Parcurgerea unui arbore folosind DFS

2.3 Căutarea Breadth-First

BFS este, de asemenea, o metoda clasică de căutare/parcurgere a unui graf, parcurgând sistematic fiecare soluție, folosind o coadă, pe principiul FIFO. Nu folosește o metodă euristică și nu ține cont de destinație decât în momentul în care o găsește. Dacă considerăm ca distanțele dintre noduri au același cost, distanța drumului minim este costul înmulțit cu nivelul pe care se află nodul destinație.

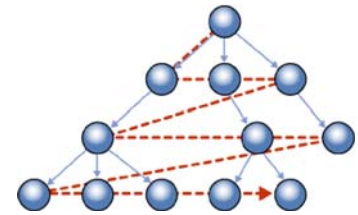


Fig. 7: Parcurgerea unui arbore folosind BFS

2.4 Algoritmii lui Dijkstra

O altă abordare clasică, însă de bază în căutarea drumului minim într-un graf îl reprezintă algoritmul lui Dijkstra, conceput în 1959 de omul de știință olandez Edsger Dijkstra, ce rezolvă problema drumului minim într-un graf cu muchii pozitive, calculând drumul minim între un nod al grafului și toate celelalte noduri ale acestuia. Acesta este folosit îndeosebi în problemele de rutare din rețelele informatice.

2.4.1 Pași:

1. Se creează o listă cu distanțe, o listă cu nodul anterior, o listă cu nodurile vizitate și un nod curent.
2. Toate valorile din lista cu distanțe sunt inițializate cu o valoare infinită, cu excepția nodului de start, care este setat cu 0.
3. Toate valorile din lista cu nodurile vizitate sunt setate cu fals.
4. Toate valorile din lista cu nodurile anterioare sunt inițializate cu -1.
5. Nodul de start este setat ca nodul curent.
6. Se marchează ca vizitat nodul curent.
7. Se actualizează distanțele, pe baza nodurilor care pot fi vizitate imediat din nodul curent.

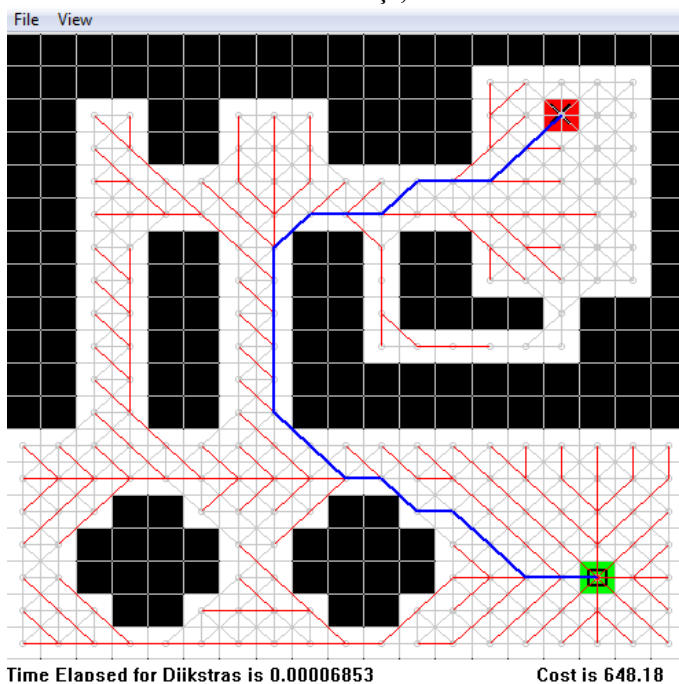


Fig. 8: Găsirea drumului de cost minim într-un labirint folosind algoritmul lui Dijkstra
-Nodurile vizitate sunt marcate cu roșu
Sursa: O'Reilly, Killer Game Programming in Java - Pathfinding

8. Se actualizează nodul curent la nodul nevizitat care poate fi vizitat prin calea cea mai scurtă de la nodul de start.
9. Se repetă (de la punctul 6) până când toate nodurile sunt vizitate.

În figura 8 se observă drumul minim găsit de aplicarea algoritmului Dijkstra, iar timpul de execuție este unul dintre cele mai bune, bazat pe complexitatea $O(|E| + |V| \log |V|)$ în cel mai rău caz posibil (E-nr. de muchii, V-nr. de noduri/vertecși).

Următorul algoritm, A*, considerat printre cele mai bune în pathfinding, este practic o versiune al algoritmului lui Dijkstra, îmbunătățit prin adăugarea unei funcții euristice și eliminarea operațiilor considerate inutile.

3 A* (A star)

A* este un algoritm de căutare bazat pe cel mai apropiat minim ce găsește drumul optim dintr-un nod inițial și un nod destinație, folosind o funcție distanță+cost euristică $f(x)$ pentru a determina ordinea în care sunt vizitate nodurile din graf.

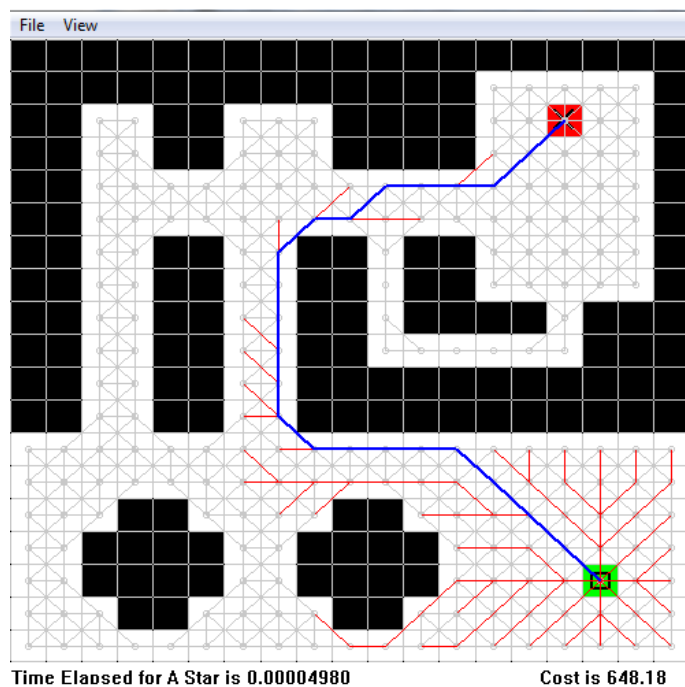
Funcția este formată din suma altor două funcții:

- funcția de cost notată de obicei $g(x)$
- și o estimare euristică admisibilă a distanței până la destinație – $h(x)$

Estimarea trebuie să fie admisibilă, însemnând că nu trebuie să supraestimeze distanța până la nodul destinație. În unele aplicații, această distanță poate fi dată și de o simplă linie ce conectează nodurile, deoarece este cea mai mică distanță posibilă între două puncte.

Observăm în graficul de mai jos aceeași problemă de pathfinding din fig. 8 rezolvată de data aceasta folosind algoritmul A*.

Notabilă este mult mai bună gestionarea a memoriei, deoarece s-au făcut foarte puține operații inutile în drumul spre nodul destinație (liniile cu roșu), lucru dovedit și de timpul de execuție cu 30% mai rapid. Chiar dacă valoarea finală este aceeași, observăm că drumul este puțin diferit.



În cele ce urmează vom explica pas cu pas cum funcționează acest algoritm și ce îi permite să ruleze cu un spor de performanță așa mare.

La nivel de practică, diferența dintre un procedeu euristic și unul clasic este asemănătoare cu o persoană care știe în ce direcție se află destinația și încearcă să păstreze direcția ocolind obstacolele și un robot, încercând toate ușile până când găsește soluția optimă, fără să țină cont de direcție. Din această perspectivă, un rol foarte important îl are funcția de estimare.

Fig. 9: Găsirea drumului de cost minim într-un labirint folosind algoritmul A*

-Nodurile vizitate și direcția sunt marcate cu roșu
Sursa: O'Reilly, Killer Game Programming in Java

3.1 Pașii algoritmului:

1. Se adaugă nodul de start în listă.
2. Repetă:
 - a. Căutăm nodul cu cea mai mică valoare din listă și îl considerăm nodul curent.
 - b. Îl marcăm vizitat
 - c. Pentru fiecare din cele 8 celule adiacente...
 - Dacă nu se poate folosi sau e deja vizitată, îl ignorăm. Altfel:
 - Dacă nu e în listă îl adaugăm și marcăm nodul curent drept părinte al acestuia. Înregistrăm costurile F,G și H ale nodului.
 - Dacă este deja în listă, verificăm dacă această cale este mai bună, iar în caz afirmativ schimbăm părintele nodului cu cel curent și recalculăm G și F
 - d. Ne oprim când:
 - Nodul destinație a fost marcat ca și vizitat.
 - Nu am ajuns la nodul destinație și lista este goală. În acest caz nu există drum.
3. Salvăm drumul, parcurgând invers șirul de părinți.

3.2 Exemplu:

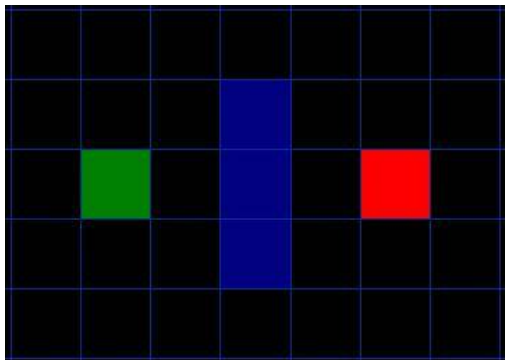


Fig. 10.1: Un exemplu simplu de problemă de tip labirint. Punctul verde este sursa, iar cel roșu destinația
Sursa: Patrick Lester, A* Pathfinding for Beginners

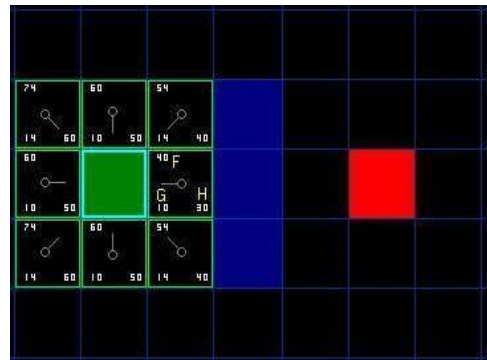


Fig. 10.2: Considerăm punctul inițial drept punct de plecare și marcăm apoi toți vecinii săi, alături de costul de parcurgere aferent și direcția față de părinte
Sursa: Patrick Lester, A* Pathfinding for Beginners



Fig. 10.3: Din nodurile marcate selectăm nodul cu valoare minimă conform funcției de cost și marcăm vecinii acestuia iar apoi pașii se repetă pentru următorul nod cu valoarea minimă etc
Sursa: Patrick Lester, A* Pathfinding for Beginners

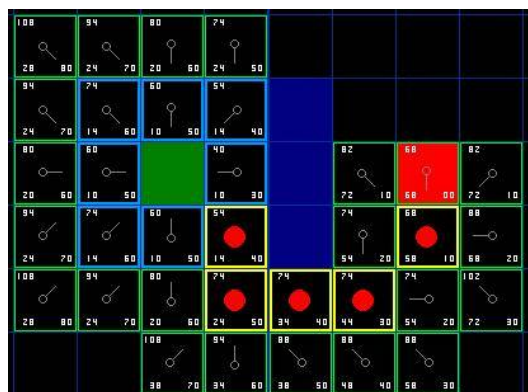


Fig. 10.4: Graficul final ne arată pașii realizați dar și drumul de cost minim găsit parcurgând invers mișcările algoritmului. Se observă că nu au fost parcurse toate nodurile grafului.
Sursa: Patrick Lester, A* Pathfinding for Beginners

4 Mediul și modul de programare

Așa cum am putut observa pe parcurs, găsirea drumului optim este o problemă cu o complexitate ridicată, îndeosebi datorită puterii totuși limitate de calcul a PC-urilor dar și a altor sisteme de calcul. Pe lângă găsirea drumului minim, în dezvoltarea unui joc mai intervin factori, cum ar fi:

1. Collision detection
2. Probleme de fizică
3. Congestionarea punctelor de interes sporit
4. Mișcări coordonate etc



Fig. 11: <http://www.java.com/en/>



Fig. 12: <http://www.eclipse.org/>

Mediul de programare ales este unul mai puțin obișnuit, însă care a realizat progrese notabile în direcția graficii 2D și 3D și ne pune la dispoziție unelte perfecte pentru realizarea sarcinilor propuse.

Java este un limbaj de programare orientat-obiect puternic, conceput de Sun Microsystems la începutul anilor 90, caracterizat de motto-ul „Write once, run everywhere”, bazat pe o mașină virtuală ce poate rula orice program scris în java pe aproape orice platformă de calcul.

Environment-ul folosit, Eclipse, este open-source și este susținut de fundația Eclipse.

5 Concluzii și dezvoltări ulterioare

- Realizarea unui joc complex de strategie în timp real (RTS) scris în Java care să rezolve cu succes diversele probleme legate de pathfinding-ul unităților din joc, Goal Behaviour și alte probleme de AI.
- Portarea acestui joc pe alte platforme de calcul disponibile
- O mai bună înțelegere a modului în care funcționează sistemele grafice ale sistemelor de calcul
- Aprofundarea cunoștințelor privind mediul de dezvoltare Java

Bibliografie

- [1] Mat Buckland, Programming Game AI by Example, Wordware Publishing, 2005
- [2] http://en.wikipedia.org/wiki/A*_search_algorithm
- [3] http://en.wikipedia.org/wiki/Dijkstra's_algorithm
- [4] O'Reilly, Killer Game Programming in Java, May 2005
- [5] DelphyX Game Tutorial One, Michael Dundee, <http://edn.embarcadero.com/article/22928>,
- [6] Paul Tozour, Solving Pathfinding, <http://www.ai-blog.net/archives/000152.html>
- [7] Patrick Lester, A* Pathfinding for Beginners

Bota Florentin
Anul III de studiu
Universitatea „Lucian Blaga” din Sibiu
Facultatea de Științe, Catedra de Informatică
Sibiu, str dr. Ioan Rațiu, nr 5-7
botaflorentin@yahoo.com

Impactul legăturilor între elemente din conjuncturi diferite într-un mediu SSD

Francesco Capuzzo

Coordonator: Prof. Univ. Dr. Dana Simian

Abstract

The paper presents a new and original method for re-thinking a Decisions Support System (DSS) from a different perspective. A fact is seen as the result of a situation of equilibrium, where the two scales are a conjuncture and the event generated by it. Furthermore, in this work are described the relations between the elements of one or more conjunctures, named links. As the description of the internal and external links becomes exhaustive, the more successful will a DSS be.

1 Introducere

Metoda prezentată vrea să exploreze noi posibilități de a gândi metodologia de abordare a sistemelor suport pentru decizii (SSD) într-un mediu managerial. Un SSD de succes este acela care asistă și nu înlocuiește elementul uman. Plecăm de la următoarea premiză: elaborarea deciziei constă în crearea de cunoștințe noi și este realizată de capacitățile cognitive folosind elementele de cunoaștere deja existente în depozitul de cunoștințe sau achiziționate în acest scop. Folosirea capacităților cognitive presupune interpretarea realității, adică abstractizarea. Acest lucru este necesar pentru a putea crea metadate care vor fi elaborate de calculator. Față de calculator, omul are, printre celelalte, următoarele capacități deosebit de dezvoltate: conceptualizarea, intuiția și creativitatea. Metoda descrisă în această lucrare încearcă să ajute utilizatorul să folosească aceste capacități cât mai bine pentru a obține un set de metadate care, pe lângă datele de intrare, vor fi introduse în calculator. Acesta va restitui, din acest motiv, informații mult mai utile și previziuni cât mai apropiate de realitate. De aceea este foarte important să vedem un sistem suport pentru decizii ca un parteneriat între resursele și capacitățile utilizatorului uman și a calculatorului. În acest parteneriat este necesar un nivel înalt de interacțiune între utilizator și calculator, aceasta fiind o facilitate a mediului de lucru SSD, care furnizează oportunități pentru utilizator să ghideze calculatorul în acele arii ale procesului de decizie cum ar fi conceptualizarea și intuiția, unde abilitățile utilizatorului sunt de departe superioare calculatorului. Automatizarea ar trebui restricționată la monitorizarea activităților de rezolvare a problemelor, detectarea conflictelor, executarea evaluărilor și a secvențelor de căutare și planificare.

2 Mediul SSD, conjuncturi, legături

În dezvoltarea unui SSD, vom folosi termenii conjunctură, eveniment, legături. Lucrarea de față se va concentra numai asupra acestor 3 elemente. Când vorbim de o conjunctură, ne gândim la totalitatea elementelor și a legăturilor care permit funcționarea armonioasă a unui mediu de afaceri, fiind acesta comercial, industrial, agricol sau de servicii. O funcționare armonioasă permite atingerea obiectivelor dorite. De asemenea, capacitatea de a reconstitui conjuncturile, ne va permite să avem un instrument puternic pentru a înțelege cauzele unui eveniment și pentru a putea face previziuni pe viitor. De obicei, SSD-urile focalizează atenția asupra conjuncturilor firmei luate în considerare. Acest lucru reprezintă o mare limitare atunci când vrem să obținem previziuni de către sistemul nostru. Fiind economia de piață un mediu deschis în care competiția generează situații neașteptate, este evident că succesul oricărei firme depinde considerabil și de relația ei cu exteriorul. Din acest motiv este fundamental să avem la dispoziție un instrument pentru recunoașterea și abstractizarea legăturilor externe.

Sistemul suport pentru decizii trebuie proiectat ca un set de instrumente și nu ca un set de soluții la un set de probleme predeterminat. Natura nedeterminată a problemelor complexe nu ne permite să prevedem cu un anumit grad de certitudine circumstanțele specifice ale problemelor viitoare sau termenii precizi ai soluției. În aceste circumstanțe este mai constructiv să furnizăm instrumente care vor extinde capacitățile decidentului într-un mediu foarte interactiv pentru rezolvarea de probleme. O reprezentare înaltă a obiectelor din lumea reală, care definesc relațiile sistemului de probleme, formează baza interacțiunii dintre utilizatori și sistem și de asemenea, gradul de inteligență care poate fi încapsulat în componentele sale. Sistemul suport pentru decizii trebuie să fie un sistem bazat pe cunoaștere. În acest context, cunoașterea poate fi descrisă ca o experiență derivată din observarea și interpretarea evenimentelor sau fenomenelor trecute, dar poate deriva și din studiul acelor simulări care s-au dovedit câștigătoare. Bazele cunoașterii captează această experiență în forma regulilor, studiilor de caz, practicilor standard, descrierea tipică a obiectelor și a obiectelor sistem care pot servi ca prototip. Aplicațiile de rezolvare a problemelor tipice manipulează aceste prototipuri prin adaptare, rafinare, mutație, analogie și combinare, pe care apoi le aplică soluției problemei curente.

3 Concluzii

Proiectul prezentat este în curs de dezvoltare din punctul de vedere a conceptelor, cât și a implementării. Pentru implementarea voi folosi mediul Visual Web Developer 2008, baze de date SQL Server 2005. Odată implementat, sistemul nu va furniza răspunsuri la întrebări, dar va permite utilizatorului, prin filtrări, recunoașteri și comparații, să identifice relațiile de cauză/efect și să simuleze noi situații de echilibru. O firmă de obicei judecă în termeni de bilanț și PPM. Metoda prezentată, vrea să pună în discuție corectitudinea evaluării trecutului pentru a stabili, de exemplu, că o situație acceptată ca fiind pozitivă nu a fost atare; în consecință vor trebui luate măsuri pentru a îmbunătăți performanțele viitoare. Acest proces nu este altceva decât stabilirea unui nou target. De fapt necesitatea stabilirii unui target mai greu de atins decât cel precedent, este la fel ca a spune că targetul precedent, care poate a fost atins cu succes, nu a fost stabilit după potențialul resurselor umane ale firmei. Totuși, procesul de formare a resurselor umane cere timp și trebuie efectuat treptat. Această constrângere este o piedică psihologică care limitează imaginația angajaților și managerilor firmei. Metoda prezentată vrea să furnizeze instrumente pentru recunoașterea potențialelor probleme și/sau oportunități, și în același timp vrea să

sporească imaginația și creativitatea în mediul firmei. Sistemul va permite utilizatorilor să folosească la maxim acele caracteristici umane care deosebesc omul de calculator: conceptualizarea, intuiția și creativitatea. Datele vor fi elaborate din această priză, abstractizate și furnizate calculatorului sub forma de metadate, spre obținerea uneia sau mai multor soluții ale problemei de rezolvat

Bibliografie

- [1] BÎZOI Mihai, *Sisteme suport pentru decizii. Utilizare. Tehnologii. Construire*, Academia Română, Secția Știința și Tehnologia Informației, Institutul de Cercetări pentru Inteligența Artificială, 2007
- [2] COURTNEY James F., *Decision making and knowledge management in inquiring organizations: towards a new decision-making paradigm for DSS*, Elsevier, 2001.S
- [3] CHINNECK John W., *Feasibility and Infeasibility in Optimization*, Springer, 2008.

Surse Internet

- 1: <http://en.wikipedia.org/wiki/TRIZ>
- 2: <http://www.ideationtriz.com/new/materials/TbMainpostulates.pdf>
- 3: www.ktree.it/ktimg/file/Un'introduzione%20all'I-TRIZ.pdf
- 4: <http://www.triz-journal.com/archives/2006/12/09.pdf>
- 5: <http://www.eclipse.org/birt/phoenix/>
- 6: <http://rapid-i.com/>

CAPUZZO FRANCESCO
Universitatea Lucian Blaga, Facultatea de Științe
Informatică
Str. Dr. Ioan Rațiu, nr. 5-7, Sibiu
ROMÂNIA
E-mail: francesco.capuzzo@gmail.com

Soluție mobilă pentru cumpărături - sHELPy

Luiza Cicone

Coordonator: Asist. univ. Ing. Alexandru Radovici

Abstract

sHELPy este o aplicație destinată telefoanelor mobile, dezvoltată pe platforma Google Android, ce își propune să faciliteze gestionarea cumpărăturilor. Ea permite crearea, modificarea și partajarea unei liste de cumpărături și în plus realizarea de profile particularizate în funcție de produse sau magazine. Aplicația folosește diferite module integrate de Google, ca de exemplu localizarea utilizatorului sau trimiterea de alerte.

1 Introducere

Obiectivul companiei Google în domeniul telefoniei mobile este să transforme aceste terminale în mijloace de accesare a Internetului, cu ajutorul motorului de căutare Google și să folosească, eventual, alte servicii ale companiei. Astfel a fost lansat Google Android care nu este doar un sistem de operare ci și o platformă mobilă ce cuprinde mai multe funcționalități. Sistem de operare mobil (având la bază sistemul de operare Linux, cu toate avantajele oferite de acesta privind securitatea informațiilor, fiabilitate și performanță), framework de dezvoltare, ce permite reutilizarea resurselor software între aplicații, browser web integrat, librărie grafică (2D cât și 3D), suport SQL, GSM, 3G, EDGE, Bluetooth, WiFi, GPS, camera video/foto și accelerometru. Inovația pe care o reprezintă Android se referă în special la programe. Google a pus la dispoziție dezvoltatorilor o platformă mobilă completă, de ultimă generație, le-a oferit acestora uneltele necesare dezvoltării de aplicații pentru această platformă, a făcut publice specificațiile și documentația. Dar, pe de altă parte, crearea unei astfel de aplicații nu este deloc ușoară datorită restricțiilor precum: ecranul mic, viteză și memorie reduse, ecranul tactil imprecis, eventuala lipsă a unei tastaturi [1].

În ziua de azi, lumea se confruntă cu problema lipsei de timp. Totul se face în mare viteză, una din consecințele acestui fapt fiind uitarea diferitelor taskuri importante. Partea bună este că au fost create gadgeturi ce ne simplifică gestionarea activităților. În plus, lumea are tendința de a nu ezita când își achiziționează un astfel de dispozitiv, lucru bun din punctul de vedere al producătorilor și al dezvoltatorilor de aplicații.

O analiză amănunțită a ofertei de aplicații pentru dispozitive mobile a arătat că există numeroase aplicații ce se ocupă cu gestionarea diferitelor baze de date, chiar și cu scopul de a crea o listă de cumpărături. Pe de altă parte recenta introducere de funcții de localizare pe telefoanele mobile a condus la dezvoltarea unui număr relativ mare de aplicații specifice. Aplicația propusă, sHELPy, aduce un element de noutate prin combinarea celor două tipuri de aplicații anterior descrise.

2 Descrierea aplicației

sHELPy este o aplicație utilitară ce propune gestionarea rapidă și eficientă a cumpărăturilor casnice precum și o serie de alte facilități aferente. Are o interfață grafică atractivă și ușor de folosit.

sHELPy este alcătuită din trei componente principale: aplicația propriu-zisă, widgetul și o bază de date. Widgetul este un mic dispozitiv ce se află pe desktopul telefonului mobil și păstrează o instanță din aplicație. Fie că utilizatorul vrea informații despre lista de cumpărături sau despre magazinele din apropiere, widgetul este în permanentă legătură cu aplicația și cu baza de date astfel încât să afișeze ceea ce i se cere.

Baza de date este partea din „spate” a aplicației, pe care utilizatorul o vede doar sub forma unei liste sau a unui profil. Ea stochează informații despre produse, magazine, setări. Astfel toate informațiile din aplicație sunt extrase de aici. Această bază de date este modelată cu ajutorul suportului SQL integrat de Android.

Aplicația propriu-zisă poate fi accesată prin widget sau din meniul telefonului. Se poate naviga ușor prin aceasta cu ajutorul butoanelor de control (start, înapoi) sau din meniu. Funcțiile principale sunt lista de cumpărături, alertele, localizarea și grupul de partajare a informațiilor.

2.1 Lista de cumpărături

Cea mai importantă funcție a aplicației este crearea listei de cumpărături (Fig. 1). Aici utilizatorul are de ales între adăugarea produselor proprii sau alegerea acestora dintr-o listă predefinită. La fiecare produs adăugat pot fi selectate atribute precum prioritatea (cu valori de la 1 la 5), cantitatea, unitatea de măsură, un preț estimativ și de asemenea pot fi alese magazinele de unde utilizatorul preferă să-și achiziționeze produsele dorite.

Ulterior, lista poate fi modificată cu ușurință cu ajutorul butoanelor din meniu: adăugare, respectiv editare și ștergere. Setările legate de unitățile de măsură, monedă pot fi modificate din meniul principal.

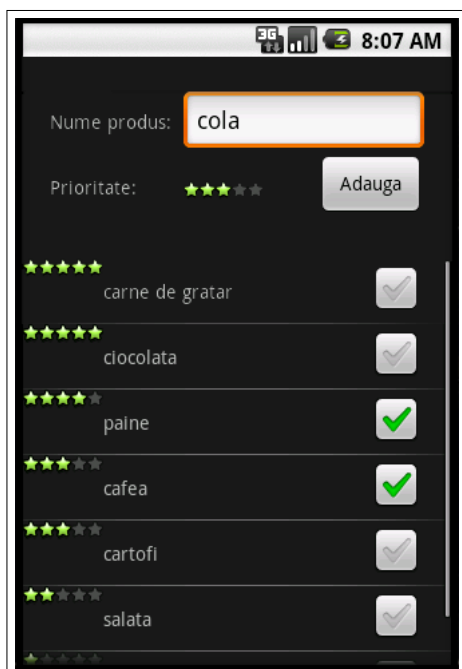


Fig. 1



Fig 2

2.2 Localizarea

sHELPy integrează modulul de localizare Google (Fig 2). Cu ajutorul acestuia, aplicația oferă utilizatorului date cu privire la poziția acestuia, adresa magazinelor, distanțele aferente sau diferite trasee pentru cumpărături. În funcție de setările făcute, această funcție poate filtra informațiile în raport cu alți parametri. Aglomerația la magazine sau pe bulevarde la orele de vârf sau programul magazinelor (zilele/orele în care acestea sunt închise).

2.3 Alertele

Aplicația permite realizarea unor alerte în cazuri prestabilite sau alese de utilizator. Aceste alerte pot fi programate periodic sau pentru anumite produse, grade de prioritate sau la apropierea de magazine. Spre exemplu dacă utilizatorul se apropie de un supermarket și are în lista de cumpărături câteva produse cu prioritate ridicată (5/5, de cumpărat în următoarele 24 de ore), primește alertă prin Widget, cu sau fără sunet (Fig. 3).

2.4 Grupul de partajare

O altă caracteristică utilă a aplicației este că informația din listă poate fi actualizată de către alte persoane prin rețeaua wireless. Pentru oricare listă utilizatorul poate seta membrii ce pot avea acces la aceasta cu drepturi de editare sau doar de citire (Fig 4). Din punctul în care avem o relație de partajare, fiecare dispozitiv se conectează la serverul aplicației și își actualizează informațiile din listă. Această operațiune se face în mod automat, fără a fi nevoie de actualizarea permanentă a utilizatorului.



Fig. 3

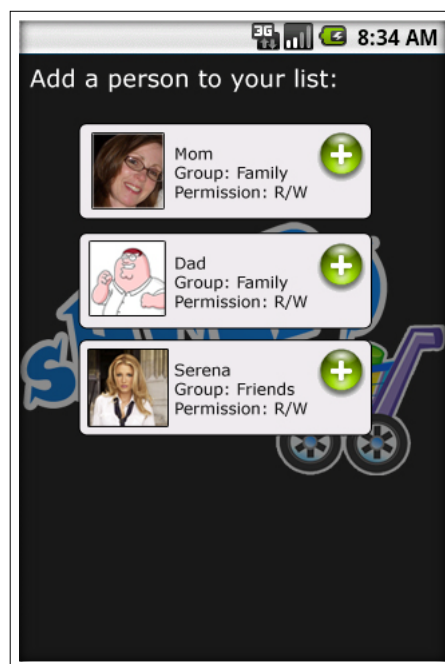


Fig 4

3 Dezvoltarea ulterioară

Prima îmbunătățire adusă aplicației va fi cea de creare de liste în mod automat, după preferințele utilizatorului. Acestea se pot realiza la intervale diferite de timp, lunar, săptămânal, cu sau fără alerte pentru produsele casnice uzuale.

De asemenea, aplicația este creată pentru o dezvoltare ulterioară folosind un modul SmartPrice. Acesta reprezintă o bază de date cu o varietate de produse și magazinele distribuitorilor. Conține prețuri, disponibilitate (în stoc) și de asemenea review-uri ale cumpărătorilor. Acest modul este foarte util deoarece permite realizarea anumitor economii. În cazul diferențelor de prețuri dintre magazine, organizează cumpărăturile astfel încât utilizatorul să iasă în avantaj (prețuri, drumuri, cantități).

O altă direcție de dezvoltare este colaborarea cu diferite rețele de socializare cum ar fi Facebook, MySpace, Twitter. Astfel, pentru crearea unei liste nu mai este nevoie ca utilizatorul să adauge fiecare membru în parte. Foarte simplu, acesta se conectează la baza de prieteni și alege cui să trimită o invitație. După ce o persoană acceptă o invitație, această poate accesa lista de cumpărături a aplicației, unde poate adăuga, modifica, selecta produse.

4. Concluzii

sHELPy este soluția potrivită pentru orice persoană dornică de o îmbunătățire a modului de viață. Este o aplicație rapidă, eficientă, ce se adresează oricărei persoane și are un foarte mare potențial de dezvoltare. Se mulează perfect pe tendințele actuale de a păstra legăturile cu prietenii, a accesa în permanență internet-ul și de a realiza o organizare potrivită a timpului. Elementul de originalitate îl constituie faptul că îmbină o bază de date cu Google Maps și cu funcțiile de partajare.

Bibliografie

- [1] Mark L. Murphy, Beginning Android, Apress, 2009
- [2] <http://developer.android.com>.

CICONE Luiza
Universitatea Politehnică București
Calculatoare și tehnologia informației
Splaiul Independenței nr.313, București
ROMÂNIA
E-mail: luiza.cicone@rdslink.ro

Portarea bibliotecii OpenYMSG pe platforma Android

Domnina BURCĂ-FLOREA, Marius CONSTANTINESCU
Coordonator: Asist. univ. Ing. Alexandru RADOVICI

Abstract

Mobile devices have become more and more common these days. Recent hardware and software development have transformed these devices into real computers that fit into ones pocket. One of these serious developments is the Google's Android platform, an open source sistem for mobile devices. This paper presents the porting of the *openymsg* library to Android and the implmentation of a YMSG client. The final goal for this research is the implementation of a multiprotocol messenger client, as such a piece of software is curently missing for these types of mobile devices.

1 Introducere

Industria dispozitivelor mobile a evoluat foarte mult pe parcursul ultimilor ani. Datorită evoluției hardware și software, aceste telefoane mobile au devenit veritabile calculatoare ce încap în buzunar. Trebuie avut totuși în vedere faptul că puterea de procesare a acestor dispozitive este foarte limitată. Deși procesoarele sunt destul de rapide, unele ajungând chiar la viteze de peste 1 GHz, energia consumată este extrem de limitată deoarece bateriile folosite nu au evoluat în același ritm.

Dacă până acum programele ce rulau pe dispozitive mobile erau destul de simple, odată cu creșterea puterii hardware au apărut și sisteme de operare mobile foarte avansate. Considerăm un sistem de operare mobil avansat un sistem ce replică funcționalitatea unui calculator personal. Un astfel de sistem este cel dezvoltat de către Google, și anume Android. Acesta reprezintă de fapt adaptarea sistemului *Linux* pe o platformă mobilă și adăugarea de software specific. Deoarece abordarea programării pentru Android este puțin diferită, vom discuta detaliat acest subiect în următorul capitol.

Deoarece Android este un sistem relativ nou apărut pe piață, numărul programelor disponibile este reativ limitat. Scopul nostru final este realizarea unui program de tip multi-messenger, program ce va facilita și integra comunicarea cu prietenii indiferent de tipul protocolului de mesagerie folosit. Primul pas spre implmentarea acestui software a fost portarea bibliotecii *openymsg* pe sistemul Android. Acesta este scrisă în Java, însă într-un *dialect* incompatibil cu Android. Vom detalia acest subiect pe parcursul lucrării.

Al doilea pas în realizarea dezideratului propus a fost dezvoltarea unei interfețe grafice specifice Android pentru testarea portării bibliotecii. Cu alte cuvinte, lucrarea prezintă un client pentru protocolul YMSG pe platforma Android.

2 Google Android

Deoarece modul de abordare al programării pentru Android este puțin diferit, considerăm că este necesară o scurtă prezentare a acesteia. Android reprezintă de fapt o platformă pentru dispozitive mobile, nu un sistem propriu-zis. Sistemul de operare este versiunea 2.6.27 a kernel-ului de Linux și o adaptare a bibliotecilor *user-space*, numită *bionic*. În alte cuvinte, avem un sistem Linux ce rulează pe telefoane mobile. Adevărata putere a platformei Android o reprezintă mașina virtuală *Dalvik*, bibliotecile pentru acesta și modul de abordare al programării aplicațiilor.

Limbajul de programare folosit pentru Android este Java. Mașina virtuală pe care vor rula aceste programe nu este cea standard (realizată de către Sun Microsystems) ci se numește *Dalvik*. Acesta reprezintă o implementare specializată pentru telefoane mobile, implementare care urmărește să minimizeze spațiul de memorie ocupat și să optimizeze modul de colectare al gunoaielor. Din acest motiv, mașina folosește alt cod mașină, diferit de cel standard java. Astfel clasele java compilate (.class) trebuie în prealabil traduse în cod *Dalvik* (.dex). Aici însă intervin niște probleme de compatibilitate. *Dalvik* recunoaște cod java până la versiunea 1.5 inclusiv, cu câteva limitări: au fost excluse bibliotecile pentru interfețe grafice, bibliotecile pentru imprimare și alte câteva biblioteci specializate. Acesta este și motivul pentru care *openymsg* trebuie modificată pentru a funcționa sub Android.

Un alt lucru inovativ introdus de către Android este modul de abordare al programării aplicațiilor. Modelul clasic de programare prevede pentru fiecare program un singur punct de intrare, în general reprezentat de către funcția *main()*. În viziunea Android, fiecare program este compus din componente diferite, fiecare dintre acestea putând fi definit ca punct de intrare. În acest fel, aceeași aplicație poate avea diverse puncte de pornire (intrare), în funcție de modul și locul în care trebuie executată. Tipurile de componente Android posibile sunt:

- **Activități** – reprezintă o fereastră afișată pe toată suprafața ecranului. Acest tip de componentă este una din cele două vizibile de către utilizator. Există mereu o singură astfel de componentă activă. În cazul în care fereastra nu este vizibilă și sistemul necesită mai multă memorie, există riscul ca acesta să fie ștersă.
- **Widget** – este o componentă ce este afișată pe ecranul principal al telefonului. În general ocupă o suprafață mică și este folosită pentru notificări, urmând ca în urma unui click sau apăsării unui buton să deschidă o activitate.
- **Servicii** – reprezintă o componentă ce rulează în fundal și nu interacționează direct cu utilizatorul. Acesta este în general folosită pentru procesări de date și interacționează cu o activitate sau un widget.
- **Intenții** – reprezintă un eveniment de sistem. Orice programator își poate defini anumite evenimente. Acest tip de componentă nu este importantă pentru lucrarea de față.
- **Receptori de evenimente** – acesta reprezintă de fapt un observator pentru evenimentele publice ale sistemului. Este compus dintr-o singură funcție ce este apelată la apariția unui anumit eveniment.

Pentru lucrarea de față vom folosi toate tipurile de componente, mai puțin Intențiile.

3 Portarea bibliotecii OpenYMSG

OpenYMSG este o bibliotecă scrisă în Java ce implementează un subset al protocolului YMSG (Yahoo Messenger). Deoarece acest protocol nu este public și este proprietar, biblioteca implementează protocolul *descoperit* prin *reverse engineering*. Din păcate acesta înseamnă ca

anumite funcții ale protocolului nu sunt disponibile. Deși este scrisă în Java, acesata nu respectă restricțiile impuse limbajului de către *Dalvik*, astfel neputând fi folosită direct.

Pentru folosirea bibliotecii sub Android, au fost necesare diverse modificări ale acesteia. Principala problemă întâlnită a fost incompatibilitatea anumitor clase din bibliotecă cu *Dalvik*. La rulare se obținea mereu *VerificationError*. Problema provine din folosirea anumitor structuri de Colecții ce nu sunt compatibile cu versiunea Java 1.5. A fost necesară încolurirea unora sau dezactivarea completă a acestora. Datorită documentației foarte slabe a bibliotecii, unele funcții ale acesteia nu ne sunt cunoscute, așa că am preferat să dezactivăm clasa și să testăm dacă biblioteca este în continuare funcțională.

La momentul scrierii acestei lucrări, biblioteca a fost aproape complet portată, mai existând încă probleme de compatibilitate ce sperăm să fie rezolvate cât mai curând.

4 Implementarea clientului pentru YMSG

Pentru implementarea clientului se va folosi biblioteca OpenYMSG am folosit patru din cele cinci componente Android posibile.

4.1 Conexiunea cu serverul Yahoo

Conexiunea cu serverul Yahoo, implicit interacțiunea cu biblioteca *openymsg*, este implementată folosind un serviciu Android. Acest tip de componentă este specializată pentru rularea în fundal. Astfel are un timp de viață îndelungat, serviciile fiind ultimele procese oprite în cazul lipsei de memorie.

Android presupune existența unei conexiuni permanente la rețeaua Internet. Din acest motiv, orice utilizator are posibilitatea să fie mereu conectat la serverul de Yahoo. Trebuie totuși amintit că, spre deosebire de calculator, telefonul va fi ținut în buzuar mare parte din timp. Astfel utilizatorul nu privește mereu ecranul. Lista de prieteni și conversațiile nu trebuiesc afișate mereu. Se economisesc resurse importante prin plasarea conexiunii la server într-un serviciu.

Deoarece conexiunea la Yahoo este în fundal, utilizatorul trebuie să fie anunțat la apariția unui eveniment nou. Acest lucru se realizează prin trimiterea unui mesaj către sistemul de notificare Android. Acesta va alerta utilizatorul care la rândul său are posibilitatea să deschidă o activitate în care să vadă mesajul. Sistemul este identic cu primirea unui SMS.

4.2 Interfața grafică

Interacțiunea cu utilizatorul este implementată prin componente de tip activitate. Acestea sunt ferestre ce ocupă tot ecranul dispozitivului. Prin intermediul acestora utilizatorul are posibilitatea să vizualizeze lista de prieteni, să editeze lista de prieteni, să răspundă la mesajele primite sau să inițieze conversații noi. Programul mai dispune și de o fereastră specială de configurare în care utilizatorul are posibilitatea să seteze diverși parametri ai programului.

O altă componentă a interfeței grafice este un widget. Pentru a avea acces rapid la lista de prieteni, am realizat un widget pentru ecranul de pornire al telefonului. Acesta comunică cu serviciul din fundal și afișează olistă de prieteni ai utilizatorului.

5 Dezvoltări ulterioare

Lucrarea de față prezintă portarea bibliotecii OpenYMSG pentru Android și un exemplu de utilizare. Scopul final este însă realizarea unui program de tip multi-messenger pentru Android. Acesta presupune integrarea sub aceeași interfață grafică a mai multor protocele pentru mesagerie. De asemenea, ne propunem realizarea unei punți între protocele, asta presupunând utilizarea protocelelor ca mediu de transport. Spre exemplu, dacă în prezent Alice vrea să vorbească cu Bob, dar aceștia au protocele diferite, atunci unul din ei va trebui să își creeze un

alt cont pentru protocolul celui alt. Dacă însă Alice și Bob au o prietenă comună, Tracy, care are conturi pe ambele protocoale, aceștia ar putea comunica folosind conturile lui Tracy pentru transport. Evident, Tracy trebuie să fie logată în acel moment. Aici însă intervin niște probleme de securitate.

6 Concluzii

Deoarece sistemele mobile devin din ce în ce mai puternice, le putem deja asemui cu calculatoare ce pot fi ținute în buzunar. Ceea ce însă deficiențiază dispozitivele mobile de calculatoarele clasice este puterea de calcul. Chiar dacă procesoarele acestora sunt destul de puternice, energia disponibilă este foarte limitată (de către baterii). Pentru a putea realiza sarcini similare cu calculatoarele, programele pentru dispozitivele mobile trebuie gândite diferit.

Pe parcursul acestei lucrări am încercat să vedem în ce măsură este realizabilă portarea bibliotecii *openysmg* pentru Android și care sunt *costurile* construirii unui client pentru acestea.

Cercetările noastre au confirmat posibilitatea portării parțiale ale bibliotecii și posibilitatea implementării unui client eficient. Consumul de energie al bateriei nu a crescut simțitor la folosirea programului.

Bibliografie

- [1] MURPHY, Mark; *Beginning Android*, Apress, 2009
- [2] BURNETTE, Ed; *Hello Android: Introducing Google's Mobile Development Platform*, Pragmatic Bookshelf, 2009
- [3] GRAMLICH, Nicolas; *andBook* – release .002
- [4] ***, *Java Yahoo Messenger Library – OpenYMSG*, <http://sourceforge.net/apps/trac/openysmg/>
- [5] ***, *Android Developer*, <http://developer.android.com>

BURCĂ-FLOREA Domnina
Universitatea „Politehnica” din București
Calculatoare
Spl. Independenței Nr. 313, București
ROMANIA
E-mail: domnina.burca@gmail.com

CONSTANTINESCU Marius
Universitatea „Politehnica” din București
Calculatoare
Spl. Independenței Nr. 313, București
ROMANIA
E-mail: constantinescu.marius@gmail.com

Multi-axys encoder using quadrature signals

Tudor Consantinescu
Coordonator: Asist. univ. Ing. Alexandru Radovici

Abstract

Lucrarea de fata prezinta realizarea unui sistem de encoding folosind semnale de cuadratura si o placa FPGA.

1 Problematica

Pentru realizarea unui robot sau a unui sistem automat ce are de parcurs un anumit drum descris de o functie calculata prin diverse metode numerice, este necesar un sistem de encoding care in unele cazuri poate scuti costurile ridicate ale senzorilor. Asadar, in acest scop am incercat sa gandim un sistem de encoding bazat pe 4 semnale de cuadratura si un FPGA cu care sa analizam datele.

2 Semnale de cuadratura

2.1 Definitie

Semnalele de cuadratura sunt semnale dreptunghiulare cu o diferenta de faza de 90 de grade. Acestea sunt folosite pentru diverse procesari si implementari ce au loc in sistemele moderne de comunicatii digitale.

2.2. Aplicatii

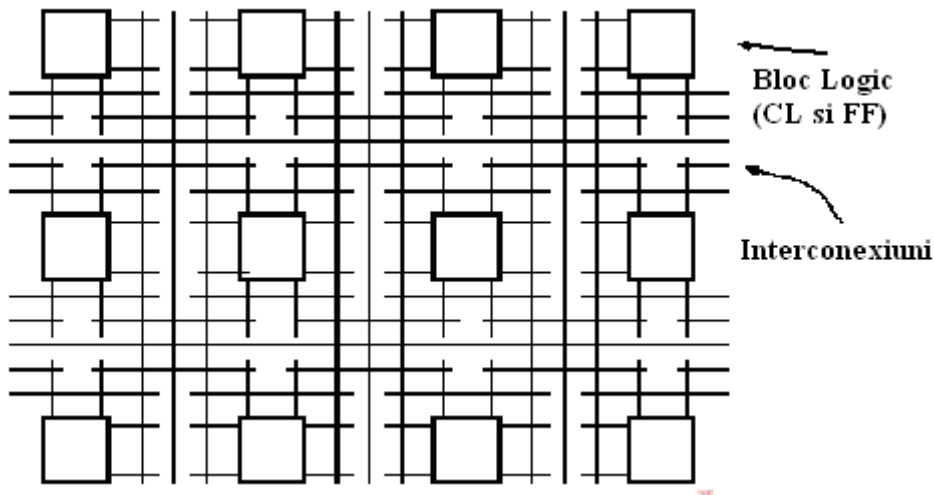
Semnalele de cuadratura sunt folosite in diverse aplicatii din domeniul procesarii de semnal digital cum ar fi:

- sisteme radar
- diverse modulatori
- diferente de timp in scheme de detectie radio

3. FPGA

3.1 Definitie

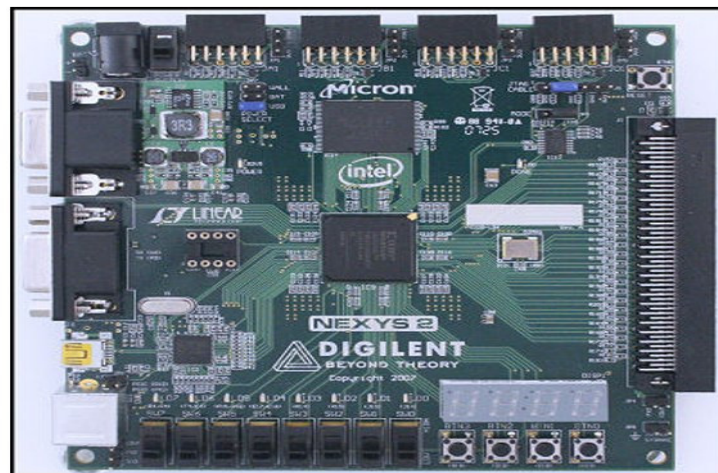
FPGA (Field Programmable Gate Arrays) sunt dispozitive logice programabile, ce contin blocuri logice si bistabile, prevazute cu facilitatile necesare configurarii de catre utilizator atat a interconexiunilor dintre blocurile logice cat si a functiei fiecarui bloc. Iata o imagine de asamblu simplificata a unui FPGA:

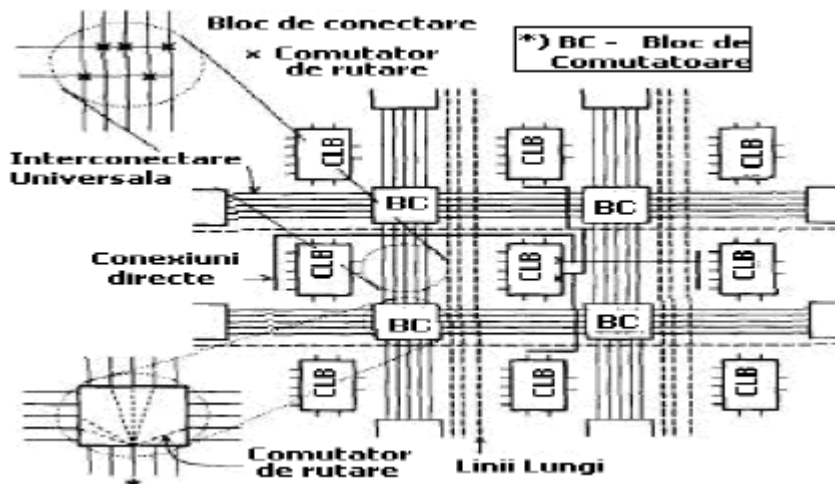


Apare deci problema diferenței între CPLD și FPGA. Diferența constă în gradul de integrare a blocurilor logice; în timp ce un CPLD conține în jur de 100 asemenea blocuri, un FPGA poate încorpora până la 100000. O altă diferență constă în faptul că plăcile FPGA sunt bazate pe memorii de tip RAM ce trebuie reprogramate după o întrerupere a tensiunii, contrar dispozitivelor EEPROM și CPLD.

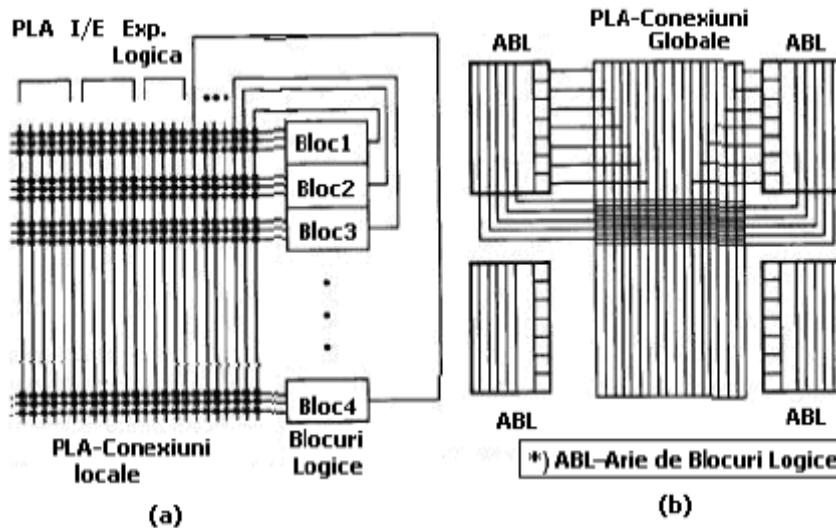
3.2 Producatori

Există în jur de 5 companii producătoare de dispozitive FPGA însă primele două (Xilinx și Altera) dețin monopolul. Xilinx a inventat aceste dispozitive și este cel mai important nume de pe piața FPGA. Aceștia utilizează trasee de interconectare care înconjoară fiecare bloc logic combinational (CLB), la intersecțiile traseelor fiind plasate blocuri de comutare (BC), organizate sub formă de matrici, formate din tranzistoare de trecere, controlate pe grile cu ajutorul unor celule de memorie SRAM.





Pe de alta parte, ALTERA propune o structura bazata pe doua niveluri ierarhice: local a) si global b)



Dispozitivul utilizat de noi face parte din gama de produse a Xilinx si poarta nume de Nexys2.

Dupa cum se poate observa in figura, acest model contine multiple dispozitive de i/o cum ar fi:

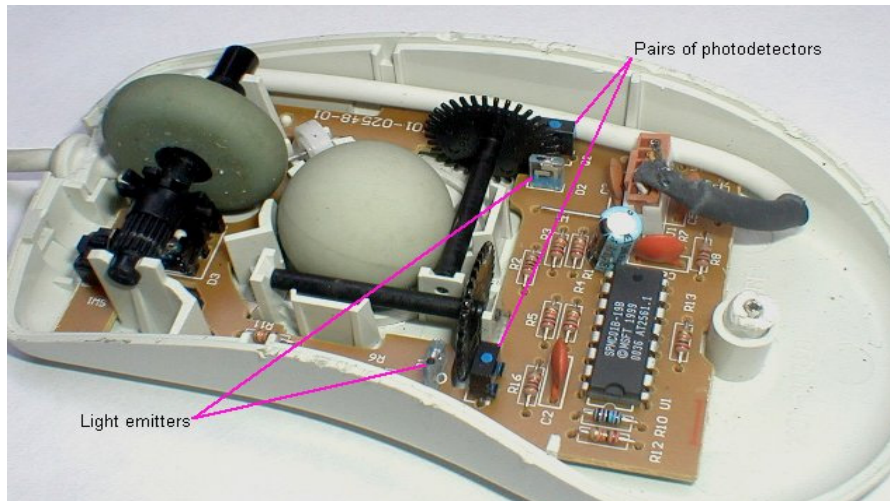
- port VGA pe 8 biti
- port RS232
- conector cu 6 pini ce poate fi interfatat PS/2
- 8 switchuri si 4 butoate ca dispozitive de input
- un dispozitiv de afisare pe 7 segmente

Deasemenea FPGA-ul contine un ceas ce functioneaza la o frecventa de 50 MHz, o memorie Flash de 16MB produsa de Intel si un SDRAM de 16MB produs de Micron.

Placa mai contine inca 4 conectori Pmod scopul lor initial fiind acela de a conecta diverse sisteme de achizitii de date produse de aceasi inteprindere.

4. Emitatorul de semnal de cuadratura

Unul dintre cele mai utilizate dispozitive de acest gen este mouse-ul. La deschiderea acestuia se poate observa urmatoarea figura:



Mouse-ul contine doua rotite dintate (una pentru axa X, cealalta pentru axa Y) ce au de o parte si de cealalta un LED infrarosu ce emite pe o frecventa de 38 de Mhz respectiv un receptor infrarosu. Receptorul de IR este constituit din doua fototranzistoare ce au colectori legati impreuna iar bazele in aer. Astfel, daca notam cu A si B cei doi emitori ai receptorului IR vom avea urmatoarea succesiune de pasi: presupunem ca la momentul $t=0$ emitorul A se afla in dreptul unui „gol” in timp ce emitorul B se afla in dreptul unui „dinte” al rotii. Dupa o secventa de miscare ambii emitori se vor afla in dreptul gaurii. Dupa inca o miscare in aceasi directie cel de-al doilea emitor va fi blocat. Asadar, in cod binar am putea avea urmatoarea inlantuire de evenimente:

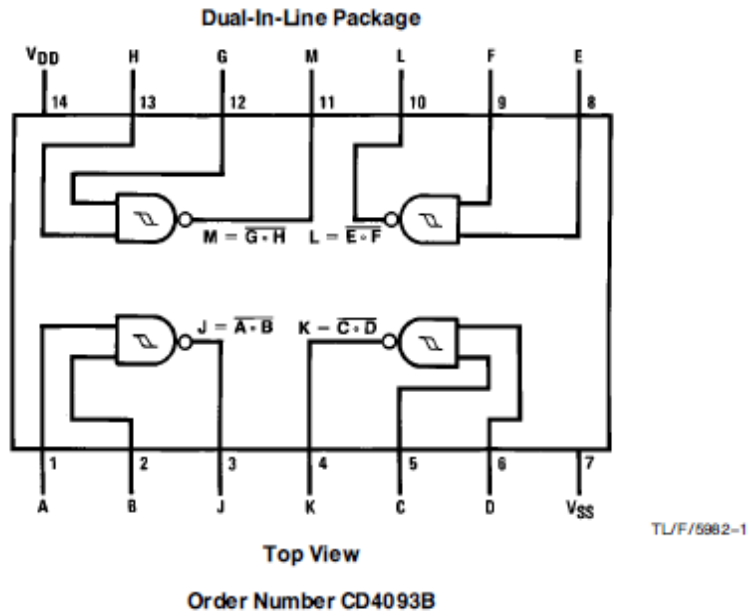
(A, B):..., (1,0), (1,1), (0,1), (0, 0), etc.

Semnalele emise sunt trimise unui microcontroller (SPCP05A/04B in cazul de fata), produs de SunPlus, un circuit integrat ce are rolul de prelucra informatiile si a le pregati pentru a putea fi trimise prin intermediul protocolului PS2. Un lucru bizar a fost sa descoperim ca, catotii celor 3 LED-uri IR nu erau conectati la masa ci, la unul din pinii integratului (PB16). In urma cercetarilor ce au urmat, s-a descoperit LED-urile erau conectate direct la integrat pentru a modula frecventa acestora la 38MHz.

Asadar, pentru a trimite datele unui sistem care sa le prelucreze (in cazul de fata FPGA-ul) am avut de ales intre doua solutii:

- crearea unei interfete PS2 din punct de vedere logic pe FPGA
- inlocuirea microcontrollerului cu un alt circuit integrat

Avand in vedere parametrii de timing destul de complicati ce trebuiau respectati pentru a crea o interfata PS2, am decis ca solutia potrivita ar fi sa inlocuim integratul existent cu un altul, si anume



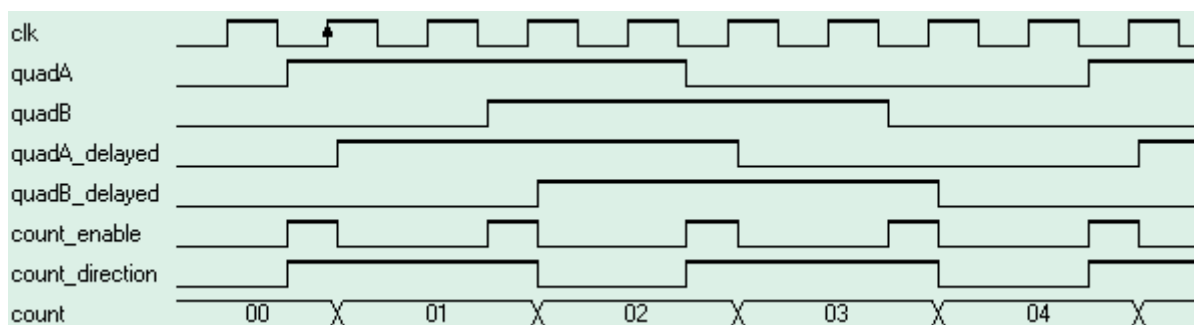
CD4093.

Dupa cum se poate observa si in schema, acest integrat contine 4 porti NAND cu triggere Schmitt. Avand 4 semnale emise de la cei 2 receptori IR am legat intre ei pinii de intrare ai portilor NAND obtinand astfel 4 invertoare.

De asemenea am considerat necesara conectarea unei rezistente de 100 de Ohmi pentru a micsora curentul pe cele trei LED-uri infrarosii.

5. Decalarea semnalului de cuadratura

Avand semnalele emise de catre circuitul integrat, am conectat doua dintre iesiri la pinii DATA ai mufei PS2, iar celelalte 2 iesiri au fost conectate la doi pini DATA ai mufei Pmod(mufa aflata in dotarea FPGA-ului ce ofera posibilitatea conectarii unor extensii).



In majoritatea cazurilor semnalele nu vor fi sincronizate cu semnalul de tact al ceasului asa ca este necesara introducerea a doua variabile care sa decaleze semnalul de cuadratura si sa il sincronizeze cu ceasul.

Figura de mai sus reprezinta punctul de plecare in procesul de proiectare comportamentale, figura in care sunt descrise in mod grafic toate variabilele respectiv functiile ce vor fi utilizate ulterior in codul sursa.

Analizand numarul de secvente ce au loc intr-un ciclu de trecere de la din momentul in care cei doi emitori ai fototranzistoarelor pentru o anumita axa se afla in dreptul unui gol ,pana in momentul in care ajung in dreptul unui „dinte”. Masurand raza rotitei si calculand lungimea sa putem deduce ce distanta reprezinta fiecare ciclu prezentat anterior. De asemenea utilizand un divizor de frecventa putem calcula timpul necesar unui ciclu, si cunoscand lungimea acestuia putem calcula chiar si viteza de deplasare.

6 Codul sursa al procesorului de semnal

In realizarea aplicatiei s-a folosit softul Xilinx numit ISE Web Pack.S-a preferat utilizarea unui limbaj descriptiv(in cazul de fata Verilog) in locul proiectarii cu circuite basaculante bistabile.Iata codul sursa:

```

`timescale 1ns / 1ps
/////////////////////////////////////////////////////////////////
// Company:
// Engineer: Tudor Constantinescu
//
// Create Date: 19:38:38 04/05/2010
// Design Name:
// Module Name: quad_decoder
// Project Name:
// Target Devices:
// Tool versions:
// Description:
//
// Dependencies:
//
// Revision:
// Revision 0.01 - File Created
// Additional Comments:
//
/////////////////////////////////////////////////////////////////
module quad_decoder(clk,quad_Ax,quad_Bx,quad_Ay,quad_By, countx, county);
input clk,quad_Ax,quad_Bx,quad_Ay,quad_By;
output countx;
output county;
reg [2:0] quadAx_delay,quadBx_delay,quadAy_delay,quadBy_delay;
always @(posedge clk) quadAx_delay <= {quadAx_delay[1:0],quad_Ax};
always @(posedge clk) quadBx_delay <= {quadBx_delay[1:0],quad_Bx};
always @(posedge clk) quadAy_delay <= {quadAy_delay[1:0],quad_Ay};
always @(posedge clk) quadBy_delay <= {quadBy_delay[1:0],quad_By};

wire count_enablex=quadAx_delay[1]^quadAx_delay[2]^quadBx_delay[1]^quadBx_delay[2];
wire count_enabley=quadAy_delay[1]^quadAy_delay[2]^quadBy_delay[1]^quadBy_delay[2];
wire count_directionx=quadAx_delay[1]^quadBx_delay[2];
wire count_directiony=quadAy_delay[1]^quadBy_delay[2];

```

```

reg [7:0] countx;
reg [7:0] county;
always @(posedge clk)
begin
  if(count_enablex)
  begin
    if(count_directionx) countx<=countx+1;
    else
    countx<=countx-1;
    end
  else if(count_enabley)
  begin
    if(count_directiony) county<=county+1;
    else
    county<=county-1;
    end
  end
endmodule

```

Bibliografie

- [1] situl producatorului,
<http://www.digilentinc.com/Products/Detail.cfm?NavPath=2,400,789&Prod=NEXYS2> .
- [2] www.colinhafey.com
- [3] www.national.com
- [4] Richard Lyons, Quadrature signals:complex but not complicated.
- [5] www.dpsguru.com
- [6] Simona Halunga Fratu, Transmisii analogice si digitale
- [7] www.leobodnar.com

TUDOR CONSTANTINESCU
Universitatea Politehnica Bucuresti,
Facultatea de Inginerie in Limbi Straine
Splaiul Independentei 313,
Bucuresti
ROMANIA
cttudor_kobe@yahoo.com

FPGA song composer

Alexandra Elena DRAGOMIR
Coordonator: Asist. Univ. Ing. Alexandru RADOVICI

Abstract

Do you want it to sound like Beethoven symphonies or simply play the notes, the major scale? An FPGA can do both. And in as simple way too: it uses a simple square wave with frequency derived from its own system clock.

1 Introducere

Programarea structurilor hardware reprogramabile de tip FPGA poate fi, de cele mai multe ori, statică. Prin lucrarea de față am vrut să ofer acea părere „fun”, jucându-mă astfel la nivelul de programare hardware simulând sirene de ambulanță și poliție până la redarea unei melodii pornind de la o tablatură. Jonglând printre sintaxele de cod sursă HDL Verilog și VHDL, mi-am învățat circuitul integrat digital configurabil, FPGA-ul, să-și împartă frecvența memorând frecvențele notelor și astfel să-și cânte „cum îmi place mie”.

2 FPGA

2.1 Ce este un FPGA

Un FPGA (Field Programmable Gate Array) este un circuit integrat digital configurabil alcătuit dintr-o matrice de CLB-uri (Configurable Logic Blocks) și bistabile (FF - flip flop).

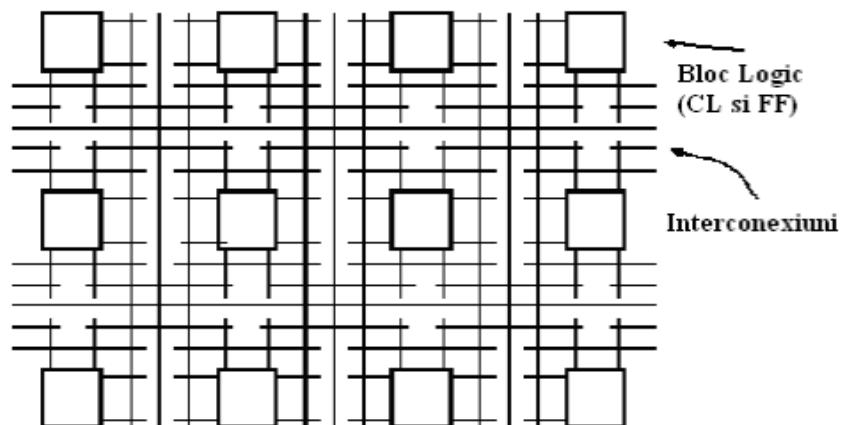


Fig. 1. Schema simplificată a arhitecturii unui FPGA

Un bloc logic FPGA clasic este alcătuit dintr-un tabel de căutare cu 4 intrări, un flip-flop și un multiplexor care selectează fie ieșirea tabelului de căutare, fie ieșirea sincronizată a acestuia (trecută prin flip-flop).

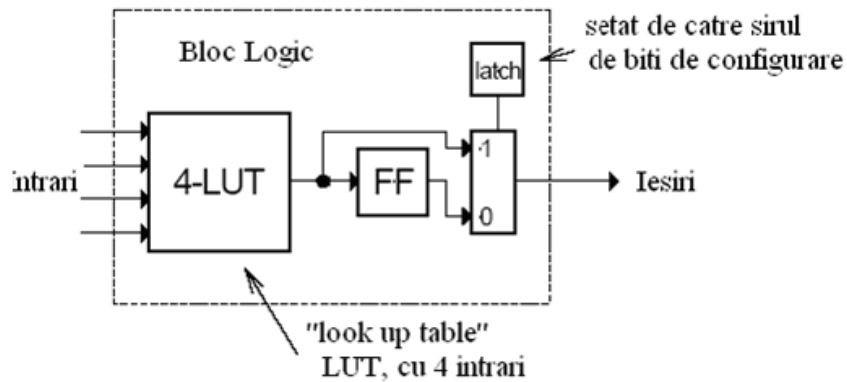


Fig.2. Bloc logic simplificat

Fiind o rețea de porți logice programabile, putem programa FPGA-ul pentru aproape orice funcție digitală. Iată pașii urmăriti când se lucrează cu un FPGA:

- se creează funcția logică dorită într-un soft oferit o dată cu plăcuța (pentru FPGA-ul meu, Spartan3E-500 FG320, softul utilizat a fost Xilinx ISE) plecând de la scheme ce generează automat codul sau scriind direct cod;
- se conectează un cablu de la FPGA la calculator încărcând fișierul binar și se așteaptă ca FPGA-ul să afișeze rezultatele funcției create.

M O D E L A R E
Modelarea comportamentală/structurală poate fi realizată prin intermediul editorului de scheme sau a limbajelor HDL

P R O G R A M A R E
M A P A R E
Pentru programarea unui dispozitiv FPGA trebuie realizate subfazele de mapare, plasare și rutare.

R U T A R E

S I M U L A R E
Pentru realizarea simulării pot fi folosite simulatoare externe, de exemplu MODELSIM

S I N T E Z Ă
Sinteza se realizează prin intermediul programelor de sinteză cum ar fi XST (Xilinx Synthesis Tool).

I M P L E M E N T A R E
F P G A
Implementarea modelului presupune transferul în FPGA a fișierului de tip BIT rezultat în etapa de PROGRAMARE

Fig. 3. Fluxul proiectării cu FPGA

2.1.1 Cine face FPGA-uri?

Cele mai mari companii producatoare de FPGA-uri in toata lumea sunt: Xilinx si Altera.

Xilinx (fig. 4. a), care a inventat FPGA-ul, utilizeaza trasee de interconectare care inconjoara fiecare CLB, la intersecțiile traseelor fiind amplasate blocuri de comutatoare (BC) organizate sub forma de matrici, formate din tranzistoare de trecere, controlate pe grila cu ajutorul unor celule de memorie SRAM (fig. 4. b). Celulele de memorie SRAM (fig. 4. c) sunt utilizate si pentru stabilirea functiilor logice implementate de catre multiplexoarele care implementeaza tablourile asociative.

Filosofia generala Xilinx este de a oferi:

- cele mai mari si mai flexibile dispozitive (facilitate completa);
- arhitectura complexa, dispozitive puternice.

Actel propune mai multe segmente de fire avand orientare orizontala fata de cele cu orientare verticala. Astfel, filosofia acestei companii fiind sa pastreze usurinta utilizarii dispozitivelor de catre utilizatori.

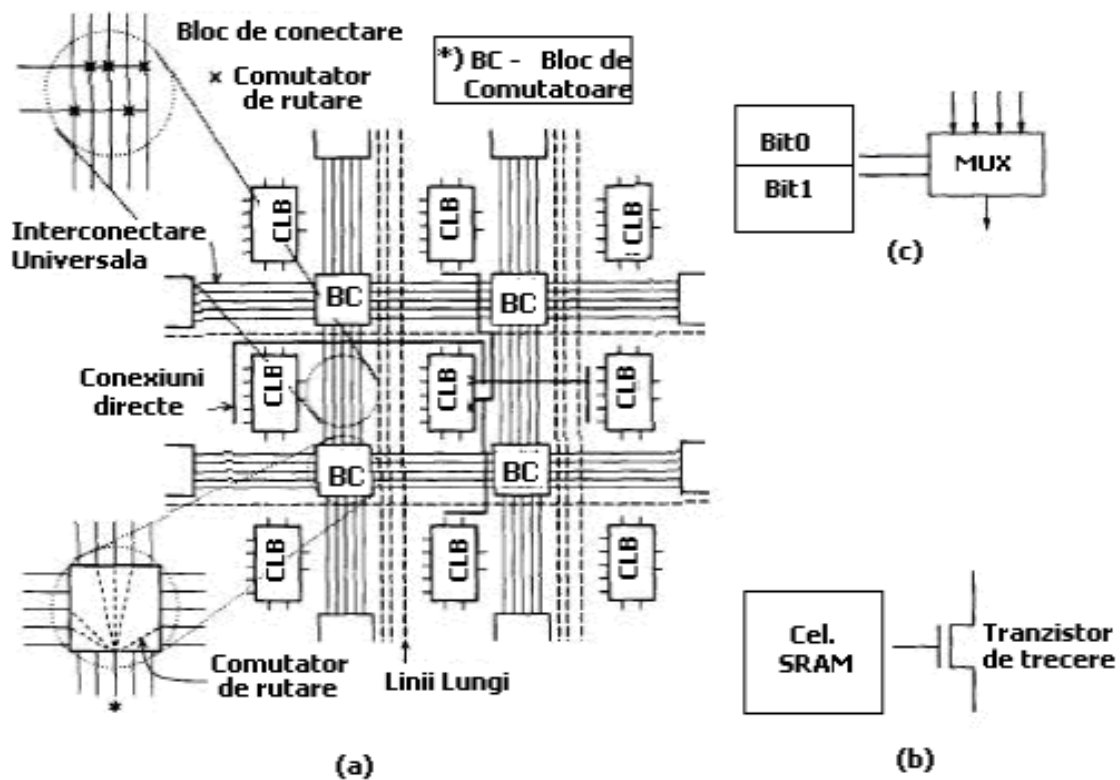


Fig. 4. Arhitectura de interconectare Xilinx

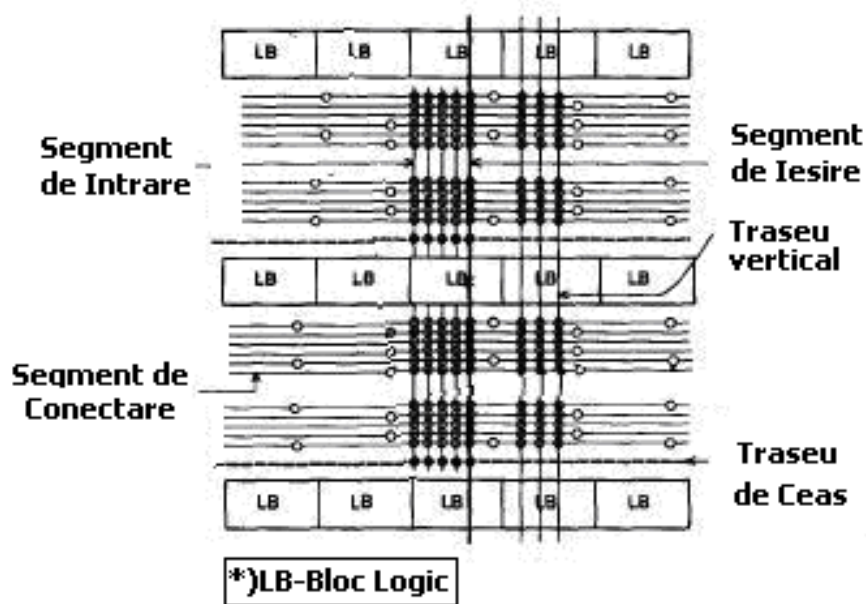


Fig. 5. Arhitectura de interconectare Actel

3 HDL design

Pentru proiectul de fata, am folosit, pe langa placuta si un speaker.

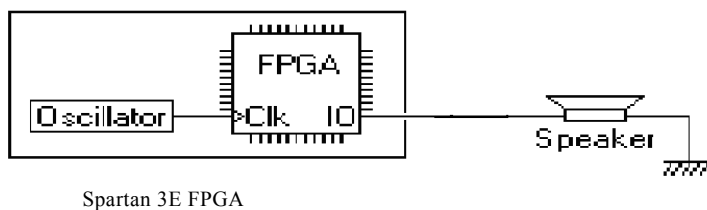


Fig. 6. Reprezentare schematica

Nexys2 bord include un oscilator 50MHz si un socket pentru un al doilea oscilator. Semnale de ceas din oscilatoare sunt conectate la pinii ceasului de intrare pe FPGA astfel încât să poată conduce blocurile de ceas disponibile si sintetizate în FPGA. Sintetizatoarele de ceas (numite DLL sau delay locked loops) asigura capabilități care includ amplificari ale frecvenței de intrare, chiar divizari ale frecvenței de intrare la orice numar intreg și definiri precise ale fazelor între diferite semnale de ceas.

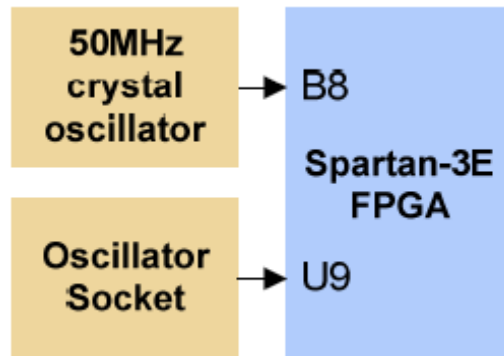


Fig. 7. Nexys2 clocks

In cazul proiectului, frecventele modulate pentru a atinge anumite note, A, A#, B, C, C#, D, D#, E, F, F#, G si G#, sunt purtate catre iesirea IO a FPGA-ului care mai apoi ajung la speaker si ulterior la urechile noastre.

3.1.1 Simplul „beep”

FPGA-ul poate implementa foarte usor un numarator binar in Verilog (Hardware Description Language -HDL). Pentru un simplu beep, folosesc un numarator pe 16 biti. Asta inseamna ca numaratorul va incepe de la 0 pana la pozitia $2^{16}-1$ (65535), adica 65536 valori posibile. Voi folosi acest numarator pentru a imparti frecventa de 50 MHz. Astfel, MSB (most significant bit) numaratorului va avea o frecventa de 762 Hz ($50\text{MHz}/65536$).

Codul sursa arata asa:

```

module beep(clk, speaker);
input clk;
output speaker;

// numarator pe 16 biti
reg [15:0] counter;
always @(posedge clk) counter <= counter+1;

// assignez MSB
assign speaker = counter[15];

endmodule
  
```

LSB (less significant bit), adica counter[0], va avea o frecventa de 25 MHz, counter[1] o frecventa de 12.25 MHz si asa mai departe. Un „frumos” semnal de 762 Hz se va auzi din output-speaker-urului.

Daca dorim un semnal de o anumita frecventa, acesta este descris foarte usor. De exemplu, eu am vrut un semnal de 440 Hz, echivalentul notei „A”. In loc sa impart 50 MHz la 65536, o sa-l impart la 113636. Am adaugat un parametru „clkdivider” pentru a imparti output-ul la 2 si astfel a avea un 50 % **duty cycle** (the ratio of time at which one pulse of a clock remain logic high to its period).

```

module nota_A(clk, speaker);
input clk;
output speaker;
parameter clkdivider = 50000000/440/2;
  
```

```

reg [14:0] counter;
always @(posedge clk) if(counter==0) counter <= clkdivider-1; else counter <= counter-1;
reg speaker;
always @(posedge clk) if(counter==0) speaker <= ~speaker;
endmodule

```

Note Frequency (Hz) Wavelength (cm)

A	440.00	78.4
A [#]	466.16	74.0
B	493.88	69.9
C	523.25	65.9
C [#]	554.37	62.2
D	587.33	58.7
D [#]	622.25	55.4
E	659.26	52.3
F	698.46	49.4
F [#]	739.99	46.6
G	783.99	44.0
G [#]	830.61	41.5

Fig. 8.

Trebuia sa fac sa alterneze 2 tonuri, asa ca de data aceasta am folosit un numarator pe 24 de biti pentru a produce un semnal dreptunghiular. MSB bit, adica tone[23], va avea o frecventa de aproximativ 3 Hz. Folosim acest bit pentru a schimba 2 frecvente ale aceluiasi numarator si sa alterneze intre 2 tonuri.

Demonstratie a unei sirene de ambulanta:

```

module ambulance(clk, speaker);
input clk;
output speaker;
parameter clkdivider = 50000000/440/2;
reg [23:0] tone;
always @(posedge clk) tone <= tone+1;
reg [14:0] counter;
always @(posedge clk) if(counter==0)
counter <= (tone[23] ? clkdivider-1 : clkdivider/2-1); else counter <= counter-1;
reg speaker;
always @(posedge clk) if(counter==0) speaker <= ~speaker;

```

```
endmodule
```

3.1.2 Cantarea notelor

Ideea mea a fost sa pot canta pe note un cantec si sa fiu in stare, plecand de la orice tabulatura, sa cant „hardware” cantecul respectiv. Cum s-a intamplat sa cant notele?

Pentru o nota am folosit 6 biti deci voi avea 64 de note (2^6). Sunt 12 note pe o octava, asa ca 64 de note mi-ar da 5 octave, destul pentru un mic cantecel.

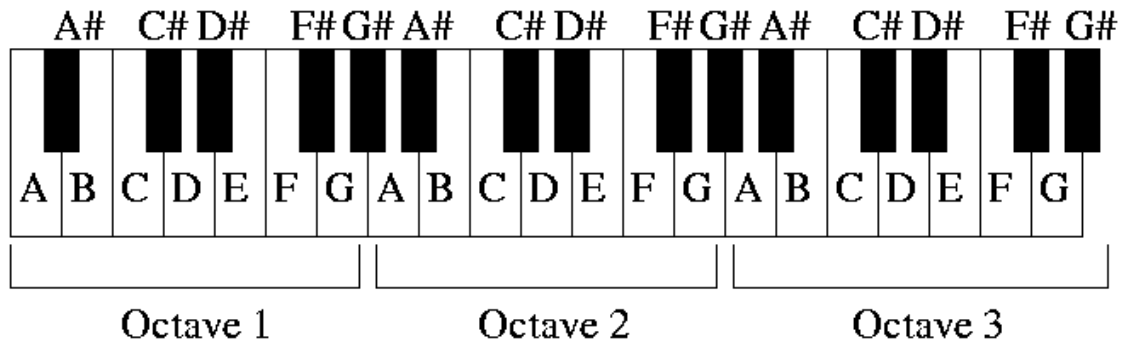


Fig. 9.

Pentru o suita de note, instantiez un numarator pe 28 biti de unde extrag the most semnificant 6 bits pentru nota pe care o vreau. Daca impartim printr-o valoare mai mica, obtinem o mai buna frecventa a notei.

```
module music(clk, speaker);  
  
input clk;  
  
output speaker;  
  
reg [27:0] tone;  
  
always @(posedge clk) tone <= tone+1;  
  
wire [5:0] fullnote = tone[27:22];  
  
wire [2:0] octave;  
  
wire [3:0] note;  
  
divide_by12 divby12(.numer(fullnote[5:0]), .quotient(octave), .remain(note));  
  
reg [8:0] clkdivider;
```

```

always @(note)

case(note)

0: clkdivider = 512-1; // A

1: clkdivider = 483-1; // A#/Bb

2: clkdivider = 456-1; // B

3: clkdivider = 431-1; // C

4: clkdivider = 406-1; // C#/Db

5: clkdivider = 384-1; // D

6: clkdivider = 362-1; // D#/Eb

7: clkdivider = 342-1; // E

8: clkdivider = 323-1; // F

9: clkdivider = 304-1; // F#/Gb

10: clkdivider = 287-1; // G

11: clkdivider = 271-1; // G#/Ab

12: clkdivider = 0; // nu ar trebui sa existe

13: clkdivider = 0; // nu ar trebui sa existe

14: clkdivider = 0; // nu ar trebui sa existe

15: clkdivider = 0; // nu ar trebui sa existe

endcase

reg [8:0] counter_note;

always @(posedge clk) if(counter_note==0) counter_note <= clkdivider;

                                else counter_note <= counter_note-1;

reg [7:0] counter_octave;

always @(posedge clk)

```

```

if(counter_note==0)

begin

if(counter_octave==0)

counter_octave <=
(octave==0?255:octave==1?127:octave==2?63:octave==3?31:octave==4?15:7);

else

counter_octave <= counter_octave-1;

end

reg speaker;

always @(posedge clk) if(counter_note==0 && counter_octave==0) speaker <= ~speaker;

endmodule

```

4 Posibilitati de imbunatatire

Pe viitor as dori punere în aplicare a unui sistem multi-ton electronic folosind o tastatura PS/2 si un sistem audio. Figura 10 reprezinta intocmai ideea mea.

As dori sa folosesc tastatura PS/2 ca si o tastatura de pian iar placuta ar folosi ca sintetizator System on Chip (SOC) pentru a genera muzica si sunete. Monitorul VGA conectat la placa de dezvoltare ar arata ce nota/tasta este „jucata” in timpul melodiei.

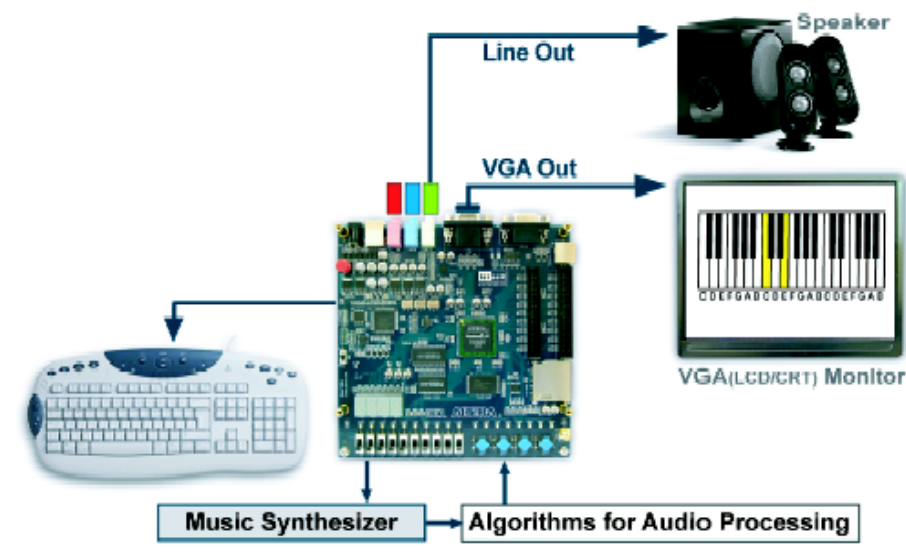


Fig. 10. Music synthesizer demonstration setup

Bibliografie

- [1] ***, *Getting Started With the NEXYS2 Spartan 3E Kit and Xilinx ISE Webpack A Beginner's Tutorial*, <http://www.echelonembedded.com/>
- [2] www.fpga4fun.com
- [3] www.altera.com
- [4] www.csit-sun.pub.ro
- [5] <http://esd.cs.ucr.edu/labs/music/music.html>
- [6] <http://www.asic-world.com/verilog/veritut.html>
- [7] Digilent Inc., *Digilent Nexys2 Board Reference Manual*, <http://www.digilentinc.com>
- [8] Xilinx, <http://www.xilinx.com>

DRAGOMIR Alexandra Elena
Universitatea Politehnica Bucuresti
Facultatea de Inginerie in Limbi Straine (FILS)
Electronica aplicata
Splaiul Independentei, 290
ROMANIA
E-mail: puttet_ghermir@yahoo.com

Human Brain Capillary Recognition

Florin-Robert Drobotă
Vlad Monescu

Abstract

The modern medicine uses more and more the new technologies, hardware and software. Challenged by this human – computer connection, in which the computer helps humans to self-understand his nature, I chose this theme of recognizing the capillaries from an given image using image processing techniques and modern programming languages and technologies. The combination of algorithm programming and user interfaces that works with real digital images that were taken from real human bodies have that practical element that makes you feel you are working on something important and maybe sometime it will save lives. Until then this project comes with features in speed and accuracy in next eventual studies. The main idea of this project started behind the analysis of the medic team Dr. Ioana Dumitru and Dr. Sebastian Toma within the neurology department of Brasov's Judetean Hospital, who decided that it is necessary to make a software product that could analyze high definition digital images of microscopically tissue of brain, and then identify, count, and extract information for helping them into their research.

1 Context — date teoretice

1.1 Introducere

Pentru a înțelege mai bine care este legătura dintre anatomie și calculator, trebuie să înțelegem problema. În medicina există o ramură numită neurologie ce se ocupă cu diagnosticul și tratamentul bolilor organice care afectează sistemul nervos central sau periferic. Structurile organice ce țin de domeniul neurologiei sunt - pe de o parte - creierul, măduva spinării (reprezintă sistemul nervos central), structurile înconjurătoare, precum și vasele sanguine care le hrănesc, - pe de altă parte - nervii cranieni, rădăcinile nervoase și ganglionii spinali, nervii periferici, după ieșirea din canalul spinal, inclusiv legăturile cu mușchii scheletici (reprezintă sistemul nervos periferic).

Deci raza de acțiune a bolilor neurologice este situată între creier, măduva spinării și nervi periferici. De-a lungul timpul s-a încercat tratarea acestor boli, care de obicei duc la invaliditate (totală sau parțială), dar fără rezultate curative. Așadar evoluția medicinei, mai precis a neurologiei, este în continuă expansiune. De aceea este loc pentru noi cercetări în acest domeniu. Statisticile arată că "accidentele vasculare cerebrale reprezintă a treia cauză de mortalitate în lume, după bolile cardiovasculare și cancer și cea mai gravă cauză de invaliditate, la persoanele de vârstă activă", preciza prof. univ. dr. Marcel Pereanu, șeful Clinicii de Neurologie, din cadrul Spitalului Clinic Județean Sibiu.

1.2 Accident vascular cerebral

Un accident vascular cerebral (AVC) apare atunci când un vas de sânge (o arteră) care furnizează sânge la nivelul unei zone a creierului (prin capilare) se sparge sau este blocat de un cheag sangvin. În câteva

minute, celulele nervoase din acea zonă sunt afectate și ele pot muri în câteva ore. Ca rezultat, acea parte a corpului care este controlată de zona afectată a creierului nu mai poate funcționa adecvat. Dacă o leziune vasculară cerebrală își menține efectele mai mult de 24 de ore, atunci atacul vascular cerebral este confirmat. În cazul în care apar simptome ale unui AVC este necesar un tratament de urgență, exact ca și în cazurile de infarct miocardic. În cazul în care tratamentul medical este început cât mai curând după apariția simptomelor, cu atât mai puține celule nervoase vor fi afectate permanent.

1.3 Investigații

Timpul este critic în diagnosticarea unui accident vascular cerebral. Un diagnostic pus rapid poate duce la administrarea de medicamente care asigură o recuperare mai bună. Prima prioritate va fi să se determine dacă accidentul vascular cerebral este ischemic sau hemoragic. Această distincție este critică deoarece medicamentele administrate pentru un AVC ischemic (cauzat de un cheag de sânge) poate fi amenințătoare de viață dacă accidentul vascular cerebral este hemoragic (cauzat de o sângerare). Doctorul va trebui de asemenea să ia în considerare și alte afecțiuni care pot da simptome asemănătoare unui AVC și să vadă dacă există complicații.

Observație Dezavantajul acestor investigații este că se fac după ce pacientul a suferit atacul vascular cerebral, iar acuratețea localizării exacte a vasului lezat nu este atât de mare. Având în vedere că timpul este critic în asemenea situații, descoperiri ce ar putea asocia simptomele cu locul AVC la nivel atomic, ar fi de un real folos.

1.4 Studiul

Aproximativ 5% din accidentele vasculare cerebrale implică diencefalul. Din acestea 58% afectează bărbații iar 42% femeile (diferențele între sexe nu sunt semnificative statistic deoarece sunt aproape egale), iar vârsta medie este 61,5 ani. Sindroame clinice asociate au fost clasificate în sindroame cu deficit hemisenzorial, hemiataxie și mișcări involuntare, sindroame cu simptomatologie senzitivă pură și sindroame senzitivo-motorii, secundare. Acestea sunt sindroame pure talamice adică nu mai au altă leziune a creierului, deci se poate face o corelație directă între simptome (ceea ce descrie pacientul), semne (ceea ce găsește doctorul patologic când îl examinează), sindrom (semne + simptome) și locul leziunii.

Prin realizarea unui studiu pur științific pe pacienți decedați care au prezentat sindroamele clinice asociate mai sus se poate determina dacă există o corelație între numărul de capilare prezente la baza talamusului și tipul sindromului.

Astfel datele de intrare sunt piese (*lame*) de la baza talamusului (prelucrate) ce aparțin pacienților decedați în urma unui atac vascular cerebral, cărora li se cunosc sindroamele. Dacă se determină numărul de capilare asociate talamusului, apoi se poate stabili dacă există o corespondență între pacienții cu un anumit tip de sindrom și un număr aproximativ egal de capilare la un anumit nivel atomic, care e dat de numărul lamei.

Lama este o "felie" de mici dimensiuni la nivelul creierului și se obține prin prelevare pieselor, fixarea lor în formol 10%. Piese formate se vor prelucra prin tehnica includerii la parafină, apoi prin tehnica colorării cu hematoxilină-eozină, și alte tehnici specifice de colorare. Aceste lame se pot fotografia (transformate în imagini digitale) cu ajutorul unor dispozitive speciale asemănătoare microscopelor ce au atașate aparate de fotografiat de rezoluții înalte. Ea poate conține mai multe elemente, specifice aceluși nivel atomic precum celulă glială, capilară și neuroni.

Odată ce obiectivele au fost stabilite și materialele/datele de intrare au fost pregătite, totul se rezumă la crearea aplicației.

2 Aplicația — date tehnice

2.1 Introducere

Din considerente practice am ales platforma .NET și limbajul C# ce s-au dovedit a fi de un real folos, îmbunătățind considerabil rapiditatea dezvoltării proiectului dar și a timpilor de rulare. Așadar plecând de la un Windows Form, s-a realizat un program simplu de lucru cu imagini. Printr-un `OpenDialogBox` se poate deschide orice imagine în format `.jpg`, `.png`, `.tif`, `.bmp`, `.gif` apoi afișate în `PictureBox`-ul aplicației.

2.2 Strategii de dezvoltare

Din considerente de optimizare s-a adoptat o strategie de analizare a imaginilor bazată pe stratificare. Inițial imaginea va fi divizată cromatic în două noi imagini. Prima imagine va conține doar petele întunecate printre care și elementele sangvine, iar a doua va conține numai petele deschise printre care și peretii capilarelor în sine. Aparent imaginile nou create nu aduc nici o îmbunătățire, dar împreună pot face ca această căutare să fie una informată (în strategiile de căutare informată, se utilizează cunoștințe specifice problemei pentru a găsi soluțiile în mod eficient). Având la dispoziție coordonatele elementelor sangvine dar nu numai (în urma diferențierii între pixeli sunt validați și pixelii care nu fac parte din capilare) se poate verifica mai rapid în a doua imagine dacă în jurul coordonatelor găsite se află pixeli validați ca făcând parte din capilare în sine. Astfel căutarea se face doar în jurul elementelor care ”merită efortul”. Timpul de analizare a unei imagini scade semnificativ, pentru o imagine de mici dimensiuni procesarea se face sub 2 secunde.

2.3 Proceduri

S-a făcut referire până acum la clasa care se ocupă de prelucrarea imaginilor. Ea se numește `ProcesareLame`, și conține metode variate ce vor fi detaliate în următoarele subcapitole.

2.3.1 AlbSauNegru

`AlbSauNegru` are rolul de a returna o imagine formată prin transformarea imaginii primite într-una alb-negru, mai exact într-o imagine binară. Transformarea se produce folosind o filtrare gen alb sau negru. Astfel pixelii ce au nuanțele `Red`, `Green` și `Blue` incluse în intervalele definite de variabilele `IntRange`, se vor transforma în pixeli albi (`R:255,G:255,B:255`), iar pixelii care au nuanțe ce nu aparțin intervalelor `IntRange` devin pixeli negri (`R:0,G:0,B:0`). Imaginea modificată nu este cea originală ci o clonă, care va fi ulterior trimisă ca rezultat al metodei.

În prima parte se creează o variabilă de tip `Color` numită `currentColor`, pentru a putea fi utilizată ulterior. Se creează apoi o clonă a imaginii primite ca parametru pentru a i se putea face modificări. Sunt create două `for`-uri ce parcurg toată matricea de pixeli ai imaginii clonate, începând de la coordonatele `X=0` și `Y=0`. La fiecare pixel `i` se capturează culoarea în variabila `currentColor`, folosind metoda `GetPixel(X,Y)` a imaginii clonate. Odată stabilită culoarea pixelului, adică nuanțele ce formează culoarea, se verifică printr-o instrucțiune `if` dacă acestea aparțin intervalelor primite ca parametri. Dacă aparțin, atunci se apelează metoda `SetPixel(X, Y, Color.White)` pentru imaginea nou creată, dacă vreuna din nuanțe nu aparține intervalului corespunzător atunci se apelează aceeași metodă dar cu un parametru diferit: `SetPixel(X, Y, Color.Black)`.

Imaginea clonată este inițial identică cu cea originală, dar după filtrarea pixelilor în albi sau negri, imaginea conține doar 2 culori, dar ea este totuși în formatul imaginii originale. Acest lucru trebuie corectat, deci convertirea imaginii în format `Format8bppIndexed`. În transformarea imaginilor color în imagini alb-negru, mai precis, în imagini cu nuanțe variate între alb și negru (scala gri) se folosește un filtru `Grayscale` de parametrii `0.2125`, `0.7154`, `0.0721` ce are la bază algoritmul consacrat BT709 la o frecvență mult mai mare. Formula de calcul a culorii unui pixel transformat prin `GrayscaleBT709` este:

$$y = R * 0.2125 + G * 0.7154 + B * 0.0721 \quad (1)$$

unde y este noua nuanță rezultată, iar R , G și B sunt valorile nuanțelor roșu(**red**), verde(**green**) și albastru deschis(**blue**) ai pixelului transformat.

Așadar urmărind formula de calcul a algoritmului **GrayscaleBT709**, se poate deduce că un pixel de culoare neagră(**RGB:255,255,255**) din imaginea filtrată anterior va avea culoarea:

$$y = 0 * 0.2125 + 0 * 0.7154 + 0 * 0.0721 = 0 + 0 + 0 = 0 \quad (2)$$

ceea ce înseamnă că în noul format(**Format8bppIndexed**) pixelul va avea culoarea paletii cu valoarea 0, adică tot negru, iar dacă deducem și culoarea unui pixel alb(**RGB:0,0,0**) vom obține:

$$y = 255 * 0.2125 + 255 * 0.7154 + 255 * 0.0721 = 54,187 + 182,427 + 18,3855 = 255 \quad (3)$$

ceea ce înseamnă că în noul format(**Format8bppIndexed**) pixelul va avea culoarea paletii cu valoarea 255, adică tot alb.

Deci, în final se aplică filtrul **GrayscaleBT709** asupra imaginii clonate, rezultând imaginea necesară următoarelor prelucrări, aceasta fiind returnată ca valoare a procedurii **AlbSauNegru**.

2.3.2 Filtrare

În această procedură se va folosi o clasă a pachetului **AForge.NET** și anume:

BlobsFiltering aparține spațiului de nume **AForge.Imaging.Filtering**. Această clasă are rolul de a detecta elementele **albe** dintr-o **imagine binară** și apoi să le filtreze în funcție de mărime. Această filtrare se face în funcție de proprietățile setate înainte de a fi aplicată. Așadar proprietăți ca **MinWidth**, **MinHeight**, **MaxWidth** și **MaxHeight** trebuie completate pentru ca filtrarea să aibă succes. Ele de fapt stabilesc intervalul lățimii și cel al înălțimii între care un element este valid în urma filtrării. O altă proprietate importantă este **CoupledSizeFiltering** ce stabilește dacă lățimea și înălțimea trebuie să fie incluse în interval, sau doar una din ele este de ajuns pentru ca elementul filtrat să fie valid. După setarea proprietăților, se poate aplica filtrul pentru imaginea dorită, iar ca răspuns se va returna imaginea filtrată. Se aplică filtrul **blobFilter** asupra imaginii primite ca parametru, iar rezultatul se returnează ca valoare a procedurii **Filtrare**.

2.3.3 Marchează

Procedura de față e creată pentru a marca printr-un cadran grafic elementele întâlnite în imaginea primită ca parametru **Bitmap target**, în imaginea văzută de utilizator primită tot printr-un parametru **sourceImage**. În această procedură se vor folosi clasele din **AForge.NET**:

BlobCounter face parte din spațiu de nume **AForge.Imaging**. Clasa extrage obiecte independente dintr-o imagine binară, împreună cu imaginea lor și alte informații utile, folosind algoritmul **connected components labeling**. Acest algoritm tratează toți pixelii negrii ca fundal, nu ca un obiect. Asta înseamnă că toate obiectele localizate de algoritm trebuie să aibă altă culoare decât negru. Pentru căutarea **blob-urilor**(**blob** = obiect localizat de clasa **BlobCounter**), clasa suportă numai imagini în format **8 bpp indexed grayscale**. Din această cauză imaginile filtrate anterior trebuie convertite în formatul **Format8bppIndexed**.

Blob face parte din spațiu de numele **AForge.Imaging**. Ea preia un obiect detectat de clasa **BlobCounter** și încapsulează imaginea acestuia, informațiile aferente lui și poziția în imaginea părinte.

La începutul procedurii **Marchează** se clonează imaginea **sourceImage** trimisă ca parametru, sub numele de **clonedImage**, pentru a nu altera imaginea inițială. Apoi se inițializează un obiect de tip **BlobCounter**, în care **Blob-urile** localizate vor fi ordonate prin setarea proprietății **ObjectOrder** cu atributul **BlobCounter.XY**, adică după poziția lor în imaginea scanată.

Se apelează metoda `ProcessImage` a obiectului de tip `BlobCounter`, cu parametru imaginea `target` (imaginea binară, cea care nu este văzută de utilizator). În urma apelului acestei metode s-au localizat toate elementele albe din imaginea trimisă ca parametru. Pentru a avea acces la `Blob`-urile detectate se va crea un șir de obiecte `Blob`, numit `blobs`. Apoi `blobs` va primi colecția de obiecte returnată de metoda `GetObjects` a clasei `BlobCounter` aplicată pe imaginea `target`. Având posibilitatea în acest moment de a manevra obiectele de tip `Blob` se creează o instrucțiune de tip `foreach` cu ajutorul căreia se va accesa fiecare `blob` din șirul `blobs`.

2.3.4 OnInteraction

Funcție internă ce primește ca parametri: referință la imaginea ce trebuie modificată cu nume de parametru `ImageToModify`, două variabile `PointX` și `PointY` de tip `int` corespunzătoare coordonatelor din imagine, unde utilizatorul a apăsător butonul mouse-ului. Funcția va returna o valoare de tip `Boolean`, care va fi `true` dacă s-a efectuat cu succes modificarea și `false` în cazul în care nu s-a efectuat nici o modificare deoarece utilizatorul nu a făcut clic pe o capilară marcată.

Se inițializează un nou obiect de tip `BlobCounter`, apoi se setează proprietatea `ObjectsOrder` ca fiind sortare după poziția `XY`. Se apelează metoda `ProcessImage` cu parametrul `ImageToModify`, apoi se creează un șir de `Blob`-uri, numit `blobs` ce va prelua rezultatul returnat de metoda `GetObject` aplicată obiectului `BlobCounter` având ca parametru imaginea `ImageToModify`, adică colecția de `Blob`-uri. Apoi se creează o variabilă booleană `blob0chit` inițializată cu valoarea `false`, cu scopul de a o returna la finalul funcției. Urmează o instrucțiune `foreach` care parcurge toate elementele colecției `blobs` pentru a se verifica pe care din ele utilizatorul a făcut clic. Se testează printr-o instrucțiune `if` dacă utilizatorul a apăsător pe butonul mouse-ului cu cursorul deasupra unui `blob`. Adică se verifică dacă parametri `PointX` și `PointY` definesc un punct în interiorul imaginii `Blob`-ului curent. Dacă utilizatorul nu a făcut clic pe un `Blob` atunci nu se va întâmpla nimic. Dacă el a făcut clic pe un `Blob`, atunci înseamnă că vrea să-l elimine, caz în care variabila `blob0chit` va lua valoarea `true`.

Se va apela din nou la o procedură de schimbare a formatului imaginii, deoarece pentru a șterge un element din imagine trebuie apelată metoda `SetPixel` a acesteia, metodă ce funcționează numai pe imagini cu format neindexat, adică `Rgb`. Conversie se va face cu ajutorul clasei `GrayscaleToRGB` ce aparține numelui de spațiu `AForge.Imaging.Filters`. Așadar se creează un obiect de tip `GrayscaleToRGB`, numit `backCol`, apoi se aplică conversia pe imaginea `ImageToModify`, deci vom obține o imagine alb-negru, dar într-un format neindexat, `Rgb`.

Odată realizată conversia se va parcurge prin două instrucțiuni `for` imaginea `Blob`-ului curent și se va seta culoarea neagră pentru toți pixelii (folosind metoda `SetPixel` a imaginii `ImageToModify`).

După ce `Blob`-ul a fost eliminat, imaginea trebuie readusă la forma ei inițială, adică în format `Format8bppRgb`. Se aplică imaginii `ImageToModify` un filtru de tip `GrayscaleBT709`, creat în prealabil. În final este returnată valoarea variabilei booleane `blob0chit`.

2.3.5 DrawBlob

Metodă ce vine în rezolvarea problemei de corecție – ”Aduagă capilară“. Pentru ca utilizatorul să adauge o capilară va trebui, ca și în cazul funcției `OnInteraction` să se opereze pe imaginea creată în scopul modificărilor.

Procedura `DrawBlob` este o procedură `internal` ce nu returnează nimic. Ea primește ca parametri referință la imaginea `Bitmap ImageToModify`, două valori de tip `int` (`xCenter` și `yCenter`) asociate coordonatelor unde utilizatorul a făcut clic în cadrul imaginii și al patrulea parametru este `raza`, adică valoarea de tip `int` a razei cercului ce trebuie ”desenat“. Prin urmare va trebui să se realizeze un cerc de rază `raza`, cu centrul în punctul de coordonate `xCenter`, `yCenter`.

Inițial se face convertirea imaginii `ImageToModify` în format `Rgb`. Se creează o instanță a filtrului `GrayscaleToRGB`, apoi se aplică pe imaginea `ImageToModify`.

Pentru crearea unui cerc se va folosi următorul algoritm. se crează o variabilă de tip `int` ce va lua valoarea `raza2`, apoi printr-o instrucțiune `for` se vor parcurge `2*raza+1` iterații, plecând de la valoarea `-raza` până la valoarea `raza`, cu pasul de incrementare de 1. Pentru fiecare iterație se va calcula variabila

nou creată de tip `int`, numită `y`, astfel:

$$y = \sqrt{r^2 - x^2} + 0.5 \quad (4)$$

unde `r` este valoarea variabilei `raza`, iar `x` este indexul instrucțiunii `for`.

După ce a fost calculată valoarea variabilei `y`, se apelează metoda `SetPixel` a imaginii `ImageToModify` de două ori: odată cu parametri `xCenter + x`, `yCenter + y` și `Color.White`, iar a doua oară, cu aceiași parametri, mai puțin cel al coordonatei `y` care va fi `yCenter - y`.

În final procedurii, se creează filtrul `GrayscaleBT709` și este aplicat imaginii `ImageToModify`, astfel se realizează conversia inversă.

2.3.6 ShowDrawingBlob

Această procedură diferă doar în partea de declarare față de procedura anterioară. Diferențele constau în cum preiau parametri, și ce valori returnează. Deoarece este procedura care se ocupă cu afișarea capitelor nou create în `pictureBox`-ul utilizatorului, trebuie evitată modificarea imaginii `sourceImage`, de aceea ea nu este trimisă ca parametru referință, ci doar valoarea ei (imaginea). Din această cauză, procedura `ShowDrawingBlob` trebuie să întoarcă un rezultat, acela al imaginii `sourceImage` modificată.

2.3.7 ValidareCorectare

Este o procedură internă ce returnează o variabilă de tip `Bitmap`. Poate lua ca parametri două imagini numite `peteInchise` și `peteDeschise`, iar ultimul parametru este de tip `int` denumit `Probabilitate`.

`ValidareCorectare` are unul din rolurile de a valida elementele din imaginea `peteInchise`, ce au în jurul lor un anumit procentaj (valoarea variabilei `Probabilitate`) de pixeli albi, doar că verificarea se face în cadrul imaginii `peteDeschise`. Apoi "corectarea" înseamnă că acele elemente care nu au un procentaj de pixeli albi în jurul lor, vor fi corectate, adică eliminate.

Inițial se creează o imagine de tip `Bitmap`, numită `returnedImage` căreia îi este atribuită clona imaginii `peteInchise`. Apoi se creează o instanță a clasei `BlobCounter`, ca după aceea să se apeleze metoda `ObjectOrder` pentru a fi ordonate `Blob`-urile după poziția ocupată în imaginea de unde provin. Se apelează metoda `ProcessImage` a aceleiași clase, cu parametrul `returnedImage`. Odată ce imaginea a fost procesată se creează un șir de obiecte de tip `Blob`, unde este stocată colecția de `Blob`-uri rezultată în urma apelării metodei `GetObjects` a obiectului de tip `BlobCounter` pentru imaginea `returnedImage`.

Odată capturați `Blob`-ii, trebuie pregătită imaginea `returnedImage` pentru modificări, deci se creează un filtru de tip `GrayscaleToRGB` și i se aplică acesteia, făcându-se astfel transformarea din formatul `Format8bppIndexed` în format neindexat, `Rgb`. Urmează o instrucțiune `foreach` ce va parcurge toate elementele `Blob` din colecția capturată anterior.

În acest moment începe validarea propriu-zisă. Se inițializează mai multe variabile de tip `int`: `whitePixelsCounter` va lua valoarea 0, adică variabila se ocupă de numărarea pixelilor albi, iar pentru acest `Blob` curent numărul de pixeli albi din jurul lui este inițial 0, apoi două variabile numite `searchWidthCoef` și `searchHeightCoef` ce sunt niște coeficienți care ajută la determinarea suprafeței din jurul elementelor din imaginea `peteInchise`, acestea luând valoarea jumătatea lățimii `blob`-ului curent, respectiv jumătatea înălțimii, iar ultima variabilă inițializată este `blobAreaSearch` ce determină aria suprafeței de căutare, necesară pentru a se stabili procentajul pixelilor albi. `blobAreaSearch` se calculează cu formula:

$$blobAreaSearch = 2 * blob.Width * 2 * blob.Height = 4 * blob.Width * blob.Height \quad (5)$$

Această formulă este de fapt formula ariei dreptunghiului personalizată pentru cazul de față, unde lățimea, respectiv înălțimea sunt calculate adăugând surplusul coeficienților lor. După calcularea suprafeței ariei, trebuie numărați pixelii albi din aceeași arie. Acest lucru se realizează prin intermediul a două instrucțiuni `for` imbricate, care parcurg toată aria de pixeli vizată. Așadar primul `for` pleacă de la diferența coordonatei `X` a `Blob`-ului și coeficientul `searchWidthCoef`, până la coordonata limită superioară a `Blob`-ului însumată cu același coeficient `searchWidthCoef`. Apoi se verifică, înaintea derulării celui de-al doilea `for`,

dacă nu cumva coordonata curentă a lui **X** depășește limitele imaginii. Numai în cazul în care această coordonată este în limitele imaginii se intră în al doilea **for**, dacă nu se continuă iterația **for**-ului precedent. Similar și pentru coordonata **Y**, plecând de la diferența coordonatei **Y** și coeficientul **searchHeightCoef**, până la limita superioară a coordonatei **Y** a **Blob**-ului însumată cu același coeficient **searchHeightCoef**. Iar după instrucțiunea **for** se verifică din nou dacă coordonata **Y** nu a depășit cadrul imaginii, caz în care se continuă iterația **for**-ului precedent.

Dacă totuși se ajunge în blocul valid al ultimei instrucțiuni **if** înseamnă că pixelul curent se află în imaginea **sourceImage** respectiv și în **peteInchise** și **peteDeschise**. Deci se poate face verificarea dacă pixelul curent găsit în **Blob**-ul ce aparține imaginii **peteInchise**, este de culoare albă(**Color.White**) în același loc(la aceleași coordonate) în imaginea **peteDeschise**. Se face verificarea printr-o alta instrucțiune **if**, iar dacă se găsește un pixel alb, este incrementată cu o unitate variabila **whitePixelsCounter**, ce se ocupă de numărarea pixelilor albi.

La părăsirea celor două **for**-uri, dar tot în cadrul **foreach**-ului, variabila **whitePixelsCounter** conține numărul total de pixeli albi din **Blob**-ul curent. Pentru calculul procentajului "cât la sută din numărul total de pixeli ai **Blob**-ului(asociat variabilei **blobAreaSearch**) reprezintă numărul de pixeli albi găsiți (reprezentat de **whitePixelsCounter**)" am folosit formula:

$$\text{Procentaj} = (\text{whitePixelsCounter} * 100) / \text{blobAreaSearch} * 4 \quad (6)$$

unde **Procentajul** este un rezultat între 0% și 100%, **whitePixelsCounter** este numărul de pixeli albi, iar **blobAreaSearch** este numărul total de pixeli. Acea înmulțire din final reprezintă calibrarea validării. Numărul "4" reprezintă coeficientul rezultat în urma calibrării validării pe o imagine creată în acest scop.

După ce a fost calculată valoarea **Procentaj**, printr-o nouă instrucțiune **if** care verifică dacă ea este mai mică decât variabila **Probabilitate** (cea setată de utilizator). Prin această validare se vor păstra doar **Blob**-urile care au valoare **Procentaj** mai mare ca valoarea variabilei **Proabilitate**. Prin urmare vor intra pe ramura validă a instrucțiunii **if** doar **Blob**-urile care au un procentaj mai scăzut de pixeli albi decât este setat de utilizator, ceea ce înseamnă că el trebuie eliminat din imaginea ce va fi returnată(**returnedImage**).

Eliminarea **Blob**-ului se va face eliminând toți pixelii albi ai acestuia. Deci folosind din nou două **for**-uri imbricate ce parcurg toată matricea de pixeli ai imaginii **Blob**-ului, ce face parte din imaginea părinte **peteInchise**. Se creează la fiecare iterație o variabilă de tip **Color** ce preia culoarea pixelului curent rezultat în urma apelării metodei **GetPixel** de coordonatele **X**(indexul primului **for**) și **Y**(indexul celui de-al doilea **for**). Se testează printr-un nou **if** dacă culorile(codurile nuanțelor RGB) corespund, iar dacă acestea sunt egale pixelul este setat negru(**SetPixel(X, Y, Color.Black)**).

De specificat este că există posibilitatea de optimizare a acestei secvențe ce elimină **Blob**-ulri, prin a refuza să se testeze fiecare pixel pentru a se verifica dacă el are culoarea alb. Se puteau alege varianta setării tuturor pixelilor din cadranul **Blob**-ului în culoarea negru. Principalul motiv pentru care nu am ales această formă de optimizare a procedurii, este securitatea imaginii, deoarece există posibilitatea ca lângă acel **Blob** să existe unul foarte apropiat, iar prin setarea tuturor pixelilor din cadranul **Blob**-ului, să fie setați și pixeli din **Blobul alăturat**.

La sfârșitul procedurii se revine la formatul **Format8bppIndexed** prin aplicarea filtrului nou creat **GrayscaleBT709** pe imaginea **returnedImage**, care în final este returnează ca valoare a procedurii. După procedura **AlbSauNegru** și **Filtrare**, imaginea va trece și prin partea de validare.

2.3.8 GenerateResultFileFor

Procedura are rolul de a scoate toate informațiile posibile dintr-o imagine procesată, validată și corectată. Ea nu are nici un rol de editare/modificare a imaginii, ci doar o analizează. Parametrul procedurii este de tip **Bitmap**, numit **imageReadyForAnalyse**. Rolul procedurii nu este de a detecta dacă elementele din imagine sunt corecte, acest lucru trebuie realizat înaintea apelării procedurii. Informațiile extrase în urma analizei sunt stocate într-un fișier cu aceeași denumire ca imaginea analizată, numai că tipul fișierului va fi de tip **text(.txt)**.

Obiectivele procedurii sunt aflarea numărului total de capilare, aflarea coordonatelor fiecărei capilare din imaginea dată, aflarea diametrului fiecărei capilare în microni, aflarea suprafeței fiecărei capilare în

microni² și mm², determinarea numărului de capilare și a suprafeței totale pe zone (Nord-Vest, Sud-Vest, Nord-Est, Sud-Est), determinarea zonei cu cea mai mare suprafață, determinarea zonei cu numărul cel mai mare de capilare și determinarea mediei diametrelor.

La începutul procedurii au loc inițializări de componente. Se declară variabila constantă `OneInchInMM` de tip `double` ce are valoarea 25,4. Această valoare reprezintă câți milimetrii are un inch.

Se inițializează un șir de patru variabile `double`, numit `SuprafeteZonale`, menit să rețină în fiecare element suprafața totală din zona respectivă asociat acestuia. Pentru a rezolva problema zonelor, s-a hotărât că indexul elementelor șirului să fie asociate zonelor astfel: 0–Nord-Vest, 1–Sud-Vest, 2–Nord-Est, 3–Sud-Est. Spre exemplu: dacă se găsește o capilară în zona Nord-Est atunci se va adăuga valoarea suprafeței acesteia la `SuprafeteZonale[2]`.

Similar se creează un șir de tip `int`, numit `ContorZonal`, tot cu patru elemente, iar după cum reiese și din denumire, el numără capilarele pe zone. Spre exemplu: dacă se găsește o capilară în zona Nord-Vest atunci se incrementează cu o unitate `SuprafeteZonale[0]`.

Urmează o secvență tipică de cod, în care sunt colectate toate `Blob`-urile găsite de metoda `ProcessImage` a clasei `BlobCounter`, având ca parametri imaginii `imageReadyToAnalyse` apoi extrase folosind metoda `GetObject` pe aceeași imagine, în șirul de obiecte de tip `Blob`.

Pentru a putea genera un fișier este nevoie de o variabilă de tip `TextWriter`, numită `GeneratedFile`, care în momentul creării se inițializează cu un nou obiect de tip `StreamWriter` ce are ca parametri calea fișierului capturat de `openDialogBox`, numai că îi este modificată extensia în `txt`.

Combinăția `TextWriter` – `StreamWriter` de fapt asociază fișierului specificat un obiect specializat în scrierea fișierelor text. Deci prin intermediul `GeneratedFile`, se pot adăuga texte în fișierul specificat. De precizat este că dacă fișierul nu există inițial, el va fi creat, în caz contrar el va fi rescris.

Pentru a evita scrierea repetată în fișier pentru orice informație, se alege varianta de a se crea o variabilă temporară de tip `String` ce va fi încărcată pe parcursul procedurii cu anumite informații grupate, apoi scrise în fișier.

Pentru început se va scrie în fișier numărul total de capilare găsite în imagine apelând metoda `ObjectsCount` a obiectului `BlobCounter`.

Pentru calculul diametrelor și a suprafețelor, este necesară convertirea dimensiunilor din pixeli în microni. Pentru această operație sunt create mai multe variabile de tip `double`: `ImageVerticalResolution` și `ImageHorizontalResolution` rețin rezoluția verticală, respectiv cea orizontală. `Px_per_squareMilimeter` este de fapt convertirea densității pixelilor pe inch² la densitatea pixelilor pe mm², conversie realizată folosind formula:

$$Ppsmm = vr \times hr / 25,4^2; \quad (7)$$

unde

`Ppsmm` reprezintă valoarea lui `Px_per_squareMilimeter`, `vr` simbolizează `ImageVerticalResolution`, `hr` reprezintă `ImageHorizontalResolution`, iar 25,4 constanta `OneInchInMM`.

Se mai creează și o variabilă de tip `int`, numită `AverageDiameterPerImage`, responsabilă cu stocarea tuturor diametrelor calculate pentru capilare, urmând ca la final să fie împărțită la numărul total de capilare pentru a afla media diametrelor.

În secvența următoare cu ajutorul instrucțiunii `foreach` se parcurg toate elementele șirului de `Blob`-uri, pentru fiecare fiind necesară determinarea suprafeței și al diametrului. Așadar se inițializează cu 0 variabila de tip `int` numită `PixSup` cu rolul de a număra pixelii albi ai `Blob`-ului curent. Prin două `for`-uri imbricate ce parcurg toți pixelii imaginii `Blob`-ului curent se testează culoarea pixelului, iar dacă acesta este alb se incrementează cu o unitate valoarea lui `PixSup`. La ieșirea din cele două instrucțiuni `for` se cunosc numărul de pixeli albi ai `Blob`-ului, deci trebuie determinată suprafața. Aceasta va fi reținută în variabila de tip `double`, numită `SuprafataReala`, calculată după formula:

$$SuprafataReala = PixSup / Px_per_squareMilimeter / factorZoom \quad (8)$$

unde valoarea variabilei `SuprafataReala` reprezintă suprafața capilare calculată în mm², `Px_per_squareMilimeter` reprezintă densitatea de pixeli într-un mm², iar `factorZoom` este parametrul setat de utilizator, ce influențează dimensiunile, denumit și factor de mărire.

Observație Pentru determinarea diametrului unei capilare trebuie avut în considerare faptul că o capilară nu este neapărat de formă circulară, ceea ce înseamnă că nu are un diametru constant. De aceea se consideră diametrul capilarei media dintre lățimea și înălțimea acestuia.

Se calculează lățimea (asociată variabilei `xDimension`, de tip `double`) și înălțimea (asociată variabilei de tip `double`, numită `yDimension`) capilarei utilizând formulele:

$$\ell = \ell Pix/hr \times 25,4 \times 1000/factorZoom; \quad (9)$$

unde ℓ reprezintă lățimea în micrometri (valoarea lui `xDimension`), ℓPix este lățimea în pixeli, `hr` rezoluția orizontală, `25,4` valoarea în milimetri a unui `inch`, `1000` coeficient (1 milimetru = 1000 micrometri) de transformare de la milimetri la micrometri.

$$I = IPix/vr \times 25,4 \times 1000/factorZoom; \quad (10)$$

unde I reprezintă înălțimea în micrometri (valoarea lui `yDimension`), `IPix` este lățimea în pixeli, iar `hr` rezoluția verticală.

Odată aflate valorile lățimii și înălțimii se poate calcula, făcând media lor, valoarea diametrului aproximat `AverageDiameter`, variabilă de tip `double`.

Se introduc datele despre `Blob`-ul curent, formate și aliniate, în `string`-ul `toFileText`, apoi se scriu în fișier. De precizat este că suprafața în micrometri este calculată prin înmulțirea valorii `SuprafataReala` cu coeficientul de conversie de la milimetru² la micrometru² care este $1000000 = 10^6$.

Tot în cadrul `foreach`-ului se face repartizarea `Blob`-ului curent în funcție de poziția sa în imaginea `imageReadyForAnalyse`. Pentru a determina corect poziția elementelor din imagine, trebuie aflate coordonatele centrului lor.

Observație Coordonatele unui `Blob` înseamnă coordonatele punctului cel mai din stânga-sus a dreptunghiului în care se află `Blob`-ul. Se inițializează două variabile de tip `int`: `blobCenterX` ia valoarea coordonatei `X` a `Blob`-ului însumată cu jumătate din lățimea lui, respectiv `blobCenterY` ce ia valoarea coordonatei `Y` a `Blob`-ului însumată cu jumătate din înălțimea lui. Aceste două variabile reprezintă coordonatele centrului unui `Blob`.

Se verifică pe rând fiecare zonă (`N-V`, `S-V`, `N-E`, `S-E`) dacă include punctul de coordonate determinate anterior. În momentul în care s-a găsit zona din care face parte centrul `Blob`-ului, se adaugă suprafața lui transformată în micrometri (înmulțită cu 10^6) la șirul `SuprafeteZonale` ce are ca index valoarea asociată acelei zone, și se incrementează cu o unitate șirul `ContorZonal` cu același index.

În momentul părăsirii instrucțiunii `foreach` se pot scrie datele statistice în fișier. Așadar se pot afișa într-un format organizat numărul de capilare, cât și aria totală pe zone.

Pentru evidențierea zonelor speciale din punct de vedere al vascularizării, se caută în șirurile anterioare valorile maxime, ca mai apoi să fie tipărite în fișier.

Se calculează și media diametrelor, prin împărțirea valorii variabilei denumită semnificativ `AverageDiameterPerImage` la numărul capilarelor din imaginea curentă, apoi se scriu în fișier.

Salvarea datelor scrise cu ajutorul obiectului `GeneratedFile` în fișierul text se face numai la închiderea sesiunii de scriere, fapt realizat prin metoda `GeneratedFile.Close()`.

În final se afișează un mesaj ce confirmă că fișierul a fost generat, alături de numărul total de capilare detaliate.

3 Utilizare

3.1 Deschiderea unei imagini

Odată pornită aplicația, putem opta pentru două moduri concrete de a deschide o imagine. Fie folosim butonul rapid `Open...` de pe bara ajutătoare de sub bara de meniu, fie accesăm bara de meniu, iar în cadrul opțiunii `File` putem accesa `Open...` Odată ajunși în fereastra `Open...` putem deschide imagini în formate `.jpg`, `.png`, `.tif`, `.bmp` sau `.gif`. După ce am selectat imaginea dorită, și aceasta a fost afișată putem începe analizarea imaginii.

3.2 Capturare parametri

Pentru ca recunoașterea capilarelor să fie posibilă, utilizatorul trebuie mai întâi să captureze nuanțele de culori necesare identificării unei capilare. Acestea sunt împărțite în nuanțe ce provin din elementele sangvine, care au o tentă închisă și nuanțe ce provin din capilare, care tind spre alb. Pentru a captura nuanțele elementelor sangvine sau a capilarelor, utilizatorul trebuie să folosească unealta de captură. Aceasta se găsește în meniu la secțiunea `Parametri > Capturează culoare(element sangvin)` sau `Parametri > Capturează arie de culori(element sangvin)` sau `Parametri > Capturează culoare(capilară)` sau `Parametri > Capturează arie de culori(capilară)`

Așadar selectând unul din modurile prezentate, utilizatorul va observa că cursorul mouse-ului a intrat în mod de captură, transformându-se în cruce/chenar, iar pe bara de comenzi rapide apar date utile privind coordonatele cursorului în imaginea deschisă: `X`, `Y`, paleta de culori (`R`, `G`, `B`) a pixelului peste care este cursorul mouse-ului în acel moment, precum și zona în care se află. Datele se schimbă instant la fiecare mișcare de mouse. În acest moment utilizatorul poate face clic oriunde în imaginea deschisă pentru a captura paleta de culori (RGB-ul) pentru pixelii selectați. Se poate observa că, făcând clic, în partea dreaptă va apărea un mic container în care sunt afișate date legate de rezultatele capturilor. În cazul în care acest container deranjează vizibilitatea utilizatorului, el poate fi mutat prin procedura de `Drag&Drop`.

După ce au fost capturate nuanțele predominante reprezentative pentru elementele sangvine și pentru capilare trebuie să setăm și dimensiunile între care sunt admise atât elementele sangvine cât și capilarele în sine. Acest lucru se poate face din panoul de parametri (detaliat în subcapitolul următor), dar în ajutorul completării corecte a datelor, utilizatorului i se pune la dispoziție un mod de capturare a dimensiunilor. Folosind `Parametri > Capturează dimensiuni` se pot determina distanțe în cadrul imaginii deschise. Așadar ținând apăsat butonul stâng al mouse-ului și trăgând un diametru imaginar vertical sau orizontal deasupra unei capilare, în momentul eliberării butonului stâng se va afișa distanța capturată. Se încearcă capturarea dimensiunilor semnificative, în vederea stabilirii corectă a intervalului de măsurători, deci se urmărește capturarea celor mai mici dimensiuni, și respectiv celor mai mari. Datele vor fi apoi introduse în panoul de parametri.

3.3 Parametri

Toți parametri aplicației se află într-un panou separat, numit `Parametri`. Acesta poate fi accesat din bara de meniu astfel: `Parametri > Arată Parametri...` dar și de pe bara de comenzi rapide făcând clic pe butonul cu *cheiță*.

3.3.1 Parametri elemente sangvine și Parametri capilare

Aceste grupări au rolul de a reprezenta parametri elementelor sangvine și a capilarelor. În prima parte sunt parametri ce țin de paleta de culori între care este validat un pixel dintr-un element sangvin sau capilară. Datele sunt reprezentate pe 3 linii, fiind asociate cu paleta de culori minimă și maximă (RGB-ul minim și maxim). Aceste date sunt capturate cu ajutorul uneltelor prezentate în subcapitolul anterior, iar introducerea lor manuală nu este recomandată doar în cazul în care valorile parametrilor se cunosc.

În momentul salvării datelor, două blocuri ajutătoare afișează grafic culoarea pixelului format din paleta de culori minimă, respectiv cea a pixelului format din paleta de culori maximă.

În a doua parte, trebuie introduse datele ce țin de intervalul dimensiunilor în care este valid un element sangvin sau o capilară. Conform schemelor ajutătoare trebuie introduse: lățimea maximă, lățimea minimă, înălțimea maximă, înălțimea minimă. Elementele sangvine, capilarele sau alte elemente ce depășesc intervalele stabilite nu sunt luate în considerare.

În gruparea capilarelor mai există încă un parametru important în validarea corectă a capilarelor. **Procentaj apariție** reprezintă procentajul rezultat din cât la sută din elementul sangvin este înconjurat de capilară în sine, mai exact, dacă în vecinătatea petelor închise (elementelor sangvine) se află un anumit număr de pixeli ce țin de petele deschise (capilare).

3.3.2 Parametri generali

În cadrul parametrilor generali, există două opțiuni. Prima este **Factor de zoom** parametru utilizat în calcularea cât mai corectă a dimensiunilor. Toate datele generate, legate de dimensiuni, trebuie împărțite la factorul de zoom (sau factorul de mărire) produs de microscop și aparatul de fotografiat.

Ultima opțiune în cadrul parametrilor este aceea de **Arată stadii intermediare**. Această opțiune ajută la corectarea greșelilor apărute în urma parametrilor eronați. Așadar activând această opțiune, se pot urmări stadiile intermediare prin care trece imaginea în momentul prelucrărilor făcute de acțiunea **Detectează și marchează** ce va fi prezentată în cele ce urmează.

Observație Trebuie avut grijă ca după capturarea tuturor datelor, limita maximă a intervalului de paletă din cadrul elementelor sangvine să nu fie mai mare decât limita minimă a intervalului de paletă din cadrul parametrilor din cadrul capilarelor. Acest lucru duce la o analiză incorectă, respectiv la identificări incorecte.

3.4 Acțiuni

Toate metodele de procesare/editare a imaginilor se găsesc în bara de meniu la secțiunea **Acțiuni**. Acestea trebuie efectuate pentru a obține rezultate optime într-o ordine. Inițial se pornește cu “**Detectează și marchează**” care este principala metodă de analizare, detectare, recunoaștere a capilarelor, apoi “**Corecții**” pentru cazul în care sunt erori de procesare. Ca rezultat a acestor acțiuni putem apela “**Generează fișier date**” iar fișierul de date este generat. Vizualizarea lui se poate face prin actionarea “**Arată fișier date**”. Opțional, putem efectua și “**Medie**” pentru a face media capilarelor la nivelul atomic corespunzător. Așadar se poate determina în medie care este calitatea vascularizației a unui individ pe nivelul studiat. Apoi la apelarea **Acțiuni > Media capilarelor/set imagini...** se va deschide o fereastră asemănătoare celei de la **Deschiderea unei imagini**. În cadrul acestei ferestre se pot face *selecții multiple*. Odată încărcate fișierele selectate, se vor culege datele necesare mediei, apoi se va afișa rezultatul final: **Media capilarelor**.

3.5 Concluzie

Crearea acestei aplicații menită să simplifice și să îmbunătățească munca departamentelor de cercetare în medicină cu un plus de rapiditate și acuratețe s-a dovedit a fi o adevărată incursiune în lumea medicinei și a microscopicului, în care similitudinile dintre corpul omenesc și un calculator atât software cât și hardware devin din ce în ce mai interesante cu cât conștientizăm dependența reciprocă, dusă până în extreme, unde putem vorbi de vieți salvate, consecință a puterii de calcul a calculatorului.

Ca posibile dezvoltări viitoare, aplicația poate ajunge la optimizări mult mai complexe, cu timpi de rezolvare mai buni. Un mare pas ar fi excluderea modului de captură, și înlocuirea lui cu un modul automat de setare a parametrilor, bazat pe interpretarea histogramelor, și ajustarea corespunzătoare a intervalelor. De asemenea se poate ajunge la o implementare hardware, în care “microscopul viitorului” va face “LIVE” toate aceste analize, urmând ca la sfârșit să listeze rezultatele finale.

Bibliografie

- [1] Rafael C. Gonzalez, Richard E. Woods *Digital Image Processing*, Prentice Hall, Inc. Upper Saddle River, New Jersey 07458, 2th edition, 2002, 0-201-18075-8
- [2] KENNETH R. CASTLEMAN: *Digital Image Processing*, Prentice Hall; 2nd edition, September 2, 1995.
- [3] MARK GALER, LES HORVAT: *Imaginea Digitala*, AD LIBRI, 2004, 973-86781-6-1.
- [4] BAHRAM JAVIDI: *Image Recognition and Classification*, CRC; 1st edition, June 15 2002, 978-0824707835.
- [5] C. ARSENI, I. PETROVICI: *Bolile vasculare ale creierului și ale măduvii spinării*, Editura Medicală, București 1965.
- [6] V. POPESCU: *Neurologie pediatrică*, Editura Teora, București 2004.
- [7] ANDREW KIRILLOV: <http://www.aforgenet.com/framework/docs/>

La sfarsitul articolului vor fi pozitionate detaliile cu privire la afilierea fiecarui autor. Daca sunt mai multi autori se va folosi un tabel cu coloane cu latimea de 8.2 cm pentru 2 autori, 5.6 cm pentru trei autori, Times New Roman, 8pt., spatiul dintre caractere este de 0.2 pt

DROBOTĂ Florin-Robert
Universitatea Transilvania
Brașov
Informatică aplicată
Adresa Str. Iuliu Maniu, nr. 50,
Cod postal: 500091, Brasov
ROMÂNIA
E-mail:
robert.drobot@gmail.com

3D animation method from a fixed angle

Iulian Flester, Ivascu Carina
Coordonator: Lector Dr. Anca Vasilescu

Abstract

The theme of this project is to find a method to make a 3D animation of a picture, from a fixed angle. Our intention was to use few rendering resources and to create display interfaces (for Napier's rods) and animation interfaces (for Schickard's machine). We have used a 2D programming language. We have had as an example the disadvantage that OpenGL and DirectX have, by using many resources and from this reason some objects can not be rendered at a good quality on some mobile phones or PC's. From this reason, we have tried to find an alternative, that can create an illusion of an animated 3D object, seen from a fixed angle.

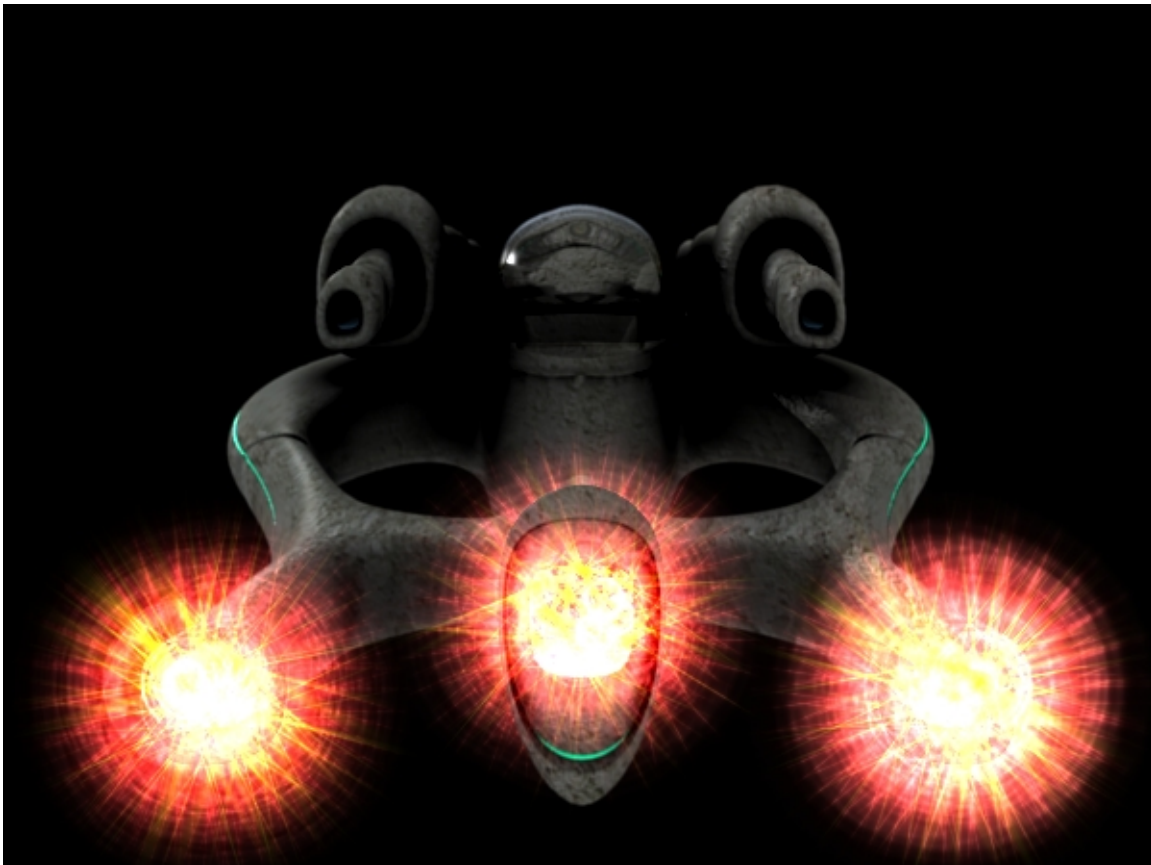


Fig 1: A photo of a 3d model.

Metoda de animatie 3D dintr-un unghi fix

Iulian Flester, Ivascu Carina
Prof.Coordonator: Anca Vasilescu

Abstract

Tema si scopul acestei lucrari au fost, de a gasi o modalitate de a face o animatie 3D, dintr-un unghi fix, la o calitate de randare cat mai mare, plecand de la o imagine. Am dorit sa folosim cat mai putine resurse de randare. De asemenea am folosit un limbaj de programare 2D.

Plecand de la aceasta idee, am dorit sa cream interfete de afisare interfete de animare (pentru masina lui Schickard).

De asemenea, am plecat de la ideea ca DirectX si OpenGL pot randa obiecte 3D, folosind coordonatele punctelor din care este alcatuit obiectul. Acestea au dezavantajul ca folosesc multe resurse si din aceasta cauza pe unele calculatoare sau telefoane mobile, anumite obiecte nu pot fi randate la o calitate buna. Din acest motiv, am cautat sa gasim o alternativa care sa permita crearea unei iluzii de animatie 3D, a unui obiect vazut dintr-un anumit unghi fix.

Oasele lui Napier este un dispozitiv inventat in anul 1600, folosit pentru a inmultii si imparti doua numere. Acest dispozitiv s-a bucurat de o popularitate mare in acea vreme atat in Marea Britanie, cat si pe continent.

Masina lui Schickard, inventata la inceputul secolului al XVII-lea de catre Wilhelm Schickard, putea sa adune, sa scada si sa inmulteasca numere; inmultirea putea fi realizata folosind oasele lui Napier. Din pacate, înainte ca dispozitivul să fie pe jumătate realizat, fabrica unde era adăpostit a ars. Wilhelm Schickard și întreaga sa familie au murit de ciumă, înainte ca el să construiască alt model. Mult mai târziu, un mecanic a recreat instrumentul având ca ghid vechile scrisori ale lui Schickard. Dacă această invenție ar fi fost disponibilă inventatorilor din acea vreme, ea ar fi putut schimba în totalitate istoria calculatoarelor.

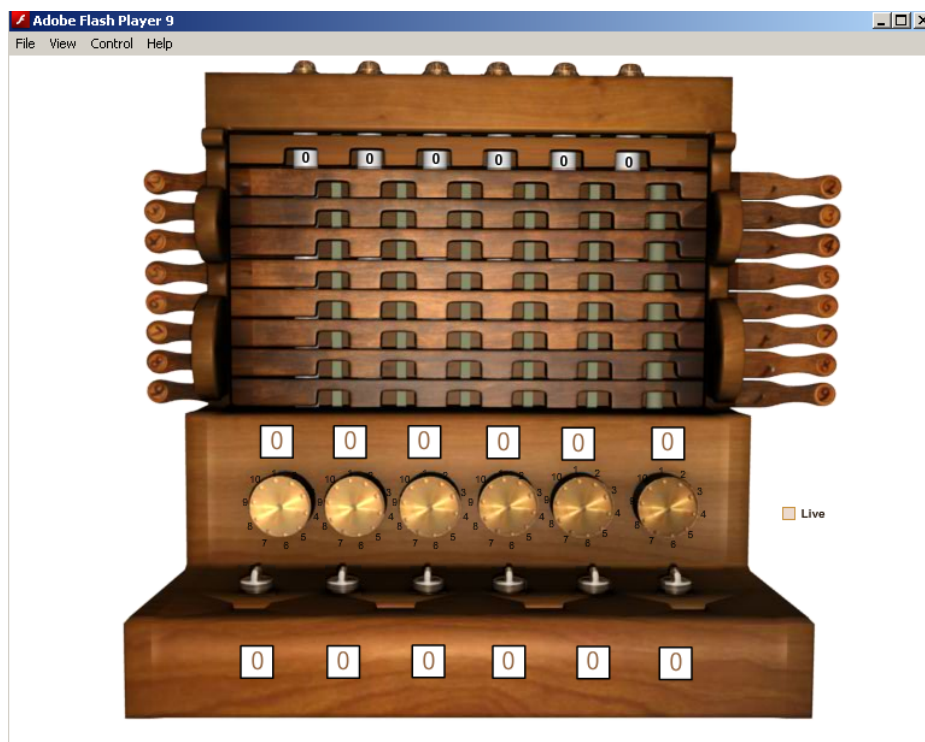


Fig 2: Masina lui Schickard

Lucrarea cuprinde 2 sectiuni, in care sunt prezentate modul de functionare al celor doua dispozitive, precum si modul de realizare al celor doua simulatoare.

1 Oasele lui Napier

Acest dispozitiv era format din 10 cilindrii de fildes, fiecare fiind format din 9 patrate.

Pe primul cilindru erau trecute in cele 9 patrate, cifrele de la 1 la 9 (scrise vertical). Pe celelalte 9 "oase" erau trecute in patratul de sus cifrele de la 1 la 9, iar in patratele de jos multiplii cifrelor respective. Fiecare patrat, cu exceptia celui de sus, era impartit de o diagonala, care avea urmatorul rol: cifra unitatilor a multiplului respectiv era trecuta sub diagonala, iar cifra zecilor deasupra diagonalei.

Multiplul era calculat inmultind cifra aflata pe linia respectiva, a primului "os" (cel cu cele 9 cifre de la 1 la 9, scrise vertical) cu cifra aflata in primul patrat de pe fiecare "os".

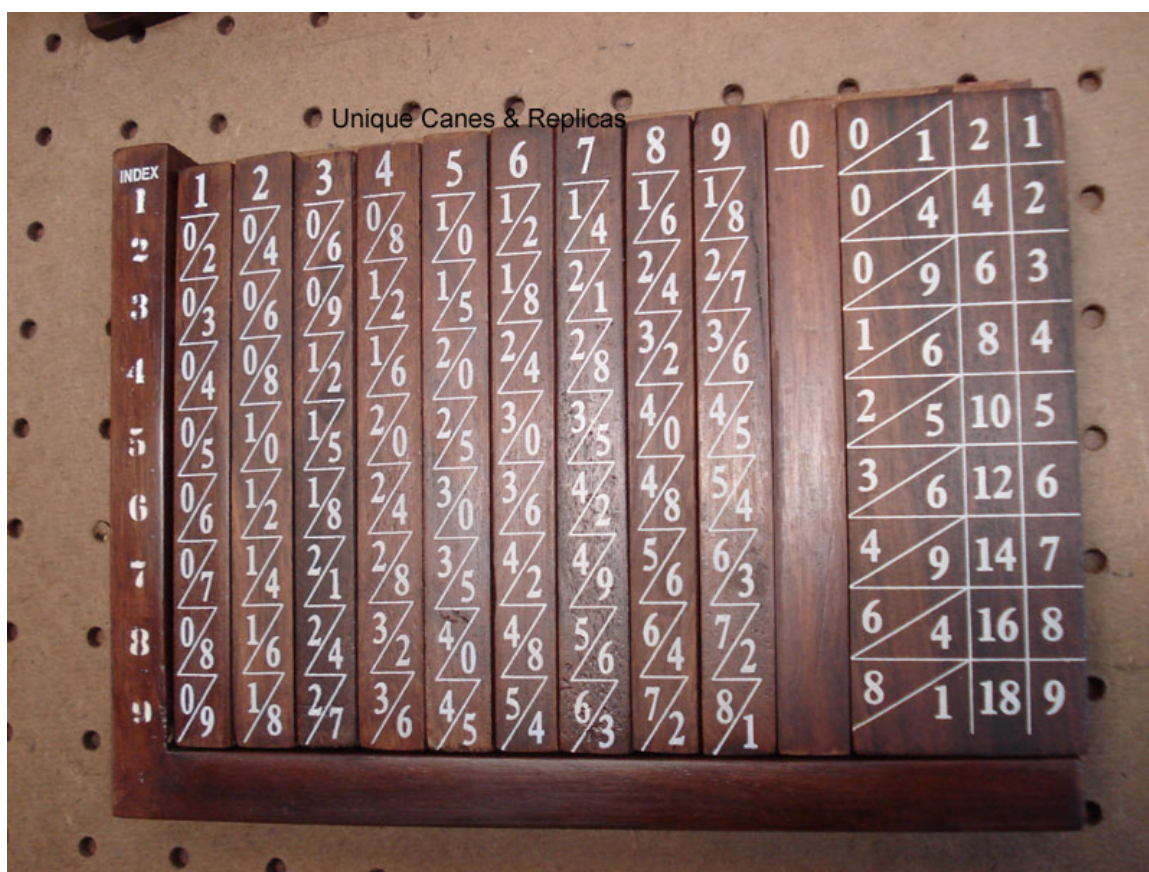


Fig. 3: Oasele lui Napier

Daca se dorea sa se inmulteasca numarul 4138 cu 567, se proceda astfel:

- Se fixau oasele lui Napier, astfel incat sa ramana oasele corespunzatoare cifrelor de inmultitului si se citea ce scrie pe fiecare linie corespunzatoare cifrelor inmultitorului
- Se lua fiecare cifra a inmultitorului si se inmultea cu de inmultitului.

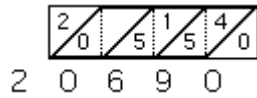
Se lua 5 si se inmultea cu 4138 de la dreapta, utilizatorul se uita pe oase in dreptul liniei 5 si vedea in dreptul lui 4, 1, 3 si 8 ce valori aveau multiplii.

4	1	3	8	1
8	2	6	1	2
1	2	3	9	2
1	6	4	1	2
2	0	5	1	5
2	4	6	1	8
2	8	7	2	1
3	2	8	2	4
3	6	9	2	7

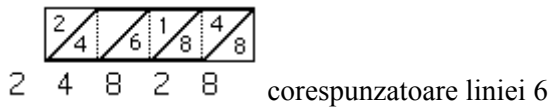
To multiply a number by 4138 place 4 rods as above

Fig 4.

Aceste patrate se obtin din Oasele lui Napier, inmultind 5 cu 4138:
Si se aduna de la dreapta spre stanga cifrele ce erau in fiecare paralelogram



- La fel se proceda si pentru celelalte cifre ale inmultitorului, adica pentru 6 si 7, astfel se mai obtineau:



Iar pentru 7 se obtinea numarul 28966

- Rezultatul final se obtinea adunand aceste 3 numere, dar in felul urmat:

$$\begin{array}{r} 20690+ \\ 24828 \\ 28966 \end{array}$$

Fiecare numar este situat sub cel de dinaintea lui, dar cu o unitate mai la dreapta

Rezultatul inmultirii este astfel :

$$\begin{array}{r} 20690 + \\ 24828 \\ \hline 28966 \\ \hline 2346246 \end{array}$$

Pentru a realiza inmultirea a doua numere,folosind oasele lui Napier,am utilizat mai multe functii:”extragcif”,”extragcifprod”,
”afisare” si ”formarenr.”

Functia ”extragcif” extrage cifrele unui numar si le pune intr-un vector si returneaza numarul cifrelor.

Functia ”extragcifprod” extrage cifrele unui produs,pune cifrele zecilor in vectorul z,iar cifrele unitatilor in vectorul u.

Functia ”afisare” afiseaza elementele unui vector.

Functia ”formarenr” aduna cifrele din vectorii z si u,conform regulii de la oasele lui Napier,se aduna cifrele din paralelogram,de la dreapta spre stanga.

2 Masina lui Schickard



Fig 5:Masina lui Schickard

Masina putea fi folosita pentru a aduna,a scadea si inmulti doua numere.

In partea de sus a masinii, se pot observa 6 rotite care sunt folosite pentru a afisa deinmultitul in casutele de dedesubt.Pentru a realiza inmultirea se foloseste principiul folosit la oasele lui Napier (deoarece masina are inaintu cei 9 cilindrii corespunzatori multiplilor cifrelor de la 1 la 9).Astfel, se trag placile de pe lateral, corespunzatoare cifrelor inmultitorului si apar multiplii scrisi ca la oasele lui Napier.De exemplu, daca se doreste sa se inmulteasca 524 cu 48,se vor trage placutele corespunzatoare cifrelor 8 si 4 dupa ce de la rotite s-a fixat numarul 524.

Cele 6 discuri dedesubtul ferestrelor folosite pentru inmultire,sunt folosite pentru adunari si scaderi.Deasupra lor se afla niste ferestre mici care indica rezultatele.Aceste discuri sunt corespunzatoare cifrelor unitatii,zecilor,sute s.a.md.. Acestea sunt construite in asa fel incat la depasirea cifrei 9 la un disc,in fereastra deasupra discului urmator din stanga,va apare o unitate in

plus fata de cifra ce era inainte. Acelasi lucru este valabil si pentru scadere, numai ca in sens invers se rotesc discurile.

In realizarea simulatorului acestei masini, am facut o clasa pe nume player care preia doua argumente.Unul MovieClip si nr-ul de frame-uri. Aceasta este compusa din 2 membri(mc si frs) si 3 metode(ms Down,inainte si inapoi).

Mc este numele MovieClip-ului si preia primul parametru din constructorul clasei.

Acesta este un obiect care poate contine n(fr_s)imagini.Al doilea parametru al functiei precedeaza numarul de imagini(fr_s=n).

In constructorul functiei este adaugata o metoda de tip ascultator (mc.addEventListener) care “asculta” cand un buton este apasat.Cand este detectata apasarea unui buton al mouse-ului, este apelata automat metoda ms Down.

Metoda “ms Down”

- Inlatura ascultatorul pentru a permita transmiterea animatiei.
- Monitorizeaza ce imagine se afiseaza.Daca s-a ajuns la prima imagine, inseamna ca animatia trebuie sa se desfasoare inainte,in caz contrar animatia trebuie sa se desfasoare inapoi.

Metoda “inainte”

- Adauga o functie de tip Timer care se apeleaza de cate imagini sunt in obiectul mc la un interval precizat.
- Daca s-a ajuns la numarul maxim de imagini, se avanseaza la prima imagine, in caz contrar se trece la urmatoarea imagine prin incrementare.

Metoda “inapoi”

- Adauga o functie de tip Timer care se apeleaza de cate imagini sunt in obiectul mc la un interval precizat.
- Daca s-a ajuns la prima imagine, se avanseaza la ultima imagine,altfel se trece la imagina precedenta prin decrementare.

La ambele functii de tip Timer se verifica daca nu s-a ajuns la sfarsitul celor n imagini.In acest caz, se sterg obiectele de tip Timer si se adauga evenimentul de ascultare a mouse-ului.

In cazul placutelor se instanteaza clasa Player.

Toate animatiile sunt bazate pe aceasta clasa.

La discuri se folosesc aceleasi principii, cu precizarea ca nu se animeaza si se deplaseaza cate o imagine de fiecare data cand este apasat butonul corespunzator.

Cand este apasat butonul “+” se trece la urmatoarea imagine.

Cand este apasat butonul “-“ se trece la imaginea precedenta.

La sistemul de adunare au fost adaugate suplimentar constrangerile de rotatie, folosind instructiuni de tip “if-else”.

3 Concluzii

Sistemul ar putea fi extins pe un numar mai mare de unghiuri, in asa fel incat animatia sa fie facuta cat mai spatial, in detrimentul ocuparii unui spatiu cat mai mare pe disc.

Este foarte important sa se obtina un sistem de animatie cat mai bun calitativ, care sa poata fi rulat pe majoritatea calculatoarelor si altor dispozitive care permit folosirea acestor principii.

BIBLIOGRAFIE

- [1] http://www-history.mcs.st-andrews.ac.uk/history/Extras/Napier_rods.html
- [2] http://en.wikipedia.org/wiki/Napier's_bones
- [3] <http://history-computer.com/MechanicalCalculators/Pioneers/Schickard.html>
- [4] http://ro.wikipedia.org/wiki/Istoria_ma%C5%9Finilor_de_calcul
- [5] http://er.adrianmoisei.com/hardware/Istoria_calculatoarelorI.html
- [6] <http://livedocs.adobe.com/flash/9.0/ActionScriptLangRefV3/>

FLESTER Iulian si Carina IVASCU
Universitatea Transilvania Brasov
Facultatea de Matematica-Informatica
Str.Iuliu Maniu,nr 50, Brasov
ROMANIA
flester.iulian@gmail.com

Arhitectura orientata pe servicii in e-marketing

Valentina Lazar
Coordonator: Lect. Univ. Drd. Ralf Fabian

Abstract

„Internet marketing, also referred to as i-marketing, web-marketing, online-marketing, Search Engine Marketing (SEM) or e-Marketing, is the marketing of products or services over the Internet.

The Internet has brought media to a global audience. The interactive nature of Internet marketing in terms of providing instant response and eliciting responses, is a unique quality of the medium. Internet marketing is sometimes considered to have a broader scope because it not only refers to the Internet, e-mail, and wireless media, but it includes management of digital customer data and electronic customer relationship management (ECRM) systems.

Internet marketing ties together creative and technical aspects of the Internet, including: design, development, advertising, and sales. Internet marketing also refers to the placement of media along many different stages of the customer engagement cycle through search engine marketing (SEM), search engine optimization (SEO), banner ads on specific websites, e-mail marketing, and Web 2.0 strategies.”

1 E-marketing. Un raspuns la cat mai multe intrebari.

Odata cu inceputurile Internetului un nou tip de afacere s-a profilat din ce in ce mai pronuntat pe plan international: comertul online. Au aparut nenumarate site-uri si firme care se ocupa cu vanzarile en-gros de produse prin Internet, cu organizarea de licitatii online, cu furnizarea accesului contracost la pagini cu informatii, intr-un cuvant abordeaza o forma sau alta de comert electronic, un domeniu aflat in plina expansiune. Avantajul comertului online este evident: piata pe Internet creste exponential de la un an la altul. Un site bine lucrat, cunoscut si care ofera produse de calitatela preturi bune va avea mai multi vizitatori, mai motivati si mai inzestrati financiar decat "Consignatia" din coltul strazii.

Magazinul virtual si comertul electronic din Romania inregistreaza un ritm de dezvoltare deosebit de dinamic. La nivelul anului 2005 este de asteptat ca cifra tranzactiilor sa depaseasca valoarea de 50 de milioane de euro. Cauzele acestei evolutii pozitive nu sunt greu de identificat, avantajele comertului on-line, fie ca e vorba de cumparator sau de vanzator, fiind clare.

Avantajul comerțului on-line este evident: piața pe Internet crește exponențial de la un an la altul. Un site bine lucrat, cunoscut și care oferă produse de calitate la prețuri bune va avea mai mulți vizitatori, mai motivați și mai înzestrați financiar decât în cazul formelor clasice de vânzare.



Acționează fiind spuse se poate observa o reală îmbunătățire a tehnicilor de marketing:

Mijloacele e-marketing:

- ☐ fara intermediari;
- ☐ segmente foarte reduse de piață;
- ☐ marketing " viteza";
- ☐ creșterea concurenței;
- ☐ confidențialitatea;
- ☐ cunoașterea pieței;
- ☐ marketingul din perspectiva utilizatorului;

Mijloacele marketingului clasic:

- ☐ necesitatea existenței intermediarilor;
- ☐ segmentul de piață este incert;
- ☐ "viteza" mica de marketing'
- ☐ nu permite cunoașterea pieței;
- ☐ marketingul din perspectiva utilizatorului;

2 Analiza mediului si acoperirea cat mai multor nevoi.

2.1 Analiza client-firma.

Magazinul virtual si comertul electronic din Romania inregistreaza un ritm de dezvoltare deosebit de dinamic. Cauzele acestei evolutii pozitive nu sunt greu de identificat, avantajele comertului on-line, fie ca e vorba de cumparator sau de vanzator, fiind clare. Aceasta analiza presupune un raspuns la fiecare din urmatoarele intrebari:

1. Ce grad de siguranta ofera comertul electronic clientilor si comerciantilor
2. Ce dimensiune economica are comertul electronic?
3. Care sunt cele mai mari bariere in comertul electronic?
4. Ce putem cumpara prin Internet?

In continuare trebuie urmarite:

2.1.1 Stabilirea cerințelor clienților

- marketingul este responsabil pentru *identificarea cerințelor consumatorilor* inclusiv a cerințelor calitative
 - marketingul trebuie să joace un *rol conducător* în următoarele domenii
 - *stabilirea necesităților privind produsul sau serviciul*
 - *stabilirea pieței* aferente produsului sau serviciului și *analiza ofertelor concurenței* (inclusiv a aspectelor juridice privind reglementările aferente)
 - *stabilirea detaliată a cerințelor clienților*, inclusiv a acelor indirecte și/sau implicite;
 - *stabilirea cerințelor și caracteristicilor calitative speciale.*
- Aceste *activități trebuie efectuate* nu numai în faza de început a dezvoltării unui produs (serviciu) ci în mod *continuu* și pentru produsele deja existente.

2.1.2 Realizarea produsului preliminar

- marketingul trebuie să realizeze, în cadrul unor proceduri *produsul preliminar*
- *o culegere provizorie de specificații* pe care marketingul o transmite celorlalte departamente ale firmei
- trebuie *corelate* în mod direct cu *posibilitățile interne ale firmei*
- constituie *baza proiectării produsului* sau serviciului → elaborarea unor *specificații și caracteristici de calitate formale* (detaliat) = *referință* pentru *evaluarea output-ului*
- puncte de vedere ce *trebuie luate în considerare*, de exemplu:
- caracteristici privind performanțele precum și cele percepute prin intermediul organelor senzitive;
- prescripțiile legilor și ordonanțelor;
- referințe privind punerea în funcțiune și de utilizare
- ambalarea
- factori ai controlului și asigurării calității.

2.2 Analiza mediului de proiectare.

Aceasta etapa resupune o serie de pasi ce trebuie urmariti:

1. Intelege

- obiectivele propriei afaceri pe termen scurt, mediu si lung
- rolul site-ului web ca parte a strategiei globale de afaceri
- contextul concurential online si offline in care se plaseaza afacerea

2. Identifica

- piata si audienta;
- competitia in cadrul segmentului de piata vizat;
- modul in care competitorii abordeaza drumul spre succes, atat online cat si offline;
- tendintele de evolutie a pietei si audientei;
- tehnologiile de utilizat in munca de implementare;
- punctele tari si punctele slabe ale viitoarei oferte;
- timpul, efortul si bugetul alocat etapelor de proiectare, promovare si intretinere a site-ului;

3. Proiecteaza

- continutul propriu-zis al site-ului web, in acord cu toate standardele unei prezentari profesionale;
- structura site-ului web, in asa fel incat navigarea sa fie usoara, clara si a tot cuprinzatoare;
- design-ul site-ului, de asa natura incat elementele grafice sa nu lipseasca dar nici sa nu abunde, totul in armonie;

4. Valideaza

- corectitudinea sintactica si morfologica a textelor (validare gramaticala);
- structura semantica a intregului continut
- alcatuirea codului (HTML, CSS, JavaScript, Java, PHP, etc...)
- linia generala de prezentare si ofertare
- dreptul de autor asupra produsului finit.

3 Prezentarea aplicatiei.

Aplicatia urmareste analiza si constructia unui simulator bancar care, din punct de vedere al clientului, raspunde cat mai bine cerintelor, iar din punct de vedere al specialistului in marketing, ofera solutii rapide si eficiente si, mai ales, poate acoperi o gama cat mai larga de intrebari.

In acest sens s-a urmarit dezvoltarea unui site Web , ca interfata cu utilizatorul/clientul, si a unei baze de date cat mai complexe care sa poata sa raspunda nevoilor celor ce se ocupa cu dezvoltarea produselor si cresterea vanzarilor.

Bibliografie

- [1] Quentin Zervaas, *Practical Web 2.0 Applications with PHP*, Apress, 2008.
- [2] William Ballad , Tricia Ballad, *Securing PHP Web Applications*, WoweBook.com.
- [3] Cristian Darie and Emilian Balanescu. *Beginning PHP and MySQL , E-Commerce*. Apress.
- [4] <http://www.w3schools.com/default.asp>
- [5] Seminar: *Asigurarea calitatii in marketing*. www.upm.ro/...in-marketing.../Seminar%20CM%205.doc

LAZAR VALENTINA
Facultatea de Stiinte din Sibiu
Informatica
Adresa: Str. Ion Rațiu
Nr.5-7, Sibiu, 550012, România
ROMANIA
E-mail: lyah_valy@yahoo.com

Computational methods in medical imaging analysis

Grigore Lupescu
Coordonator: Lector univ. Dr. Mircea Olteanu

Abstract

This paper presents several methods to optimize the computation of high complexity algorithms used in medical imaging analysis. These imply maximizing CPU (replicated workers model, MPI) and GPU (OpenCL) resources locally or across a network. Though some or all may be used in many analysis algorithms any example will be related only to fractal 3d box counting algorithm. All of the methods presented can be combined into a single complex one – distributed heterogeneous computing - and such a setup is presented briefly.

1 Complexity in medical imaging analysis

1.1 Medical Imaging

Medical imaging is the technique and process used to create images of the human body for clinical purposes (medical procedures seeking to reveal, diagnose or examine disease) or medical science (including the study of normal anatomy and physiology).

Imaging technology includes : Electron microscopy, Radiographic, Magnetic resonance imaging (MRI), Nuclear medicine, Computed Tomography, and Ultrasound. For instance Computed tomography (CT) is a medical imaging method employing tomography created by computer processing. CT produces a volume of data which can be manipulated, through a process known as "windowing", to demonstrate various bodily structures.

1.2 Fractal Analysis

In nature, there exist complex forms that cannot be evaluated neither by standard geometry or by topology. A fractal is a rough or fragmented geometric shape that can be split into parts, each of which is (at least approximately) a reduced-size copy of the whole, a property called *self-similarity*. The basis of fractal analysis comes from the self-similarity property of them.

In fractal geometry, the *fractal dimension*, D , is a statistical quantity that gives an indication of how completely a fractal appears to fill space, as one zooms down to finer and finer scales. It is a well known fact that some tissues have a fixed fractal dimension. Most human tissues have a fractal-like structure.

The box-counting dimension is defined as:

$$\dim_{\text{box}}(S) := \lim_{\epsilon \rightarrow 0} \frac{\log N(\epsilon)}{\log(1/\epsilon)}$$

Fractal analysis algorithm does the following :

A) builds a 3d geometric area based on the image height map (grayscale levels) B) for each point in the image selects an area of a given length and does 3d box counting on that region. C) the result is then stored in a matrix of numbers ranging from 0 to 999 representing the mobile part of the number (ex 2.784->784) D) builds a histogram corresponding to the resulted matrix

Fractal 3d box counting analysis yields poor results on single core CPUs. A comparison of the needed time for a complete analysis on a 640x480 image (**Fig.1**) is presented bellow (lower is better)

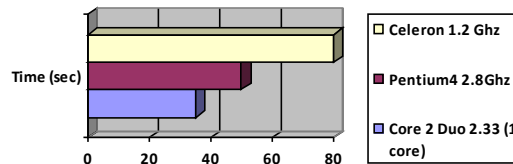


Fig.1 3d box counting algorithm performance

The obtained matrix from fractal analysis can be used to find out the structural differences in closely positioned tissue. In other words similar structure-like tissue should have a corresponding similar color.

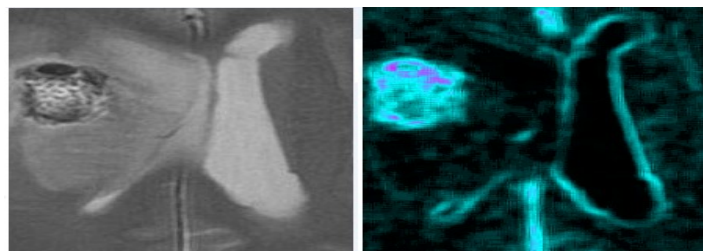


Fig.2 Brain Tumor CT

1.3 Computation Complexity

Due to needed detail in the analyzed data and the complexity of some algorithms, parallel and distributed computing approaches are taken into consideration. Consider medical analysis algorithm that is too complex to be executed on a single processor, be it multi core. Let's assume the it can take advantage of a multi core architecture. We can thus harvest the whole power of a computer (given the

problem can be divided) by working a parallel/distributed solution. There are several problems to this : A) Given different architectures full potential to parallel or distribute the computations will be hard or impossible to achieve, B) Process flow / synchronization problems are difficult to spot and correct, C) Large data can pose difficulties in efficient management.

2 Maximizing CPU resources

For local execution the “replicated workers” model has been considered. Thread pooling enables you to use threads more efficiently by providing your application with a pool of worker threads that are managed by the system. One thread monitors the status of several wait operations queued to the thread pool. When a wait operation completes, a worker thread from the thread pool executes the corresponding callback function. The “replicated workers” model is also implemented in other languages (for instance Java) . This is helpful because we are using several platforms for simplifying the workload.

Fractal 3D algorithm is well suited for the “replicated workers” model because all the operations are done on different areas of the image (zones around each point). Hence we first break the image into N strips depending on the number of available processing units. Each processing unit will work out its strip and finally the result will be the unification of those strips. Our tests have shown a substantial performance gain over the single threaded computational method.

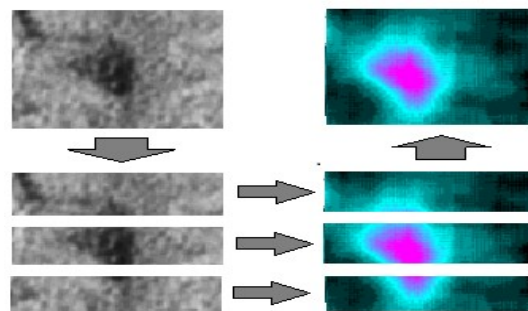


Fig.3 Replicated workers model optimization

Optimizations for local image processing are thus available through models like “replicated workers” model. These scale well with the CPU capabilities in a system. Selecting the right platform for resolving a problem can be a difficult task. Each posses certain advantages and disadvantages while we only have limited access in adding new software features to the computing units. In other words we have little control over the platforms we develop on. This is a performance drawback which we will try to limit by periodically updating the code and so, taking advantage of the new features introduced by the frameworks.

The code has been written so to benefit from Net. Framework 4.0- includes the Task Parallel Library (TPL), a library of objects that make it easier to write code that takes advantage of multiple cores. Another improvement was toward the thread pool, giving a performance boost not only TPL programs, but to all programs that make use of .NET threading services.

Another platform (Java) has been considered but not yet used. JDK 5.0 - added major new support for developing concurrent applications, including JVM changes, new low-level synchronization utilities, and higher-level, thread-safe, high-performance concurrency classes

3 Distributing computations using a process flow chart

To simplify task assignment a method to represent job relationship has been developed. Thus define graphically, data and processes, and interconnect them as to obtain from an input and using a set of processes a desired output.

The graph corresponding to the fractal analysis is presented bellow. Fractal module reads input from D1 source (in our case images) works on them and outputs data in D2. Data in D2 is taken by the Histogram process and outputs it in D3 data. Finally the Compare process tries to see if there are connections between histograms and certain problems and either restarts the cycle with different settings (arguments) /different data (extracts irrelevant data), or finishes with certain statistical data.

Job Collections are sent to the server which in turn distributes them to the clients. Every computer is connected to a share point. The server application only distributes jobs based on execution commands given in a shell . This decreases the band which use dramatically. There is also a drawback to the fact that the data is centralized. The distribution is made based on the client's demand. In other words a client which already has work to finish will not post a job demand for the server until he is done.

The platform deals with this problems by allocating a certain time for each job (TTL) and a certain number of tries (REDO). So to speak, if the program is defective or fails repeatedly it will be cancelled. Problems that may occur include : program execution on client freezes, client shuts down or becomes unreachable, program crashes and emits wrong output. Every single event that involves a failed job, redistribution of tasks, defective modules is reported in an event log.

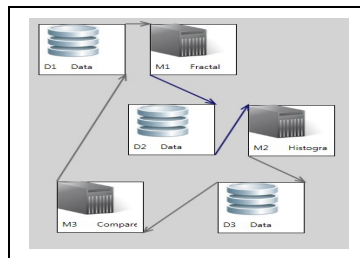


Fig.4 Process flow chart

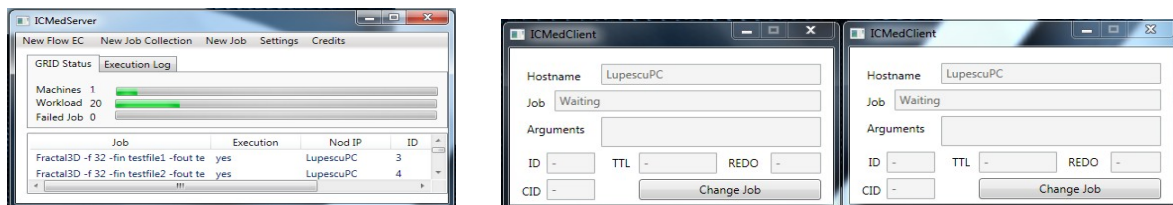


Fig.5 Server App(left), 2Clients App(right)

4 Heterogeneous computing

GPUs are massively multithreaded many-core chips :A) Hundreds of cores, thousands of concurrent threads, B) Huge economies of scale, C) Still on aggressive performance growth

While CPUs range in number of cores from 1 up to 8-16, GPUs can reach hundreds of cores. GPUs are ideal for massive parallel computations. General-purpose computing on graphics processing units (GPGPU, also referred to as GPGP and to a lesser extent GP) is the technique of using a GPU, which typically handles computation only for computer graphics, to perform computation in applications traditionally handled by the CPU. The GPGPU programming landscape has rapidly evolved over the past several years, so that now there are several approaches to programming GPUs.

OpenCL (Open Computing Language) is a framework for writing programs that execute across heterogeneous platforms consisting of CPUs, GPUs, and other processors. OpenCL gives any application access to the Graphical Processing Unit for non-graphical computing. Thus, OpenCL extends the power of the Graphical Processing Unit beyond graphics (General-purpose computing on graphics processing units).

```
cl_uint num_devices_returned;
cl_device_id devices[2];
err = clGetDeviceIDs(NULL, CL_DEVICE_TYPE_GPU, 1,
                    &devices[0], num_devices_returned);
err = clGetDeviceIDs(NULL, CL_DEVICE_TYPE_CPU, 1,
                    &devices[1], &num_devices_returned);

cl_context context;
context = clCreateContext(0, 2, devices, NULL, NULL, &err);

cl_command_queue queue_gpu, queue_cpu;
queue_gpu = clCreateCommandQueue(context, devices[0], 0, &err);
queue_cpu = clCreateCommandQueue(context, devices[1], 0, &err);
```

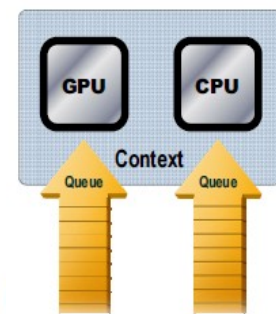


Fig.6 Example code (left)

and distribution scheme (right)- OpenCL

5 Distributing heterogeneous computations using a flow chart

In the platform that is at work a solution that wraps around OpenCL and other distributed frameworks is taken into consideration. The full potential of every computer node in a network can be used if the computation can be distributed with respect to the architecture.

Tools that would be able to take the load off of the developer such as diagrams that generate process and data flow have been designed and tested. Also a solution that would provide a share point for all of the computer nodes takes a lot of the data distribution problems. A system capable of monitoring the state of each process and capable of making decisions is mandatory.

An illustration of using heterogeneous computing is illustrated bellow. Main idea is to distribute computations using a flow chart (having a setup as presented in **Section 3**) and making associations between nodes – jobs based on hardware capabilities and job

requirements. It is used in computer clusters and supercomputers. Though for the applications in **Section 3)** WCF (windows communication foundation) has been used for pc-pc communication a better approach is to use MPI. Message Passing Interface (MPI) is a specification for an API that allows many computers to communicate with one another. In the scheme below MPI is used.

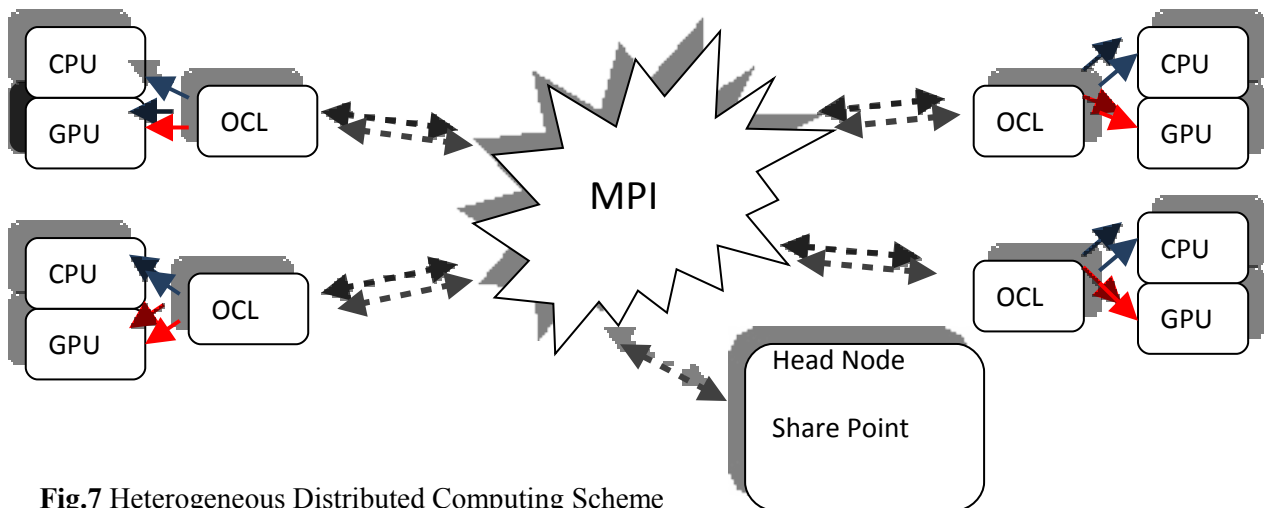


Fig.7 Heterogeneous Distributed Computing Scheme

6 References

Jeffrey Dean and Sanjay Ghemawat, MapReduce: *Simplified Data Processing on Large Clusters*

Rodica Dragomir, M. Olteanu, M. Tanase, *The Analysis Of CT and MR Brain Images using Box Counting - Type Methods*, Proceedings of IAFA'2003, Bucharest, Romania, May 2003, p. 267-272.

Ciprian Dobre, Florin Pop, *Sisteme de programe pentru retele de calculatoare*, Politehnica Press, 2008, p. 39-72

Radu Dobrescu, Dan Alexandru Iordache, *Modelarea Complexitatii*, Politehnica Press, 2008

P. Luzi, G. Bianciardi, C. Miracco, M.M. De Santi, M. Del Vecchio, L. Alia, P. Tosi, *Fractal analysis in human pathology*. Ann N Y Acad Sci 879, 255-257, 1999

B. Mandelbrot, *The Fractal Geometry of Nature*, Academic Press, 1975, New York.

T. Mattfeldt, *Nonlinear deterministic analysis of tissue texture: a stereological study on mastopathic and mammary cancer tissue using chaos theory*. J. Macrosc. 185, 47-66, 1997

GRIGORE LUPESCU
 FILS Politehnica Bucuresti
 Computer Science, 2nd year
 ROMANIA
lupescu_grigore@hotmail.com

Optimizarea sarcinilor cotidiene

Laura Nechifor, Daiana Teona Negulici
Coordonator: Asist univ. drd. Ing. Alexandru RADOVICI

Abstract

The project consists in an application for everyone overcome by the numerous number of simple but annoying daily tasks. In a few words, it is an Android project for mobile devices that helps with all these by grouping your daily tasks in a way that makes you finish faster and get more time for the important issues or for yourself.

1 Introducere

Fiecare dintre noi are de mers macar o dată pe zi la bancă, la supermarket, la benzinărie sau la o instituție publică. Însă de cele mai multe ori lasăm la o parte câte un detaliu, un mic aspect ce pare ne semnificativ la prima vedere sau puțin impotant, dar ce se dovedește a fi într-un final imperios necesar, omitem să luăm în considerare orarul instituțiilor și locurilor în care avem nevoie să mergem sau uităm pur și simplu că mai avem ceva de făcut în aceeași locație.

Și atunci totul devine complicat, insuportabil de lung, meticulos, iar de cele mai multe ori, nervii noștri, puși din greu la încercare, cedează. Ne întrebăm dacă toate eforturile noastre sunt într-adevăr cu folos, dacă timpul nu a fost pierdut în zadar, dacă nu există o cale mai ușoară și mai eficientă.

Răspunsul la întrebare este mai totdeauna nu.

De aceea, noi ne-am gândit să venim în ajutorul tuturor celor care prețuiesc timpul și care au nevoie de el pentru a-l utiliza în scopuri mai bune, mai importante.

Astfel, am dezvoltat o aplicație care-și amintește pentru dvs. toate lucrurile mărunte pe care le aveți de îndeplinit, unde anume trebuie să mergeți și dacă nu cumva ați putea să mai și împușcați doi iepuri deodată. De ce? Fiind propriul dvs. ghid, dar și propriul dvs. contabil în același timp, ea te avertizează când benzinăria și notarul sunt vecini, când sunteți aproape de supermarketul de lângă bancă sau când primăria, punctul de plată al facturilor al distribuitorului dvs. și piața sunt în conferință.

2 Realizarea proiectului

2.1 Android

Proiectul este realizat în Android, un sistem de operare pentru telefoanele mobile.

Android este o platformă dezvoltată de Google, bazată pe Linux (fapt care îi va da ocazia să fie portat pe o varietate de platforme în viitor), folosind o mașină virtuală Java optimizată, Dalvik. Un aspect important este reprezentat de statutul pe care acesta îl are, de open-source.

Aplicațiile disponibile sunt de mai multe tipuri: activități, servicii, baze de conținut, intenții și receptori.

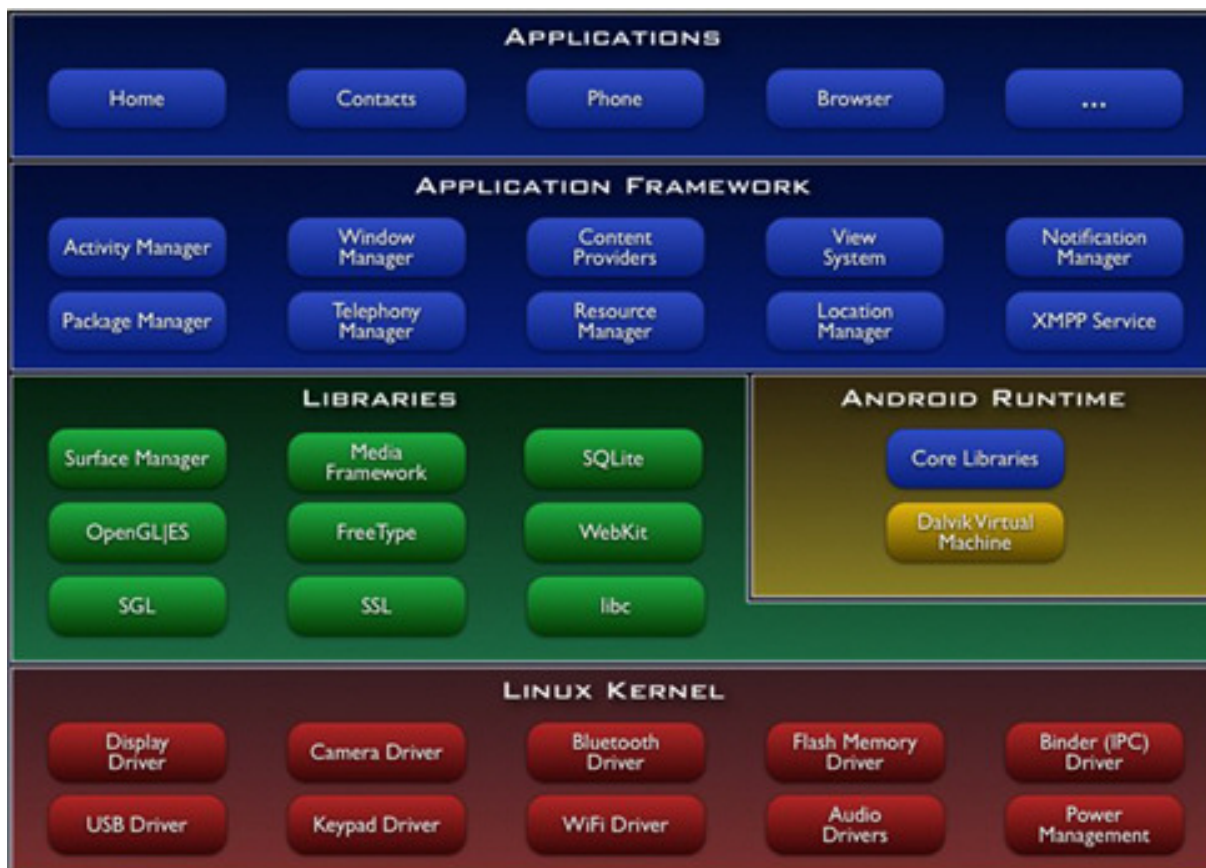
Înainte de a începe scrierea de cod, este necesară instalarea Java, a unui IDE și a Android SDK. Kit-ul SDK funcționează pe Linux, Windows și Mac OS X. Aplicațiile realizate desigur funcționează pe orice dispozitiv Android.

Limbajul folosit este Java. JDK 5 sau 6 este necesar. Instalarea unui mediu de dezvoltare Java este de asemenea necesară. Am folosit Eclipse, fiind gratuit și susținut de creatorii Android de la Google.

Pentru rularea programului Android se folosește fereastra Package Explorer, prin click dreapta pe HelloAndroid Project și selecție Run as – Android Application. Dacă simulatorul nu știe ce dispozitiv vom folosi pentru simulare, acesta trebuie creat. Asta înseamnă să creem un dispozitiv virtual Android (AVD). Odată obținut acest AVD, fereastra simulatorului Android se va deschide și va încărca sistemul de operare Android. Rularea unui program Android pe un dispozitiv fizic este aproape identică cu rularea pe emulator și se face prin conectarea telefonului la calculator cu un cablu USB și instalarea unui driver special. Cât timp telefonul este conectat, fereastra simulatorului trebuie închisă pentru ca aplicația să ruleze direct pe telefon.

Cîteva părți din Android ar putea fi familiare, precum Linux Kernel, OpenGL și baza de date SQL, respectiv SQLite.

Arhitectura acestei platforme este complexă, dar bine organizată, așa cum se poate observa din imaginea de mai jos.



2.2 Proiectul propriu-zis – aplicație Android

Proiectul reprezintă o aplicație pentru Android, care va da șansa utilizatorului de a-și sorta sarcinile zilnice pentru a le îndeplini cu succes.

Folosind baza de date SQLite, evenimentele pe ordinea de zi vor fi stocate în funcție de prioritate, locul unde acestea se vor desfășura și alte criterii.

Utilizatorul poate adăuga sau șterge în orice moment lucrurile ”de făcut”, modifica prioritatea sau adăuga locații în care acestea se pot desfășura. Folosind Google Maps, locațiile sunt marcate de utilizator prin introducerea coordonatelor exacte sau prin marcaj pe hartă. În momentul în care telefonul detectează apropierea de unul din aceste locuri, utilizatorul va primi o înștiințare în acest sens.

Alertele vor atenționa asupra expirării evenimentului, incapacității de găsimă a locației marcate de utilizator sau incapacității de conectare la Sistemul GPS.

Utilizatorul își poate organiza necesitățile și bifa problemele rezolvate. Baza de date se va actualiza.

Utilizatorul va fi atenționat de fiecare dată cu câteva minute înaintea expirării evenimentului, culoarea atenționării schimbându-se din verde în galben și în cazul în care acesta expiră fără ca rezolvarea să fie înregistrată, el va fi semnalat în continuare în cod roșu.

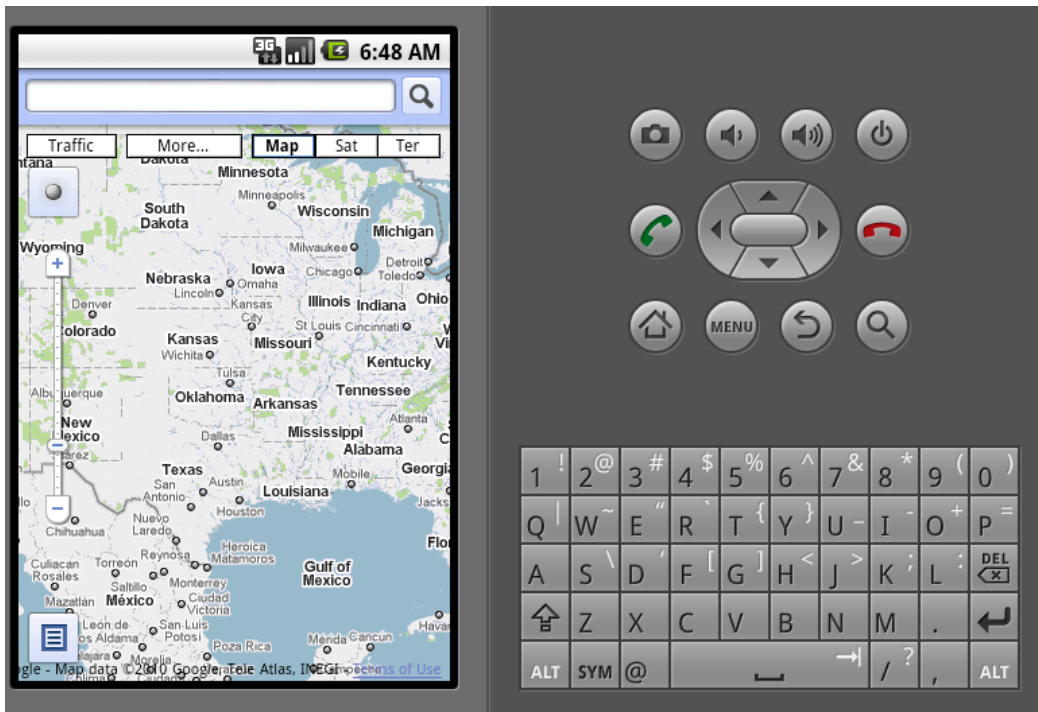
3 Codul sursă a programului

Folosind un program de editare pentru platforma Android, respectiv Eclipse se reușește implementarea unui widget.

Interfața realizează accesul utilizatorului la aplicație, permițându-i acestuia să:

- Vizualizeze sarcinile existente și neexpirate
- Introducă sarcini de făcut pe listă
- Ștergă sarcini din listă
- Să actualizeze sarcinile din listă (sarcina, locuri favorabile rezolvării, stadiul rezolvării, data expirării etc.)
- Să acceseze Google maps pentru a
 - Introduce coordonatele locului în care poate rezolva o sarcină, găsimă locului și salvarea lui
 - Găsi locul în care poate rezolva o sarcină prin marcaj pe hartă și salvarea lui
 - Cere realizarea celui mai scurt traseu până la rezolvarea unei sarcini, în funcție de locul pe care îl are salvat
 - Simula un traseu până la locul rezolvării unei sarcini și estimarea timpului necesar

- Să afle locul cel mai apropiat în care poate rezolva sarcina în funcție de locurile salvate în baza de date



De asemenea, utilizând SQLite, baza de date pentru Android și accesând Google Maps, programul devine deosebit de util. Baza de date salvează sarcinile utilizatorului, data la care expiră sarcina, locuri în care ea poate fi îndeplinită, statusul acesteia (cele expirate nu se mai afișează), stadiul acesteia (îndeplinită sau nu).

Bibliografie

- [1] Mark MURPHY, *Beginning Android*, Apress, 2009
- [2] Ed BURNETTE, *Hello Android: Introducing Google's Mobile Development Platform*, Pragmatic Bookshelf, 2009
- [3] Hello Views, <http://developer.android.com/guide/tutorials/views/index.html>
- [4] Android.widget, <http://developer.android.com/reference/android/widget/package-summary.html>
- [5] Creating Menus, <http://developer.android.com/guide/topics/ui/menus.html>
- [6] Android Application Fundamentals, <http://developer.android.com/guide/topics/fundamentals.html>

NECHIFOR Laura
Universitatea Politehnica din Bucuresti
Electronica aplicata
Splaiul Independentei 313, Bucuresti
ROMANIA
lauri_mari@yahoo.com

NEGULICI Teona Daiana
Universitatea Politehnica din Bucuresti
Electronica aplicata
Splaiul Independentei 313, Bucuresti
ROMANIA
teodaia@yahoo.com

Sistem de management și gestiune a parcarilor

Dragoș Iulian Obancea
Coordonator: Lect. Dr. Lucian Sasu

Abstract

One of the main problem around the world regarding the travel system is the management of the parking places. Unfortunately the solutions used until now are not as effective as they wanted to be. That is why it is of utmost importance the management and the organization of the areas where parking places can not be built. This paper is aiming to describe a new management system of the overcrowded parking places and much more. This concept is presented through a web application that permits the administrators to change parts from the existing parking places in some that can be reserved. In this way, the users have the possibility to make online reservations, and so they avoid losing their time in traffic. There is an advantage not only for the ones that need the same parking place every day, but also for the others. To search a parking place is very easy. Google Maps is used in the application, it receives and gives the required information. This approach is feasible because all the parking places are collected in a single data base.

1 Introducere

Una din marile probleme cu care se confruntă administrațiile locale pe de o parte și conducătorii auto pe de alta, o reprezintă locurile de parcare. Ritmul galopant de creștere a numărului de autovehicule din ultimul deceniu, a sugrumat multe din înguste drumuri și străzi ale marilor orașe, proiectate pentru un volum mult mai scăzut al traficului. Aceasta, împreună cu gestionarea neeficientă a autorităților competente au condus la un adevărat haos pe domeniile publice din marile centre ale țării și nu numai.

Conducători auto sau pietoni, cu toții suntem conștienți de amploarea acestei probleme. Cu toții am fost puși în situații dificile provocate de: autovehicule parcate pe toată suprafața trotuarului, benzi de circulație blocate de mașini parcate ilegal sau de șoferi ce caută cu disperare un loc de parcare liber, conflicte iscate între locatari de bloc și nu numai, cu privire la dreptul de a parca autovehicolul într-un anumit loc și multe astfel de situații deranjante.

Dacă privim cu atenție, nici peste graniță situația nu este foarte îmbucurătoare. Chiar și marile orașe ale lumii, cum ar fi New York, Sidney, orașe ce se bucură de străzi și parcuri numeroase și încăpătoare, se confruntă cu aceeași problemă. Ideile de rezolvare sunt multe și diverse, unele ridicole, altele chiar foarte bune. Se întâlnesc, de la parcuri subterane cu lifturi pentru autovehicule, până la locuri de parcare blocate cu stâlpi hidraulici acționați la telecomandă sau la introducerea unui cod de verificare. Punerea în practică a acestor idei a fost însă mai greu de realizat și, în general, soluțiile care s-au dovedit a fi utile au fost și cele mai costisitoare. Este adevărat că ar fi mult mai comod pentru o persoană să folosească un loc de parcare blocat de

stâlpi acționați hidraulic, însă construirea acestor mecanisme este costisitoare și greu de imaginat, deoarece nu putem îngrași fiecare metru pătrat din spațiul public. Nu se poate ca la fiecare conflict apărut din pricina unor spații de teren să se mai construiască un gard.

Conform statisticilor, țările cele mai afectate de problema parcarilor sunt cele aflate la un nivel mediu de dezvoltare, categorie din care face parte și România. În ultimii 20 de ani în aceste state numărul autovehiculelor a crescut exponențial, însă numărul locurilor de parcare a rămas aproape același. Motivele sunt diverse, de la lipsa fondurilor alocate pentru acest sector până la eliminarea locurilor de parcare, cauzată de construirea a noi imobile în zonele cele mai aglomerate, în ciuda faptului că în legislația actuală există obligativitatea amenajării de locuri de parcare la toate cladirile noi.

În concluzie, singura soluție rămasă, aplicabilă în toate orașele lumii, indiferent de nivelul de dezvoltare la care se află, este una simplă, accesibilă și necostisitoare, dar care din păcate nu a fost găsită sau popularizată până în ziua de astăzi.

2 Formularea problemei

Obiectivul inițial al acestei lucrări a fost următorul: *Să se găsească un nou concept de organizare și gestionare a parcarilor și să se construiască un sistem informatic pe baza acestuia, care să ajute la rezolvarea problemei locurilor de parcare din țară și nu numai.* De remarcat folosirea verbului "să ajute" deoarece nici un sistem informatic, oricât de evoluat ar fi, nu poate soluționa această problemă, cum o poate face crearea a noi locuri de parcare.

Ușurința acestei cerințe ascunde, însă, un număr mare de obiective pe care o aplicație bazată pe un concept nou, trebuie să le atingă. Dintre aceste obiective, le amintim pe cele mai importante: accesibilitate, flexibilitate, universalitate, simplitate, rapiditate.

2.1 Accesibilitate

2.1.1 Din punct de vedere al proprietarilor și administratorilor de parcări

Probabil aspectul cel mai important din punct de vedere al proprietarilor și administratorilor de parcări este cel al costului investițiilor. În general, pentru orice investiție se analizează mai întâi suma de bani disponibilă și abia apoi, în funcție de aceasta, obiectivele finale. De aceea noul sistem de management și gestiune a parcarilor va trebui să implice costuri minime.

2.1.2 Din punct de vedere al conducătorilor auto

Succesul unui sistem este dat, în general, de durata de timp în care persoanele aflate în anumite categorii se adaptează acestuia și de ușurința cu care îl folosesc. Astfel, este foarte important ca noul sistem de management și gestiune a parcarilor să dispună de un suport informatic ușor accesibil care să poată fi utilizat fără a avea nevoie de instalarea de programe suplimentare (exemplu: aplicație web).

2.2 Flexibilitate

De-a lungul istoriei, sistemele ce nu au demonstrat că sunt capabile să suporte schimbări au fost primele înlocuite. Drept urmare, flexibilitatea va fi una dintre caracteristicile de bază a noului concept, adică pe lângă faptul că în aplicație se vor putea adăuga permanent zone cu parcări, în cazul în care se modifică un aspect legat de conceptul de funcționare, această modificare să poată fi făcută cu ușurință și în aplicație.

2.3 Universalitate

În lumea întreagă există la fel de multe moduri de abordare a problemei, câte parcări există. Însă foarte puține dintre acestea sunt folosite într-un număr semnificativ de orașe și cu atât mai puține în țări diferite. În consecință, la construcția noului sistem de management și gestiune a parcarilor se are în vedere această proprietate prin realizarea unei aplicații care să fie accesibilă în țări aflate în diferite regimuri și nivele de dezvoltare și care să se poată adapta în funcție de mediile în care sunt folosite.

2.4 Simplitate

Se spune că soluțiile cele mai bune sunt, în general, și cele mai simple. O aplicație bazată pe un astfel de concept va trebuie să fie simplă, rapidă și ușor de folosit, atât pentru utilizator cât și pentru administrator. Aceasta înseamnă că administratorul va putea gestiona cu ușurință parcarile iar pentru conducătorul auto, crearea unei rezervări nu va necesita cunoștințe deosebite legate de utilizarea calculatorului.

2.5 Rapiditate

În general, sistemele noi ce le înlocuiesc pe cele vechi au proprietatea de a fi mai rapide. Dacă această nouă abordare a problemei nu permite conducătorului auto să își asigure un loc de parcare într-un timp foarte scurt, atunci există mari șanse ca sistemul să fie considerat un eșec.

3 Rezultate principale

Este o opinie răspândită faptul că, o lucrare prezentată schematic, în care ideile sunt scurte și la obiect, determină ascultătorul/cititorul să fie mult mai receptiv la conceptul descris în interiorul acesteia, decât o prezentare lungă și obositoare. De aceea, în continuare, lucrarea va fi structurată pe un număr relativ mare secțiuni de lungime medie și mică. Astfel, rezultatele obținute în urma finalizării acestei lucrări pot fi împărțite în două entități diferite:

- Un concept care descrie un nou sistem de management și gestiune a parcarilor.
- O aplicație menită să demonstreze posibilitatea punerii sistemului în practică și ușurința cu care aceasta se poate realiza.

3.1 Descrierea la nivel de concept

Cu toții știm, după cum am amintit și în introducere, că una din problemele care apare în momentul în care se folosește autovehicolul ca mijloc de transport, către o zonă aglomerată din punct de vedere al traficului este găsirea unui loc de parcare liber. Acest lucru necesită timp, iar în cazul în care acest gen de activitate se desfășoară zilnic, devine frustrant. Statistic vorbind, o persoană care lucrează într-o zonă aglomerată din centrul unui oraș de dimensiunile Bucureștiului, pierde aproximativ 5-10 minute pe zi căutând un loc de parcare, adică 30-60 minute pe săptămână respectiv 15-30 ore pe an.

Acest nou concept își propune să elimine această perioadă de timp inutilă prin crearea unui sistem care oferă posibilitatea conducătorilor auto să își rezerve un anumit loc de parcare pe un interval de timp bine definit. Un astfel de sistem nu este chiar nou, el fiind folosit de mult timp în industria hotelieră. Astfel, o simplă adaptare va transforma spațiile de parcare existente într-o mulțime de entități bine organizate, pentru fiecare dintre acestea cunoscându-se, în fiecare moment, disponibilitatea și gradul de ocupare.

Pentru ca acest mod de abordare a problemei să se desfășoare cu succes a fost nevoie de îndeplinirea următoarelor condiții:

- ”Colectarea” tuturor parcărilor și locurilor de parcare aferente într-o singură bază de date.
- Crearea unui suport informatic care să ofere posibilitatea conducătorilor auto, de a face rezervări și administratorilor, de a-și efectua cu ușurință procesul de gestiune.
- Singura condiție impusă celor din urmă este de a numerota locurile de parcare, pentru a permite referirea lor atât de aplicație cât și de șoferi.

Astfel se conturează două puncte de vedere diferite și anume:

3.1.1 Din punct de vedere al administratorului

Să considerăm următorul scenariu:

În centrul istoric al orașului Brașov, zonă în care traficul este foarte intens și există foarte multe clădiri importante, se află parcare ”Gheorghe Dima”. Această parcare, aflată în administrația primăriei dispune de 100 de locuri de parcare, pentru care a fost stabilită o taxă de 1 leu pe ora de staționare. În prezent, puțini dintre cei care intră în această parcare găsesc efectiv un loc liber unde să poată staționa mașina. Majoritatea încearcă la următoarea parcare și așa mai departe. Dacă însă, se folosește noul sistem de management și administratorul transformă 50 din cele 100 de locuri de parcare în locuri de parcare cu rezervare, situația va arăta total diferit. Șoferii pregătiți, ce vor să ajungă undeva în zona centrului istoric și au rezervarea făcută din timp, pot veni liniștiți, siguri că vor găsi un loc de parcare liber, toată acțiunea fiind organizată.

Am presupus alocarea a doar 50 de locuri din cele 100 pentru rezervări, deoarece este necesară o perioadă de tranziție între cele două sisteme. Dacă se încearcă direct transformarea tuturor locurilor de parcare, vor exista șoferi mai puțin informați care vor intra fără rezervare și se va ajunge la conflicte și nemulțumiri. Dar dacă trecerea se face treptat și se alocă suficient timp pentru informare și adaptare, probabilitatea încheierii cu succes a acestei tranziții va fi mult mai mare.

Celelalte aspecte însă vor rămâne neschimbate: autovehiculele parcate ilegal și cele ce nu au rezervare vor fi ridicate de pe domeniul public, iar taxele de staționare vor putea fi în continuare aplicate, plata făcându-se la crearea rezervării.

3.1.2 Din punct de vedere al conducătorului auto

Continuând scenariul prezentat mai înainte, să presupunem că domnul Popescu, posesor al unui permis de conducere, categoria B, dorește să ajungă cu mașina personală în apropierea centrului istoric al orașului. În condițiile sistemului actual, este foarte probabil ca domnul Popescu să ajungă în parcare ”Gheorghe Dima”, să caute fără succes un loc liber timp de 5 minute, iar apoi să își continue drumul spre o altă parcare în care va relua procesul de căutare. În schimb, dacă se aplică acest nou concept, domnul Popescu își va permite să plece de acasă cu 10 minute mai târziu decât în mod normal, deoarece este sigur că, odată ajuns în parcare ”Gheorghe Dima”, va găsi la numărul 5, un loc de parcare rezervat numai pentru dumnealui, deoarece a avut grijă să petreacă două minute în fața calculatorului și să își rezerve acel loc.

După cum se poate observa, scenariile prezentate mai sus, nu sunt extrase din povești științifico-fantastice, ci reprezintă o situație tipică în care se află milioane de conducători auto în fiecare zi.

Țin să menționez faptul că sistemul prezentat la nivel de concept atinge toate obiectivele prezentate în formularea problemei: accesibilitate, flexibilitate, simplitate, universalitate, rapiditate.

3.2 Descrierea aplicației

După cum am precizat și la descrierea conceptului, aplicația atașată acestei lucrări are menirea să demonstreze simplitatea cu care sistemul prezentat poate fi pus în aplicare. De asemenea prin aceasta se demonstrează și cât de realistă și realizabilă este această abordare.

Un prim obiectiv atins de această aplicație este accesibilitatea deoarece constă într-un website ușor de accesat de orice persoană cu conexiune la internet, internet care de altfel a devenit din ce în ce mai abordat de către orice categorie de persoane.

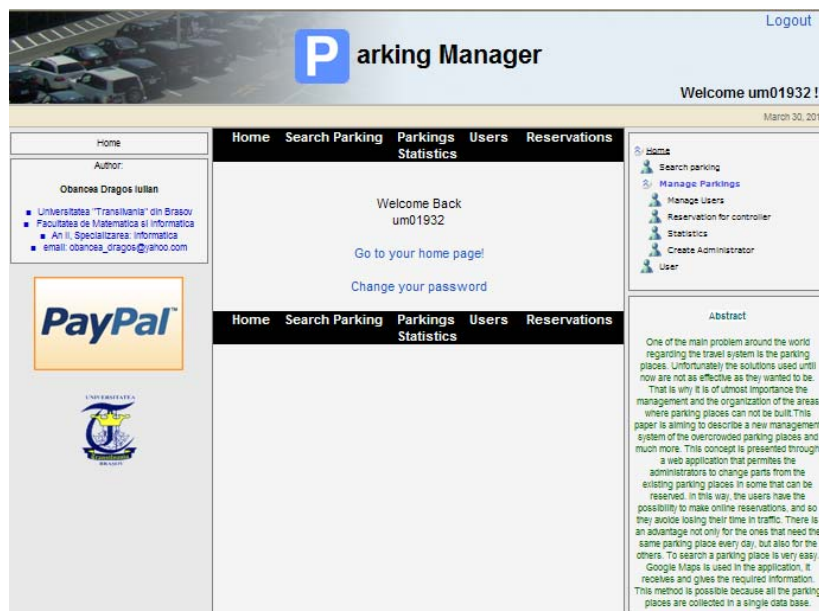
Descrierea aplicației poate fi făcută scurt și la obiect, prezentând succint principalele entități ale acesteia.

3.2.1 Interfața de utilizare

Am optat pentru o interfață utilizator cât mai puțin complicată, deoarece simplitatea este unul din cei mai importanți factori care contribuie la succesul introducerii unui sistem nou. Astfel am reușit să ating un nou obiectiv (simplitate) creând fiecare pagină pe un șablon ("MasterPage.master") care are ca și elemente principale următoarele:

- Un meniu din care pot fi accesate diferite pagini
- O hartă a aplicației
- O scurtă descriere a aplicației
- Unelte de înregistrare și autentificare
- O cale curentă
- Detalii despre autor, data curentă ș.a.m.d.

Conținutul meniului și a hărții aplicației se modifică în funcție de tipul de utilizator: (anonim, administrator, utilizator).



Menționez că imaginea atașată este orientativă. Aplicația se află în continuă dezvoltare și pot apărea mici modificări, cum ar fi adăugarea unei noi pagini în meniu sau a unei noi unelte în interiorul șablonului.

3.2.2 Modulul pentru utilizator

Modulul pentru utilizator este împărțit în două componente. O primă componentă constă într-o pagină de tipul ”acasă” în care utilizatorul își poate vizualiza/modifica/inserta numerele de înmatriculare ale mașinilor personale. Tot în această secțiune sunt afișate toate rezervările făcute de acesta.

Cea de-a doua componentă constă într-o serie de entități structurate liniar ce au rolul de a conduce utilizatorul spre găsirea și rezervarea locului de parcare dorit. Astfel pentru a face o rezervare se vor parcurge următorii pași:

1. Cu ajutorul motorului de căutare și a hărților Google, ce afișează din baza de date, se va găsi și se va selecta parcare dorită;
2. În cazul în care utilizatorul nu este autentificat i se va cere acest lucru;
3. Se va introduce intervalul de timp în care se dorește a se face rezervarea și în funcție de locurile de parcare disponibile se va alege unul dintre acestea;
4. Urmează o pagină de confirmare în care sunt afișate toate opțiunile selectate de utilizator;
5. Se efectuează plata cu PayPal astfel:
 - a. Se face trecerea pe site-ul PayPal la secțiunea plăți;
 - b. Se introduc date de autentificare sau date despre persoană și contul bancar;
 - c. Se confirmă datele introduse de către utilizator;
 - d. Se confirmă plata de către PayPal;
 - e. Se revine la aplicația Parking Manager;
6. Se confirmă plata de către aplicație;
7. Se înregistrează rezervarea și se revine la pagina principală a utilizatorului.

Pași prezentați mai sus pot fi parcurși de un utilizator mediu al internetului în aproximativ 3 minute iar în cazul în care persoana în cauză deține și un cont PayPal, plata se face și mai repede. Menționăm că și alte motoare de plăți autohtone pot fi integrate în aplicație (e.g. epayment.ro).

Alegerea lui PayPal s-a făcut pentru că API-ul pus la dispoziție permite simulări în timpul dezvoltării de aplicație și nu în ultimul rând datorită documentației existente. Aplicația confirmă faptul că timpul alocat pentru a rezerva un loc de parcare este mult mai mic decât timpul necesar căutării efective (zilnice sau nu). Astfel încă un obiectiv propus la formularea problemei (rapiditate) a fost atins.

3.2.3 Modulul pentru administrator

Modulul pentru administrator le oferă acestora o serie de unelte prin care își pot gestiona mai ușor parcările. În continuare amintim o parte dintre acestea:

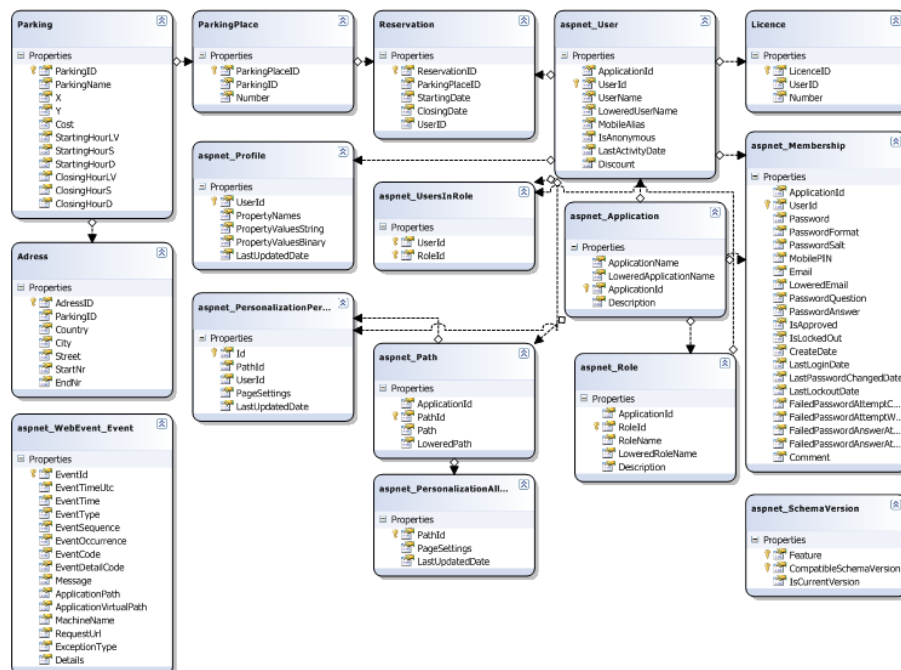
- Gestionarea conținutului tabelelor din baza de date, adică posibilitatea de a inserta, șterge, edita parcări, adrese ale parcărilor, locuri de parcare și rezervările corespunzătoare locurilor de parcare. Menționez că la inserarea parcărilor se folosește Google Maps pentru a determina locația pe hartă a entității obiect;
- Gestionarea utilizatorilor;
- Crearea de noi administratori;
- Crearea a diferite statistici, în mod grafic sau nu, referitor la eficiența sistemului implementat pentru anumite parcări și comparații făcute între toate acestea;
- Crearea unei vederi complexe care să determine toate autovehiculele care au permisiunea de a staționa pe fiecare loc de parcare în parte, structurat pe intervale de timp, care aparțin unei date fixe specificate de către administrator. Acest tabel este destinat controlorilor care pot verifica cu ușurință dacă o mașină este parcată corespunzător din punct de vedere al rezervării, pentru a lua măsurile disciplinare ce

sunt conținute în lege. Figura următoare ilustrează o mică secțiune dintr-un asemenea tabel:

Number		Reservations					
		StartingDate	ClosingDate	User			
Forex	1	12/12/2010 15:22	12/12/2010 16:22	<table border="1"> <thead> <tr> <th>Number</th> </tr> </thead> <tbody> <tr> <td>Bv-05-PTK</td> </tr> <tr> <td>BV-66-ADG</td> </tr> </tbody> </table>	Number	Bv-05-PTK	BV-66-ADG
	Number						
Bv-05-PTK							
BV-66-ADG							
2	12/12/2010 12:00:00 AM	12/13/2010 12:00:00 AM	<table border="1"> <thead> <tr> <th>Number</th> </tr> </thead> <tbody> <tr> <td>Bv-05-PTK</td> </tr> <tr> <td>BV-66-ADG</td> </tr> </tbody> </table>	Number	Bv-05-PTK	BV-66-ADG	
Number							
Bv-05-PTK							
BV-66-ADG							
	3						

3.2.4 Baza de date

Baza de date este creată în SQL Server 2005 Express Edition ce poate fi folosit gratuit și în cazul unor aplicații comerciale [1, 2]. În continuare voi prezenta printr-o diagramă și o serie de comentarii structura bazei de date și motivele pentru care a fost aleasă o asemenea structură.



- Toate tabelele ce au ca prefix ”aspnet_” fac parte dintr-o schemă care este creată automat de *aspnet_regsql*, o aplicație a platformei .NET Framework ce poate fi accesată din Visual Studio 2008 Comand Prompt [3]. Această schemă reprezintă baza

pentru realizarea unei ”*Membership Schema*” necesară aplicației bazate pe utilizator. Singura modificare adusă în această secțiune a fost adăugarea în tabela *aspnet_User* a proprietății *discount* deoarece am considerat că există persoane care sunt scutite de plata taxelor de parcare sau care au reduceri pentru acestea (ex: angajații primăriilor).

- Tabela de la care s-a început dezvoltarea, este *Parking*. Proprietățile acesteia sunt următoarele:
 - *ParkingName* – numele parcării
 - *X*, *Y* – coordonatele pentru Google Map
 - *Cost* - valoarea taxei de staționare timp de o oră
 - Proprietățile din urmă descriu programul săptămînal al parcării (intervalele de timp în care se percep taxele) pentru: Luni-Vineri, Sâmbătă și Duminică.
- Dimensiunile unei parcări variază, de aceea o parcare cu o suprafață mare poate fi ”*întinsă*” pe mai multe adrese. În astfel de condiții am creat tabela *address*.
- Fiecare parcare are un număr de locuri alocate procesului de rezervare și din acest motiv a fost introdusă tabela *ParkingPlace*.
- În fiecare loc de parcare există un număr de rezervări pe intervale de timp diferite, care nu se suprapun; și fiecare rezervare corespunde unui utilizator. Astfel a fost adăugată tabela *Reservation*.
- Tabela *Licence* a fost concepută deoarece orice utilizator poate deține una sau mai multe autovehicule.

Legătura dintre baza de date și aplicație a fost făcută folosind Linq to SQL [4, 5, 6]. Am ales acest mod de abordare, în detrimentul celorlalte opțiuni, inclusiv a celei automate oferite de platforma .Net Framework 3.5 deoarece putem considera că este un mod eficient din punct de vedere al cantității de cod scrise prin care se poate crea legătura cu un server de baze de date.

3.2.5 Limbajul C#

Limbajul C# a fost preferat datorită faptului că este un limbaj de programare obiect-orientat cu o sintaxă bazată pe C++ care include aspecte ale limbajelor Delphi, Visual Basic și Java, cu un accent special pus pe simplificare (mai puține simboluri decât în C++, mai puține cerințe decorative decât în Java ș.a.m.d) [8, 9].

Straturile implementate în cadrul aplicației sunt:

- *Business Logic Layer*, format din
 - *Business Objects*, corespunzător lui Domain Model din [7]
 - *Business Services*, corespunzător lui Service Layer din [7]
- *Data Access Layer*, implementat prin Data Mapper [7]

În următoarele secvențe de cod se exemplifică inserarea unui obiect de tip *LicenceBO* în tabela *Licence* a bazei de date:

Clasa LicenseBO:

```
.....
public int LicenceID
{
    get;
    set;
}
public Guid UserID
{
    get;
```

```

        set;
    }
    public string Number
    {
        get;
        set;
    }
    public override string ValidateMessage()
    {
        .....
    }
    .....

```

Clasa LicenceServices:

```

.....
[DataObjectMethod(DataObjectMethodType.Insert, true)]
public void InsertLicence(LicenceBO LicenceBO)
{
    string validationMessage = LicenceBO.ValidateMessage();
    if (validationMessage != string.Empty)
    {
        throw new Exception(validationMessage);
    }
    LicenceDAL LicenceDAL = new LicenceDAL();
    LicenceDAL.InsertLicence(LicenceBO);
}
.....

```

Clasa LicenceDAL:

```

.....
internal void InsertLicence(LicenceBO LicenceBO)
{
    using (ParcariDBDataContext pdc = new ParcariDBDataContext())
    {
        Licence Licence = new Licence
        {
            UserID = LicenceBO.UserID,
            Number = LicenceBO.Number
        };
        pdc.Licences.InsertOnSubmit(Licence);
        pdc.SubmitChanges();
        LicenceBO.LicenceID = Licence.LicenceID;
    }
}
.....

```

3.2.6 Google Maps

Integrarea în aplicație a hărților oferite de cei de la Google a fost unul din considerentele urmărite pentru această aplicație. Folosirea acestei unelte se face atât de către administrator, la introducerea parcărilor cât și de către utilizator la căutarea unui loc de parcare. Utilizarea se face pe baza unui API care permite programatorului să utilizeze hărți oferite de Google Maps într-o aplicație web folosind JavaScript. API oferă o serie de unelte pentru manipularea hărților (asemănătoarea celor de pe pagina <http://maps.google.com>) și pentru adăugarea a unei mari varietăți de servicii ce duc la realizarea unor hărți robuste pentru propriile aplicații web.

Avantajele oferite de această tehnologie sunt numeroase. Printre acestea se numără:

- Posibilitatea de a introduce pentru o căutare atât o adresă exactă cât și un punct de reper important (ex: România, Brașov, Primărie);
- Afișarea tuturor parcărilor din baza de date a aplicației împreună cu programul lor;
- Afișarea coordonatelor;
- Posibilitatea de a mări sau micșora imaginea (Zoom);
- Existența a trei moduri de vizualizare a hărții: *Map*, *Satelite*, *Hybrid*.
- Un exemplu de interfață utilizator Web care folosește Google Maps este dat în Figura 1.

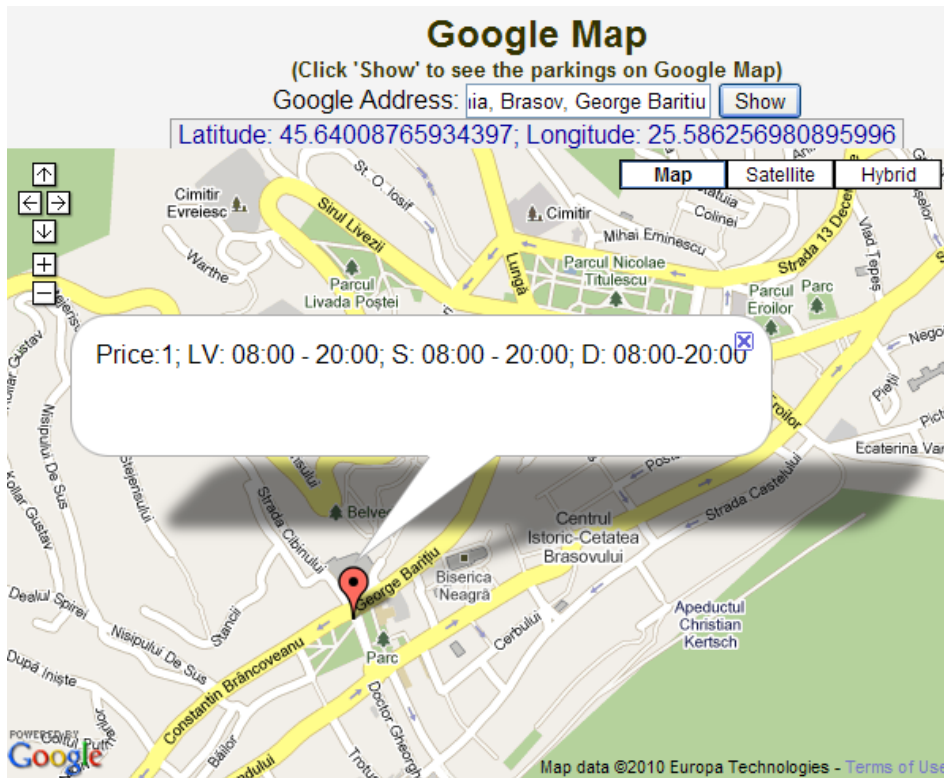


Figura 1. Exemplu de integrare a hărților Google Maps in aplicație

3.2.7 PayPal

Pentru a realiza plata rezervațiilor am folosit o tehnologie oferită de cei de la PayPal numită PayPal Sandbox [10, 11]. Aceasta oferă programatorilor posibilitatea de a testa integrarea soluției de plată PayPal înainte de a efectua tranzacțiile în mediul de plată real. Sandbox este un duplicat al site-ului PayPal, singura diferență dintre aceste două fiind faptul că banii nu se transferă de pe un cont pe altul.

Am ales să folosesc PayPal ca și metodă de plată pentru că:

- PayPal este unul dintre liderii mondiali în plăți și tranzacții online;
- Este ușor de folosit și accesibil în majoritatea țărilor lumii;
- Acceptă plata direct cu cardul sau din contul utilizatorului înregistrat;
- Este rapid și eficient;

3.2.8 Platforme software

Aplicația a fost dezvoltată în Visual Studio 2008 Professional iar baza de date a fost creată cu Microsoft Sql Server 2005 Express Edition. Am făcut această alegere având în vedere stabilitatea, viteza de execuție și nu în ultimul rând ușurința de dezvoltare. Am folosit de asemenea și biblioteci preluate de la Microsoft, Google, ș.a.m.d. pentru a putea implementa anumite *unelte*: GoogleMap, DataVisualization.Charting, PayPal.

4 Avantaje

Avantajele aplicației realizate sunt numeroase și diferite pentru cei ce utilizează un astfel de sistem. Cu siguranță, fiecare dintre noi are un alt punct de vedere asupra unui concept și prin urmare avantajele oferite de acesta diferă de la o persoană la alta. De aceea, voi prezenta în continuare doar o parte din avantajele pe care le consider ”comune”:

- Costuri mai mici pentru administratori parcarilor dat fiind faptul ca investițiile sunt minime;
- Eliminarea duratei de timp necesare pentru a căuta un loc liber de parcare;
- Confort crescut în ceea ce privește efectuarea plății rezervărilor de către conducătorii auto;
- Confort crescut în ceea ce privește încasarea banilor de către deținătorii parcarilor;
- O mai bună organizare și gestionare a parcarilor, respectiv a locurilor de parcare;
- Accesibilitate: Sistemul este accesibil atât administratorilor, datorită costurilor reduse ale investițiilor necesare, cât și utilizatorilor datorită aplicației care se accesează prin intermediul internetului.
- Universalitate: Sistemul poate fi implementat atât în orașele ce dispun de resurse materiale mai însemnate, cât și în cele în care sumele de banii alocate pentru investiții sunt mai reduse;
- Flexibilitate: În funcție de condițiile în care se dorește dezvoltarea acestui concept, anumite aspecte ale sistemului, respectiv aplicației, pot fi modificate, inclusiv structura bazei de date;
- Simplitate: În general, persoanele sunt mai receptive față de ideile simple pe care le pot asimila ușor. Astfel adaptarea conducătorilor auto la un astfel de sistem ar fi mult mai rapidă;
- Rapiditate: Se spune că în ”secolul vitezei” orice concept care aduce rezultate mai rapide este foarte bine primit. De acord, având în vedere că 2-3 minute în fața calculatorului sunt mai ușor de suportat decât 10 minute în trafic.
- Cu aceste sisteme de parcare pot fi dotate: parcarile publice din centrele marilor orașe, parcarile clădirilor administrative, parcarile de cartier, parcarile hotelurilor de lux, saloanele auto ale reprezentanțelor firmelor producătoare de autoturisme și așa mai departe;

5 Concluzii și dezvoltări viitoare

Atât conceptul cât și aplicația reprezintă o idee nouă, a cărei dezvoltări a ajuns până la un anumit punct. Bine înțeles că ideea nu este fixă, se pot adăuga și modifica o mulțime de aspecte, sau chiar tot sistemul propus poate fi inclus într-un sistem mai mare, devenind un subsistem al acestuia. Chiar ideea inițială de la care s-a plecat a fost puțin diferită de rezultatul final obținut. Am plecat de la o abordare mai simplă în care vroiam doar să creez o aplicație în care se puteau face rezervări, iar la confirmarea acestora, utilizatorii primeau un cod pe care îl introduceau în

aparatele de pe marginea parcarilor pentru a primii tichete asemănătoare celor de astăzi. După cum puteți observa aplicația era mai simplă dar sistemul mult prea complex, conținea elemente inutile. Astfel, pe parcursul dezvoltării conceptului am realizat că există o metodă mult mai ușoară, mai puțin costisitoare și mai la îndemână de pus în aplicare folosind numerele de înmatriculare a mașinilor personale ale utilizatorului. De aici, asemenea unor piese de domino, au urmat crearea tabelor pentru controlori, a statisticilor și așa mai departe.

”Puterea” acestui mod de abordare este dată de posibilitatea continuă de dezvoltare. Astfel poate să țină pasul cu dorința de modernizare din acest sector. Obiectivul propus, de a crea un concept și o aplicație care să poată să crească a fost atins și deja am stabilit o listă de unelte ce pot fi adăugate sistemului și implicit conceptului. Printre acestea se numără:

- Posibilitatea utilizatorului de a-și recupera banii în cazul în care există probleme la locul de parcare rezervat deoarece ”*nu putem preveni situațiile neprevăzute*”;
- Posibilitatea utilizatorilor de a avea discounturi în funcție de parcare;
- Posibilitatea selectării unor zile în care să nu se perceapă taxe (ex. în zilele de sărbătoare);
- Posibilitatea determinării clienților fideli și oferirii de bonusuri sub forma de reduceri;
- Posibilitatea de a face reduceri în funcție de parcare și de timpul dorit pentru rezervare (ex. dacă rezervarea este pe o lună de zile să se facă o reducere de 20%);
- În final, punerea în practică a sistemului.

În concluzie sistemul de management și gestiune a parcarilor prezintă un concept nou, susținut de o aplicație, care reușește să aducă o abordare nouă, simplă și mai ușor de folosit asupra acțiunii de căutare și ocupare a unui loc de parcare. Ideea este complet realizabilă și răspunde cerințelor impuse de dezvoltarea sistemului de transport și nu numai.

Bibliografie

- [1] ***, *SQL Server 2005 Redistribution Rights*, <http://www.microsoft.com/sqlserver/2005/en/us/express-redistribute.aspx>
- [2] ***, *SQL Server 2005 Express Edition Redistribution EULA*
- [3] Matthew MacDonald and Mario Szpuszta, *Pro ASP.NET 3.5 in C# 2008*, Apress, 2007
- [4] ***, <http://www.asp.net/LEARN/videos/>
- [5] Fabio Claudio Ferracchiati, *LINQ for Visual C# 2008*, Apress, 2008
- [6] Fabrice Marguerie, Steve Eichert, Jim Wooley, *LINQ in Action*, Manning, 2008
- [7] Martin Fowler, *Patterns of enterprise application architecture*, Addison Wesley, 2002
- [8] Dragoș Iulian Obancea, *Primii pași cu C#*, Editura Noua București, 2009.
- [9] Lucian Mircea SASU, *Introducere în limbajul C#*, Editura Universitatii Transilvania din Brasov, 2009
- [10] Damon Williams, *Pro PayPal E-Commerce (Expert's Voice)*, Apress, 2007
- [11] Victoria Rosenberg, Marsha Collier, *PayPal for Dummies*, Wiley Publishing Inc.

DRAGOȘ IULIAN OBANCEA
Universitatea „Transilvania” din Brașov
Facultatea de Matematică și Informatică
Specializarea Informatică
Strada Iuliu Maniu, Nr. 50, Brașov
ROMÂNIA
obancea_dragos@yahoo.com

Maze - Joc interactiv

Vasile Nechifor Nicusor, Sorin Radu Daniel
Coordonator: Prof. dr. Dana Simian

Abstract

In this paper we presented an original application which includes algorithms for generating 2D maze, browsing and finding optimal solutions to solve routing problem.

The implementation was done using Mathworks Matlab which gave us an ideal programming environment for development this interactive game.

In the future we want to implement a 3D map of the maze, to improve graphics and algorimii use.

1 Introducere

Jocurile interactive sunt o parte a vieții cotidiene din zilele noastre. Acestea pot fi simple sau foarte complexe, pornind de la simplul joc Minesweeper și până la cele mai avansate jocuri 3D care folosesc tehnologie înaltă de procesare grafică. Acest proiect stă la baza unei idei care a rezultat în urma încercării de a dezvolta un program interactiv într-un mediu în care în general nu se pot dezvolta astfel de proiecte. În această lucrare am prezentat o aplicație originală care include algoritmi pentru generarea 2D a labirintului, parcurgerea și găsirea unei soluții optime de rezolvare a traseului spre soluționarea problemei folosind metoda backtracking. Implementarea a fost realizată folosind Mathworks Matlab care ne-a oferit un mediu de programare ideal pentru dezvoltarea acestui joc interactiv.

2 Fundamente teoretice

2.1 Dezvoltarea grafica a jocului

Folosind calculul matricial care este unul dintre avantajele mediului de programare Matlab, am dezvoltat modelul matematic al labirintului astfel:

- se pornește de la 4 matrici - perete_stanga, perete_dreapta, perete_jos, perete_sus;
- se se initializează cele 4 matrici pentru a defini un "labirint" format numai din celule care au toți cei patru pereți;

- cu ajutorul funcției *desenare_labirint* se trece la eliminarea pereților, atata timp cât sunt celule izolate, adică are toți cei patru pereți, apoi se trece la desenarea grafică;
- se trece la parcurgerea labirintului în funcție de direcția dorită, direcție definită cu ajutorul săgeților, cu ajutorul funcției *parcuregere_labirint*.

2.2 Rezolvarea „problemei labirintului” folosind metoda backtracking

Metoda backtracking folosește la rezolvarea multor probleme. Pentru ca o problemă să poată să fie rezolvată cu metoda backtracking, ea trebuie să îndeplinească simultan următoarele condiții:

- poate avea mai multe soluții, acestea fiind puse sub formă de vector ca de exemplu $S(x_1, x_2, x_3, \dots, x_n)$, unde $x_1 \in A_1, x_2 \in A_2, \dots, x_n \in A_n$
- mulțimile $A_1, A_2, A_3, \dots, A_n$ sunt mulțimi finite, având elementele aflate într-o ordine bine stabilită, ele putând să fie chiar identice.

În acest caz, vectorul care conține soluții se numește **stivă**.

Se alege primul element x_1 din A_1 . Se repetă într-o structură repetitivă până când nu mai există elemente netestate din mulțimea A_1 ;

- se presupune că am ajuns la elementul x_k din mulțimea A_k și se dorește găsirea unui element x_{k+1} din mulțimea A_{k+1} . Acesta trebuie să îndeplinească condițiile de existență a unui astfel de element, impuse de problemă, iar dacă:

- îndeplinește aceste condiții atunci trebuie să îndeplinească alte condiții impuse de problemă, prin care se determină dacă el ar putea face parte din soluție. Dacă: (1) da, atunci se testează dacă șirul de elemente este o soluție a problemei; dacă: (2) da, atunci se tipărește vectorul care conține aceste soluții; (2) nu, atunci se trece pe următorul nivel din șir ($k:=k+1$); (1) nu, nu îndeplinește condițiile de a face parte din soluție, atunci se trece la următorul element netestat din mulțimea A_k ; nu mai poate exista un element pe nivelul k , atunci se trece la nivelul anterior și se încearcă aici găsirea unui element; repetiția se termină când am ajuns pe nivelul 0.

2.2 Studiul modalităților de implementare

Enunț: Se dă un labirint sub formă de matrice de m linii și n coloane. Fiecare element al matricii reprezintă o cameră. Într-una din camerele labirintului se găsește un om. Se cere să se afle toate soluțiile ca acel om să iasă din labirint, fără să treacă de două ori prin aceeași cameră.

Generalizare. Această variantă a problemei este varianta în care fiecare cameră are pereții proprii în părțile laterale. Există o altă variantă în care fiecare element al matricii este fie un culoar, fie un perete, putându-se trece doar dintr-un culoar în altul. Aici, se poate trece dintr-o cameră în alta, doar dacă între cele două camere nu există perete (camerele sunt imediat apropiate). Prin labirint, putem trece dintr-o cameră în alta doar mergând în sus, în jos, la stânga sau la dreapta, nu și în diagonală.

Codificare. Principiul backtracking generalizat spune că trebuie codificate direcțiile. În aceste caz vor fi codificate și combinațiile de pereți ai fiecărei camere. Astfel, un element al camerei va fi un element al unei matrici cu n linii și n coloane, având valori de la 0 la 15. În sistemul binar, numerele 0..15 sunt reprezentate ca 0..1111, fiind memorate pe 4 biți consecutivi. Vom lua în considerare toți

cei 4 biți, astfel numerele vor fi 0000..1111. Fiecare din cei 4 biți reprezintă o direcție, iar valoarea lui ne spune dacă în acea direcție a camerei există sau nu un perete. Vom reprezenta numărul astfel:

$$nr = b1 \ b2 \ b3 \ b4 \quad (b = \text{bit})$$

Astfel, b1 indică direcția nord (sus), b2 indică direcția est (dreapta), b3 indică direcția sud (jos) iar b4 indică direcția vest (stânga).

Valorile unui bit sunt, firește, 0 și 1. 0 înseamnă că în direcția respectivă nu există un perete, iar 1 înseamnă că în direcția respectivă există un perete și pe acolo nu se poate trece. De exemplu: 0111 - camera aceasta are pereți în dreapta, în jos și în stânga, iar în sus este drum liber spre camera vecină. Acest număr este de fapt 7, așa fiind notat în matricea labirintului.

În ceea ce privește direcțiile, vom reține doar coordonatele unde se află omul din labirint, acestea fiind schimbate în funcție de drumul pe care-l urmează. Vom avea o stivă triplă astfel:

- coloana 1 va indica direcția. Aceasta va fi de la 1 la 4, 1 reprezentând sus, 2 reprezentând dreapta, 3 reprezentând jos, iar 4, stânga;

- coloana 2 va reține indicele de linie al camerelor parcurse în labirint;

- coloane 3 va reține indicele de coloană al camerelor parcurse în labirint;

- fiecare linie va însemna o cameră, cu indicele de linie și de coloană.

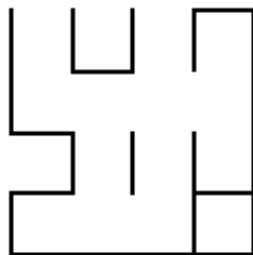
Astfel, în cazul în care direcția este 1 (sus), linia se va micșora cu 1, dacă direcția este 2 (dreapta), coloana se va mări cu 1, dacă direcția este 3 (jos), linia se va mări cu 1, iar dacă direcția este 4 (stânga), coloana se va micșora cu 1.

Exemplu: Să presupunem că introducem următoarea matrice:

```

5  7  5 13
3  8  0  4
14 5  5  7
11 2  6 15

```



Această matrice corespunde labirintului din desenul de mai sus.

Punctul de pornire din acest labirint este linia 3, coloana 4. Astfel, avea 3 soluții de a ieși din labirint, fără a trece de două ori prin aceeași cameră:

(3,4)-(2,4)-(2,3)-(1,3)-ieșire

(3,4)-(2,4)-(2,3)-(2,2)-(2,1)-(1,1)-ieșire



Fig. 2 Interfata grafica

Interfața include două butoane de tip *text box* pentru introducerea dimensiunii labirintului, un meniu pop-up din care utilizatorul alege tipul de generare a labirintului cat și un buton de *start*.

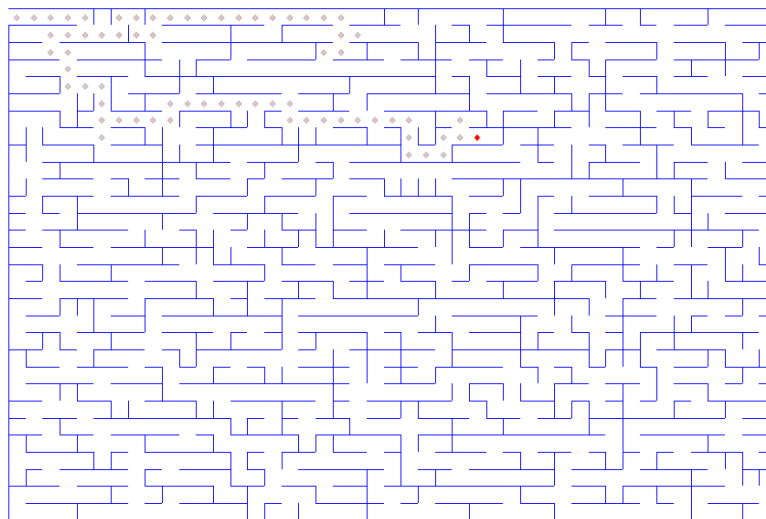


Fig. 3 Labirintul generat

Odată generat labirintul, utilizatorul trebuie să caute soluția, care este unică deplasându-se prin labirint cu ajutorul săgeților. În cazul în care nu găsește o soluție, el are posibilitatea de a cere ajutorul programului pentru a găsi drumul spre ieșire.

4 Concluzii

Ca și dezvoltării viitoare acestui joc interactiv dorim să-I aducem noi componente ca și o interfața grafică nouă.

In concluzie as dori sa specific faptul ca jocurile interactive pot fi dezvoltate in orice mediu fie ele pur matematice sau direct grafic. Utilizarea unui program precum Mathworks Matlab creste probabilitatea de succes a unei incercari de implementare a unui program, fie el joc interactiv, aplicatie didactica sau aplicatii de cercetare. Pana la urma toate aceste concepte pot fi implementate in realitatea virtuala care reprezinta o ramura importanta a informatici. Acestea ofera modalitatea prin care calculatorul si echipamentele specializate modifica modul in care omul percepe realitatea din mediul natural, prin simularea/modelarea unei alte realitati.

5 Bibliografie

- [1] **Dana, Simian**, *Algoritmi fundamentali și tehnici de programare*, Editura Universității “Lucian Blaga”, Sibiu, 2004
- [2] **Valer, Roșca**, *Culegere de exerciții și probleme de programare*, Editura Universității “Lucian Blaga”, Sibiu, 2006
- [3] Marin V., Mircea P., Realitatea Virtuală (Virtual Reality), Tehnologie modernă a informaticii aplicate
- [4] www.mathworks.com
- [5] www.mathtools.net

VASILE NECHIFOR NICUSOR
Universitatea „Lucian Blaga”
Informatică
Str. dr. I. Ratiu, nr. 5-7, cod 550012, Sibiu
ROMANIA
E-mail: vasilenicisor@yahoo.com

SORIN RADU DANIEL
Universitatea „Lucian Blaga”
Informatică
Str. dr. I. Ratiu, nr. 5-7, cod 550012, Sibiu
ROMANIA
E-mail: radu_s_o_r_i_n@yahoo.com

Agenda electronica

Raluca Pandaru
Coordonator: Lect. univ. dr. Lucian Sasu

Abstract

This project is developed in C# and SQL Server 2005 and its main purpose is to help people organize their time more efficiently. Thus, the user can record various activities, determine which are the planned activities from a specified date and use the facilities of this application in order to plan some events. The project can automatically plan activities which are introduced by the user so that the resulted planning respects all the constrains imposed by the user.

1 Introducere

Algoritmii genetici sunt folositi pentru rezolvarea unor probleme pentru care nu se cunoaste un algoritm care sa ruleze in timp polinomial. Aceste probleme au pe langa datele de intrare numeroase conditii care trebuie indeplinite de solutia rezultata.

In acest sens, putem considera planificarea timpului ca fiind o problema dificila pe care trebuie sa o rezolvam zilnic, o problema a carei solutie trebuie sa satisfaca numeroase conditii. De aceea, m-am gandit sa realizez un proiect care sa ajute la planificarea timpului. Datorita conditiilor care trebuie indeplinite, am folosit un algoritm genetic care sa determine solutia.

In plus, aplicatia permite inregistrarea de noi activitati si vizualizarea activitatiilor inregistrate.

2 Prezentarea proiectului

Pentru realizarea proiectului am folosit limbajul C# datorita faptului ca acest limbaj de programare este puternic orientat pe obiecte. Programarea orientata pe obiecte este utila pentru acele aplicatii care vor fi dezvoltate in viitor pentru ca presupune efort minim, utilizandu-se ceea ce a fost programat anterior. In plus, pentru inregistrarea activitatilor am folosit SQL Server 2005.

Aceasta prezentare va descrie modul in care aplicatia va planifica activitatile care sunt introduse de catre utilizator.

3 Formularea problemei planificarii timpului

Cerinta:

Fiind date un interval de timp, o multime de evenimente si un set de restrictii, se pune problema gasirii unei planificari cat mai eficiente (timpul sa fie ocupat cat mai bine) a evenimentelor astfel incat sa fie respectate toate conditiile impuse.

Date de intrare:

- fie un interval de timp T dat si E multimea de activitati care trebuie planificate in intervalul T , precum si o multime de intervale de timp R care contine intervalele de timp rezervate
- presupunem ca multimea E contine n evenimente $E = \{e_1, e_2, \dots, e_n\}$
- fiecare eveniment e_i din multimea E este caracterizat de urmatoarele atribute:
 - o scurta descriere a evenimentului
 - o anumita complexitate care este data de utilizator (aceasta complexitate este un numar de la 1 la 10; ea este aproximativa si este data prin comparatie cu celelalte evenimente din multimea E ; aceasta este folosita pentru programarea in timp a evenimentelor)
 - evenimentele de care depinde (este posibil ca un anumit eveniment sa poate fi realizat numai daca a fost indeplinit alt eveniment)
 - un interval de timp $t_i = [t_i^1, t_i^2]$ in care se doreste sa se planifice evenimentul (se poate specifica numai t_i^1 (e_i va fi programat dupa t_i^1) sau numai t_i^2 (e_i va fi planificat astfel incat sa fie realizat inainte de t_i^2); trebuie specificat faptul ca introducerea intervalului t_i nu inseamna ca evenimentul e_i se va desfasura din t_i^1 pana la t_i^2 , ci se va desfasura intr-un interval de timp t_i' care este inclus in t_i ; acest lucru nu restrange generalitatea problemei pentru ca se pot introduce intervale de timp rezervate, adica in care nu se pot face planifiari)
 - un eveniment e_j care va fi planificat imediat dupa evenimentul e_i
 - intervale de timp in care evenimentul nu poate fi planificat
- multimea $R = \{r_1, r_2, \dots, r_m\}$ contine intervalele de timp in care nu se pot face planificari (adica niciun eveniment nu poate fi planificat in intervalul de timp respectiv), unde r_i este strict inclus in T .

Date de iesire

- o planificare a evenimentelor care sa respecte conditiile impuse prin datele de intrare

Trebuie specificat faptul ca planificarea evenimentelor se va face astfel incat un eveniment sa nu fie divizat. In plus, daca un interval t_i este inclus intr-un interval r_j , algoritmul nu va gasi solutie. Adica, obtinerea solutiei depinde de corectitudinea formularii datelor de intrare.

4 Prezentarea algoritmului genetic folosit

Algoritmul genetic folosit are forma simplificata:

```
crearea populatiei initiale;
for (int nr_iteratie = 0; nr_iteratie < 7000; nr_iteratie++)
{
    for (int i = 0; i < 100; i++)
    {
        calcularea valorii de fitness a individului i;
        if (fitnessi == 1)
        {
```



```

        am gasit solutie;
        iesire din cele 2 cicluri for;
    }
}
selectarea indivizilor care se vor inmulti si a celor care vor fi inlocuiti;
aplicarea operatorului crossover;
aplicarea operatorului unar mutation;
}

```

Fiecare populatie este formata din 100 de indivizi, un individ este reprezentat printr-un vector a carui dimensiune este data de numarul de evenimente care vor fi planificate, iar evenimentele sunt codificate folosind numere intregi intre 0 si numarul de evenimente - 1. Conditiiile impuse evenimentelor sunt stocate intr-o instanta a unei clase Event care codifica un eveniment. Aceste instante sunt folosite pentru a calcula valoarea de fitness a unui individ.

Dupa cum se poate observa, inainte de aplicarea algoritmului genetic se construiește populatia initiala. Aceasta trebuie sa fie cat mai diversificata pentru a creste probabilitatea de a gasi o solutie intr-un timp cat mai scurt. In plus, pentru micșorarea timpului de executie, populatia initiala va fi alcatuita numai din indivizi care respecta conditiile legate de dependenta a unor evenimente de alte evenimente. Pentru construirea populatiei initiale am folosit un algoritm de backtracking optimizat, in sensul ca am impus conditii care elimina functia de verificare si care garanteaza ca fiecare pas k al algoritmului va construi o solutie valida. Tot cu ajutorul acestui algoritm se poate determina, inainte de lansarea in executie a algoritmului genetic, daca exista dependente circulare intre evenimente.

Pentru implementarea functiei de selectie este necesar calculul valorii medii de fitness a populatiei si a valorii de fitness minime. Vor fi selectati pentru a face schimb de material genetic toti indivizii care au valoarea de fitness mai mare sau egala cu valoarea medie de fitness a populatiei. In schimb, pentru inlocuire vor fi selectati acei indivizi care au valoarea de fitness mai mica sau egala cu $(\text{valoarea de fitness minima} + \text{valoarea medie de fitness a populatiei}) / 2$. Dar, dintr-o populatie nu pot muri mai mult de 20% dintre indivizi. Daca sunt mai mult de 20% de indivizi din totalul populatiei selectati pentru inlocuire atunci se vor alege aleator indivizii care vor fi inlocuiti. In acest fel, se evita constructia unei populatii care sa contina de mai multe ori un individ care are o valoare de fitness mare, dar care nu poate conduce la gasirea solutiei pentru problema data.

Operatorul de crossover folosit este cel propus de Syswerda (detalii in [1] capitolul 10 pagina 219), numai ca numarul de pozitii generate este egal cu $\text{lungime_individ} \div 2$. Iar operatorul mutation presupune interschimbarea a doua evenimente intre ele. Acesta se aplica unui singur individ astfel: se parcurg toate evenimentele in ordinea in care sunt stocate de individ si pentru fiecare eveniment se genereaza un numar in cuprins intre 0 si 1. Daca numarul generat este mai mic de 0.001 atunci evenimentul respectiv este interschimbata cu alt eveniment ales arbitrar.

In continuare, voi prezenta un exemplu abstract pentru a arata modul de executie al algoritmului.

Sa presupunem ca intervalul de timp este 04/01/2010 7:30 AM – 04/10/2010 22:30 PM, multimea de evenimente este $\{ev0, \dots, ev24\}$, iar multimea de intervale rezervate este multimea vida.

Pentru fiecare eveniment se introduc attributele acestuia:

Evenimentul 1

descriere: ev0

complexitate: 3

evenimente de care depinde: ev20

limita de timp superioara: 04/07/2010 23:30 PM

Evenimentul 2

descriere: ev1
complexitate: 4
evenimente de care depinde: ev4, ev15
limita de timp inferioara: 04/05/2010 7:30 AM
limita de timp superioara: 04/07/2010 23:30 PM

Evenimentul 3
descriere: ev2
complexitate: 5
limita de timp inferioara: 04/03/2010 7:30 AM
limita de timp superioara: 04/07/2010 23:30 PM

Evenimentul 4
descriere: ev3
complexitate: 7

Evenimentul 5
descriere: ev4
complexitate: 1

Evenimentul 6
descriere: ev5
complexitate: 3
evenimente de care depinde: ev16

Evenimentul 7
descriere: ev6
complexitate: 1

Evenimentul 8
descriere: ev7
complexitate: 3
evenimente de care depinde: ev10

Evenimentul 9
descriere: ev8
complexitate: 2
limita de timp inferioara: 04/02/2010 12:30 PM
limita de timp superioara: 04/02/2010 22:30 PM

Evenimentul 10
descriere: ev9
complexitate: 1

Evenimentul 11
descriere: ev10
complexitate: 4

Evenimentul 12
descriere: ev11
complexitate: 5

Evenimentul 13
descriere: ev12
complexitate: 7

Evenimentul 14
descriere: ev13
complexitate: 8

Evenimentul 15
descriere: ev14
complexitate: 9
evenimente de care depinde: ev13

Evenimentul 16
 descriere: ev15
 complexitate: 1
 evenimente de care depinde: ev11, ev14

Evenimentul 17
 descriere: ev16
 complexitate: 1
 evenimente de care depinde: ev10

Evenimentul 18
 descriere: ev17
 complexitate: 2

Evenimentul 19
 descriere: ev18
 complexitate: 1
 limita de timp inferioara: 04/09/2010 8:45 AM
 limita de timp superioara: 04/10/2010 8:50 PM

Evenimentul 20
 descriere: ev19
 complexitate: 10

Evenimentul 21
 descriere: ev20
 complexitate: 4

Evenimentul 22
 descriere: ev21
 complexitate: 6
 evenimente de care depinde: ev18

Evenimentul 23
 descriere: ev22
 complexitate: 2

Evenimentul 24
 descriere: ev23
 complexitate: 4

Evenimentul 25
 descriere: ev24
 complexitate: 2

O solutie gasita de algoritm este:

ev20 [4/1/2010 7:30 AM, 4/1/2010 5:13 PM]
 ev11 [4/1/2010 5:13 AM, 4/2/2010 5:23 AM]
 ev10 [4/2/2010 5:23 AM, 4/2/2010 3:06 PM]
 ev6 [4/2/2010 3:06 PM, 4/2/2010 5:32 PM]
 ev8 [4/2/2010 5:32 PM, 4/2/2010 10:24 PM]
 ev13 [4/2/2010 10:24 PM, 4/3/2010 5:51 PM]
 ev2 [4/3/2010 5:51 PM, 4/4/2010 6:00 AM]
 ev14 [4/4/2010 6:00 AM, 4/5/2010 3:53 AM]
 ev7 [4/5/2010 3:53 AM, 4/5/2010 11:11 AM]
 ev4 [4/5/2010 11:11 AM, 4/5/2010 1:37 PM]
 ev19 [4/5/2010 1:37 PM, 4/6/2010 1:56 PM]
 ev16 [4/6/2010 1:56 PM, 4/6/2010 4:22 PM]
 ev0 [4/6/2010 4:22 PM, 4/6/2010 11:44 PM]
 ev9 [4/6/2010 11:44 PM, 4/7/2010 2:05 AM]

ev15 [4/7/2010 2:05 AM, 4/7/2010 4:31 AM]
ev1 [4/7/2010 4:31 AM, 4/7/2010 2:15 PM]
ev24 [4/7/2010 2:15 PM, 4/7/2010 7:07 PM]
ev22 [4/7/2010 7:07 PM, 4/7/2010 11:59 PM]
ev17 [4/7/2010 11:59 PM, 4/8/2010 4:50 AM]
ev12 [4/8/2010 4:50 AM, 4/8/2010 9:52 PM]
ev23 [4/8/2010 9:52 PM, 4/9/2010 7:35 AM]
ev5 [4/9/2010 7:35 AM, 4/9/2010 12:27 PM]
ev18 [4/9/2010 12:27 PM, 4/9/2010 5:53 PM]
ev21 [4/9/2010 5:53 PM, 4/10/2010 5:28 AM]
ev3 [4/10/2010 5:28 AM, 4/10/2010 10:29 PM]

Solutia a fost gasita in cadrul generatiei 3927.

Timp de rulare: 00:00:52.53

5 Concluzii

Agenda electronica este o aplicatie care vine in sprijinul celor care doresc sa-si organizeze timpul si ofera posibilitatea planificarii automate a anumitor evenimente, pe baza restrictiilor impuse de utilizator.

Pentru viitor, imi propun sa optimizez algoritmul de planificare a evenimentelor si sa adaug functii noi care sa ajute la organizarea eficienta a timpului pentru a creste utilitatea aplicatiei.

Bibliografie

- [1] Genetic Algorithms + Data Structures = Evolution Programs, Zbigniew Michalewicz
- [2] diferite carti in format eBook gasite pe internet

Raluca PANDARU
Universitatea Transilvania Brasov
ROMANIA
raluca_pandaru@yahoo.com

CineStar – a movie application

Popa Bogdan Constantin
Coordonator: prep. univ. Baicoianu Alexandra

Abstract

The Movie Industry is one of the most exciting and informative business in the world, over 70% of the population goes to cinema or watches a movie at home. Each of us searched on Internet at least one time looking for a specific movie, or for getting in touch with the latest releases. This can be time consuming in our lives. So why not having an application that does everything with a push of a button? CineStar is the answer, news, information, trailers, cinema schedules and locations, subtitles and downloads right away. You don't have to bother anymore about searching all over the Internet for a specific content, CineStar does all that you need faster and better.

1 Introducere

De mai bine de jumătate de secol industria de entertainment s-a dezvoltat foarte rapid astfel încât să fie prezentă aproape peste tot. Acest segment face parte din viața fiecărui om. Astfel nu este de mirare că o mare parte din petrecerea timpului liber îl dedicăm filmelor. Astăzi, indiferent în ce parte a lumii ne-am afla, dacă am întreba la întâmplare pe oricine am întâlni pe stradă: „Ce preferați să faceți în timpul liber?”, nu ar trebui să ne mire să constatăm că o majoritate covârșitoare ar spune că: „Prefer să mă uit la un film”. Industria cinematografică pare să dețină monopolul peste timpul liber al oamenilor. Varietatea de genuri și stiluri face ca cinematografia să se refere la o gamă largă de preferințe ale iubitorilor de film. Dacă „unora le place jazzul”, celor mai mulți dintre noi ne plac filmele.

Multi dintre cinefili preferă să se informeze pe internet iar întâlnindu-se cu situația în care caută informații despre un anumit film, caută un trailer, o subtitrare sau chiar filmul. Sau vrea să vadă unde poate viziona filmul respectiv, la care cinematograful. În a căuta ne ajută probabil Google. Dar nu ar fi mai bine să avem o aplicație care să le facă pe toate? Să sarim peste toate etapele în care dăm click-uri peste click-uri și tot nu dăm peste o informație utilă și filtrată.

Acest proiect îndeplinește dorințele multor dintre cinefili, CineStar propune un sistem rapid de căutare în domeniul filmului. Doar prin căutarea denumirii filmului, aplicația oferă utilizatorului posibilitatea de a vedea multiple informații, să vizioneze un trailer, să vadă locația și orarul cinematografului care rulează filmul, să descarce subtitrarea sau filmul respectiv. Pentru a avea un pachet complet, CineStar oferă și posibilitatea de a afișa cele mai noi știri. Astfel aplicația devine o adevărată „unealtă” în mainele celui care o utilizează.

Dezvoltarea aplicației s-a făcut în Visual Studio 2008, Microsoft Expression Blend 3 folosind Windows Presentation Foundation (WPF) alături de limbajul C#. Windows Presentation

Foundation ofera un model de programare unificat pentru construirea aplicatiilor Windows de tip „smart client”. Permite grafica 2D si 3D si foloseste XAML, un limbaj declarativ, subset al XML pentru a instanta obiecte. XAML a fost dezvoltat in paralel cu WPF. Am ales WPF deoarece ofera un plus in construirea interfetei vizuale, permitand folosirea diferituri stiluri, template-uri si animatii dand in acest fel un „look and feel” mai deosebit.

De asemeni, in realizarea aplicatiei un punct cheie a fost crearea unei baze de date cat mai bine pusa la punct. Aceasta aplicatie foloseste serverul de baze de date MySQL, fiind in acelasi timp si unul dintre cele mai populare sistem de management pentru baze de date relationale. In baza de date MySQL datele sunt stocate in mai multe tabele separate, fiind imbunatatita viteza si flexibilitatea. Prin serverul de MySQL datele se pot accesa foarte rapid, iar baza de date poate fi intretinuta mult mai usor.

Aplicatia CineStar este alcatuita din mai multe module, situate pe o forma principala, astfel interactiunea cu utilizatorul se face mult mai usor. De multe ori limba afisata de aplicatie poate constitui o problema pentru utilizator astfel am dorit sa implementez o interfata in care se poate alege limba de afisare. In acest moment in aplicatie se poate alege intre urmatoarele limbi: romana, engleza si italiana.

In continuare, in sectiunea urmatoare vom analiza structura aplicatiei, functiile acesteia si modul de operare.

2 Structura aplicatiei

2.1 Interfata vizuala

Intr-o aplicatie o foarte mare importanta o are interfata vizuala, aceasta trebuie sa fie cat mai intuitiva intrucat utilizatorul sa poata folosi functiile acesteia pentru a-si indeplini utilitatea. In continuare vom detalia structura interfetei vizuale pentru care am optat. In figura 1 se observa principalele componente ale aplicatiei CineStar.

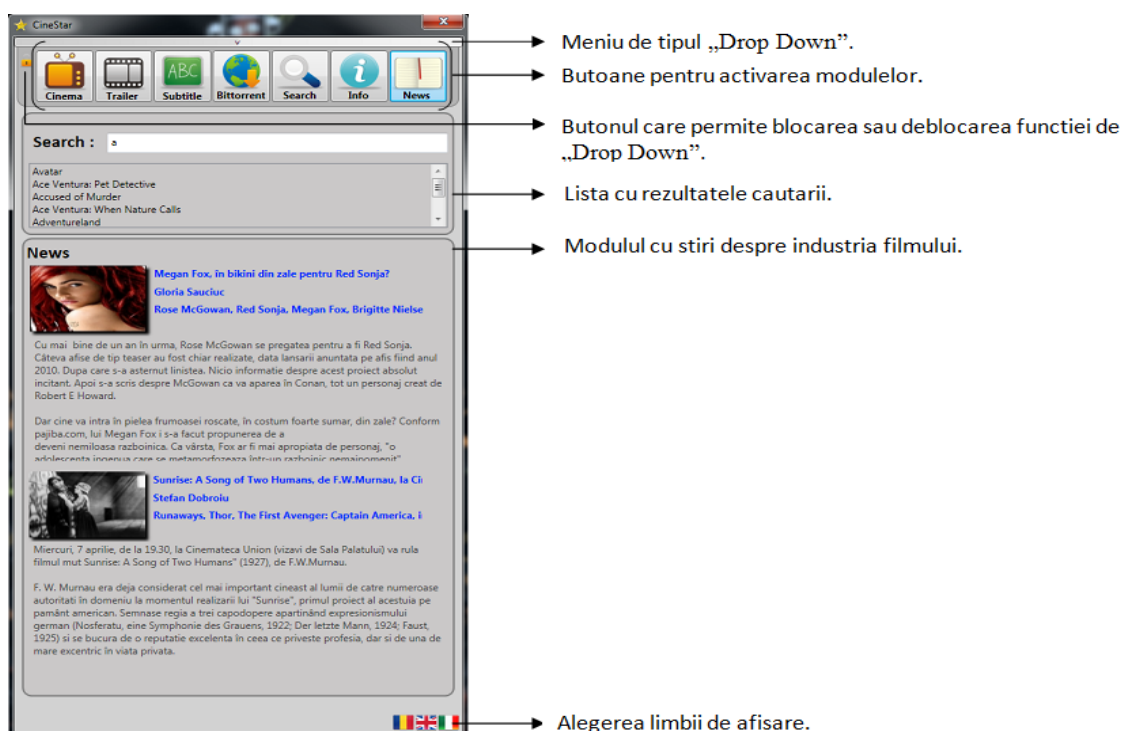


Fig. 1

Dupa cum se vede in figura 1, aplicatia are urmatoarele componente principale:

- Meniul de tip „Drop-Down” care contine butoanele pentru activarea modulelor.
- Modulul „Search” in care se cauta filmul dorit.
- Modulul „News” in care se afiseaza stiri despre industria filmului.
- Modulele „Cinema”, „Trailer”, „Subtitle”, „Bittorrent” si „Info” care pot fi activate dupa o cautare.
- Limba folosita pentru afisare.

In urmatoarele subsectiuni vom discuta despre fiecare dintre aceste componente.

2.1.1 Meniul

Meniul este format dintr-un control de tipul grid, acesta continand butoanele cu care se interactioneaza in forma principala. Pentru a crea efectul „drop-down”, meniului i-au fost atasate metode prin care se verifica daca butonul unlock/lock a fost activat si in consecinta el va afisa continutul sau il va ascunde.

Metoda care ascunde elementele meniului, la parasirea mouse-ului din zona acestuia:

```
private void Grid_MouseLeave(object sender, System.Windows.Input.MouseEventArgs e) {
    if (!lock){
        button1.Content = ">";
        button2.Visibility = Visibility.Hidden;
        button3.Visibility = Visibility.Hidden;
        button4.Visibility = Visibility.Hidden;
        button5.Visibility = Visibility.Hidden;
        button6.Visibility = Visibility.Hidden;
        button7.Visibility = Visibility.Hidden;
        button8.Visibility = Visibility.Hidden;
        rectangle1.Visibility = Visibility.Hidden;
        lock_image.Visibility = Visibility.Hidden;
        Thickness thick = new Thickness(4.5, 15, 1.5, 3);
        grid2.Margin = thick;
        ytubeplayer.Visibility = Visibility.Hidden;
        ytubeplayer.Visibility = Visibility.Visible;
    }
}
```

In meniul aplicatiei, la apasarea unui element se va crea o lista de obiecte. Aceste obiecte vor fi afisate pe forma in ordinea apasarii acestora si in functie de dimensiunea ferestrei. Pentru a avea aceasta posibilitate am contruit urmatoarele metode:

```
private List<Grid> x = new List<Grid>();
private void move(object sender) {
    if (!x.Contains(((Grid)sender)))
        x.Add(((Grid)sender));
    else{
        x.Remove(((Grid)sender));
        x.Add(((Grid)sender));
    }
    double height=0;
    for (int i = 0; i < x.Count(); i++)
        height += x[i].Height;
    while (height > 600) {
        height -= x[0].Height;
    }
}
```

```

        x.RemoveAt(0);
    }
    Thickness thick = new Thickness(0, 160, 3, 0);
    for (int i = x.Count() - 1; i > -1; i--)
    {
        x[i].Visibility = Visibility.Visible;
        x[i].Margin = thick;
        thick.Top = thick.Top + x[i].Height + 4;
    }
}
private void setVisible(object sender)
{
    grid_news.Visibility = Visibility.Hidden;
    grid_info.Visibility = Visibility.Hidden;
    grid_cinema.Visibility = Visibility.Hidden;
    grid_bittorrent.Visibility = Visibility.Hidden;
    grid_subtitle.Visibility = Visibility.Hidden;
    grid_trailer.Visibility = Visibility.Hidden;
    ((Grid)sender).Visibility = Visibility.Visible;
}
}

```

2.1.2 Componentele „News”, „Info”, „Subtitle” , „Bittorrent” , „Trailer”

Aceste componente, cu exceptia „News” pot fi activate dupa ce se efectueaza o cautare. Componenta „News” se poate activa indiferent daca s-a facut o cautare sau nu, aceasta va afisa informatii cu privire la ultimele stiri in legatura cu industria filmului. „Info” afiseaza informatii cu privire la filmul cautat: tipul filmului, un sumar al actiunii, regizorul, scriitorul etc. Acesta componenta se poate vizualiza in figura 2. Componenta „Subtitle” va oferi linkuri catre o subtitrare a filmului, acest link se va deschide automat in browserul default si va va propune sa salvati subtitrarea. Modul de operare al componentei „Bittorrent” este asemanator cu al celei de mai sus, diferenta constand in faptul ca la salvare, vi se va oferi un fisier .torrent care se poate utiliza printr-o aplicatie client de tip torrent pentru a descarca filmul. Componentele „Subtitle” si „Bittorrent” se regasesc in figura 3. Modulul „Trailer” gazduieste continut media furnizat de youtube si ne ofera posibilitatea de a putea viziona secventa din filmul cautat. Acesta se regasesc tot in figura 3.

Pentru fiecare dintre aceste module am folosit cate o clasa separata pentru a conecta aplicatia de baza de date MySQL. Un exemplu de clasa este clasa Info.cs :

```

class Info{
    public String rating, director, writer, genre, plot, awards, cast,img;
    private String search;
    public Info(String search) {
        this.search = search;
        getInfo();
    }
    private void getInfo(){
        QueryDB qdb = new QueryDB(search);
        MySqlDataReader reader = qdb.info();
        while (reader.Read())
        {
            img = reader["picture"].ToString(); rating = reader["rating"].ToString();
            director = reader["director"].ToString(); writer = reader["writer"].ToString();
            genre = reader["genre"].ToString(); plot = reader["plot"].ToString();
            awards = reader["awards"].ToString(); cast = reader["cast"].ToString();
        }
        reader.Close();
    }
}

```

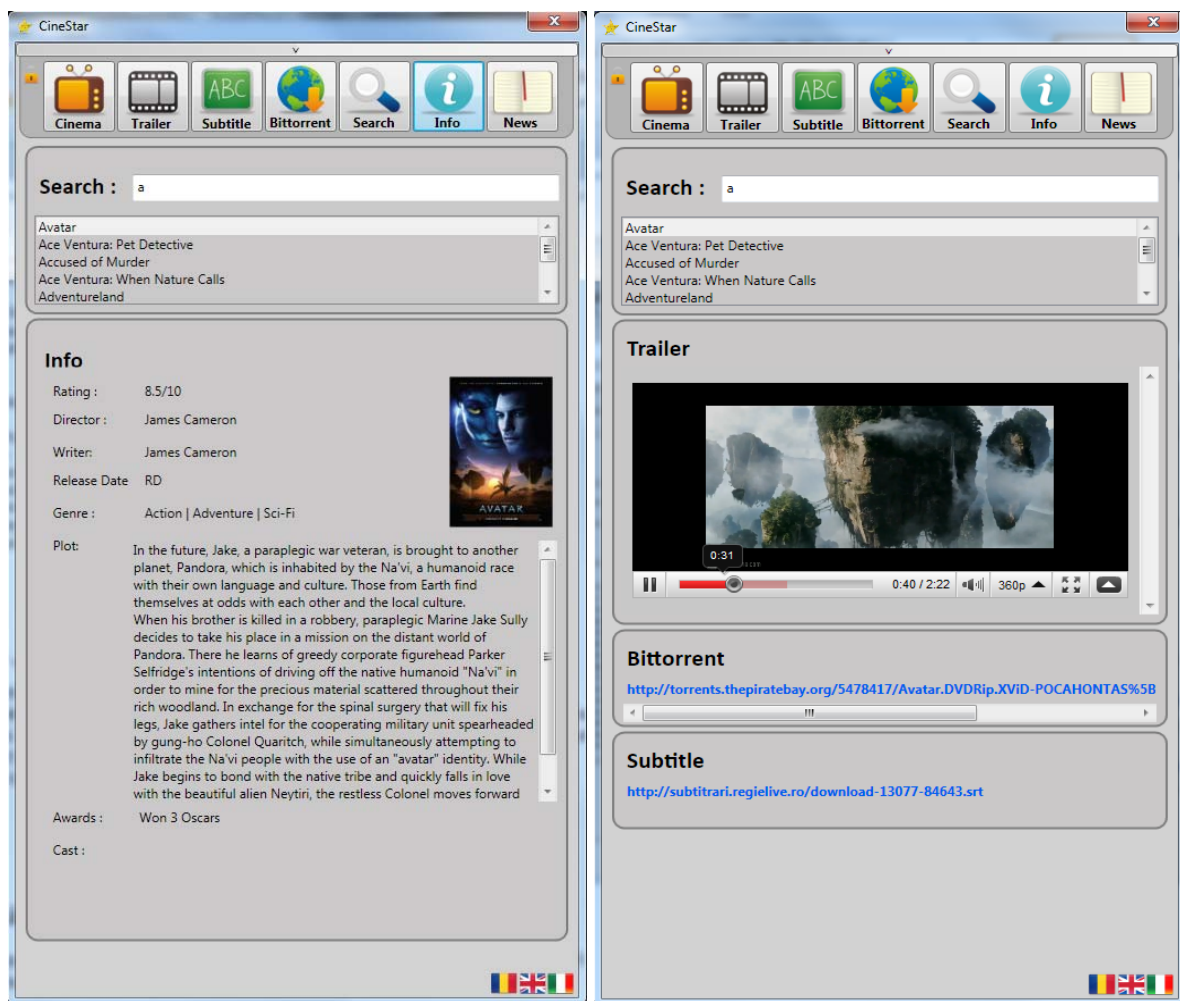



Fig.2 si Fig.3

2.1.3 Componenta „Cinema”

Aceasta componenta este una dintre cele mai importante din aplicatia de fata. „Cinema” are scopul de a ne furniza informatii in legatura cu locul unde se ruleaza filmul. In plus putem viziona si programul dupa care se ruleaza filmul in respectivul cinematograful. Presupun ca nu de putine ori v-ati intrebat unde anume este positionat acel cinematograful si cum puteti sa ajungeti pana acolo. Din aceasta cauza am integrat serviciile „Bing Maps” si „Google Maps”. Prin aceste doua componente vedem pozitia cinematografului dar si putem sa facem un traseu de acasa pana la destinatie. Componenta „Cinema” se poate vizualiza in figura 4, alaturi de care se afla si ferestrele care afiseaza continut „Bing Maps” si „Google Maps”.

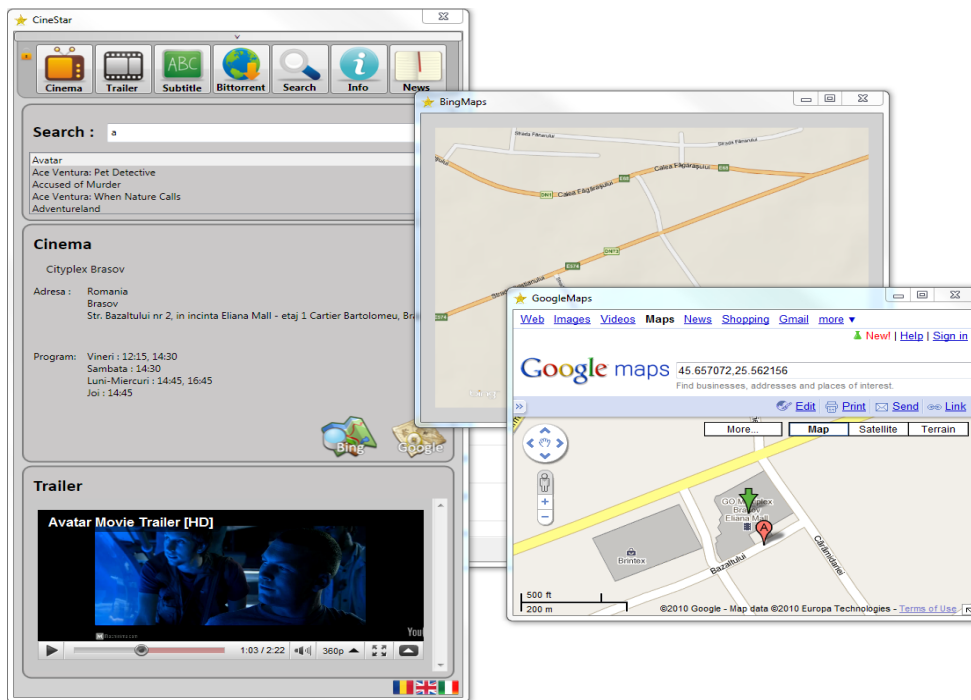


Fig. 4

2.2 Baza de date MySQL

In aceasta aplicatie, baza de date MySQL are rolul de a gazdui datele despre fiecare film. Prin aceasta metoda informatiile pot fi accesate foarte rapid si de oriunde, nefiind necesar pastrarea bazei de date ca resursa locala, aceasta poate rula pe un server MySql si poate fi accesata prin conexiunea la internet.

Stocarea in baza de date a informatiilor se face in urmtorul fel: exista o tabela denumita „movie”, in acesta tabela se inregistreaza denumirile filmelor alaturi de un id unic si o eventuala poza optionala. Pe langa aceasta tabela principala, exista tabellele „info”, „subtitle”, „trailer”, „bittorrent”, „cinema”. Pentru a face legatura dintre aceste tabelle folosim id-ul unic din tabela movie. In acest fel atunci cand cautam un anumit film, ne folosim de id pentru a retrage informatiile.

In figura 5 se regaseste diagrama tabellelor, se pot vedea campurile fiecarui tabel alaturi de tipul de date folosit.

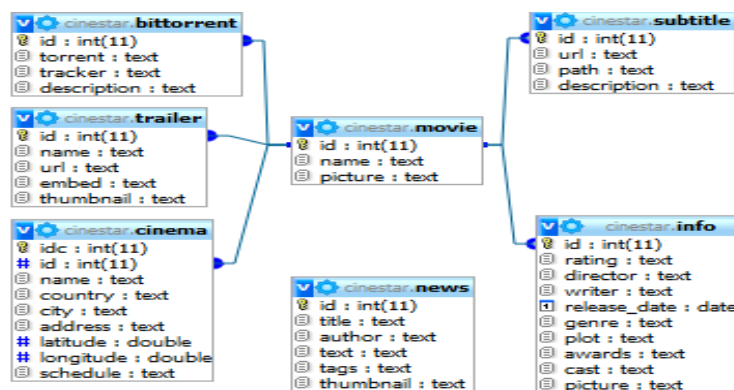


Fig. 5

3 Concluzii si posibile dezvoltari viitoare

Pornind de la necesitatea unei modalitati de a avea un pachet intreg de functii care sa ajute in cautarea de informatii despre un anumit film, am dezvoltat aplicatia „CineStar”. Aceasta inglobeaza toate necesitatile unui cinefil intr-un singur loc, scurtand timpul de cautare si furnizarea unor informatii corecte.

In dezvoltarile viitoare urmaresc sa extind functiile modulului „Cinema” intrucat acesta sa aiba o componenta prin care se poate cumpara sau rezerva un bilet la un cinematograful ales. De asemenea, doresc implementarea unui sistem pentru utilizator, prin acest sistem acesta va putea marca filmele favorite si se va putea loga in contul propriu. O alta componenta care va fi extinsa este cea de alegere a limbii, aici se vor implementa traducerii pentru zona EMEA.

Bibliografie

- [1] Lucian Sasu, *Limbajul C#*
- [2] <http://msdn.microsoft.com/en-us/library/dd221354.aspx>
- [3] <http://www.pantz.org/software/mysql/mysqlcommands.html>
- [4] <http://blogs.msdn.com/devkeydet/archive/2008/06/24/wpf-and-virtual-earth-revisited.aspx>
- [5] <http://www.vbdotnetheaven.com/UploadFile/scottlysle/VBQuickMap03182007085423AM/VBQuickMap.aspx>
- [6] Andrew Troelsen, *Pro C# with .NET 3.0*

POPA BOGDAN CONSTANTIN
Universitatea Transilvania, Facultatea de Matematica si Informatica
Specializarea Informatica Aplicata
Str. Iuliu Maniu, nr. 50, Cod postal: 500091, Brasov
ROMANIA
bogdi@ymail.com

Modelarea și simularea fenomenelor care apar la nivelul Poligonului Willis

Cristina Elena Roman
Vlad Monescu

Abstract

The present paper presents an important current theme from the medical world and also wishes to facilitate the work in the field of researching the phenomena that appear inside the human brain. The specific part from the brain that is studied here is the Circle of Willis: An arterial circle at the base of the brain that is of critical importance. Based on this structure and on a mathematical model developed by a group of scientists, a software product was elaborated basically to simulate the blood flow inside the polygon and to determine the pressure and the flow capacity from the nodes and arteries. The software can obtain data based on the normal situations that appear inside the Circle of Willis but also can study the mutations of the structure on different subjects. The specific purpose of the software is to help the doctors to choose the safest medical procedure for a patient based on the obtained results and also to help the researchers to investigate and know better the behavior of the Circle. The crucial importance of the structure and the very few people that study this field gives proof of the paper importance and originality.

1 Introducere

Datorită continuei evoluții în lumea medicală s-a făcut dorită prezența produselor soft care să îmbunătățească și care să ajute la o dezvoltare mai rapidă și în acest domeniu. În acest scop a fost realizat un produs soft care, pe baza datelor medicale introduse - date obținute în urma colaborării cu Dr. Cristian Falup-Pecurariu de la Spitalul de Urgență Brașov, Secția de Neurologie - rezultate din măsurători pe creiere umane ale unor pacienți decedați, simulează diverse situații care apar în interiorul Poligonului Willis.

Poligonul lui Willis sau Cercul lui Willis, numit astfel după fizicianul englez Thomas Willis (1621-1673), reprezintă o structură anatomică de artere care irigă creierul. Un alt rol important al acestei configurații este și cel de reglare a presiunii sângelui la nivel cerebral.

În colaborare cu Prof. Dr. Adrian Postelnicu de la Catedra de Termotehnică și Mecanica Fluidelor, Universitatea Transilvania din Brașov, a fost implementat un model matematic care face trecerea de la sistemul real la ecuații matematice, acest model stă la baza produsului soft realizat.

Modul de calcul elaborat este derivat din diverse metode abordate de alți autori care pe parcursul timpului au studiat și ei hemodinamica Poligonului Willis și au dezvoltat, la rândul lor, modele de rezolvare. Diferența între modelele vechi și cel folosit aici o reprezintă însă modul inedit în care acesta din urmă abordează subiectul, deoarece nu se orientează spre o rezolvare simbolică a problemei, ci mai degrabă spre una numerică. Datele astfel obținute fiind extrem de utile și de sugestive atât pentru medici, care pot fi ajutați în alegerea celei mai bune proceduri din punct de vedere al afectării circulației sanguine pentru un anumit pacient, cât și pentru cercetătorii care pot realiza comparații și studii în domeniu.

Modelul matematic propus presupune implementarea unor ecuații pentru toate cele 16 segmente, aceste 16 segmente sunt arterele poligonului, din care este format poligonul. Pentru fiecare nod al poligonului se aplică legile lui Kirchhoff (Gustav Robert Kirchhoff - n. 12 martie 1824, Königsberg, azi Kaliningrad - d. 17 octombrie 1887, Berlin - a fost un fizician german care a descoperit legile care îi poartă numele în domeniul circuitelor electrice legate de curentul, tensiunea și rezistența electrică.), pentru fiecare arteră se aplică legea Hagen-Poiseuille (În dinamica fluidelor, legea Hagen-Poiseuille descrie curgeri cu viteze mici și cu caracter vâscos printr-o secțiune circulară constantă.) și, de asemenea, sunt introduse în ecuații constante precum presiunea venoasă, presiunea arterială medie și vâscozitatea dinamică a sângelui. În urma rezolvării acestui sistem de ecuații se obțin presiunile din noduri și debitele din arterele poligonului. Despre aceste date și despre semnificația lor se va aprofunda în secțiunea destinată prezentării modelului matematic.

Datorită importanței anatomice a Poligonului Willis și a variațiilor (Prin variații se înțelege lipsa uneia sau mai multor artere din structura poligonului, cazuri întâlnite des în realitate.) pe care le poate avea această structură am optat pentru realizarea unui produs soft care să implementeze modelul matematic descris mai sus și care să ia în calcul majoritatea situațiilor legate de funcționalitatea poligonului întâlnite în practică.

Aplicația a fost realizată sub platforma .NET în limbajul Visual C#. Ca extindere au fost folosite librăria Mapack pentru facilitarea lucrului cu matrici, librăria itextsharp pentru exportarea documentelor în format .pdf și Microsoft Chart Controls utilizat în realizarea graficelor.

Importanța ("The Smithsonian / NASA Astrophysics Data System" este un centru NASA care are lucrări pe această temă precum: "Computational Hemodynamics Study of the Cerebral Arterial Circle of Willis" și "Finite element modeling of the Circle of Willis from magnetic resonance data") deosebită a Poligonului lui Willis, precum și numărul restrâns (În România există o singură echipă (cea cu care am colaborat) care realizează studii în domeniul hemodinamicii Poligonului Willis.) de persoane care efectuează cercetări în acest domeniu demonstrează actualitatea și originalitatea temei.

O altă dovadă a actualității și importanței subiectului abordat o reprezintă faptul că numeroase institute de cercetare pun mare accent pe fenomenele care se petrec la nivelul acestui poligon al lui Willis. Spre exemplu pe site-ul (<http://www.nas.nasa.gov/Resources/Applications/applications.html>) National Aeronautics and Space Administration (NASA) la secțiunea aplicației este prezentat un soft numit INS3D care realizează o modelare 3D a Poligonului Willis ce simulează efectul gravitației asupra circulației sângelui în această structură și prezintă efectele deplasării în spațiu pe lungi perioade de timp.

Contribuția personală la acest proiect o reprezintă implementarea aplicației numite **Brain Flow Simulation (BFS)** care simulează funcționarea poligonului atât în condiții normale cât și în condiții extreme. Realizarea acestui produs soft permite utilizatorului să simuleze curgerea sângelui prin interiorul poligonului, acțiune care implică introducerea datelor inițiale sau importarea acestora din fișier și simularea obstrucționării diferitelor artere.

De asemenea, utilizatorul poate să modifice în partea de setări valorile maxime și minime ale celor 16 lungimi și diametre din aplicație și să exporte rezultatele obținute în urma simulării într-un fișier specific softului. Mai există posibilitatea de vizualizare a graficelor care, pe baza presiunilor din nodurile poligonului, prezintă evoluția diferitelor debite și rezistențe ale arterelor. Valorile acestor presiuni sunt obținute în urma simulărilor efectuate.

Tot în cadrul aplicației se mai pot defini și modifica valori critice ale presiunilor și debitelor și nota observații realizate pe baza fiecărei simulări. Programul oferă pe lângă facilitățile enumerate mai sus și un help care are rolul de a familiariza utilizatorul cu softul.

Lucrarea de față va fi structurată în trei părți. Prima parte sa va axa pe evidențierea importanței structurii Poligonului lui Willis, a doua parte se va baza pe descrierea succintă a modelului matematic abordat, iar ultima parte va prezenta produsul software dezvoltat.

2 Importanța Poligonului Willis

2.1 Circulația cerebrală

Aproximativ 15% din cantitatea de sânge pompată de inimă pe minut ajunge la creier. Această alimentare cu sânge a creierului este vitală. Întreruperea ei chiar și pentru câteva secunde duce la pierderea cunoștinței, iar întreruperi de durată mai mare cauzează traume ireversibile.

În general circulația cerebrală rămâne relativ constantă, totuși uneori apar schimbări la nivel local ca răspuns la schimbările activității neuronale. Spre exemplu, o lumină strălucitoare îndreptată spre zona ochiilor are ca efect o circulație a sângelui mai ridicată în regiunea creierului responsabilă cu vederea.

În poziție verticală a corpului, ca urmare a efectului gravitației, presiunea sângelui în creier are o valoare mai mică decât oriunde altundeva în corp, asta face creierul predispus la presiune sanguină scăzută. Cu toate acestea creierul nu prezintă fenomenul de "autoreglare", astfel că și circulația cerebrală este stabilă pe o mare gamă de presiuni ale sângelui.

Chiar dacă această circulație cerebrală este influențată într-o oarecare măsură de controlul nervos al diametrului vaselor de sânge, este determinată cu precădere de factori chimici, în mod particular de nivelul de dioxid de carbon care, atunci când crește, are ca efect dilatarea vaselor cerebrale de sânge și o circulație mărită la nivelul creierului.

Opusă circulației ridicate este scăderea circulației cerebrale cauzată de hiperventilație care se manifestă prin ventilație pulmonară excesivă ce micșorează nivelul de dioxid de carbon din corp și poate cauza numeroase boli.

În lucrarea "Circulația și metabolismul cerebral" scrisă de Ana Maria Zăgorean (UMF Carol Davila București), autoarea afirmă că, în condițiile în care fluxul sanguin în interiorul creierului este de 750-1000 ml/min, aportul sanguin cerebral se face prin intermediul:

- arterelor carotidiene
- sistemului vertebrobaziliar.

Cele două mari perechi de vase originare din arterele carotide sunt:

- arterele cerebrale anterioare

- arterele cerebrale medii, care transportă aproximativ 80% din sângele care ajunge la emisferile cerebrale.

Arterele cerebrale anterioare aprovizionează cu sânge lobii frontali, părți ale creierului care se ocupă cu gândirea logică, personalitatea și mișcarea voluntară, în special picioarele.

Arterele cerebrale medii transportă sânge unei porțiuni a lobilor frontali și suprafeței laterale a lobilor temporal și parietal, incluzând zone senzoriale ale feței, gâtului, mâinilor și brațelor, iar în emisfera dominantă, zonei responsabile cu vorbirea. Arterele cerebrale medii sunt cele mai adesea afectate de blocaje ale sângelui. Ruta posterioară ale acestor artere deservește lobul occipital și diencefalul.

În perioada de formare a arterelor cerebrale, arterele comunicante posterioare și cerebrale posterioare au același calibru. În luna a patra de viață a fătului între artere apare o deosebire de calibru, cel mai adesea diferența apărută este în beneficiul arterei cerebrale posterioare. Această neasemănare continuă de obicei și în perioada copilăriei.

Există două circuite care alimentează creierului cu sânge: circuitul anterior reprezentat de sistemul carotidian care este responsabil de circulația anterioară a creierului și circuitul posterior reprezentat de artera baziliară care asigură circulația în porțiunea posterioară a creierului.

Cele două circuite, cel anterior și cel posterior, nu sunt total independente, ci sunt interconectate prin intermediul arterelor comunicante, care formează Cercul lui Willis la baza creierului, astfel sunt furnizate căi de ocolire potențiale între circulația laterală și cea antero-posterioară.

2.2 Poligonul lui Willis

Cercul lui Willis sau Poligonul lui Willis reprezintă una dintre cele mai importante zone din creier și una dintre cele mai eficient concepute sisteme din corpul uman.

Chiar dacă acest poligon al lui Willis nu se ocupă cu acțiuni precum gândirea sau reacția este indispensabil tuturor celorlalte părți ale creierului deoarece întreaga cantitate de sânge care ajunge la nivel cranian este eficient asigurată de arterele poligonului.

A fost demonstrat medical că, atât timp cât Cercul lui Willis poate menține presiunea sângelui la 50% din valoarea normală, nu se produce un infarct sau moartea țesutului unde are loc blocajul. Dacă circulația din zonele vecine cele afectate este bună, un blocaj nu are urmări grave sau permanente, și asta numai datorită capacității poligonului de a regla presiunea sângelui în interiorul creierului.

În concluzie această structură anatomică unică este importantă

- pe de-o parte, datorită rolului său unic de reglare și distribuție sanguină la nivelul creierului

- apoi, la nivel clinic, datorită riscului de stroke - un "stroke" se produce atunci când circulația cerebrală este temporar întreruptă - care se poate produce în arterele acestei structuri.

Termenul de *stroke* este unul recent introdus în literatura medicală românească pentru a desemna varietatea de fenotipuri și subfenotipuri reunite sub denumirea de **accident vascular cerebral**, boală cerebrovasculară, infarct cerebral sau hemoragie cerebrală.

Prof. dr. D. Ștefănescu afirmă că 4 milioane de locuitori ai planetei mor anual din cauza *stroke*-ului. Cea mai frecventă formă de *stroke* (peste 85%) este cea ischemică. Stroke-ul ischemic rezultată în urma ocluziei unei artere printr-un cheag de sânge fie produs la nivel local cunoscut sub numele de **trombus**, fie mobilizat dintr-un alt teritoriu și numit **embolus**.

Conform unui studiu realizat de "The University Hospital" din New Jersey-SUA, cercetare efectuată în colaborare cu alte instituții - American Cancer Society, National Institute of Neurological Disorders and Stroke (NINDS), National Stroke Association, American Diabetes Association, American Society of Interventional and Therapeutic Neuroradiology, American Stroke Association, Brain Attack Coalition, Centers for Disease Control, Hazel K. Goddess Fund for Stroke Research in Women interesate de această temă, pe glob *stroke*-ul este a doua cauză de mortalitate. Din datele obținute în urma cercetării reiese că: 10% din persoanele care au suferit un *stroke* se refac aproape complet, 25% se refac cu unele urme minore, pentru 50% din victime este necesară internare de urgență și apar urmări grave, iar 15% mor la scurt timp după apariția unui *stroke*.

2.3 Variațiile Poligonului Willis

În urma unui studiu realizat de Alpers - Anatomical studies of the circle of Willis in normal brain, aproximativ 50% din populația globului are un cerc (poligon) Willis complet. În urma unei alte activități de cercetare efectuată aproape trei decenii mai târziu de către Lippert și Fabst(1985), s-a stabilit existența unui același procent de creiere cu un PW complet, deci tot cca 50% cu un cerc arterial incomplet, situație care se manifestă prin absență sau hipoplasmie a cel puțin unei artere.

Prin *hipoplasmie* a unei artere se înțelege că aceea arteră este foarte mică în calibru sau incomplet dezvoltată. În condiții normale indivizii care se află în această situație nu suferă de probleme de sănătate din această cauză, dar totuși, ei prezintă un risc mult mai ridicat de apariție a unui accident cerebral. Acest factor de risc ridicat apare datorită greutății de reglare a presiunii sângelui în interiorul poligonului incomplet.

Omul de știință francez G. Lazorthes și colaboratorii săi au avut o importantă contribuție în cercetarea anatomiei funcționale a PW și a variantelor sale prin publicarea unei serii de lucrări LAZORTHES G., GOUAZE A., SANTINI JJ, LAFFONT J., *Le modelage du polygone de Willis*, Neurochirurgie, 1974.; LAZORTHES G., GOUAZE A., *Conception fonctionnelle du Poligon de Willis*, C.R. Ass. Anat., 1970 care dezbat această temă. Interesul principal al lor a constat în studiul hemodinamicii poligonului și studiul rolului acestuia în compensarea căilor arteriale de aport.

În funcție de subiecții studiați și numărul de creiere pe care se efectuează studiul se pot obține diferite rezultate pe baza cercetării variațiilor poligonului. În urma unei analize - Bergman RA, Afifi AK, Miyauchi R, Circle of Willis. Illustrated Encyclopedia of Human Anatomic Variation - efectuate pe 1413 creiere, anatomia clasică a poligonului Willis a fost întâlnită în numai 34,5% din cazuri.

Pot exista și alte tipuri de variante ale poligonului cum ar fi dublarea unei artere sau variații care țin de apariția unei ramuri neobișnuite în componența acestuia.

3 Modelarea hemodinamicii Poligonului Willis

3.1 Modelarea matematică a fenomenelor anatomice

Modelarea este procesul prin intermediul căruia un sistem real este reprezentat într-un limbaj simbolic. Dacă acest limbaj simbolic este unul matematic atunci modelarea se numește sugestiv *modelare matematică*.

Pe parcursul modelării, atunci când se face trecerea de la sistemul real la modelul fizico-matematic, este foarte important să se țină cont de datele care se pot pierde sau se pot altera. Calități ale modelării precum completitudinea sau adecvanța depind în mare măsură de scopul realizării modelului, de pregătirea persoanei care îl elaborează și de nivelul de așteptare al celui care beneficiază de pe urma lui.

De-a lungul timpului au existat oameni de știință care au încercat să automatizeze acest proces al modelării matematice. Dintre aceștia pot fi amintiți Dhurjati și Radhakrishnan, care în anul 2008 au enunțat 8 pași necesari de parcurs în procesul de modelare matematică a unui fenomen biologic, în particular anatomic:

- Se definesc scopurile și așteptările studiului.
- Se definesc ipotezele de lucru.
- Se definesc variabilele, se selectează entitățile relevante pentru scopurile modelării.
- Se definesc variabilele interconectate (ceea ce dă conectivitatea sistemului).
- Se definesc relațiile de legătură funcționale și ecuațiile de lucru.
- Identificarea valorilor pentru parametrii constatați din ecuațiile modelului, cunoscând relațiile de legătură.
- Rularea simulărilor și sistematizarea cazurilor, pentru a pune în evidență tendințele, vizualizările.
- Validarea și confirmarea modelului, din punct de vedere calitativ și cantitativ.

3.2 Evoluția modelelor Poligonului Willis

Datele din literatura de specialitate arată că reglarea fluxului sanguin cerebral (FSC) este un mecanism complex care are două funcții principale:

- menținerea permanentă a aportului adecvat de oxigen și glucoză;
- eliminarea eficientă a bioxidului de carbon și a altor produși finali ai metabolismului cerebral.

Poligonul Willis este un sistem anastomotoc care reduce efectele scăderii fluxului sanguin cerebral în una sau mai multe vase aferente prin redistribuirea fluxului sanguin disponibil. Fluxul sanguin cerebral scade dacă tensiunea arterială TA ajunge la 60 mmHg sau crește dramatic dacă TA medie este peste 150 mmHg. Limita inferioară a autoreglării este extrem de importantă și reprezintă măsura capacității funcționale a arterelor cerebrale.

Modelele Poligonului Willis descrise în literatură au evoluat de la forme simple la metode complexe care necesită rezolvarea pe calculator (motiv pentru care acestea din urmă sunt numite uneori și modele computerizate).

Hemodinamica Poligonului Willis a fost studiată de mai mulți autori prin diverse metode și modele, fie de tip fizic, fie matematic și numeric. Câțiva dintre cercetătorii care au formulat modele importante de-a lungul timpului sunt Rogers(1946); Avman și Bering(1961); Murray(1964); Clark și colab.(1965); Clark și Kufahl(1978); Himwich și colab.(1965); Chao și Hwang(1971),(1972); Duros și Navornik(1977); Hillen(1986),(1988); Pascu(1988),(1989); Ursino(2000),(2001),(2003).

Problema principală adusă în discuție este cea a felului în care aceste modele ajută la cunoașterea circulației cerebrale. Din punct de vedere medical prin asta se înțelege determinarea modului în care metabolismul creierului depinde de cantitatea și calitatea sângelui care ajunge în creier. De aceea, scopul modelelor este de a oferi predicții corecte asupra fluxurilor sanguine pentru stabilirea necesarului perfuziei cerebrale în situații normale și patologice.

Rezultatele obținute de autori care au studiat modele animal arată modificările în flux cu ocluzii seriate a arterelor carotide sub presiuni normale și crescute. La animal fluxul mediu bazilar cauzat de ocluzia unei carotide comune a fost de 18 ml/min, în timp ce ocluzia ambelor artere carotide rezultă într-un flux de 35 ml/min. Ocluzia ambelor carotide la câine și cu o presiune crescută bazilară poate asigura 35.1 ml până la 37.5 ml necesari creierului.

Posibilitatea unei determinări corecte a autoreglării FSC prin model computerizat al PW și similitudinea rezultatelor obținute "in vitro" la oameni și la animale pe care s-au realizat experimente, atestă valabilitatea modelului și permite simularea unor situații variate în circulația Poligonului Willis.

Lipsa unanimității în opiniile acestor autori duce la concluzia generală că, datorită variabilității sale morfologice, nu se poate face nici o predicție în privința funcționării acestui poligon după ocluzia unuia din vasele aferente.

3.3 Hemodinamica Poligonului Willis în regim staționar

În acesta secțiune este descris modelul matematic original formulat care simulează funcționarea unei rețele constituite din mai multe vase sanguine, în acest caz Poligonul lui Willis, și felul în care acesta a fost abordat în program (ecuațiile care au fost implementate). În continuare este prezentat modulul de calculare a debitelor și a presiunilor în Poligonul Willis ideal (adică PW cu o morfologie simetrică) și sunt descrise și câteva cazuri morfologice particulare.

Funcționarea rețelei se face prin presiuni și fluxuri. Astfel, arterele carotide interne și artera baziliară (ca artere aferente) comunică prin arterele comunicante anterioară și posterioară prin care se poate realiza schimbul necesar redistribuirii sângelui la nivelul creierului. Acest lucru devine efectiv în cazul unei obstrucții, a unui vas aferent. În acest mod se asigură o presiune de perfuzie adecvată în creier prin redistribuirea fluxului cerebral.

În simulările care vor fi realizate cu ajutorul softului va fi demonstrat că, în funcție de fluxul din arterele aferente (carotida internă și baziliară), fluxul în artera comunicantă posterioară poate fi negativ sau pozitiv, fiind cunoscut în literatură rolul critic al acestei artere.

Modelul matematic al hemodinamicii poligonului Willis a fost elaborat în două etape. Prima etapă a constat în scrierea și validarea tuturor ecuațiilor, iar a doua în aplicarea acestor ecuații pe unele cazuri concrete și studierea rezultatelor obținute.

Primul pas a fost modelarea hemodinamicii ca o curgere laminară a unui fluid incompresibil Newtonian (sângele) într-o rețea complexă de tuburi (conducte). În plus, s-au considerat condiții de curgere de tip staționar, ceea ce constituie un pas preliminar de abordare, în concordanță, de altfel, cu metodologia întâlnită în literatura de specialitate. În aceste condiții, s-a trecut la scrierea ecuațiilor modelului, care constau în ecuațiile de continuitate în nodurile modelului geometric și a celor de echilibru dinamic în curgerea laminară pe fiecare din arterele rețelei hidrodinamice. Necunoscutele sunt debitele și presiunile, iar numărul de necunoscute este riguros egal cu cel al ecuațiilor, cu alte cuvinte problema este perfect determinată din punct de vedere algebric.

Conform legii I a lui Kirchhoff, despre care am mai vorbit, făcând analogia între intensitatea curentului electric și debitul volumeric de sânge, suma debitelor care intra într-un punct (nod) este egală cu suma debitelor care ies din acel nod. Conform schemei reprezentate în figura 1, se poate scrie această lege în fiecare din cele 7 noduri ale poligonului, notate de la A. până la G.

Poligonul este alcătuit din 16 artere, acestea sunt: Artera carotidă internă stânga

- Artera cerebrală medie stânga
- Artera comunicantă posterioară
- Artera cerebrală posterioară I stg. (P1 stânga)
- Artera cerebrală posterioară II stânga (P2 stânga)
- Artera cerebrală anterioară II stânga (A2 stânga)
- Artera comunicantă anterioară
- Artera cerebrală anterioară I dreaptă (A1 dreaptă)
- Artera cerebrală anterioară II dreaptă (A2 dreaptă)
- Artera carotidă internă dreaptă
- Artera cerebrală medie dreaptă
- Artera comunicantă posterioară dreaptă
- Artera cerebrală posterioară I dreaptă (P1 dreaptă)
- Artera cerebrală posterioară II dreaptă (P2 dreaptă)
- Artera bazilară.

În toate nodurile Poligonului Willis se aplică ecuațiile de continuitate, ecuațiile sunt următoarele:

$$Q_{16} = Q_4 + Q_{14} \quad (1)$$

$$Q_5 = Q_3 + Q_4 \quad (2)$$

$$Q_1 = Q_2 + Q_3 + Q_6 \quad (3)$$

$$Q_6 = Q_7 + Q_8 \quad (4)$$

$$Q_9 = Q_8 + Q_{10} \quad (5)$$

$$Q_{11} = Q_{10} + Q_{12} + Q_{13} \quad (6)$$

$$Q_{15} = Q_{13} + Q_{14} \quad (7)$$

Pe fiecare din cele 16 segmente, se aplică legea Hagen-Poiseuille:

$$(\Delta p)_i = \frac{8\mu l_i}{\pi r_i^4} Q_i = R_i Q_i \quad (8)$$

unde R_i este rezistența hidrodinamică (în curgerea laminară).

Acum, aplicăm legea (3.8) pentru toate segmentele modelului:

$$p_m - p_A = R_{16} Q_{16} \quad (9)$$

$$p_B - p_v = R_5 Q_5 \quad (10)$$

$$p_m - p_C = R_1 Q_1 \quad (11)$$

$$p_C - p_v = R_2 Q_2 \quad (12)$$

$$p_D - p_v = R_7 Q_7 \quad (13)$$

$$p_E - p_v = R_9 Q_9 \quad (14)$$

$$p_m - p_F = R_{11} Q_{11} \quad (15)$$

$$p_G - p_v = R_{15} Q_{15} \quad (16)$$

$$p_A - p_B = R_4 Q_4 \quad (17)$$

$$p_C - p_B = R_3 Q_3 \quad (18)$$

$$p_C - p_D = R_6 Q_6 \quad (19)$$

$$p_D - p_E = R_8 Q_8 \quad (20)$$

$$p_F - p_E = R_{10}Q_{10} \quad (21)$$

$$p_F - p_E = R_{13}Q_{13} \quad (22)$$

$$p_A - p_G = R_{14}Q_{14} \quad (23)$$

unde pm este presiunea arterială medie și pv presiunea venoasă la limitele rețelei.

Strategia de rezolvare a ecuațiilor este de a elimina cele 7 presiuni din nodurile poligonului, p_A , p_B , p_C , p_D , p_E , p_F , p_G , între ecuațiile (3.9)-(3.32) pentru a obține un sistem algebric liniar în necunoscutele Q_1, \dots, Q_{16} .

Sistemul de ecuații rezultat din (3.1)-(3.8), (3.9)-(3.32) a fost rezolvat numeric cu ajutorul softului realizat. Datele de intrare necesare în rezolvarea modelului sunt:

- Rezistențele vasculare, conform Hillen și colab. (1988).
 - Diametrele și lungimile diferitelor artere aferente, eferente și aparținând poligonului Willis. În aceste cazuri, rezistențele vasculare au fost calculate utilizând o valoare Poise a vâscozității dinamice a sângelui egală cu 0.04, considerat ca fluid Newtonian, ca și în exemplul lui Pascu (1988).
 - Presiunea arterială medie și cea venoasă este conform Hillen și colab. (1988).
- Astfel se obțin valori pentru debit și presiuni care pot fi studiate mai departe de cercetători.

3.4 Discuții și concluzii

S-a elaborat un model matematic liniar unidimensional al Poligonului Willis, care a fost rezolvat numeric. Etapele de lucru au fost:

- validarea modelului,
- modelul cu artera ocluzionată în care au fost prezentate 3 cazuri particulare - ocluzia de arteră carotidă stângă, de arteră bazilară și respectiv arteră carotidă stângă și arteră bazilară;
- blocare de arteră intra-Poligon Willis - arteră cerebrală posterioară, arteră comunicantă posterioară și respectiv arteră cerebrală anterioară;
- patru modele cu variații ale lungimii și respectiv ale diametrului.

Ca urmare a tuturor rezultatelor și concluziilor prezentate în această secțiune se poate deduce că:

- Modelul elaborat dă predicții corecte în privința modificărilor debitului și presiunilor în cazul Poligonului Willis "ideal" simetric.
- Cazurile particulare de ocluzie la nivelul ACI stângă, arteră bazilară și respectiv arteră carotidă stângă și arteră bazilară au dat predicții cu aplicabilitate practică.
- Artera comunicantă în cazul Poligonului Willis ideal simetric nu este funcțională (debit zero) ceea ce în realitate nu se poate întâmpla, ducând la ideea că Poligonul Willis "ideal" se poate referi la morfologia, nu și la funcționalitatea sa.
- Poligonul Willis pare a avea un rol potențial funcțional numai în situații particulare.

4 Softul - BFS (Brain Flow Simulation)

4.1 Prezentarea generală a softului

Aplicația Brain Flow Simulation (În traducere liberă: Simularea Curgerii Sanguine la Nivelul Creierului) după cum ne spune și numele, are ca scop realizarea în mod automat de simulării ale funcționării Poligonului Willis. Softul a fost creat sub platforma Microsoft .NET, în limbajul de programare Microsoft Visual C# 2008. Justificarea alegerii acestui limbaj ține de modernitatea și simplitatea lui și în plus de suportul semnificativ pe care îl oferă utilizatorului în realizarea aplicațiilor bazate pe ferestre.

BFS se adresează în special comunității de medici și de cercetători care efectuează studii în domeniul curgerii sanguine cerebrale și echilibrarea presiunilor la nivelul creierului. Având în vedere scopul ei, aplicația oferă rezultate pentru numeroase cazuri întâlnite în practică și, de asemenea, pot fi efectuate teste

pentru cazuri nedescoperite, dar cu potențial de apariție. Se poate concluziona că numărul simulărilor care se pot efectua prin intermediul softului este practic infinit, asta datorită multitudinii și variației de combinații a datelor de intrare care pot fi introduse.

Pe lângă suportul științific care stă în spatele aplicației, se remarcă ușurința folosirii acesteia și extinderea ei pe o arie mult mai largă decât obținerea de rezultate în urma rezolvării unor ecuații. Cu toate că aceste date obținute la finalul simulării virtuale sunt partea semnificativă a programului, softul încearcă să pună accent și pe confortul utilizatorului.

Acesta poate naviga în cadrul unui meniu care îi oferă posibilitatea să efectueze simulări, să modifice setările programului, să definească valori între care rezultatele obținute se pot încadra, să vizualizeze grafic evoluția datelor în urma simulărilor, să noteze observații cu privire la datele pe care programul le-a oferit, toate acestea încadrate într-o interfață prietenoasă și ușor de folosit. Totuși, dacă utilizatorul întâmpină probleme pe parcursul utilizării softului poate apela la meniul de ajutor oferit de aplicație.

Pentru ușurința introducerii datelor în interiorul aplicației acestea se pot importa din fișiere de tip .txt și de asemenea rezultatele obținute se exportă într-un fișier .wls (fișier cu extensie proprie aplicației, interpretat de sistemul de operare ca fișier .txt). Tot cu rol de a facilita introducerea de valori, în părțile aplicației unde s-a considerat necesar a fost inserată o imagine a Poligonului lui Willis pe care se marchează artera curentă pentru care se adaugă aceste valori.

La partea de simulare a curgerii sângelui prin Poligonul lui Willis, aplicația folosește modelul descris în capitolul anterior. Datele de intrare sunt reprezentate de lungimile și diametrele celor 16 artere ale poligonului, iar datele de ieșire din fișierul .wls sunt debitele sângelui din artere și presiunile în cele 7 noduri formate de aceste artere.

Rezultatele obținute ca urmare a rulării unei simulări în cazurile de referință sunt și ele conform tabelor prezentate în capitolul precedent. Validarea valorilor din aceste tabele a fost făcută de colectivul implicat în realizarea modelului matematic al poligonului și verificată de echipa de medici cu care s-a lucrat pentru obținerea datelor de intrare. Ca urmare a tuturor acestor testări ale acurateții rezultatelor se consideră valide toate datele obținute de softul BFS.

4.2 Ghid de utilizare

Aplicația este alcatuită din șapte taburi:

- Pornirea aplicației - Tabul Home

O dată instalată aplicația și imediat după prima rulare utilizatorul e întâmpinat de o fereastră cu conținut introductiv unde este afișat numele aplicației.

În partea de sus a ferestrei care s-a deschis se pot observa taburile prin care poate naviga utilizatorul. Numele fiecărui tab este însoțit de o iconiță sugestivă a conținutului acestuia.

- Tabul Simulare

Partea de meniu a tabului aflată în zona din stânga este alcătuită din arterele poligonului pentru care se pot introduce date. Fiecare arteră este reprezentată în cadrul meniului printr-o prescurtare a denumirii acesteia și numărul ei acordat convențional.

Pentru fiecare arteră există două zone unde se pot introduce date, zona lungimilor, respectiv zona diametrelor. Este declarată o valoare maximă și una minimă între care poate lua valori o lungime și un diametru.

Apăsarea butonului **Calculează** are ca efect execuția simulării, adică pe baza datelor din căsuțele aflate în dreptul arterelor se calculează valori pentru debite și presiuni (debitele în artere și presiunile în noduri). Acest calcul se face aproape instant și imediat rezultatele sunt exportate într-un fișier .wls creat în directorul curent, fișier care este și deschis pentru vizualizare.

- Tabul Grafice Se remarcă două zone principale, zona de afișare a graficelor și zona de butoane.

Partea de afișare este alcătuită la rândul ei din alte 7 taburi aliniată în partea de jos a imaginii. În cele 7 taburi apare prezentat succesiv câte un grafic pentru o presiune dintr-un nod al poligonului.

Fiecare presiune din noduri este caracterizată, pe lângă valorile constante de care depinde (presiunea venoasă, respectiv presiunea arterială medie), de două valori variabile: debitul dintr-o anumită arteră și rezistența arterială respectivă. Se poate observa că aceste două valori au fost reprezentate pe grafic.

- Tabul Setări Acesta este locul unde sunt efectuate setările pentru realizarea simulărilor. Controlul

(vezi figura 7) conține o zonă numită **Modificări**, zonă care are aceeași structură cu partea de **Meniu** din tabul **Simulare**. În acest loc pot fi redefinite valorile minime și maxime pentru lungimi și diametre. Căsuțele din **Modificări** conțin implicit capetele actuale de interval și pot fi modificate fie de la tastatură fie prin apăsarea săgeților din dreapta lor. Aceleași reguli în ceea ce privește introducerea datelor ca și la **Simulare** se aplică și aici.

- Tabul Valori Critice

Pentru fiecare căsuță este definită o valoare maximă și una minimă și de asemenea un pas de incrementare. Deoarece în această secțiune datele nu sunt introduse atât de des nu s-a considerat necesar redefinirea acestui pas sau a valorilor care alcătuiesc capetele de intervale.

- Tabul Ajutor

Acest tab oferă utilizatorului informații cu privire la modul în care softul poate fi folosit. Tot aici este locul unde se explică funcționalitatea fiecărei părți a aplicației.

- Tabul Despre

Tabul **Despre** a fost implementat și integrat în cadrul aplicației cu scopul de a enumera persoanele responsabile cu realizarea acestui soft.

- Tabul Notițe

Utilizatorul poate edita zona din centrul paginii, iar apoi, pentru salvare se apasă butonul **Adaugă notiță** sau **Salvează pagină** din meniu. Dacă nu a fost inserat text nou butonul **Adaugă notiță** nu este activ. La fel și butonul **Pagină Înainte** și **Pagină Înapoi** sunt inactive dacă nu există pagini deja scrise. Acțiunea de inserare separator se poate face și acționând butonul cu același nume din dreapta tabului.

4.3 Realizarea softului

4.3.1 Baza aplicației

La fel cum am spus și în introducerea acestui capitol softul a fost realizat în Visual C# 2008, sub platforma .NET. Aplicația este alcătuită dintr-o formă care conține un control de tip **Tab Control** unde sunt dispuse pe rând, în funcție de **Tab Page**-ul selectat, paginile aplicației.

Pentru realizarea aplicației BFS au fost folosite și două biblioteci, una pentru a facilita modul de lucru cu matrici și alta pentru a ajuta la exportarea datelor în format .pdf. Biblioteca Mapack este cea care oferă metode deja implementate pentru realizarea operațiilor cu matrici utile în rezolvarea ecuațiilor prezentate la partea de modelare. Cealaltă bibliotecă folosită este itextsharp care ajută la exportarea automată de text din interiorul aplicației în format .pdf mult mai elegant pentru utilizator.

Alte facilități folosite sunt și Microsoft Chart Controls, Add-on pus la dispoziție de Microsoft pentru lucrul cu grafice și CHM Maker unde au fost înglobate toate paginile web care alcătuiesc help-ul în format .chm.

Ultimul lucru demn de menționat înainte de a trece la prezentarea părții de modelare, este că pozele cu schița poligonului au fost realizate manual în **Paint**.

4.3.2 Integrarea modelului matematic în program

Lansarea în execuție a unei simulări se face prin click pe butonul **Calculează** din tabul **Simulare** al controlului. În urma apăsării acestui click se execută evenimentul *OnClick* implementat butonului **Calculează**.

Primul pas îl constituie stabilirea existenței arterelor ocluzionate. Această verificare se face prin analizarea tuturor **checkBox**-urilor din tabul de Simulare. În funcție de valoarea de adevăr a proprietății **NumecheckBox.Checked** este apelată procedura corespunzătoare cazului de ocluzionare sau procedura specifică neocluzionării nici unei artere.

Procedurile cu nume de tip *Calculează+cifra arterelor ocluzionate* au în esență aceeași structură. Diferența dintre ele constă în modul de formare al matricii de calcul și în linia respectiv coloana care se elimină din aceasta. După pornirea execuției acestei proceduri de calculare se apelează și **Exportă date**, o metodă care are rol de scriere a rezultatelor în fișier.

Procedura Calculează

Procedura are doi parametri, vectorul lungimilor și vectorul diametrelor, două structuri de tip *double*, care au fost create în evenimentul butonului **Calculează**. Într-un ciclu de tip **for** sunt inițializate valorile lungimilor și diametrelor cu datele din controalele **numericUpDown** conținute de *Form*, împărțite la 1000, controale ale căror valori au fost setate de utilizator. Prin intermediul comenzii *(double)numeNumericUpDown.Value* este obținută în aplicație valoarea, care este apoi transformată în tipul *double* a controlului.

În același ciclu **for** este implementat și vectorul rezistențelor vasculare ce primește valoarea $8 * \text{miu} * \text{lungimi}[i] / (\text{pi} * \text{Math.Pow}((0.5 * \text{diametre}[i]), 4))$, formula extrasă din modelul matematic. **miu** este vâscozitatea sângelui pentru 50% hematocrit, valoare considerată constantă egală cu 0.004, **pi** este constanta matematică π , iar *Math.Pow* este o funcție care returnează primul parametru la puterea celui de-al doilea.

Sunt calculate apoi valorile pentru *pm* și *pv* (presiunea arterială medie și presiunea venoasă la limitele rețelei) care sunt egale cu $0.092 * 13596 * 9.81$ și $0.010 * 13596 * 9.81$ și din aceste două valori se obține *deltap* prin scăderea lui *pv* din *pm*. Valoarea *deltap* se folosește în continuare la calculul debitelor.

Pasul următor constă în crearea unei noi matrici **a** alcătuită din 16 linii și 16 coloane, care primește ca valori un șir de 1, -1, respectiv datele conținute în rezistențele vasculare calculate. Felul în care aceste valori trec în matrice depinde de tipul de ocluzionare care a fost sau nu efectuat. Imediat după implementarea acestei matrici se mai creează o matrice **b** cu un rând și 16 coloane care conține valori de 0 și 1, dispunerea lor depinzând tot de modul de ocluzionare.

Cu ajutorul acestor două matrici nou create se calculează debitele în cele 16 artere ale poligonului. O nouă matrice **Qb** este inițializată, ea primește ca valoare **Matrix.Multiply(a.Inverse, b.Transpose())**. *Matrix.Multiply*, *Inverse* și *Transpose* sunt metode puse la dispoziție de biblioteca Mapack, în ordine, acestea fac înmulțire, inversare respectiv transpunere de matrici. Vectorul **Q** al debitelor va primi valoarea acestei matrici **Qb** obținută înmulțită cu *deltap* calculat mai sus.

Procedura se încheie cu calculul acestui vector **Q**, urmând ca în procedura de **Exportă_date** să fie calculate și presiunile.

Procedura Exportă_date

Această procedură se apelează imediat după cea de calculare, în același eveniment *OnClick* al butonului **Calculează**. Mai întâi se setează numele fișierului în care urmează a fi exportate date prin comenzile:

```
DateTime currentDateTime = DateTime.Now;
String dateStr =
    currentDateTime.ToString("yyyy-MM-dd HH_mm_ss");
TextWriter tw = new StreamWriter(dateStr + ".wls");
```

În prima linie este preluată în variabila *DateTime* data curentă apoi această data este transformată în *string* cu structura an, luna, zi, ora, minut, secundă, urmând ca un fișier să fie creat cu acest nume. Prin această comandă se evită suprascrierea fișierelor, fiecare având astfel nume unic.

Primele linii din fișier conțin valorile lungimilor și ale diametrelor formate cu comanda *String.Format* pentru o așezare în pagină mai eficientă. Pe următoarele sunt afișate debitele obținute prin înmulțirea valorilor din vectorul **Q** de mai sus cu $1e+6$ adică 10 la puterea 6.

Mai departe sunt calculate valorile tuturor presiunilor din noduri prin scăderea sau adunarea la *pm* ori *pv* debitele și rezistențele unor anumite artere, la rezultatul obținut aici se mai înmulțește o constantă numită *fac* egală cu $100/(13596*9.81)$.

Datele sunt salvate în fișier, iar acesta este deschis în aplicație prin comanda:

```
System.Diagnostics.Process.Start
("notepad.exe", dateStr + ".wls");
```

unde *dateStr* este numele fișierului în care se salvează datele.

5 Rezultate si concluzii

Rezultatele obținute și importanța acestora țin în primul rând de aplicabilitatea lor în sfera medicală. Pe lângă concluziile care pot fi trase pe baza rezolvării modelului matematic, softul mai pune la dispoziție câteva metode de analiză a datelor.

După fiecare simulare utilizatorul poate copia în notițe datele generate de program care țin de simularea în discuție. Pe baza simulărilor sunt generate grafice sugestive care ajută la analiza în profunzime a rezultatelor. Pe fiecare grafic se pot observa diferențe de rezistență la un debit aproape constant și diferențe de debite la o rezistență relativ constantă. Din această constatare se poate trage concluzia că în cadrul poligonului se întâlnesc aceleași rezistențe pe o arteră și la debite mari, dar și la debite mici. Rezistența deci nu este influențată de debit. Cu creșterea numărului de simulări realizate crește și posibilitatea de cercetare.

Partea de **Setări** a aplicației are rolul de a extinde zona de efectuare a simulărilor dincolo de datele cunoscute și întâlnite în practică. Este de remarcat faptul că aplicația, și prin intermediul acestui tab, oferă o mult mai mare gamă de valori pe care se pot realiza apoi cercetări medicale.

Datele obținute în urma rulării simulărilor ajută echipa de medici a Spitalului Județean în cercetarea medicală. În plus softul BFS asigură o platformă experimentală virtuală care poate fi folosită pentru training în acest domeniu. Pe viitor, atunci când datele despre lungimile și diametrele arterelor acestui poligon vor fi preluate prin intermediul rezonanței magnetice nucleare (Rezonanța Magnetică Nucleară, RMN, este o tehnică spectroscopică foarte des folosită în chimie, chimie fizică, medicină, biofizică și inginerie nucleară pentru determinarea structurii diversilor compuși chimici, în biochimie pentru determinarea structurii proteinelor fiind singura tehnică destinată determinării structurii proteinelor în soluție (condiții mult mai apropiate de cele native) sau în imagini, diagnostice medicale sau radiologice pentru determinarea caracteristicilor fizico-anatomice a unor organe sau țesuturi.) sau Doppler-sonografia (Doppler-sonografia este o investigație noninvazivă care măsura fluxul sangvin în anumite regiuni anatomice. Doppler-sonografia vaselor sanguine – o metodă de analiză cu ultrasunet pentru constatarea tulburărilor în refluxul venos la nivelul gâtului, capului sau membrilor, ca urmare a mai multor cauze.) softul poate asigura indicații specifice pentru realizarea intervențiilor chirurgicale. Investigații numerice care se pot realiza prin intermediul aplicației pot ghida chirurgul în alegerea celei mai bune proceduri pentru un anumit pacient, din punct de vedere al afectării circulației sanguine.

Bibliografie

- [1] Adrian Postelnicu, *Modelarea numerică a hemodinamicii Poligonului Willis*, Editura Universității Transilvania din Brașov, 2008
- [2] Falup Pecurariu C., Postelnicu A., Pascu A., *Studiul debitelor și presiunilor în Poligonul Willis în modelul cu ocluzie aferentă*, Revista Română de Stroke, vol. IX, nr.1, 2006
- [3] Falup Pecurariu C., Postelnicu A., *Modelarea computerizată a hemodinamicii Poligonului Willis*, J Med Brasov, 2007
- [4] J J Van Overbeeke, B Hillen, and C A Tulleken, *A comparative study of the circle of Willis in fetal and adult life. The configuration of the posterior bifurcation of the posterior communicating artery*, 1991 June, 176: 45–54.
- [5] A. Quarteroni, *Modeling the Cardiovascular System – A Mathematical Adventure*, SIAM News 34 (5), 2001 (Partea I) și SIAM News 34 (6), 2001 (Partea II).

Roman Cristina Elena
Universitatea Transilvania
Brașov
Informatică aplicată
Adresa Str. Iuliu Maniu, nr. 50,
Cod poștal: 500091, Brasov
România
E-mail: cri_roman@yahoo.com

Sistem de Management al Informatiei

RUSU Andrei, VOLOSINCU Mihai Bogdan
Coordonator: Prof. univ. dr. SIMIAN Dana

Abstract

The aim of this paper is to present an original data-centric application, that has realized an optimization of information management and distribution in companies or educational institutions. Our application has a desktop component, build in Java and a WEB component, built in PHP. This System of data management provides many advantages compared with other existing free systems like: adaptability, friendly interface, many functions and security.

1 Introducere

Mai mult ca oricând, datorită importanței pe care a ajuns să o dețină în orice domeniu de activitate, informația trebuie prelucrată și distribuită cât mai rapid, corect și eficient.

În ceea ce privește distribuția informațiilor în România multe societăți și instituții la acest capitol nu stau bine deoarece nu își permit achiziționarea și întreținerea unui sistem care să ofere posibilitatea de a manipula informațiile pe plan intern, pe partea de client sau public larg.

Lucrarea prezintă un nou sistem de distribuție a informațiilor din cadrul instituțiilor și societăților comerciale, care elimină o parte din problemele specifice entităților precizate mai sus. Pe piață există mai multe aplicații destinate distribuției informației, dar prezintă unele dezavantaje pe care încercăm să le înlăturăm prin prezenta aplicație. Unul dintre principalele dezavantaje îl reprezintă costul unui astfel de sistem. Programele existente pe piață au o complexitate mare necesitând personal calificat în utilizarea lor ceea ce duce la costuri suplimentare. Alegerea unei aplicații existente, care este free, are ca principal dezavantaj faptul că modelul oferit de manipulare și distribuție a informației nu se potrivește cu modelul dorit.

Există un număr mare de exemple de aplicații pentru organizarea și distribuția informației, accesibile pe internet, care se ocupă de gestionarea informațiilor dar acestea nu au ca scop eliminarea problemelor recent amintite. Acestea sunt create pentru comunități web sau aplicații desktop pentru utilizare la nivel personal și nu pentru organizații.

Pintre acestea precizăm :

Database Master (<http://www.nucleonsoftware.com/?page=databasemaster>)

MySQL Workbench (<http://www.mysql.com/products/workbench/>)

Aceste două programe necesită cunoștințe solide în baze de date.

PHP-Fusion (<http://www.phpfusion.ro/news.php>)

PHPnuke (<http://phpnuke.org/modules.php?name=Release>)

Obiectivul principal al sistemelor existente este să centralizeze informația din cadrul unei societăți sau instituții și nu să și asigure o distribuție corectă și optimă a acesteia.

2 Organizarea Sistemului

Sistemul prezentat este compus dintr-o componentă desktop construită în Java și o componentă Web construită în PHP care are ca obiect central o bază de date, cele două componente oferind următoarele avantaje:

- Simplitate în privința lucrului cu informația, deoarece aplicația va fi folosită de toți angajații;
- Adaptabilitate la nivelul utilizatorului ;
- Poate fi adaptată la structura ierarhică de organizare a informației propriie instituției care o folosește

- Deși se caracterizează prin simplitate de utilizare și rezolvă problemele curente de distribuire a informației, înglobează și aspecte mai complexe, oferind suport pentru funcții mai complexe

Am ales Java și PHP deoarece: sunt free, oferă un suport complex pentru lucrul cu baze de date, există multe materiale destinate documentării, sunt două limbaje foarte puternice în lucrul cu cantități mari de date .

Aplicațiile se folosesc de un sistem complex de autorizare a utilizatorilor, care permit sau restricționează accesul la un set specific de informații și acțiuni pentru a asigura distribuirea corectă a datelor. Un punct foarte important la capitolul securitate este că la crearea unui utilizator i se atribuie un nivel de securitate.

Sistemul se folosește de o diagramă ierarhică a firmei sau instituției care ajută sistemul să determine un set inițial de privilegii în mod special pentru conducerea organizației. Utilizatorul poate modifica ierarhia care o oferă sistemul pentru a reflecta cât mai bine structura societății sau instituției. Diagrama poate suferi modificări fără a influența într-un fel circulația fluxurilor informaționale.

Sistemul se folosește de fluxuri informaționale pentru a trimite informația de la un emițător la un receptor. Am folosit modelul fluxului informațional prezentat în cartea notată cu A.1. în bibliografie.

La cerere un emițător poate crea un flux informațional cu următoarele caracteristici de comunicare:

a) Un emițător la mai mulți receptori:

Proprietăți:

- O singură direcție, spre receptor;
- Se transmite același mesaj;

Exemplu: o directivă nouă trimisă de la conducere către toți angajații sau doar la un număr select de angajați.

b) Mai mulți emițători la mai mulți receptori:

Proprietăți:

- Fiecare poate fi emițător și receptor;
- Comunicarea se face în toate direcțiile;

Exemplu: membri unei echipe colaborând pentru ducerea la bun sfârșit a unui proiect.

c) Un emițător-receptor la un alt emițător-receptor:

Proprietăți:

- Comunicarea se face în două sensuri;
- Mesaj personalizat;

Exemplu: schimb de informații între doi colegi ai aceluiași departament (aceeași echipă).

d) Pe segment țintă:

Proprietăți:

- Un emițător și mai mulți receptori;
- O singură direcție a fluxului, spre receptor;

- Se transmit mesaje diferite pentru fiecare receptor;

Exemplu: liderul unei echipe deschide un flux cu colegii săi și împarte responsabilitățile fiecăruia pentru un anumit proiect.

Fluxul este caracterizat de următoarele:

- Conținut;
- Formă;
- Sens;
- Frecvență;
- Volum;
- Lungime.

Informațiile pot fi în mai multe forme, fluxul permițând transferul de fișiere (imagini, documente, secvențe audio/video) și nu doar informațiile scrise.

Fluxul informațional poate funcționa pe toate direcțiile sau sensurile dintr-o diagramă ierarhică:

- Orizontal, între compartimentele de pe același nivel;
- Vertical, între compartimentele de pe nivele diferite;
- Ascendent, de la un compartiment de pe un nivel inferior la un nivel de conducere;
- Descendent, de la un nivel de conducere la un compartiment inferior.

Aplicația răspunde unor serii de cerințe pentru a asigura un flux informațional mai stabil, sigur și productiv:

- Serverul Web, serverul bazei de date și modulul php pot fi achiziționate la un cost foarte redus, toate cele trei componente necesare implementării aplicației sunt gratuite, costurile fiind doar legate de întreținere pentru serverele proprii ale organizației sau ca plată pentru un plan de web hosting al unei firme de specialitate;

- Sistemul permite logarea fiecărui flux și modificări a bazei de date pentru a fi mai ușoară și sigură rezolvarea unei probleme în cazul unei erori umane;

- Aplicația poate coda informațiile pe server pentru mai multă siguranță;

- Nu are limită pentru cantitatea de informații transmise pe un flux informațional fără a încetini sistemul în cazul prelucrării, stocării sau vizualizării informației (cea de-a 3-a poate fi încetinită, dar doar de conexiunea de internet a utilizatorului);

3 Modulul Desktop

Aplicația desktop este construită în limbajul Java, limbaj care pune la dispoziția programatorilor un set complex de tehnologii pentru lucrul cu date, mai exact pentru această aplicație, aceste tehnologii constau în API's pentru lucrul cu bazele de date;

Accesul la aplicația desktop se face după următorul model :

1. Utilizatorul, înainte de logare trebuie să se înregistreze cu numele și parola create de root sau de un alt utilizator cu un nivel de securitate ridicat și care are dreptul de a crea utilizatori.
2. Înregistrarea este obligatorie deoarece aplicația poate fi folosită pentru accesarea bazei de date a unei firme dar și a unei baze de date personale.
3. Nivelul de securitate al utilizatorului este citit imediat ce aplicația a reușit să se conecteze la baza de date.
4. Opțiuni cum ar fi datele personale, nivelul de securitate, o scurtă istorie a sa în cadrul programului și posibilitatea de a modifica aceste date, sunt afișate într-o secțiune specială.
5. Accesul la informație se face pe baza unei structuri ierarhizate, construită după un model specific fiecărei firme sau instituții.

3.1 Baza de date

Acest capitol este foarte important deoarece aici am creat un model mai diferit și cu elemente de originalitate, în ceea ce privește lucrul cu informația unei baze de date.

- Afișarea tabelelor, rapoartelor sau a anumitor coloane din tabele este foarte simplă și foarte rapidă
- Modificarea datelor este foarte simplă necesitând doar schimbarea informației din celula selectată
- Pentru persoanele care au cunoștințe solide în ceea ce privește administrarea bazelor de date această secțiune dispune de un command line ce ofera posibilitatea de a folosi baza de date la capacitate maximă
- Un element original aplicației este dat de posibilitatea de a introduce un volum mare de informații în tabele cum ar fi liste sortate sau fișiere
- Opțiunea de căutare a unui cuvânt în conținutul tabelor
- În funcție de nivelul de securitate a utilizatorului acesta are posibilitatea de a crea utilizatori noi, modifica tabele, crea tabele noi sau șterge

3.2 Informația în cadrul aplicației

Cea de-a doua secțiune din cadrul aplicației se ocupă de lucrul cu fișiere și a fost creată pentru ca utilizatorii să-și poată prelucra informația în cadrul aplicației .

1. Astfel utilizatorul are posibilitatea de sortare după diferite criterii. Ex: listele de personal pot fi sortate după nume, prenume, vârsta sau alt criteriu;
2. Creare de secțiuni speciale care se ocupă cu statistici, grafice;
3. Creare tabele și mutarea lor în baza de date;
4. Căutare în fișiere a unui cuvânt cheie;
5. Editor de texte;

Secțiunea de lucru cu fișierele este foarte importantă deoarece oferă posibilitatea de a prelucra informația și în cazul în care utilizatorul se află într-un loc unde nu există o conexiune la internet sau conexiunea s-a întrerupt.

Pentru prelucrarea informației am creat un set de unelte originale, diferite, cu o legătură foarte strânsă între ele.

4 Modulul Web

Partea web a sistemului a fost făcută pentru a ajuta comunicarea între departamente, personal și conducere, în cazul colaborării sau informării pe anumite subiecte ce pot ajuta la rezolvarea sau informarea în cadrul unui proiect sau rezolvării unei probleme.

Aplicația web are un rol dublu în cadrul sistemului. Poate fi accesat din afară de către oricine indiferent dacă este sau nu parte din organizația ce deține sistemul, deoarece este format din două module diferite. Primul este o aplicație de prezentare care servește atât ca punct de informare pentru vizitatori cât și ca ușă de intrare pentru cei autorizați în cel de-al doilea modul. Toate informațiile din modulul de prezentare pot fi modificate de orice persoană care are autorizația necesară pentru a face modificări în toate paginile sau doar selectiv.

Exemplu: Personalul care se ocupă cu comunicatele de presă poate avea dreptul să modifice doar prima pagină care este pentru noutăți și comunicate, în timp ce un angajat de la resurse umane poate modifica doar pagina legată de oferte de lucru. Conducerea, desigur, poate modifica totul.

1) Logarea pe site se face în două moduri:

Cu aplicația desktop deschisă, utilizatorul accesează site-ul folosind butonul dedicat din aplicație sau pur și simplu apelând browserul. În oricare din aceste situații, atâta timp cât aplicația Java este pornită, utilizatorul va fi logat automat.

2) Cu formularul de logare de pe partea de prezentare a site-ului.

Observație 1: Nici site-ul, nici aplicația desktop nu au opțiuni pentru logare permanentă din motive de securitate, deoarece dacă logarea este permanentă sau pe o perioadă de timp (exemplu: 2 săptămâni) atunci oricine accesează calculatorul respectiv poate folosi întregul sistem cu contul altei persoane.

Observație 2: Aplicația php nu poate împiedica site-ul să rețină parola și numele utilizatorului, folosirea acestei opțiuni rămâne la discreția utilizatorului, noi recomandăm să nu se folosească această opțiune.

În urma logării, aplicația redirecționează utilizatorul pe pagina sa principală unde apar toate informațiile relevante utilizatorului. Cum ar fi:

- Directive/decizii adresate echipei/grupului/departamentului sau întregului personal;
 - Mesaje private noi;
 - Conferințe în care a fost chemat;
 - Lista de obiective (to-do list);
 - Program de activități;
 - Notițe relevante accesării în funcție de zi și/sau relevanței setate de utilizator;

Aplicația se bazează pe lucrul sau nevoile de zi cu zi ale utilizatorului în cadrul organizației, comunicarea cu alți colegi, schimb de informații irelevante conducerii sau organizației, sistemului contabil/juridic și/sau cel informațional dar importante pentru ducerea la bun sfârșit a unui proiect.

Exemplu 1: O echipă care lucrează la un proiect, dar membrii săi nu sunt în același loc.

Exemplu 2: Apare o urgență iar persoana care o poate rezolva este în concediu sau acasă, în această situație aplicația dă voie utilizatorului să aibă acces la informații din baza de date necesare rezolvării problemei.

5 Relație Desktop-Web

Un rol foarte important în cadrul sistemului îl are comunicarea dintre aplicațiile desktop și site.

Aceasta se realizează prin:

1. Accesul la baza de date comună, care reprezintă sursa principală de informații;
2. Cookiuri care ajută la logarea automată în site;
3. Aplicația poate genera dinamic un URL prin apelarea căruia aplicația desktop dă o comandă sau o cerere aplicației web;
4. Aplicația oferă posibilitatea utilizatorilor de a lucra direct cu informația ce este disponibilă pentru ceilalți angajați cât și pentru accesul public oferă un plus de originalitate, reducând costul întreținerii;

Câteva din caracteristicile oferite de sistem sunt:

a) Trimitere de mesaje private – între doi sau mai mulți utilizatori. Mesajele private sunt structurate pe subiecte și răspunsuri. Când selectezi un mesaj apar toate răspunsurile aferente aceluși mesaj.

b) Acces de la distanță la informații din baza de date (depinde de autorizația pe care o are utilizatorul în acest caz). Accesul la distanță a bazei de date ajută la rezolvarea problemelor sau chiar și lucrul când utilizatorul nu are acces la calculatorul de la serviciu.

c) Conferințele au scopul de a ajuta la comunicarea între mai mulți emițători-receptori care încearcă să rezolve o problemă. Conversațiile sunt logate pentru referințe ulterioare.

d) Anunțuri și directive care sunt persistente pentru o perioadă de timp. Anunțurile și directivele sunt afișate doar pe prima pagină dar doar cele relevante utilizatorului sau grupului din care face parte utilizatorul. Acestea sunt persistente fie până sunt vizualizate o dată fie până se termină o perioadă de timp setată de emițător.

e)Logarea conversațiilor din conferințe și schimbările din baza de date. Logarea conversațiilor și modificărilor in baza de date sunt necesare pentru a ajuta în cazul unei erori umane dar din motive de securitate (logarea nu ajută întotdeauna la recuperarea tuturor informațiilor).

f)Lista de obiective (to-do list);

g)Program de lucru (agenda de lucru și întâlniri – inclusiv conferințe programate);

h)Notițe.

Punctele (f, g, h) formează o agendă virtuală care ajută utilizatorul in diferite aspecte ale serviciului amintindu-i intalniri, conferințe programate sau orice tip de informație.

Observație 1:Din motive de securitate recomandăm ca aplicația desktop să fie instalată doar pe calculatoarele din organizație, altfel apare riscul ca anumite informații confidențiale să fie accesate de cineva din afară.

Observație 2:Aplicația web permite accesul doar la informațiile neconfidențiale dar cu posibilitatea ca in cazul unei urgențe cineva mai sus pe scara ierarhică să poată da voie unui subordonat să acceseze anumite informații confidențiale la un moment dat pentru o perioadă de timp.

6 Concluzii

Lucrarea prezintă un sistem de manipulare și distribuție a informației care este construit pe baza unei idei originale, care oferă o mai mare importanță informației în cadrul entităților mai mici și care nu au un buget mare pentru ași permite firme specializate sau personal calificat pentru un sistem complex de gestiune a informatiei.

Organizarea logică a sistemului precum și implementarea acesteia sunt originale. Sistemul are o sferă largă de utilizare atât în instituții ,firme mici, instituții educaționale dar poate fi folosită și în scop personal.Accentul este pus pe utilizator, oferindu-i o interfață usor de utilizat, putere de accesare și distribuire rapidă a datelor.O caracteristică deosebit de utilă a sistemului este aceea de flexibilitate, sistemul putând fi adaptat ușor la ierarhia oricărei instituții.

Bibliografie

A. Tratate, monografii, cursuri universitare și alte lucrări de specialitate

- [1] NICOLESCU, Ovidiu, „Management”, Editura Didactică si Pedagogică, Bucuresti, 1992
- [2] THOMAS, M. Todd, „Java Data Access – JDBC, JNDI and JAXP”, M&T Books, New York, 2002
- [3] FRASINARU, Cristian, „Curs practic de Java”
- [4] KEOGH, Jim, „Javascript fara mistere”, Rosetti Educational, Bucuresti, 2006
- [5] ULLMAN, Larry, „PHP si MySQL pentru site-uri web dinamice”, Teora, Bucuresti,2006

B. Surse Internet

- [1] 1.<http://dev.mysql.com/doc/>
- [2] 2.www.bcu-iasi.ro/biblos/biblos13/sistinf.pdf
- [3] 3.http://en.wikipedia.org/wiki/Business_intelligence
- [4] 4.http://en.wikipedia.org/wiki/Business_model

RUSU Andrei
Universitatea Lucian Blaga, Sibiu
Facultatea de Științe, Sibiu
Str. Dr. Ion Ratiu, 5-7
ROMANIA
rusu.andyl@gmail.com

VOLOSINCU Mihai Bogdan
Universitatea Lucian Blaga, Sibiu
Facultatea de Științe, Sibiu
Str. Dr. Ion Ratiu, 5-7
ROMANIA

Agent SQL Express

Mihai Stancu
Coordonator: Prof. Univ. Dr. Dana Simian

Abstract

Această lucrare prezintă designul unui Agent SQL pentru Microsoft SQL Server 2005/2008 Express. Agentul poate planifica rularea unei secvențe de comenzi T-SQL sau a unei proceduri stocate la anumite intervale stabilite de utilizator. Agentul folosește tabele pentru a salva informațiile despre operații și nu apelează la servicii Windows sau la Windows Task Scheduler pentru planificarea operațiilor. Scopul acestei lucrări este de a propune și implementa o modalitate nouă de a planifica operații pe baze de date folosind o tehnologie Microsoft disponibilă gratuit, numită Service Broker. Rezultatul este o aplicație robustă, flexibilă, extrem de ușor de folosit și cu un potențial imens pentru creșterea productivității și sporirea securității bazelor de date.

1 Introducere

Microsoft SQL Server 2005 Express este versiunea gratuită a serverului SQL dezvoltat de Microsoft. Deși este compatibilă cu versiunile comerciale, varianta express a serverului SQL prezintă totuși anumite limitări, dintre care menționăm absența serviciului SQL Server Agent. Din acest motiv planificarea joburilor nu este posibilă fără a instala produse soft terță parte, care sunt adesea foarte costisitoare. Anumite firme nici nu permit instalarea acestor aplicații din cauza politicii lor de securitate, ceea ce reprezintă o problemă majoră atât pentru administratori cât și pentru utilizatori.

Acesta este motivul pentru care am ales să realizăm o aplicație care să permită întreținerea bazelor de date folosind numai serviciile oferite de SQL Server 2005/2008 Express. Soluția dezvoltată este formată din două părți importante. Prima parte este reprezentată de scriptul SQL folosit pentru crearea tabelor, a procedurilor stocate și a obiectelor de planificare, iar cea de-a doua este reprezentată de interfața cu utilizatorul, creată în Visual Basic 2005, folosind platforma .NET Framework 2.0 și Windows Forms.

2 Modul de planificare a operațiilor

Pentru a realiza planificarea am folosit Microsoft Service Broker, tehnologie ce face parte din motorul de baze de date al serverului SQL. Acest serviciu oferă o platformă de comunicare bazată pe mesaje care permite unor componente independente ale aplicației să funcționeze ca un întreg. Este o adădire importantă adusă serverului SQL dezvoltat de Microsoft, prezentând o mulțime de facilități noi precum cozi de așteptare, proceduri de activare, mesaje, contracte, conversații, etc.

Obiectul Service Broker care a face posibilă planificarea operațiilor în aplicația noastră este timerul de conversație. După setare, timerul așteaptă un anumit număr de secunde, după care trimite un mesaj către coada locală, de asemenea un obiect Service Broker. De îndată ce mesajul ajunge în coadă, este lansată procedura de activare asociată, care primește mesajul din coada de așteptare și execută secvența de comenzi SQL sau procedura stocată stabilită de utilizator.

Pentru a implementa agentul, am creat următoarele obiecte:

1. Tabelele pentru păstrarea informației despre fiecare operație
2. Procedurile stocate pentru crearea, rularea și ștergerea operațiilor.
3. Contractul, coada de așteptare și serviciul de planificare, bazat pe timerul de conversație

2.1 Tabelele

Două tabele păstrează informațiile despre operațiile planificate și despre posibilele erori care pot apărea în momentul rulării. Pentru a descrie în detaliu tipul informațiilor reținute în aceste tabele, prezentăm mai jos instrucțiunile SQL folosite pentru crearea acestora:

```
CREATE TABLE tblOperatiiPlanificate
(
  ID INT IDENTITY(1,1),
  JobName nvarchar(100) NOT NULL,
  JobDescription nvarchar(max) NOT NULL,
  ScheduledSql nvarchar(max) NOT NULL,
  ScheduleType INT NOT NULL,
  FirstRunOn datetime NOT NULL,
  LastRunOn datetime,
  LastRunOK BIT NOT NULL DEFAULT (0),
  IsRepeatable BIT NOT NULL DEFAULT (0),
  IsEnabled BIT NOT NULL DEFAULT (0),
  ConversationHandle uniqueidentifier NULL
)
```

```
CREATE TABLE tblEroriOperatiiPlanificate
(
  Id BIGINT IDENTITY(1, 1) PRIMARY KEY,
  ErrorLine INT,
  ErrorNumber INT,
  ErrorMessage NVARCHAR(MAX),
  ErrorSeverity INT,
  ErrorState INT,
  ScheduledJobId INT,
  ErrorDate DATETIME NOT NULL
  DEFAULT GETUTCDATE()
)
```

2.2 Procedurile stocate

Aplicația folosește trei proceduri stocate pentru crearea, ștergerea, respectiv rularea operațiilor pe serverul SQL.

spAdaugaOperatiePlanificata adaugă o înregistrare pentru o operație nouă în tabelul `tblOperatiiPlanificate`, crează o nouă conversație și setează un timer pentru aceasta. Adăugarea conversației se face într-o tranzacție deoarece dorim ca această operație să fie atomică.

spStergeOperatiePlanificata realizează eliminarea unei operații, pe baza id-ului acesteia. Sfârșește conversația asociată și șterge înregistrarea corespunzătoare din tabelul `tblOperatiiPlanificate`. Toate aceste operații se realizează de asemenea în cadrul unei tranzacții.

spRuleazaOperatiePlanificata este procedura stocată de activare asociată coadei de așteptare. Aceasta rulează operație și actualizează tabelul `tblOperatiiPlanificate`. Nu este tranzacțională deoarece erorile sunt înregistrate în tabelul `tblEroriOperatiiPlanificate`, și nu dorim ca mesajul `DialogTimer` să fie returnat în coadă, ceea ce ar duce la un ciclu infinit.

2.3 Contractul, coada și serviciul

Enumerăm mai jos obiectele Service Broker folosite, și modul în care au fost create:

[/ScheduledJobContract] este contractul care permite trimiterea mesajelor DialogTimer:
CREATE CONTRACT [/ScheduledJobContract]
([http://schemas.microsoft.com/SQL/ServiceBroker/DialogTimer] SENT BY INITIATOR)

[/ScheduledJobQueue] este coada folosită pentru a posta mesajele DialogTimer și pentru a rula procedura de activare usp_RunScheduledJob pentru execuția unei operații. Este creată astfel:
CREATE QUEUE ScheduledJobQueue WITH STATUS=ON, ACTIVATION
(PROCEDURE_NAME = usp_RunScheduledJob, MAX_QUEUE_READERS=20, EXECUTE AS 'dbo')

[/ScheduledJobService] este un serviciu peste coada ScheduledJobQueue, controlat de contractul [/ScheduledJobContract]. Instrucțiunea TSQL folosită pentru crearea lui este:
CREATE SERVICE [/ScheduledJobService] AUTHORIZATION dbo
ON QUEUE ScheduledJobQueue ([/ScheduledJobContract])

3 Interfața

În această secțiune descriem interfața planificatorului de operații al agentului.

Forma principală conține un control de tip DataGridView care afișează coloanele importante ale tabelului tblOperațiiPlanificate. Operațiile care pot fi executate asupra joburilor pot fi accesate prin intermediul meniului principal sau prin meniul contextual. În cazul în care se alege Adaugă, se deschide cea de-a doua formă, care oferă utilizatorului posibilitatea de a crea și planifica operația potrivit unui orar zilnic, săptămânal sau lunar. Pentru scrierea comenzilor SQL, utilizatorii au la dispoziție un editor integrat asemănător aplicației Notepad, accesibil prin intermediul butonului Deschide Editor. După adăugarea unei operații noi, forma principală este redimensionată corespunzător. Același lucru se întâmplă și la ștergerea unei operații. Editarea folosește aceeași formă ca cea folosită pentru adăugare, însă logica este ușor modificată.

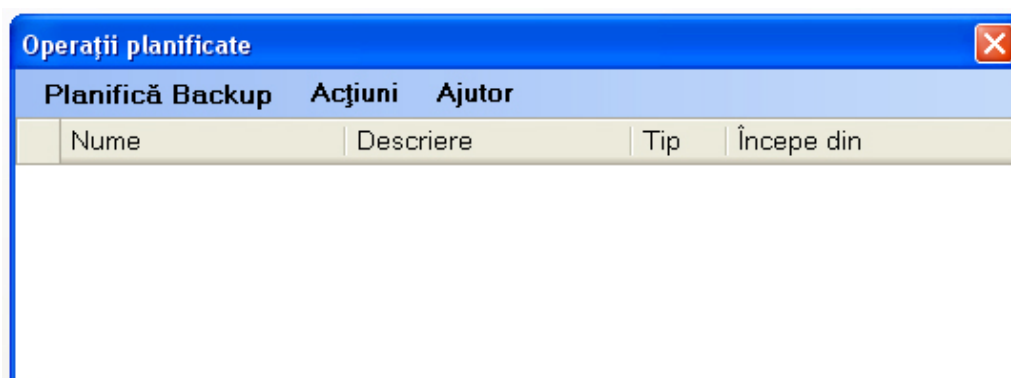


Fig. 1 Fereastra principală

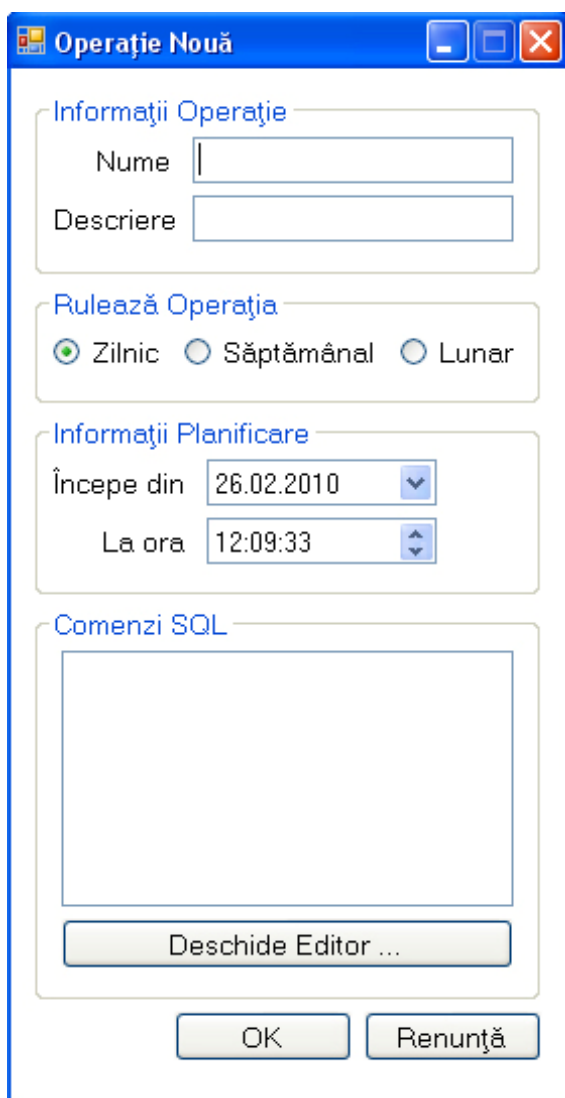


Fig. 2 Fereastra de adăugare operație

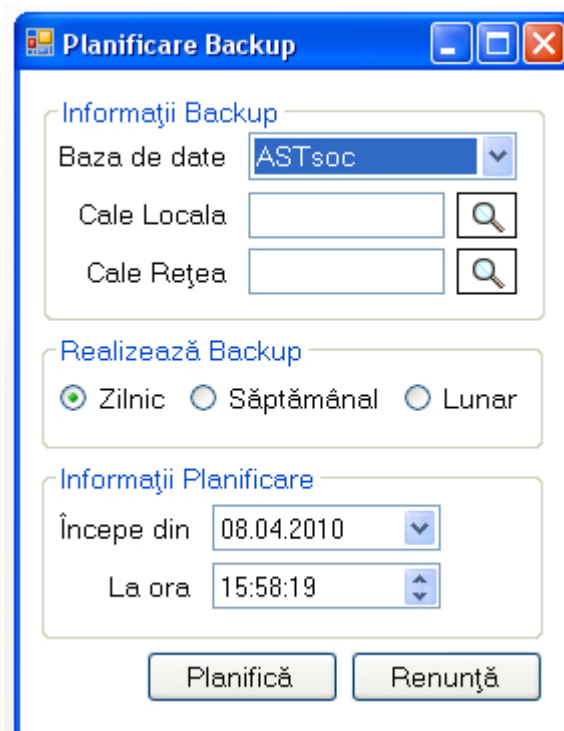


Fig. 3 Fereastra de planificare backup

Interfața a fost realizată având ca scop principal transparența acțiunilor și ușurința de executare a acestora. Pentru a seta valorile diferitelor controale se pot folosi fie numai tastatura, fie numai mouseul, sau o combinație a acestora. Astfel un utilizator poate crea sau edita o operație în numai câteva secunde, reducând mult timpul necesar întreținerii bazelor de date.

4 Concluzii

În această lucrare am prezentat designul și implementarea unui agent SQL care permite crearea și planificarea unor operații pe un server Microsoft SQL 2005 sau 2008 Express. Aplicația creată este extrem de ușor de folosit, flexibilă și robustă. Spre deosebire de celelalte produse soft asemănătoare, sistemul nostru de planificare folosește Service Broker, un serviciu gratuit, integrat chiar în motorul de baze de date al serverului SQL de la Microsoft. Acest fapt sporește siguranța aplicației și elimină majoritatea erorilor care ar putea apărea în timpul rulării.

5 Planuri de dezvoltare viitoare

Am arătat că acest tip de aplicație aduce o mulțime de beneficii, și au fost depuse numeroase eforturi pentru sporirea utilizabilității, însă există o serie de îmbunătățiri ce pot fi aduse, și care sunt planificate pentru versiunile următoare. Dintre acestea menționăm:

- folosirea unui sistem de planificare mai avansat care să permită utilizatorului să ruleze o operație în anumite zile ale săptămânii sau ale lunii (de exemplu: luni, miercuri și vineri la fiecare două săptămâni, ultima zi de vineri în fiecare lună, etc.)

- atribuirea mai multor pași unui singur job, fiecare având o anumită sarcină, lucru folositor în cazul în care, de exemplu, utilizatorul dorește ca la anumite intervale de timp, să realizeze un backup la o bază de date, să arhiveze și să încrîpțeze acel backup, să copieze arhiva încrîpțată la o anumită locație partajată în rețea, iar apoi să șteargă backupurile care sunt mai vechi decât o anumită dată specificată.

- rularea unui job de un număr specificat de ori în cazul apariției unor erori la rulare (în prezent dacă un job sfârșește cu erori, este efectuat un rollback, se înregistrează eroarea în tabelul de erori și se stabilește data următoare la care va rula jobul)

- realizarea unui sistem de notificări pentru utilizatorii care doresc, de exemplu, să primească un email în cazul rulării cu succes sau dimpotrivă, în cazul în care apare o eroare în timpul rulării unui job.

- includerea unui asistent, care să permită unui utilizator începător să planifice mai ușor anumite operații des întâlnite, precum crearea unui backup, reindexarea unei baze de date, actualizarea unor statistici, etc.

Bibliografie

- [1] Klaus Aschenbrenner, *Pro SQL Server 2005 Service Broker*, Apress, New York, 2007
- [2] Roger Wolter, *Rational Guide to SQL Server 2005 Service Broker*, Rational Press, Rollinsford, 2006
- [3] SQL Server 2005 Books Online, Service Broker
- [4] Roger Wolter, *Manage Your Tasks With Service Broker*, TechNet Magazine <http://207.46.16.252/en-us/magazine/2005.05.servicebroker.aspx>, 24 februarie 2010
- [5] Mladen Prajdic, *Scheduling Jobs in SQL Server Express*, SQL Team <http://www.sqlteam.com/article/scheduling-jobs-in-sql-server-express>, 24 februarie 2010

STANCU MIHAI
Universitatea „Lucian Blaga” din Sibiu
Facultatea de Științe
Specializarea Matematica-Informatică
Bd-ul. Victoriei, Nr. 10, Sibiu, 550024
ROMANIA
E-mail: stancu_meehigh@yahoo.com

AI in 3D Gaming - AICon

Lucian Stoica

Coordonator: Prof. dr. Dana Simian

Abstract

The paper presents Artificial Intelligence (also known as AI) that is used in 3D gaming, and describes how an application named AICon (a 3D game) was developed using different tools and algorithms. Some of these tools are: Irrlicht for graphics, IrrKlang for sound and Newton Dynamics for physics. Movements and decisions taken by soldiers in AICon game represent "the core" of this application. AICon has a built-in 3D map editor that can be useful with others tools for creating 3D applications. This editor can work with 3D models objects that was created with specialized tools like Maya, 3D Studio Max, Collada, .X, Milkshape, etc.

1 Prezentarea generală a aplicației AICon

AICon este un joc cu grafica tridimensională destinat tuturor iubitorilor de jocuri de tip First person Shooter (FPS) care își are originea într-unul dintre cele mai „iubite” și jucate jocuri din toate timpurile: Counter-Strike. Oare cine nu s-a jucat macar o dată acest fel de joc? Fie că s-a numit Doom, Quake sau Counter-Strike. Jocul este structurat pe misiuni cu un grad de dificultate ascendent după cum urmează:

- în prima misiune trebuie ca jucătorul să ajungă la o anumită locație de pe harta folosind pentru deplasare tastele WASD și mouse-ul,
- în cea de-a doua misiune trebuie să-l lichideze pe șeful teroristilor, fără a omori însă vreun alt dușman,
- în cea de-a treia misiune trebuie să planteze o bombă în baza teroristilor și să o detoneze, după care trebuie să ajungă la locul de extracție pentru a fi ridicat de un elicopter.

Jucătorul trebuie să ducă la bun sfârșit fiecare misiune cu orice preț.

Bineînțeles că ordinea misiunilor sau chiar editarea hartilor și a misiunilor este posibilă, deoarece AICon posedă propriul editor de hărți tridimensionale, care este specializat și modelat întocmai pentru acest lucru. Jocul mai oferă utilizatorului posibilitatea de a-și alege driver-ul folosit la randare (OpenGL, DirectX, sau Software), să-și configureze tastatura și mouse-ul, sunetul, imaginea, etc.

Sunetul pentru un astfel de joc tridimensional, nu putea fi decât unul tridimensional, și asta se datorează bibliotecii IrrKlang care ne oferă o multitudine de funcții specializate în lucrul cu sunete.

De departe, una dintre cele mai frumoase părți ale acestei aplicații o reprezintă Inteligența Artificială, pentru că așa cum spuneam la începutul acestei prezentări, inteligența artificială este „miezul și sufletul” aplicației, și la urma urmei, ce-ar fi un joc pe calculator fără inteligență

artificiala? Inteligența bot-ilor, în acest joc, se poate seta pe o scară de la unu la zece, în sensul că valoarea unu reprezintă un grad de inteligență scăzut pentru un bot (un soldat „controlat” de calculator), adică această valoare se poate folosi de către cei care nu s-au mai jucat până acum un astfel de joc, iar o valoare ridicată cum ar fi opt, face din bot-ii niște adevărați luptători capabili să elimine orice dușman, și se poate folosi de cei mai experimentați jucători.

2 Prezentarea editorului de harti tridimensionale

După cum am mai spus AICon posedă propriul editor de harti tridimensionale, editor care poate încărca și folosi modele 3D create cu alte unelte de modelare 3D cum ar fi: Maya, 3D Studio Max, Collada, Milkshape, etc. S-a optat pentru posibilitatea folosirii mai multor tipuri de modele tridimensionale, deoarece unii utilizatori se descurcă mai bine în editoare de genul 3D Studio Max și sunt capabili să-și creeze propriile modele tridimensionale, dar majoritatea utilizatorilor nu știu să folosească un asemenea editor și din această cauză pot descărca gratuit modele de pe internet pentru că în prezent informația este cum nu se poate mai ieftină (trăim într-o „era open-source”).

În figura 1 este prezentat editorul de harti, și se poate observa cu ușurință că cel care folosește acest editor nu trebuie să aibă cunoștințe speciale despre lumea tridimensională.

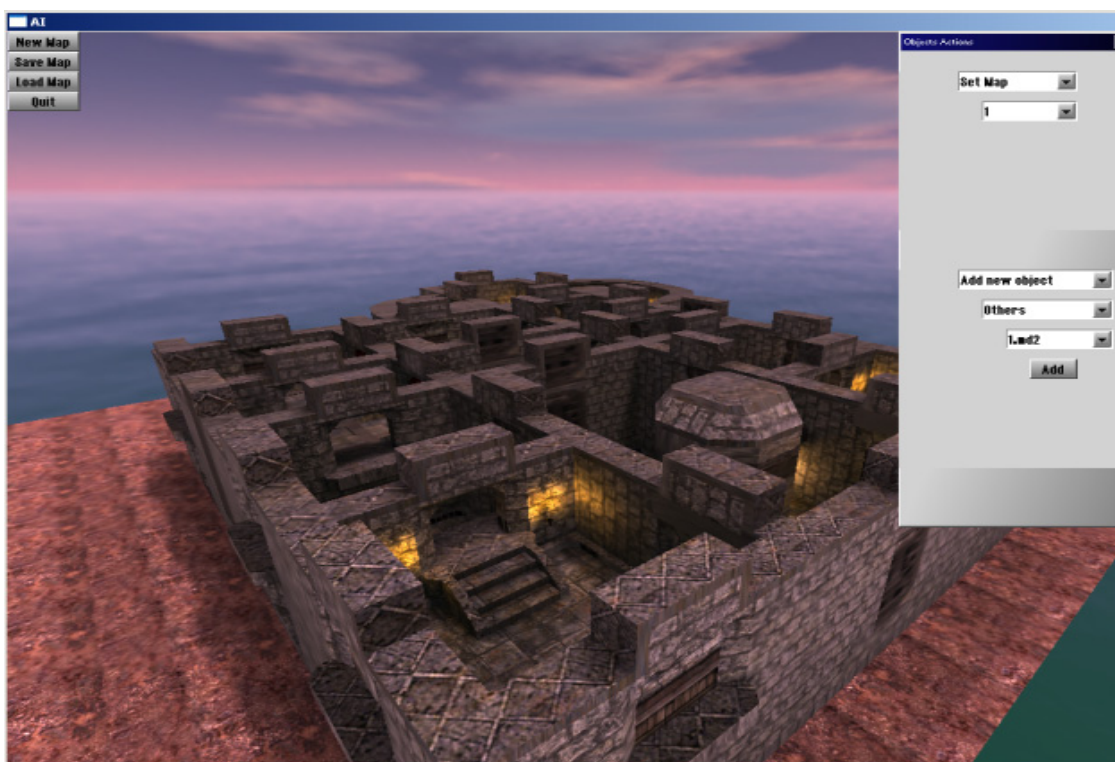


Fig. 1: Editorul AICon

- În primul combobox din colțul dreapta-sus al editorului avem următoarele opțiuni la alegere:
- **Set Map** permite încărcarea și folosirea unei harti (model tridimensional) create anterior cu unul dintre utilitarele mai sus menționate (Maya, 3D Studio Max, etc.), alegerea unei astfel de harti făcându-se cu combobox-ul situat puțin mai jos.
 - **Set Sky Box** permite folosirea unui „tablou înconjurător” pentru harta curentă care de cele mai multe ori reprezintă un peisaj din natură sau din mediul urban. Un skybox reprezintă „un cub”

in care toata harta este „inchisa”, iar apropierea de acest „cub” este practic imposibila, deoarece acesta este decorativ.

- **Save My Position** ofera utilizatorului posibilitatea de a salva pozitia pe harta curenta, pozitie din care se va pleca in indeplinirea misiunii (pozitia de start a soldatului).
- **Finish Condition** reprezinta conditia de terminare a unei misiuni, iar din bombobox-ul de mai jos se poate alege Find Location, adica jucatorul castiga daca a ajuns la locatia defnita de cele trei puncte (XYZ), Kill All, inseamna ca trebuie ucisi toti teroristii pentru a indeplini cu succes misiunea, Plant Bomb, reprezinta plantarea bombei in punctul de coordonate XYZ.
- **Add New Object** pentru a putea adauga obiecte pe o harta existenta. Va aparea un nou combobox din care se poate alege tipul obiectului (planta, soldat, vehicul,...) si obiectul propriuzis (de exemplu: Add New Object->Vehicles->Hummer)
- **Deselect** pentru a deselecta obiectul curent selectat, deoarece la adaugarea unui nou obiect acesta devine selectat si toate actiunile care au loc, se intampla pe acel obiect.
- **Set Texture** pentru a putea selecta o noua textura care dorim s-o aplicam pe un obiect. In figura 2 este prezentata o masina de teren cu o textura de tip camuflaj, iar in figura 3 este reprezentata aceeaasi masina (de oras) dar cu alta textura. In acest mod se poate crea un singur obiect tridimensional si mai multe texturei, avand astfel o multitudine de obiecte care difere doar prin textura.



Fig. 2: Masina „camuflaj”

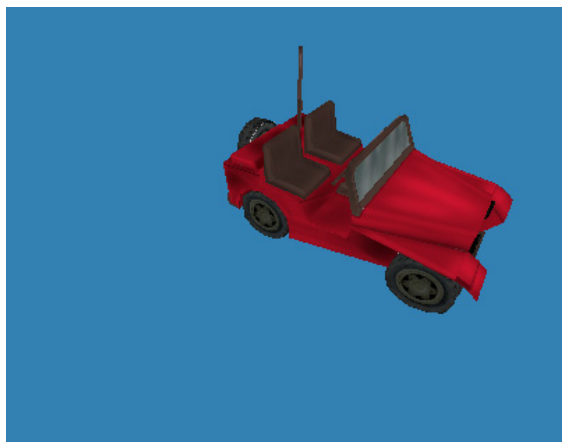


Fig. 3: Masina „de oras”

- **Scale** ne da posibilitatea scalarii (maririi/micsorarii) obiectelor pe toate cele trei axe (XYZ).
- **Rotate** pentru rotirea obiectelor pe cele trei axe.
- **Move** pentru a putea muta in spatiu un obiect selectat.
- **Delete** ofera posibilitatea stergerii unui obiect (obiectul curent selectat).
- **Delete All** folosit pentru stergerea tuturor obiectelor adaugate.

Butoanele din stanga ferestrei aplicatiei reprezinta:

- **New Map** crearea unei noi harti folosind toate functiile si uneltelt mai sus mentionate,
- **Save Map** salvarea hartii curente intr-un fisier pe hard-disk care mai apoi se poate incarca si folosi ca o posibila misiune in joc,
- **Load Map** incarca o harta care a fost creata anterior si pe care se pot adauga noi elemente pentru a creste complexitatea unei misiuni, de exemplu,
- **Quit** permite iesirea din aplicatie.

Unul dintre atuurile acestui editor este faptul ca utilizatorul poate defini un poligon (un dreptunghi) care sa-i dea proprietatea de „apa”, iar acel poligon se va comporta ca o suprafata lichida, de apa, adica va avea niste valuri cu o inaltime definita de utilizator, sau se pot defini si flacari, adica se poate incarca un model tridimensional care sa reprezinte o torta, iar pe aceasta torta se va defini flacara cu intensitate, culoare, directia pe care sa emita lumina, etc.

In urmatoarea versiune a acestui joc, editorul va fi capabil sa incarce harti Counter-Strike, pe care se vor adauga elemente dinamice (apa, foc, obiecte care interactioneaza cu mediul, etc.).

3 Prezentarea jocului AIcon

AIcon este un joc de tip First Person Shooter (FPS), este impartit pe misiuni care difera ca grad de complexitate in functie de nivelul atins de jucator. Jucatorul este un soldat care trebuie sa duca la bun sfarsit mai multe misiuni cu orice pret. Daca o misiune esueaza, atunci nu va putea trece la urmatoarea misiune. Deplasarea in lumea tridimensionala se face folosind tastele WASD si mouse-ul.

Pentru a sari peste diferite obstacole se foloseste tasta Space, iar pentru schimbarea armelor se folosesc tastele 1 – 9. La inceputul jocului, player-ul are o suma mica de bani cu care poate cumpara doar un pistol, dar pe masura ce termina mai multe misiuni primeste mai multi bani si isi poate cumpara diferite arme cum ar fi: AK47, M16, AWP, Shotgun, Grenade, Smoke Grenade, FlashBang, etc. Bineinteles ca daca va incalca anumite reguli va fi penalizat si i se vor retrage bani. Fiecare misiune trebuie dusa la capat intr-un anumit interval de timp, altfel jucatorul va fi penalizat si va trebui sa inceapa din nou acea misiune.

In figura 4 se pot vedea urmatoarele:

- **Health** sau sanatatea soldatului controlat de utilizator care in cazul nostru este 80 (coltul stanga-jos) si este reprezentata de o cruce rosie,
- **Kevlar & Helmet** sau armura soldatului, care este de 50 si este reprezentata de un scut albastru
- **Time Remaining** sau timpul ramas pentru a indeplini misiunea curenta (9 minute si 39 secunde), si este reprezentat de un ceas,
- **Weapon Clips** ne ofera informatii despre numarul de cartuse existent in incarcatorul armei (care este 10 in cazul nostru) si numarul de cartuse disponibile ramase (30),
- **Crosshair** sau tinta, situata in centrul imaginii si este de culoare albastra

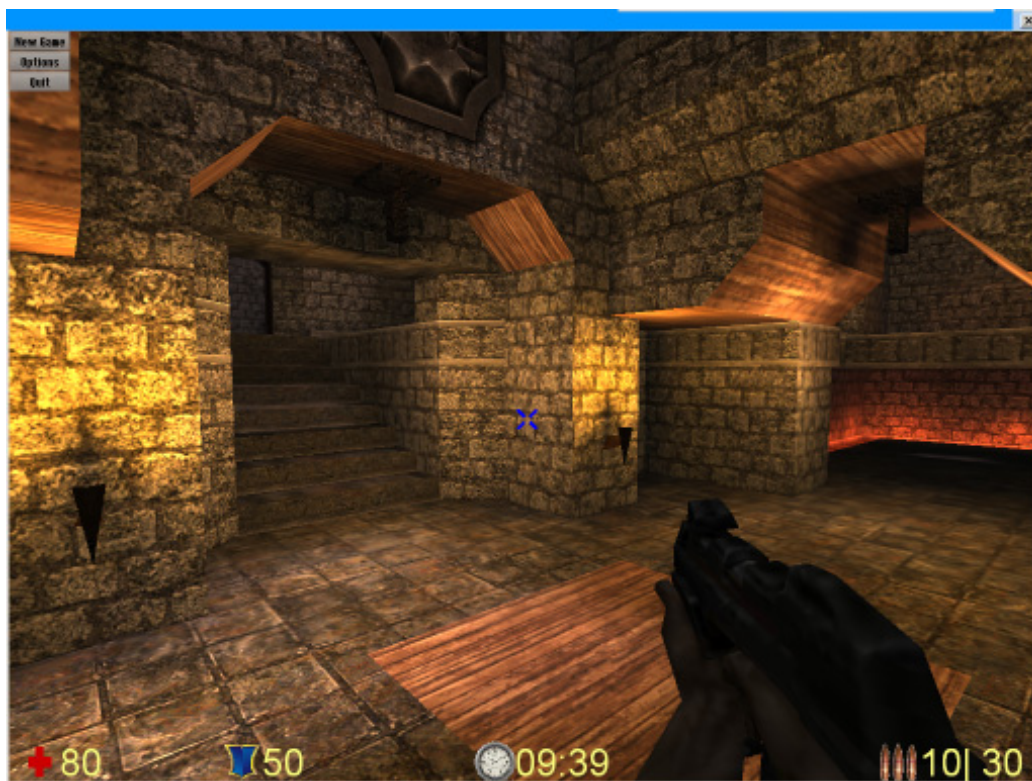


Fig. 4: Informatii utile jucatorului

Soldatii condusi de catre calculator (sau bot-i cum mai sunt numiti), au o inteligenta artificiala care difera de la o misiune la alta, sunt capabili sa navigheze in lumea tridimensionala, sa ridice obiecte de jos (arme de exemplu), sa il „vada” pe soldatul condus de catre utilizator, sa traga in acesta, sa se ascunda de el (dupa o lada, un stalp sau un perete), sau chiar sa fuga de el.

4 Inteligenta artificiala in AIcon

De departe, una dintre cele mai frumoase parti ale acestei aplicatii, atat ca carte de implementare, cat si ca grad de dificultate, deoarece cu cat un proiect este mai dificil de implementat cu atat este rezultatul obtinut mai frumos si apreciat. AIcon detine elemente de inteligenta artificiala in sensul ca soldatii stiu sa navigheze prin spatiul tridimensional fara sa se ciocneasca de peretii hartii sau alte obstacole, stiu sa „vada” obiectele existente intr-o harta (arme, alti soldati, lazi, etc.), sunt capabili sa schimbe o arma mai slaba cu una mai performanta, sa pazeasca un perimetru, sa traga dupa soldatul jucatorului, sa fuga de acesta, etc.

Pentru a „invata” un soldat sa navigheze prin lumea tridimensionala s-a apelat la un motor fizic, si anume Newton Dynamics, motor care ne ofera informatii despre coliziunile dintre obiecte (locul de intersectie a doua modele tridimensionale), sau rezolva, de exemplu aruncarea unei grenade (ciocnire, deviere, acceleratie gravitacionala). Pentru ca acest lucru sa fie posibil a trebuit ca fiecare mesh al fiecarui model tridimensional sa fie desfacut in triunghiuri si sa fie adaugat intr-o lume virtuala numita „lumea newton”. Deplasarea soldatilor pe harta se face random in sensul ca acestia isi aleg niste puncte in care doresc sa ajunga si se deplaseaza spre acele puncte, utilizatorul nefiind astfel capabil sa prevada ceea ce vrea sa faca „calculatorul”. Aceste puncte care se aleg la intamplare, trebuie sa nu intersecteze harta, adica sa nu treaca brusc prin pereti sau alte obstacole, altfel „calculatorul” ar intra prin pereti si ar aparea un efect ciudat. In acest sens,

cand „calculatorul” isi alege un punct spre care sa navigheze foloseste un „sonar”, adica duce niste linii imaginare inspre punctul ales si daca acele linii intersecteaza vreun plan, atunci punctul de destinatie pe care l-a ales initial se modifica pana cand devine un punct valid. Cand se intalnesc doi soldati, atunci cel din stanga are prioritate fata de cel din dreapta, ceea ce inseamna ca cel din dreapta trebuie sa astepte pana cand cel din stanga a plecat de langa el, dupa care isi poate continua drumul. In figura 5 sunt 3 soldati care se deplaseaza pe o portiune din harta, pe o raza de 15m fara sa se ciocneasca intre ei folosind „sonarul”. Se poate vedea ca doi dintre acesti soldati au o linie verde in fata lor ceea ce inseamna ca se pot deplasa pe traiectoria acelei linii deoarece aceasta nu intersecteaza niciun plan, pe cand soldatul din dreapta are o linie rosie, adica el se poate deplasa pe o distanta mai scurta, deoarece linia sa virtuala intersecteaza cladirea.

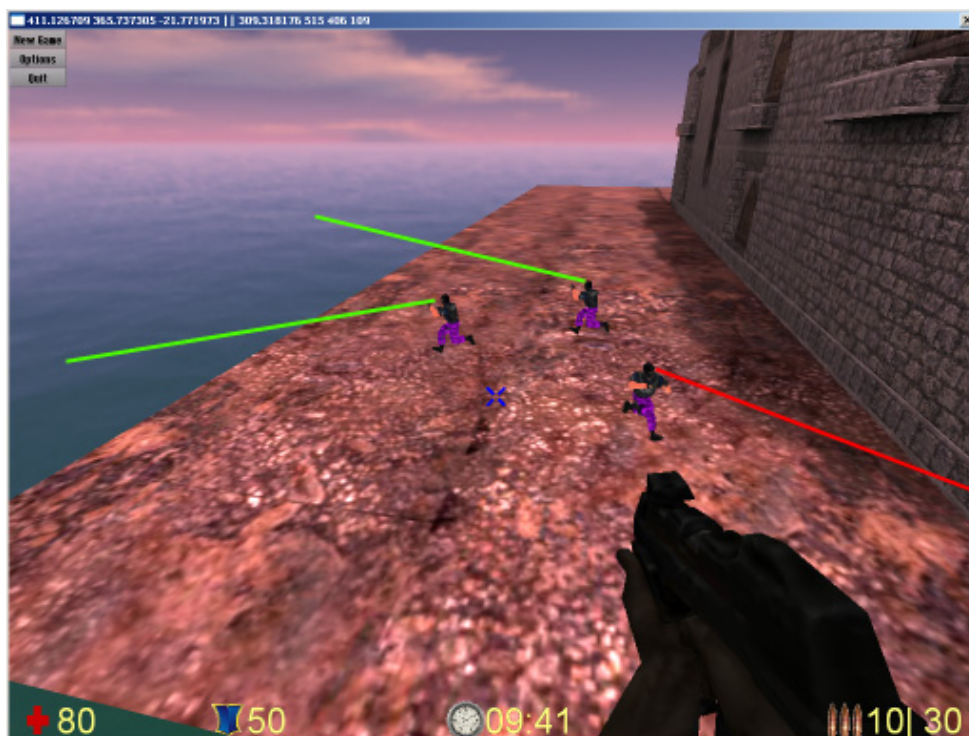


Fig. 5: Deplasarea soldatilor folosind „sonarul”

Bibliografie

- [1] BACIU, Rodica, *Programarea aplicatiilor grafice 3D cu OpenGL*, Editura Albastra, Cluj-Napoca, 2005.
- [2] HARBOUR, Jonathan S., *Programarea jocurilor in Visual Basic*, Editura Rosetii Educational, București, 2006.
- [3] <http://irrlicht.sourceforge.net/>
- [4] <http://www.ambiera.com/irrklang/>
- [5] <http://nehe.gamedev.net/>
- [6] <http://www.opengl.org/>

LUCIAN STOICA
 Universitatea „Lucian Blaga”, Sibiu
 Master Tehnologia Informatiei
 Str. Dr. I. Ratiu, Nr. 5-7
 ROMANIA
 E-mail: lucil5ian@gmail.com

Aplicație Android pentru Localizarea Persoanelor cu Ajutorul Google Maps

Monica STOICESCU

Coordonator: Asist. univ. Ing. Alexandru RADOVICI

Abstract

This paper presents an efficient way of keeping track of your friends using locating services and Google Maps on Android mobile devices.

1. Introducere

În prezent cu toții resimțim nevoia de comunicare cu cele mai apropiate persoane indiferent unde ne-am afla, iar știința vine în sprijinul nostru cu cele mai inovatoare tehnologii pentru a realiza acest lucru. Platforma Android pentru telefoane mobile, aflată în continuă dezvoltare în ultimii ani, pune la dispoziția utilizatorilor aceste competențe cu ajutorul claselor din pachetele *android.location* și *com.google.android.maps* din biblioteca externă Google Maps.

O modalitate rapidă și eficientă de a afla în orice moment unde se află o anumită persoană poate fi extrem de utilă și comodă întrucât se economisesc atât timp cât și resurse financiare și chiar stresul apelurilor telefonice.

Din ce în ce mai mult, oamenii vor accesa servicii bazate pe internet folosind mijloace așa-numite "netradiționale" cum ar fi dispozitivele mobile.

Android este platforma pentru dispozitive mobile dezvoltată de Google. Sistemul de operare este Linux.

Programarea Android se realizează folosind sintaxa Java, plus o bibliotecă de clase care formează o submulțime a bibliotecii Java SE, plus extensii specifice Android. Codul Java compilat - împreună cu orice alte date sau resurse necesare aplicației - constituie un pachet, o arhivă cu extensia .apk. Sub această formă este distribuită și instalată pe telefoane.

Componentele unei aplicații:

- *activități* – interfețe similare ferestrelor. O aplicație poate conține una sau mai multe activități independente, fiecare reprezentând o subclasă a clasei Activity. Conținutul vizual este reprezentat de obiecte ale clasei View grupate în containere;

- *servicii* – nu au o interfață ci rulează în background pentru o perioadă nedeterminată de timp;

- *receptori* – primesc și reacționează la anunțuri; extind clasa BroadcastReceiver;

- *baze de conținut* – creează un set de date valabile altor aplicații;

- *intenții* – obiecte ale clasei Intent.

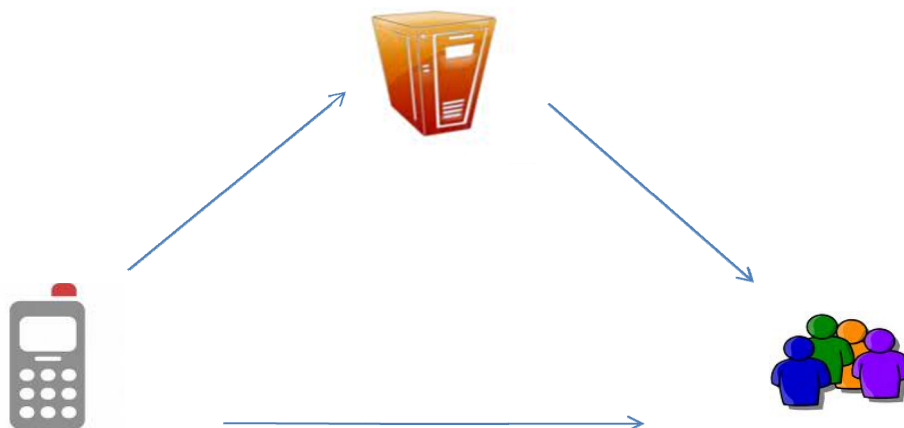
Android vine cu un număr de caracteristici care ajută la dezvoltarea aplicațiilor:

- stocare
- rețea
- multimedia
- servicii de localizare
- servicii de telefonie

2. Mod de funcționare

Aplicația propusă creează o listă a persoanelor care interesează pe utilizator, iar localizarea lor se realizează în timp real. Datele fiecărui utilizator sunt preluate dintr-un server.

Lista este creată chiar de la pornirea aplicației, afișând persoanele aflate în acel moment într-o anumită rază (de exemplu toți cei care se află la maxim 100 km depărtare), dispuse în ordinea crescătoare a distanței. Alături de nume și distanță, un element al listei mai conține o poză și un status pentru a primi informații mai exacte cu privire la locul în care se află și activitatea pe care o desfășoară persoana respectivă. Această activitate poartă numele de *FriendsList* și extinde clasa *ListActivity*. Din aceasta, printr-o opțiune a meniului se poate trece la vizualizarea unei hărți propriuzise (*MapActivity*), în care se poate vedea exact poziția fiecărei persoane.



2.1 ListActivity

ListActivity este o activitate care afișează o listă de elemente prin conectarea la o sursă de date. Componenta sa principală este *ListView*, iar interfața este creată într-un fișier XML.

ListView este una dintre cele mai importante componente ale unei aplicații, pur și simplu pentru că este foarte des utilizată.

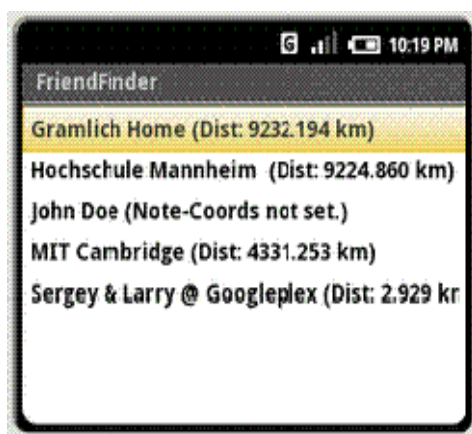
În cazul de față *FriendsList* este o subclasă a *ListActivity*, iar fiecare element al listei reprezintă un obiect de tip *Friend*. Metode utilizate sunt *refreshFriendsList()*, apelată la pornirea aplicației;

`updateList()`, actualizează distanțele la un anumit interval de timp sau la o anumită distanță parcursă și `setupForGPSAutoRefreshing()`.

Unele dintre cele mai populare caracteristici ale dispozitivelor mobile în ziua de astăzi sunt serviciile de localizare. Dispozitivele Android pot avea acces la mai multe mijloace de determinare a poziției, dintre care unele pot fi mai precise decât altele. Unele pot fi accesate gratuit, în timp ce altele vor avea un cost asociat; unele pot transmite mai mult decât poziția curentă (ex. altitudinea sau viteza de deplasare). Astfel toate aceste servicii sunt grupate într-un set de obiecte de tip *LocationProvider*.

Componenta centrală a structurii de localizare este serviciul *LocationManager* care furnizează un API (Application Programming Interface) pentru determinarea poziției. Prin apelarea `getSystemService(Context.LOCATION_SERVICE)` se returnează calea spre o nouă instanță *LocationManager*. Odată realizat acest lucru, aplicația va fi capabilă de următoarele lucruri:

- Interogare pentru lista tuturor instanțelor de tip *LocationProvider* cunoscute de *LocationManager* la ultima sa localizare;
- Înregistrare pentru update-uri periodice ale poziției curente de la un *LocationProvider* (specificat prin criteriu sau nume);
- Înregistrare pentru lansarea unei intenții în cazul în care dispozitivul se află într-o anumită rază dată (în metri).



(model)

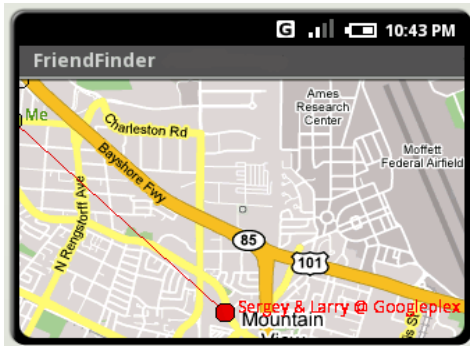
2.2 MapActivity

Un alt serviciu extrem de des utilizat este Google Maps, integrat și de Android. Pentru implementarea unei hărți este nevoie de o activitate de tip *MapActivity* și de o componentă de tip *MapView* (subclasă a clasei *ViewGroup*, care afișează o hartă cu date obținute prin serviciul Google Maps).

Google furnizează biblioteca externă Maps ce conține pachetul *com.google.android.maps*, oferind o varietate de opțiuni de afișare și control. Clasele principale din acest pachet sunt:

- *MapView*;
- *MapController* - oferă toate elementele de interfață necesare pentru controlul utilizatorului (în special zoom-ul);
- *Overlay* – elementele grafice suprapuse peste hartă.

Metodele sunt similare cu cele din *FriendsList*, întrucât diferă doar modul de transmitere a datelor către utilizator.



3. Concluzii și dezvoltări ulterioare

Având în vedere creșterea continuă a numărului de utilizatori Android, am gândit această aplicație pentru a ușura modul de a lua legătura cu prietenii ce folosesc aceeași tehnologie. Avantajele acestui soft:

- Usor de folosit
- Comod
- Eficient
- Furnizează date în timp real
- Grad mare de securitate
- Open-source

Aplicația constă într-o listă în care fiecare element reprezintă o instanță a clasei Friend (nume, distanță, status, imagine) și o hartă.

Lista este creată și afișată de la pornirea aplicației și realizează un update la un anumit interval de timp scurs sau la o anumită distanță parcursă de către una dintre persoanele din listă.

Harta arată poziția utilizatorului, precum și cea a prietenilor aflați în apropiere.

Trecerea dintre cele două activități se face printr-o comandă din meniu.

Datele persoanelor din listă sunt preluate dintr-un server. De asemenea fiecare are posibilitatea de a alege să nu fie localizat, neîncalcându-se astfel dreptul la intimitate (se rezolvă problemele de securitate).

Cautăm încă cel mai eficient mod de preluare a datelor din server.

Bibliografie

- [1] Mark MURPHY, *Beginning Android*, Apress, 2009
- [2] Android Developer's Guide
<http://developer.android.com/guide/index.html>
- [3] Android Reference
<http://developer.android.com/reference/packages.html>
- [4] Cursul de Programarea Dispozitivelor Mobile din cadrul FILS, UPB

MONICA STOICESCU
Universitatea Politehnica Bucuresti
Facultatea de Inginerie in Limbi Straine
Splaiul Independenței 313 Bucuresti
ROMANIA
monica.stoicescu00@gmail.com

Maya number converter

Zoltan Tamasi, Zsigmond-Attila Szasz
Coordonator: Lector Dr. Anca Vasilescu

Abstract

The Maya Converter is a Java application that transforms the decimal mathematical system into an vigesimal system (each placeholder has a possible twenty digits [0 - 19]), system used by the Maya civilisation to perform calculations. The application also calculates the sum of two numbers, explaining in detail the operation. The numbers can be entered from the keyboard or from the buttons on the applications interface trough event listeners, and the detailed operations and the result are displayed on the panels adequate for each operation. This way, the application explain how the Maya civilization developed their culture.

Keywords: Maya, Java, converter, mathematical system, GUI

1 Introducere

1.1 Scurt istoric al matematicii si al metodelor de calcul

Istoria matematicii nu are un inceput clar definit, insa aparitia acesteia este strans legata de evolutia omului. Este posibil ca oamenii sa-si fi dezvoltat anumite abilitati matematice inca inainte de aparitia scrierii.

Din momentul in care omul a fost capabil sa foloseasca si sa inteleaga notiuni abstracte, dar si datorita dezvoltarii relatiilor interumane si intertribale si, nu in ultimul rand, a primelor sisteme de scris (insemnarile facute pe peretii pesterilor sub forma unor imagini care exprimau, atat trairi in taramul real, dar si in cel oniric si, din ce in ce mai mult, pe taramul ideilor), a aparut nevoia de „numar”.

Numarul este una dintre cele mai simple notiuni abstracte; este abstracta deoarece un numar nu poate fi relevat de un obiect material; exista numai semne conventionale care il exprima. Relatiile comerciale s-au dezvoltat odata cu evolutia spiritului uman; in acelasi timp, numarul a inceput sa fie din ce in ce mai prezent in viata oamenilor si, in cele din urma, indispensabil unei existente umane asa cum am inceput s-o constientizam ca omenire in urma cu 5.000 de ani, de cand dateaza urmele primelor state care au aparut in lume.

De asemenea, au aparut operatiile: adunarea, scaderea, inmultirea si, in cele din urma, impartirea, care a pus probleme oamenilor invatati pana in timpul Renasterii, cand s-a dezvoltat metoda moderna de impartire, numita metoda sahului, deoarece a fost inspirata de unele miscari pe tabla de sahu. Unele din primele descoperiri matematice tin de extragerea radacinii patrata, a radacinii cubice, rezolvarea unor ecuatii polinomiale, trigonometrie, fractii, aritmetica numerelor naturale, etc. Acestea au aparut

in cadrul civilizatiilor akkadiene, babiloniene, egiptene, chineze, maiase si civilizatiile de pe valea Indului.

1.2 Civilizatia Maya

Trimis din Teotihuacan, marele oras de la vest, in anul 378 d.Hr., comandantul de trupe S-a Nascut Foc a fondat noi dinastii, care au adus o splendoare fara pereche lumii maya.

Maya au fost intotdeauna o enigma. Cu cateva decenii in urma, gloria oraselor lor ruinate, precum si scrierea lor frumoasa, dar nedescifrata facusera ca multi cercetatori sa-si imagineze o societate pasnica de scribi si preoti. Cand epigrafistii au reusit, in cele din urma, sa descifreze basoreliefurile maya, a reiesit o imagine mai intunecata, a unor dinastii razboinice, a rivalitatilor intre curtile regale, a unor palate arse din temelii. Istoria maya a devenit o fresca cu date precise si personaje puternic conturate.

Dar au ramas mistere profunde, printre care ce anume a determinat saltul final al civilizatiei maya catre maretie? Cam in perioada in care renumele lui S-a Nascut Foc lua proportii, un val de schimbari a traversat lumea maya. Ceea ce fusese o adunatura de orase izolation.

Similar cu alte civilizatii mesoamericane, maiasii au folosit sistemul de numerotare in baza 20 (vigesimal) si in baza 5. De asemenea, maiasii preclasici si vecinii lor au dezvoltat in mod independent conceptul de numar zero undeva in jurul anului 36 i.Hr..

Inscriptiile arata ca maiasii lucrau cu numere de pana la sute de milioane si date atat de mari incat era nevoie de mai multe linii doar pentru a le reprezenta. Ei au facut observatii astronomice extrem de precise; calculele lor privind miscarile Lunii si planetelor sunt egale sau superioare oricarei altei civilizatii care a folosit metoda de observare cu ochiul liber.

1.3 Scopul lucrarii

Aceasta lucrare se doreste a fi un instrument didactic prin ilustrarea unei metode de calcul folosita in epoca veche.

Programul ne poate ajuta sa intelegem modul de gandire a maiasilor, dar si sa comparam operatia de adunare folosita de maiasi si adunarea obisnuita in baza 10.

2 Realizarea programului

2.1 Limbajul de programare

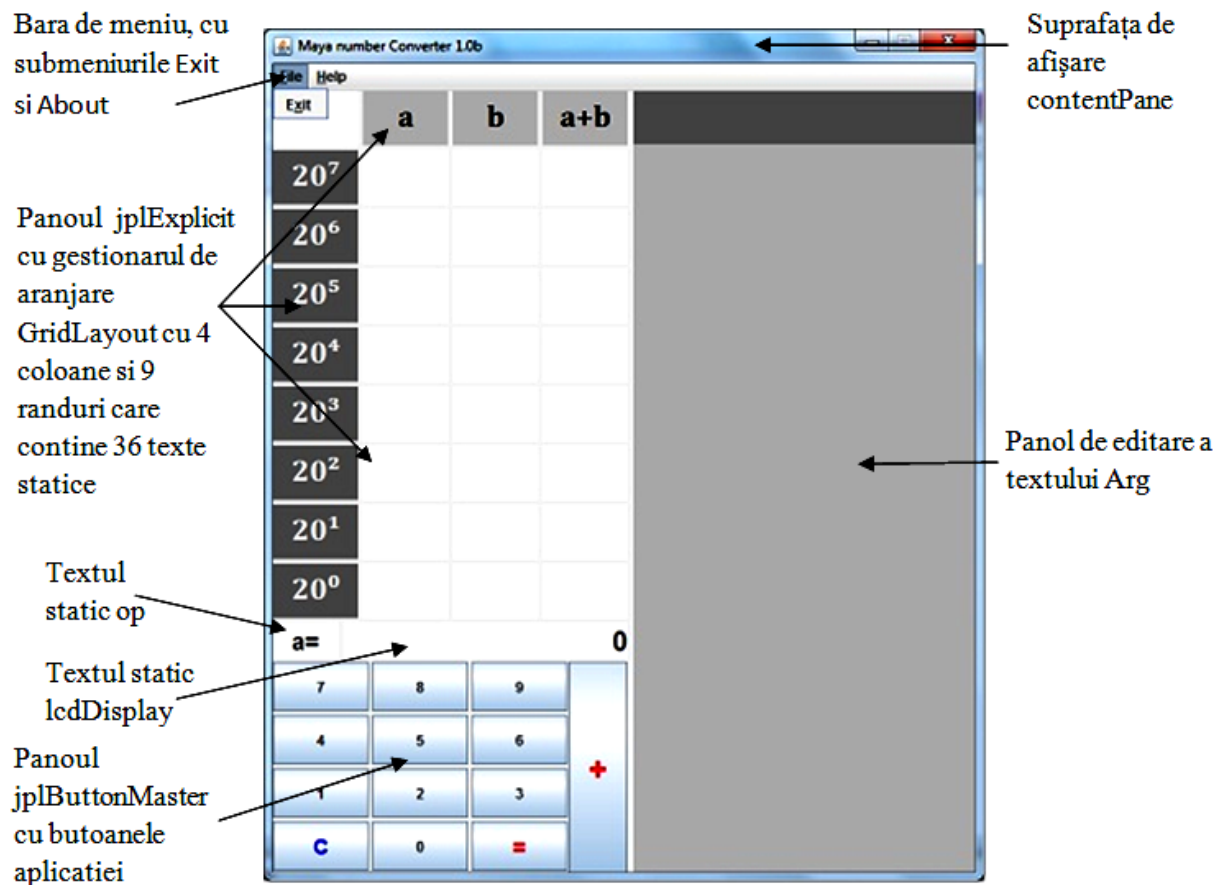
Pentru realizarea programului am folosit limbajul de programare Java, deoarece este o tehnologie care se aseamana cu limbajele C, C++ si Pascal, insa ofera posibilitatea crearii unor aplicatii mai complexe. Java este in acelasi timp un limbaj obiect orientat si unul care ofera suport pentru interfetele grafice. Totodata este un limbaj modern, gratuit, si open source, folosit des pentru crearea aplicatii desktop.

Ca si editor Java am ales Eclipse, pentru ca este usor de folosit chiar si de catre un programator fara experienta in programarea Java, ajutand mult la interpretarea erorilor si la folosirea corecta a functiilor si claselor Java.

2.2 Elementele vizuale

Pentru crearea interfetei vizuale am folosit componentele grafice Java apartinand bibliotecilor de clase AWT si *Swing*. Suprafata de afisare (containerul), meniul, panourile, butoanele si textele statice

(labelurile) al aplicatiei sunt din biblioteca Swing iar gestionarele de pozitionare (layout manager) sunt din biblioteca AWT. Figura de mai jos ilustreaza concret componentele folosite:



2.3 Algoritmul programului

Algoritmul programului realizeaza conversia unui numar zecimal (baza 10) intr-un numar vigesimal (baza 20), atasarea numarului rezultat simboluri folosite de maiasi, respectiv afisarea simbolurilor pe suprafete coraspuzatoare.

Astfel functiile fiecarei sectiuni ai algoritmului arata in felul urmator:

Conversia:

```
void numar(int x,int i,int k)
{
    if((k==0)&&(x==0))
        num[i][0]=0;
    else if(x!=0)
    {
        num[i][k]=x%20;
        numar(x/20,i,k+1);
    }
}
```

Adunarea:

```
int[] transport=new int[10];
```

```

void tr0()
{
    int i;
    for(i=0;i<10;i++)
        transport[i]=0;
}

void adunare(int k)
{
    if(k==0)
        tr0();
    if((num[0][k]>=0)||((num[1][k]>=0))
        {if((num[0][k]>=0)&&(num[1][k]>=0))
            {
                num[2][k]=(num[0][k]+num[1][k]+transport[k])%20;
                transport[k+1]=(num[0][k]+num[1][k]+transport[k])/20;
                adunare(k+1);
            }
            else
            {
                num[2][k]=num[0][k]+num[1][k]+transport[k]+1;
                adunare(k+1);
            }
        }
    else
        if(transport[k]>0)
        {
            num[2][k]=num[0][k]+num[1][k]+transport[k]+2;
            adunare(k+1);
        }
}

```

Afisarea:

```

Imagelcon desen(int i)
{Imagelcon q;
    switch(i)
    {case 0: q=zero; break;
     case 1: q=unu; break;
     case 2: q=doi; break;
     case 3: q=trei; break;
     case 4: q=patru; break;
     case 5: q=cinci; break;
     case 6: q=sase; break;
     case 7: q=sapte; break;
     case 8: q=opt; break;
     case 9: q=noua; break;
     case 10: q=zece; break;
     case 11: q=unspe; break;
     case 12: q=doispe; break;
     case 13: q=treispe; break;
     case 14: q=paispe; break;
     case 15: q=cinspe; break;
     case 16: q=saispe; break;
     case 17: q=saptispe; break;
     case 18: q=optispe; break;
     case 19: q=nouaspe; break;
     default: q=zero;
    }
    return(q);
}

```



```

JLabel celula(int i,int j)
{
    JLabel q=new JLabel(" ", JLabel.CENTER);
    if(i==0)
        switch(j)
        {
            case 0: q=niv01; break;
            case 1: q=niv11; break;
            case 2: q=niv21; break;
            case 3: q=niv31; break;
            case 4: q=niv41; break;
            case 5: q=niv51; break;
            case 6: q=niv61; break;
            case 7: q=niv71; break;

        }
    if(i==1)
        switch(j)
        {
            case 0: q=niv02; break;
            case 1: q=niv12; break;
            case 2: q=niv22; break;
            case 3: q=niv32; break;
            case 4: q=niv42; break;
            case 5: q=niv52; break;
            case 6: q=niv62; break;
            case 7: q=niv72; break;

        }
    if(i==2)
        switch(j)
        {
            case 0: q=niv03; break;
            case 1: q=niv13; break;
            case 2: q=niv23; break;
            case 3: q=niv33; break;
            case 4: q=niv43; break;
            case 5: q=niv53; break;
            case 6: q=niv63; break;
            case 7: q=niv73; break;

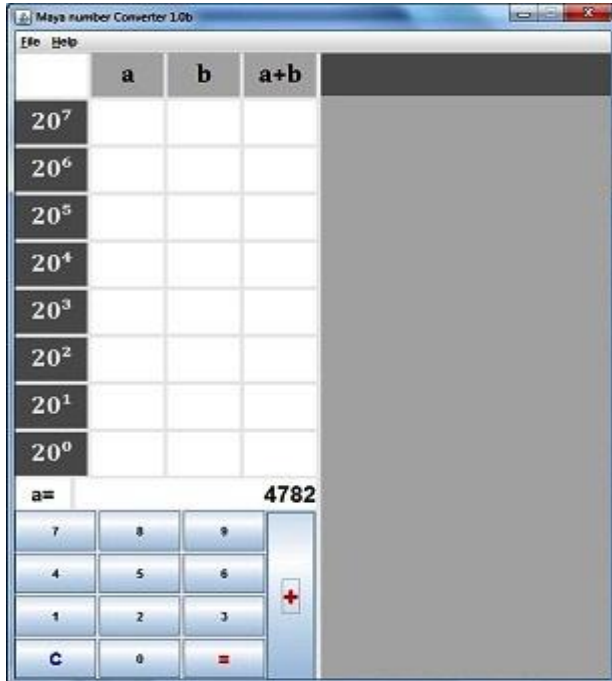
        }
    return(q);
}

void afis(int i)
{
    int j;
    for(j=0;j<8;j++)
        if(num[i][j]>=0)
            celula(i,j).setIcon(desen(num[i][j]));
}

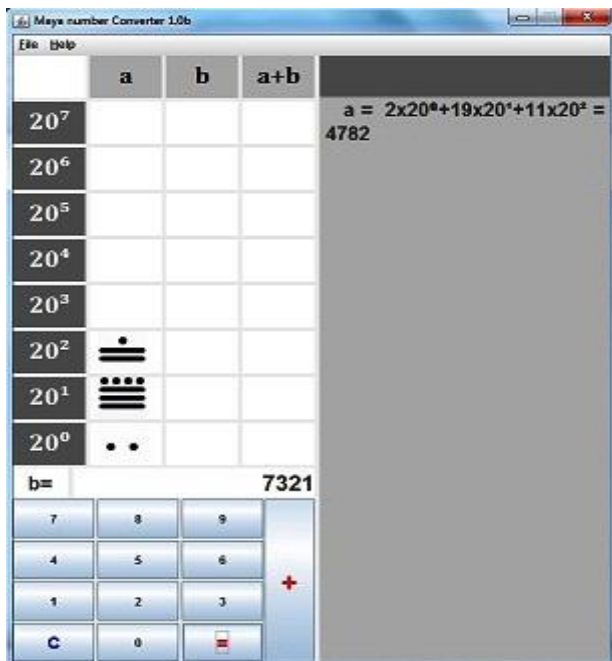
```

2.4 Utilizarea aplicatiei

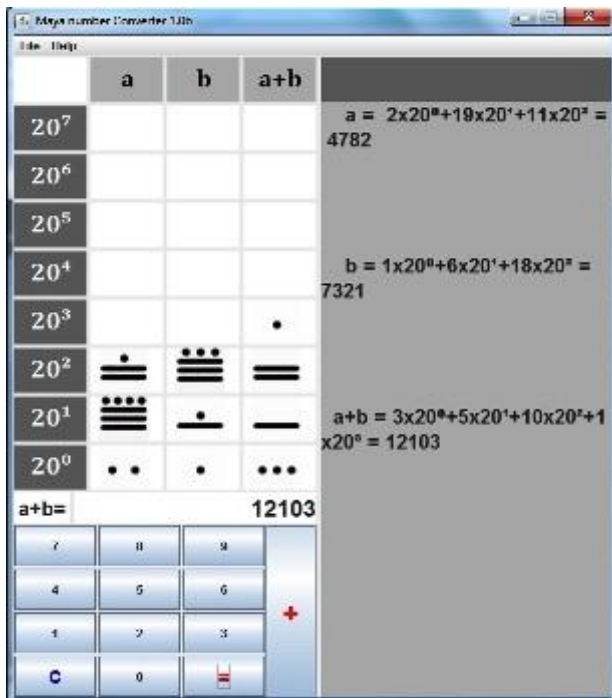
Prima data introducem numarul intreg a:



Apasam butonul „+”, numarul a este convertit in numar maya si afisat pe panoul din stanga, iar explicit pe panoul din dreapta:



Apasam ENTER sau butonul „=” , iar rezultatul adunarii impreuna cu numarul b apar si pe panoul de explicatie (dreapta), si pe panoul maya (stanga):



3 Concluzie

Acest program se poate dezvolta sa ilustreze nu numai simbolurile si modul de calcul al civilizatiei maiase ci si ai altor civilizatii in acelasi timp, ajutand astfel sa comparam mai multe civilizatii din punct de vedere al utilizarii notiunilor „numar” respectiv „adunare”.

4 Bibliografie

- [1] E. Ciurcea si C. Luca *Algoritmi si Programare Java*. Editura Albastra, 2008
- [2] Roger Cadenhead *Teach Yourself Java 2 in 24 hours*. Sams Publishing, Editia a doua, 2001
- [3] <http://java.sun.com/docs/books/tutorial/>
- [4] <http://java.sun.com/>
- [5] <http://www.eclipse.org/>
- [6] <http://www.wikipedia.com/>

TAMASI ZOLTAN
 Universitatea Transilvania Brasov
 Facultatea de Matematica-Informatica
 Specializarea: Informatica
 Iuliu Maniu 50, Brasov
 ROMANIA
 zoltan.tamasi@xu.unitbv.ro

SZASZ ZSIGMOND-ATTILA
 Universitatea Transilvania Brasov
 Facultatea de Matematica-Informatica
 Specializarea: Informatica
 Iuliu Maniu 50, Brasov
 ROMANIA
 zsigmond.szasz@xu.unitbv.ro

Sistem de recomandări bazat pe extragerea regulilor de asociere

Claudia Vîrnă
Îndrumător Lect. Dr. Lucian Sasu

Abstract

Thanks to their ability in improving sales, recommender systems have become very popular nowadays. As a result many efforts are made to improve the performance of existing algorithms. One of the most used techniques in this area is the collaborative filtering method, which is based on the idea that a user receives personalized recommendations according to his or hers previously expressed preferences and to the preferences of similar users. In this article, we propose a new approach to an association rule mining algorithm, which belongs to the class of collaborative filtering techniques: the popular Apriori algorithm. The main drawback of the original Apriori algorithm is the fact that the user must specify two critical values that have a major impact on the evolution of the algorithm: the minimum support and the minimum confidence. Consequently, in this paper we provide a solution to this problem. Moreover, we suggest a new method that extends the initial usage of the algorithm, by making predictions of the ratings a user may give. One of the benefits of this technique is the improvement of the algorithm's evaluation. The experimental results show that the new algorithm gives better results than similar approaches.

Cuvinte cheie: sisteme de recomandări, reguli de asociere, suport minim, rating

1 Introducere

Într-o epocă a vitezei, precum cea în care trăim, este imposibil să nu fim zilnic copleșiți de numărul mare de decizii ce trebuiesc luate. Astfel, și deciziile cele mai banale devin dificile dacă avem în vedere cantitatea mare de date ce ne bombardează permanent. Prin urmare, orice mic ajutor este bine venit. Aici intervin sistemele de recomandări, care ne fac viața mult mai ușoară atunci când vine vorba despre alegerea unei opțiuni dintre mii de astfel de variante. Un exemplu în acest sens ar fi chiar cumpărarea unei cărți de pe un site specializat ca și amazon.com, unde există nenumărate posibilități de selecție. Interesul larg arătat domeniului recomandărilor este dovedit și de relativ recenta competiție Netflix Prize [1], care a avut ca scop determinarea celui mai potrivit algoritm pentru a prezice rating-uri (note) de filme, dându-se rating-uri exprimate de către alți clienți. Scopul a fost obținerea unui algoritm care să întrecă cu 10% algoritmul Cinematch al companiei Netflix. Premiul acordat reflectă fără dubiu gradul de interes economic: 1 milion de dolari.

Datorită procesului rapid de dezvoltare a tehnologiei, aceste sisteme de recomandări au cunoscut și ele o evoluție semnificativă de-a lungul ultimilor ani, extinzându-se trei tipuri majore de astfel de sisteme[2]:

1. Sisteme bazate pe conținut (content-based systems)
2. Sisteme bazate pe cunoștințe (knowledge-based systems)
3. Sisteme bazate pe inteligența colectivă / filtrare colaborativă (collaborative filtering systems)

Sistemele de recomandări bazate pe conținut stabilesc un profil al utilizatorului analizând anumite caracteristici ale articolelor preferate de acesta. În mod similar, sistemele bazate pe cunoștințe iau în considerare date referitoare atât la utilizator, cât și la produsele achiziționate de acesta, oferind, pe baza unei analize, anumite recomandări.

Spre deosebire de cele două situații prezentate anterior, sistemele bazate pe inteligența colectivă folosesc doar lista preferințelor utilizatorilor. Prin urmare, au ca și principal avantaj faptul că nu necesită informații suplimentare, ce reprezintă un aspect critic pentru primele două abordări. Astfel, prin necesitatea de a obține numeroase informații, primele două tipuri de sisteme de recomandări cer utilizatorului completarea anumitor date, a căror corectitudine este imposibil de verificat. În plus, ignorând informațiile referitoare la caracteristicile articolelor, recomandările furnizate țin cont mai mult de gusturile utilizatorului, decât de dependențele dintre obiecte. Acest lucru înseamnă că folosind astfel de sisteme se pot recomanda articole care să nu fie similare, dar care totuși să fie pe placul utilizatorului, ceea ce nu se întâmplă în cazul sistemelor precizate anterior [3].

În această lucrare atenția cade asupra sistemelor de recomandări bazate pe inteligența colectivă. În continuare vom face o scurtă prezentare a celor mai folosite tehnici din acest domeniu. Apoi va fi descris un algoritmul care a fost implementat într-o aplicație web ce permite unui utilizator care a dat anterior niște rating-uri să vizualizeze alte filme, în ordinea descrescătoare a rating-urilor estimate de către algoritm.

1.1 Rezultate similare

1.1.1 k-Nearest Neighbor (k-NN)

Această metodă este des întâlnită în sistemele de recomandări de tipul CF, constând din trei pași de baza: calculul similarităților dintre utilizatori, selecția “vecinilor” și calculul predicției.

Determinarea similarităților necesită parcurgerea întregii baze de date și compararea utilizatorului pentru care se dorește a se oferi recomandări cu toți ceilalți utilizatori. Similaritățile dintre aceștia se obțin din rating-urile pe care utilizatorii le dau pentru articolele comune, folosind metrici precum corelația Pearson sau distanța Euclidiană [4], [5].

În funcție de tipul de problemă și de cantitatea de date se preferă să se folosească filtrarea datelor după articolele favorite ale utilizatorilor în locul filtrării după utilizatori [4].

Deși algoritmul este simplu din punct de vedere conceptual, există câteva dezavantaje, cel mai important fiind legat chiar de formula prin care se realizează predicțiile. Astfel, deși doi utilizatori au preferințe similare, acestea pot să nu fie corelate. În plus, se cunoaște faptul că metodele locale suferă de “blestemul dimensionalității”, adică necesarul de date pentru construirea unor estimatori crește exponențial cu numărul de dimensiuni [6], [7]. Problemele ce apar frecvent în momentul utilizării acestei metode sunt tratate pe larg în [8].

1.1.2 Extragerea regulilor de asociere (ARM - Association Rule Mining)

Extragerea regulilor de asociere este o abordare care are ca și scop descoperirea unor relații interesante între articole, prin găsirea acelor articole care apar frecvent în aceleași tranzacții. Aplicați sistemelor de recomandări, algoritmi de tip ARM pot genera recomandări după ce aceste reguli între articole sau între utilizatori au fost descoperite. În literatura de specialitate există numeroși algoritmi de extragere a regulilor de asociere, însă numai o parte pot fi utilizați în cadrul sistemelor de recomandări. Printre aceștia se află și algoritmul Apriori și numeroasele sale versiuni, cum ar fi MAR [9], ASARM [10] și FARAMS [11].

În anul 2003, Kim a propus o nouă variantă a algoritmului Apriori, și anume algoritmul MAR (Multi-level Association Rules) [9], care aplică metoda de extragere a regulilor de asociere, atât asupra articolelor, cât și asupra categoriilor din care acestea fac parte.

Algoritmul prezentat de Alvarez și Lin, ASARM (Adaptive Support Association Rule Mining) [10], găsește pe rând regulile pentru fiecare articol și ajustează suportul minim pe baza unui număr de reguli specificat de utilizator.

O altă versiune a lui Apriori este algoritmul FARAMS [11], care combină cele două metode prezentate anterior, folosind în plus și logica fuzzy pentru determinarea regulilor.

1.2 Elemente de originalitate

Scopul acestei lucrări este de a prezenta o versiune îmbunătățită a algoritmului Apriori, algoritmul construit pornind de la paradigma regulilor de asociere, introdusă de Agrawal [12].

Principalele caracteristici ale metodei propuse sunt următoarele:

1. Modelul de extragere a regulilor de asociere are la bază două valori prag esențiale pentru evaluarea asocierilor exprimate prin intermediul regulilor: *gradul de încredere*, care măsoară nivelul de corelare dintre articolele prezente în cadrul regulii și *suportul*, care determină importanța unei astfel de corelări. Găsirea regulilor de asociere se reduce la găsirea regulilor care au suportul și gradul de încredere mai mari decât două constante: *minsup* și respectiv *minconf*. Majoritatea algoritmilor ce implementează extragerea regulilor de asociere lasă utilizatorului sarcina de a fixa valorile pentru *minconf* și *minsup*. Însă acest lucru este greu de realizat deoarece prin specificarea unei valori mari pentru suportul minim se evită explozia numărului de reguli obținute, dar se pot pierde reguli interesante care au suportul mai mic. În cele ce urmează se va prezenta o metodă prin care suportul minim va fi specificat automat, fără intervenția utilizatorului.
2. Algoritmul Apriori, de la care s-a plecat, nu permite predicția unui rating pentru articolele recomandate utilizatorilor, fapt pentru care nu se poate face o comparare corectă a rezultatelor obținute. Din această cauză, am considerat necesară introducerea unei astfel de predicții, care este folosită și pentru micșorarea numărului de reguli rezultate. Metoda sugerată are la bază determinarea regulilor pentru care antecedentul se găsește în lista rating-urilor utilizatorului. Pornind de la aceste reguli se obțin valori pentru rating-urile articolelor recomandate folosind regresia liniară cu metoda celor mai mici pătrate și rating-urile date de utilizator pentru articolele din antecedentul regulilor.
3. Algoritmul Apriori, în varianta originală, este prohibitiv din punct de vedere computațional, deoarece poate ajunge să genereze reguli cu un număr mare de elemente, reguli care în cazul sistemelor de recomandări nu își au rostul. De aceea prin limitarea numărului de elemente ale unei reguli se reduce complexitatea algoritmului, rezultatele obținute fiind suficiente pentru a recomanda utilizatorilor articolele potrivite.

1.3 Structura lucrării

Lucrarea este împărțită astfel: în secțiunea 2 este introdusă problema extragerii regulilor de asociere, fiind prezentate noțiunile referitoare la această problemă și pașii urmați în cadrul algoritmului Apriori clasic, apoi în secțiunea 3 este prezentat algoritmul modificat — rezultatul principal al acestei lucrări — cu precizările de rigoare. În secțiunea 4 sunt prezentate rezultatele experimentale obținute prin compararea algoritmului introdus cu alții similari, iar în secțiunea 5 sunt prezentate concluziile.

2 Extragerea regulilor de asociere

2.1 Noțiuni specifice

În această secțiune sunt prezentate noțiunile care stau la baza construcției algoritmului Apriori. O prezentare detaliată poate fi găsită în [12], [13].

Fie I o mulțime de articole și D o mulțime de tranzacții, în care fiecare tranzacție t reprezintă o submulțime de articole $t \subseteq I$. O tranzacție t conține mulțimea de articole X din I dacă $X \subset t$. O regulă de asociere este o implicație de forma $X \Rightarrow Y$, unde $X \subset I$, $Y \subset I$ și $X \cap Y = \emptyset$. În acest caz X se numește antecedentul, iar Y este consecventul regulii.

Suportul unei reguli de această formă reprezintă procentul de tranzacții din D care conțin atât X cât și Y , în timp ce gradul de încredere este definit ca și procentul de tranzacții ce îl conțin pe Y , dintre tranzacțiile care îl conțin pe X .

Problema tradițională de extragere a regulilor de asociere este definită astfel: fiind dată o mulțime de tranzacții și valori pentru suportul minim și gradul de încredere minim, să se găsească toate regulile de asociere pentru care suportul și gradul de încredere depășesc valorile specificate de utilizator.

Pornind de la această definiție algoritmul Apriori parcurge următorii pași:

1. Se găsesc toate combinațiile de articole pentru care suportul depășește valoarea specificată de utilizator, folosindu-se proprietatea conform căreia dacă o mulțime de articole Y este frecventă, atunci și toate submulțimile sale sunt tot frecvente.
2. Se generează reguli pe baza mulțimilor frecvente obținute la pasul anterior și se păstrează regulile pentru care constrângerea referitoare la gradul de încredere este respectată.

Cu toate că modul de definire al problemei este potrivit pentru analiza coșului de cumpărături [14], în cazul sistemelor de recomandări nu se poate spune același lucru.

2.2 Eliminarea pragului minsup

Una dintre problemele majore ale algoritmului Apriori este, după cum specifică Lin și Alvarez în [10], faptul că utilizatorul trebuie să precizeze anterior valori pentru *minsup* și *minconf*, valori care depind exclusiv de setul de date avut la dispoziție. Astfel, se pot obține fie prea multe, fie prea puține reguli, singura cale de a ajunge la rezultate potrivite fiind cea empirică, bazată pe încercări repetate cu diferite valori ale acestor parametri.

O posibilă soluție a acestei probleme a fost oferită de către Leung, Chan și Chung în [11], în care se sugerează ajustarea dinamică a valorii suportului minim, plecând de la o altă constantă furnizată de utilizator, și anume numărul de reguli rezultate.

Însă și de data aceasta rămâne la latitudinea utilizatorului să stabilească valoarea potrivită pentru această constantă, ceea ce nu este foarte ușor de realizat, mai ales în cazul sistemelor de recomandări.

O altă variantă este cea prezentată de Wen-Yang Lin în [15], în care extragerea regulilor se face fără a fi nevoie ca utilizatorul să specifice valoarea pentru *minsup*. Pentru a realiza acest lucru se fixează un alt prag, care se obține direct din setul de date și care pornește de la noțiunea de suport minim per articol. Vom prezenta această abordare întrucât algoritmul pe care îl vom introduce folosește noțiunile ilustrate în [15]. Trebuie totuși punctat faptul că algoritmul original din [15] nu oferă rezultate suficient de bune în cazul sistemelor de recomandări.

Pentru a elimina pragul *minsup*, în locul căutării mulțimilor de articole care satisfac constrângerea specifică suportului, se introduce o nouă constrângere referitoare la *diferența de nivel*, despre care vom vorbi în continuare. Prin urmare, apar următoarele definiții și notații preluate din [15]:

Definiție 1 Fie $ms(a)$ suportul minim al unui articol a din I . O mulțime de articole $A = \{a_1, \dots, a_k\}$, cu $a_i \in I$, este frecventă dacă suportul lui A verifică următoarea condiție:

$$sup(A) \geq \min_{a_i \in A} sup(a_i)$$

Definiție 2 O regulă de asociere de forma $A \Rightarrow B$ este puternică dacă

$$sup(A \Rightarrow B) \geq \min_{a_i \in A \cup B} sup(a_i)$$

și

$$conf(A \Rightarrow B) \geq minconf$$

După cum am anticipat se utilizează în definirea noii constrângeri noțiunea de diferența de nivel, prezentă în următoarea definiție:

Definiție 3 O regulă de asociere $A \Rightarrow B$ este interesantă dacă

$$lift(A \Rightarrow B) \geq 1$$

unde

$$lift(A \Rightarrow B) = \frac{sup(A \cup B)}{sup(A)sup(B)}$$

reprezintă diferența de nivel.

Ideea principală a acestei abordări este de a utiliza gradul de încredere și diferența de nivel în cadrul constrângerii referitoare la suportul minim pentru a elimina mulțimile de articole frecvente, care nu generează reguli interesante. În acest fel precizarea pragului *minsup* nu mai este necesară.

Pornind de la aceste definiții, în [15] se demonstrează următoarele rezultate, care au ca și scop găsirea unei metode de specificare a noii constrângeri:

Lema 1 Fie $A \cup B$ o mulțime frecventă astfel încât $A \cap B = \emptyset$. Se consideră, fără a se pierde din generalitate, că $a \in A$ este articolul pentru care are loc următoarea relație:

$$sup(a) = \min_{a_i \in A \cup B} sup(a_i)$$

În aceste condiții, regula de asociere $A \Rightarrow B$ este puternică dacă $ms(a) = sup(a) \times minconf$.

Lema 2 Fie I o mulțime de articole. Dacă suportul minim al fiecărui articol este definit astfel:

$$ms(a_i) = sup(a_i) \times \max_{a_j \in I - \{a_i\}} sup(a_j)$$

atunci orice regulă de asociere puternică $A \Rightarrow B$, cu $A, B \subset I$ și $A \cap B = \emptyset$ este interesantă, adică verifică în plus și condiția:

$$\frac{sup(A \cup B)}{sup(A)sup(B)} \geq 1$$

Așadar, în prima leamnă se enunță o modalitate de alegere a suportului minim per articol, modalitate ce asigură eliminarea mulțimilor frecvente ce nu generează reguli puternice. Mai departe, cea de-a doua leamnă ilustrează o metodă prin care se găsesc regulile interesante. Pentru a implementa rezultatele anterioare mulțimea inițială de articole trebuie să fie sortată crescător după suport.

Prin urmare, constrângerea de tip CLS (confidence-lift support constraint) se definește astfel:

$$ms(a_i) = \begin{cases} sup(a_i) \times \max\{minconf, sup(a_{i+1})\}, & \text{dacă } 1 \leq i \leq n - 1 \\ sup(a_i), & \text{dacă } i = n \end{cases} \quad (1)$$

unde n reprezintă numărul de articole.

Conform celor menționate mai sus procesul de extragere a regulilor de asociere se modifică după cum urmează [15]:

1. Se parcurge setul de tranzacții D pentru a obține suportul fiecărui articol și se calculează suportul minim conform ecuației 1. Se creează lista $L1$ reprezentând lista tuturor articolelor sortate crescător în funcție de suportul minim.
2. Se generează candidații de ordin 2 conform metodei apriori-gen specifică algoritmului Apriori original, iar pentru candidații de ordin mai mare se procedează astfel:
 - (a) se aplică metoda apriori-gen
 - (b) se elimină candidații ce conțin submulțimi pentru care articolul cu suportul minim coincide sau are același suport minim cu cel al candidatului, însă nu se află în lista anterioară de mulțimi frecvente

Trebuie specificat faptul că fiecare candidat reprezintă o listă de articole sortată crescător în funcție de suportul minim.

3. Dintre candidații obținuți se selectează doar cei care verifică următoarea relație:

$$\text{sup}(A) \geq \text{ms}(A[1])$$

unde A reprezintă candidatul, iar $A[1]$ este primul articol al candidatului A .

Prin urmare, se selectează doar candidații al căror suport este mai mare decât suportul minim al primului articol al candidatului. Acest lucru rezultă din definiția suportului minim per articol și din lemele prezentate anterior.

4. După obținerea celor mai frecvente mulțimi de articole se generează regulile de asociere care respectă constrângerea de încredere.

3 O nouă abordare a algoritmului Apriori

3.1 Modificarea algoritmului Apriori pentru generarea de rating-uri

În ceea ce urmează vom prezenta o nouă modalitate de a furniza recomandări, pornind de la algoritmul Apriori.

În primul rând, pentru a putea face acest lucru este important să se fixeze modul de alegere a tranzacțiilor, deoarece pe baza acestora se vor obține și regulile de asociere. În cazul recomandărilor, se presupune faptul că fiecare utilizator a asociat anumitor articole niște rating-uri. În această situație există două modalități de a oferi recomandări utilizatorilor:

1. Se generează reguli ce evidențiază asocierile dintre utilizatori
2. Se generează reguli pentru asocierile dintre articole

Însă, având în vedere faptul că probabilitatea evenimentului de apariție a unui nou utilizator este mai mare decât cea a introducerii unui nou articol se preferă cea de-a doua variantă. În acest fel execuția algoritmului nu trebuie repetată foarte des.

În general, o tranzacție conține lista de articole pentru care un utilizator a precizat rating-uri. Pentru a facilita metoda de calcul a suportului, vom considera, în abordarea propusă, că fiecare articol are atașată lista de utilizatori care au precizat rating-uri pentru articolul respectiv. În acest fel, nu mai trebuie parcurs tot setul de date pentru a calcula suportul unei mulțimi, ci este suficient să se ia în considerare doar articolele, din care este formată mulțimea.

Având stabilit punctul de pornire al algoritmului, putem trece mai departe la pașii efectivi de obținere a recomandărilor.

După cum am precizat anterior, algoritmul introdus în această lucrare se bazează pe modelul prezentat în [15]. Cu toate că versiunea algoritmului Apriori ilustrată de Wen-Yang Lin oferă posibilitatea de a reduce numărul de constante furnizate de utilizator, se obțin mult prea multe reguli, care utilizate în procesul de recomandare micșorează performanța acestuia.

Din această cauză propunem înlocuirea pasului 3 cu următorul:

- 3'. Dintre candidații obținuți se selectează doar cei care au suportul mai mare decât media suporturilor minime ale articolelor din care sunt formați.

Se poate observa cu ușurință, faptul că mărirând pragul de selecție a celor mai frecvente mulțimi, numărul de reguli se micșorează, iar rezultatele precizate anterior își păstrează veridicitatea. Acest lucru se întâmplă datorită faptului că, prin creșterea valorii pragului, regulile obținute rămân tot interesante.

În plus, vom considera doar regulile care au partea de consecvent formată dintr-un singur articol. În acest fel se reduce timpul de execuție al algoritmului și nu există confuzii în momentul realizării recomandărilor.

Un alt element de noutate prezentat în această lucrare este partea de predicție a rating-urilor pentru articolele recomandate. Pentru a realiza acest lucru am folosit regresia liniară cu metoda celor mai mici pătrate astfel:

Pentru fiecare regulă rezultată în urma execuției algoritmului Apriori modificat, se parcurg tranzacțiile și se selectează doar cele ce conțin articolele regulii, atât cele din antecedent, cât și cele din consecvent. Pornind de la aceste tranzacții se folosește regresia liniară cu metoda celor mai mici pătrate ([6]) pentru a se obține o dreaptă de regresie corespunzătoare fiecărei reguli. Regulile pentru care nu există o astfel de dreaptă sunt eliminate. Apoi, rezultatele obținute sunt utilizate pentru predicția rating-ului articolului din consecventul regulii. În realizarea predicției se folosește rating-ul dat de utilizatorul curent pentru articolul din antecedent.

În continuare vom prezenta un exemplu prin care se ilustrează modul de predicție a rating-urilor.

Exemplu 1 Presupunem că în urma aplicării algoritmului, printre regulile rezultate se află și următoarele:

$$a \Rightarrow c \quad d \Rightarrow e \quad (2)$$

și dorim să furnizăm recomandări unui utilizator care a precizat rating-urile:

$$a \text{ cu rating-ul } 5, \quad b \text{ cu rating-ul } 3, \quad d \text{ cu rating-ul } 4 \quad (3)$$

După cum se poate observa, atât prima cât și a doua regulă au antecedentul printre articolele pentru care utilizatorul a dat rating-uri. Prin urmare, rămâne să estimăm rating-urile ce ar fi date de utilizator pentru filmele c și e , care se află în consecventul celor două reguli. Pentru a putea face acest lucru trebuie parcurse toate tranzacțiile din baza de date și găsite acele tranzacții în care sunt date rating-uri pentru articolele din cele două reguli. Acest lucru se poate face ușor prin memorarea în cadrul fiecărei reguli a unei liste a utilizatorilor care au precizat rating-uri pentru toate articolele regulii. Procedând astfel parcurgerea întregii baze de date nu mai este necesară. Presupunem că în tranzacțiile obținute utilizatorii au dat următoarele rating-uri:

$$\begin{array}{llll} a \text{ cu rating-ul } 5 & c \text{ cu rating-ul } 4, & a \text{ cu rating-ul } 3 & c \text{ cu rating-ul } 5 \\ a \text{ cu rating-ul } 5 & c \text{ cu rating-ul } 3, & d \text{ cu rating-ul } 4 & e \text{ cu rating-ul } 4 \\ d \text{ cu rating-ul } 3 & e \text{ cu rating-ul } 4, & d \text{ cu rating-ul } 2 & e \text{ cu rating-ul } 5 \\ d \text{ cu rating-ul } 3 & e \text{ cu rating-ul } 3 & & \end{array} \quad (4)$$

Aplicând regresia liniară cu metoda celor mai mici pătrate pentru

$$X = (5, 3, 5)^t \quad \text{și} \quad Y = (4, 5, 3)^t \quad (5)$$

se obține dreapta de regresie ce va fi utilizată pentru predicția rating-urilor în cazul primei reguli. Valorile obținute pe baza dreptei de regresie sunt rotunjite la cel mai apropiat întreg

Similar se procedează și pentru a doua regulă pentru:

$$X = (4, 3, 2, 3)^t \quad \text{și} \quad Y = (4, 4, 5, 3)^t \quad (6)$$

În final se obține rating-ul 3.5 pentru c și 3.5 pentru e .

În cazul în care pentru același utilizator există reguli care deși au antecedente diferite au același articol în consecvent, pentru estimarea rating-ului articolului din consecvent se calculează media ponderată dintre rating-urile obținute per regulă și gradul de încredere al regulilor, dedus prin algoritmul Apriori.

După ce s-a realizat și acest pas se trece printr-o etapă de validare, descrisă în secțiunea 3.2.

În final, la pasul 7 se parcurge lista utilizatorilor pentru care se dorește a se furniza recomandări și se caută regulile pentru care articolele din antecedent se găsesc printre articolele pentru care utilizatorii au precizat rating-uri. Odată găsite regulile corespunzătoare fiecărui utilizator se recomandă articolele aflate în consecventul lor.

Întregul proces prezentat anterior este schițat în pseudocodul următor:

```

procedure C[k]-gen(L[k-1])
begin
  C[k]=apriori-gen(L[k-1]);
  for each itemset A=<a[1],a[2],...,a[k]> in C[k] do

```

```

    for each (k-1)-subset  $A' = \langle a[1'], a[2'], \dots, a[(k-1)'] \rangle$  of A do
        if  $a[1] = a[1']$  or  $ms(a[1]) = ms(a[1'])$  then
            if  $A'$  not in  $L[k-1]$  then delete A from  $C[k]$ ;
end;

procedure aprioriCLS(D, minconf)
begin
    compute  $ms(a)$  for all  $a$  in I; /* compute the minimum support for all items in I */
     $L[1] = \text{sort}(I)$ ; /* sort all items according to their minimum support */
     $k = 2$ ;
    while ( $L[k]$  not null)
        begin
            if  $k = 2$  then  $C[2] = \text{apriori-gen}(L[1])$ ;
            else  $C[k] = C[k] - \text{gen}(L[k-1])$ ;
            for each transaction  $t$  in D do
                begin
                     $C[t] = \text{subset}(C[k], t)$ ;
                    for each candidate  $A$  in  $C[t]$  do
                        increase the count of  $A$ ;
                    end
                end
             $L[k] = \{A \text{ in } C[k] \mid \text{sup}(A) \text{ is greater or equal to the average of}$ 
                the item's minimum support $\}$ ;
             $k++$ ;
        end;
    return  $L = \text{the union of all } L[k]$ ;
end;

procedure generateRules(L, minconf)
begin
    R is an empty set of rules;
    for each frequent itemset  $l$  in L do
        for each nonempty subset  $s$  of  $l$  do
            if  $\text{sup}(l) / \text{sup}(s) > \text{minconf}$  then
                we add the rule ' $s \Rightarrow l - s$ ' to R;
    return R;
end;

```

Prin intermediul procedurilor prezentate anterior se obțin regulile folosite în partea de recomandare. Pseudocodul asociat procesului de recomandare este dat mai jos.

```

procedure calculateRuleRegressionLine(r)
begin
    find all transactions containing the rule;
    use linear regression with least squares to obtain the separation line  $d$ ;
    return  $d$ ;
end;

procedure getRecommendations(user, articles, R)
begin
    for each rule  $r$  in R do
        for each rated article item in articles do
            if ( $r.\text{antecedent} = \text{item}$ )
                begin

```

```

    d=calculateRuleRegressionLine(r);
    recommend item with rating d[r.antecedentRating];
end;
end;

```

Trebuie specificat faptul că în pseudocodul prezentat nu se face referire la partea în care se obțin valorile erorilor medii pătratice pentru fiecare regulă, valori necesare eliminării regulilor care nu oferă rezultate suficient de bune.

3.2 Alegerea valorilor parametrilor prin validare

În problemele ce presupun determinarea unor modele este nevoie de precizarea de valori adecvate pentru parametrii acestora. Principalul obiectiv este de a ajunge la parametri care să dea cele mai bune rezultate pentru date noi. Performanța pe setul de antrenare nu este un indicator bun pentru puterea de predicție a unui astfel de model, datorită posibilității de a ajunge la overfitting pe setul de date. Dacă datele sunt în cantitate mare, atunci o metodă este de a folosi o parte din ele pentru a face antrenarea, iar pe un set independent se face evaluarea performanței modelului. Se oferă astfel un criteriu statistic prin care se aleg cele mai potrivite valori pentru parametri.

Se pot considera următorii 2 parametri: *minconf* și numărul de articole din antecedentul regulii. Eliminarea parametrului *minsup* din algoritmul Apriori original este motivată de rezultatele prezentate în secțiunea 2.2. Pentru al doilea parametru, în experimentele efectuate numărul de articole din antecedentul regulii a fost considerat pe rând 1 și 2. Diferențele dintre rezultatele obținute pe cele două cazuri nu au fost majore, fapt pentru care vom detalia doar situația și rezultatele pentru cazul regulilor cu un singur element în antecedent.

Totodată, setul de validare poate fi folosit pentru a decide subsetul de reguli care se folosește efectiv pentru predicție, astfel: se calculează pentru setul de validare eroarea medie pătratică pentru fiecare regulă. Apoi, lista regulilor este sortată crescător după această eroare, iar jumătate din regulile cu eroare mare sunt eliminate. În acest fel, se face o triere a regulilor obținute pentru a asigura calitatea recomandărilor furnizate. Eliminarea regulilor se face după etapa în care se determină valoarea optimă pentru pragul *minconf*, chiar înainte de etapa de testare.

Inițial, setul de date este divizat în 20% date de testare, pe baza cărora se dau valorile raportate în secțiunea de rezultate experimentale. Restul de date constituie mulțimea pe care se face antrenare și validare. Pentru a determina o valoare optimă pentru *minconf*, setul de date de antrenare și validare este împărțit conform metodei *k*-fold cross validation cu $k = 10$. Pe rând, fiecare din cele 10 partiții este folosită pentru validare iar cele 9 rămase pentru antrenare. La fiecare pas se calculează eroarea medie pătratică obținută pe setul de validare. În final se realizează o medie a rezultatelor obținute în cele 10 situații, în acest fel reducându-se variabilitatea estimării. Prin această metodă se determină valoarea optimă pentru pragul *minconf*, eliminându-se necesitatea de a “ghici” valoarea potrivită. Aceasta este unul din punctele nevralgice ale multor lucrări ce pornesc de la algoritmul Apriori, valorile pentru parametri fie dându-se de către autori fără a arăta cum au fost alese, fie raportându-se rezultatele pentru mai multe valori ale parametrilor, fără a mai avea un criteriu care să dea unicul model ce se testează.

4 Rezultate experimentale

În această secțiune sunt descrise rezultatele obținute prin compararea performanțelor algoritmului prezentat anterior în raport un alți algoritmi folosiți în procesul de recomandare.

În experimentele efectuate am folosit un setul de date public MovieLens [16], care conține 100.000 de rating-uri date de 943 de utilizatori pentru 1682 de filme. Rating-urile reprezintă numerele întregi de la 1 la 5.

După alegerea valorii celei mai bune pentru *minconf* prin 10-fold cross validation, se consideră seturile de antrenare și validare astfel: 30% din datele rămase după extragerea setului de testare constituie setul de antrenare, iar restul datelor formează setul de validare. Acest pas este utilizat pentru a putea reduce numărul de reguli, prin calcularea erorii medii pătratice per regulă pe setul de validare.

Una dintre cele mai populare metode de evaluare folosite în cadrul inteligenței artificiale și nu numai, este calculul erorii pătratice (RMSE) definită ca:

$$RMSE = \sqrt{\frac{\sum_{i=1}^n (x_{1,i} - x_{2,i})^2}{n}}$$

unde $x_{1,i}$ reprezintă rating-ul dat de utilizator și $x_{2,i}$ reprezintă valoarea obținută în urma procesului de predicție, valoare care este rotunjită la cel mai apropiat întreg.

În urma procesului de validare aplicat algoritmului prezentat în această lucrare s-au obținut următoarele rezultate pentru *minconf*:

Table 1: Rezultatele obținute prin cross-validation pentru pragul *minconf*

minconf	average(RMSE)	average($\tau(\lambda)$)
0.7	0.93099	1.00585
0.75	0.92216	1.04964
0.8	0.90569	1.15677

În acest caz funcția τ reprezintă suma dintre eroarea medie pătratică și o funcție de forma λ/n . n constituie numărul de reguli care au putut fi folosite pentru a da recomandări utilizatorilor din seturile de validare, iar λ a fost ales 10. Așadar funcția τ arată astfel:

$$\tau(\lambda) = RMSE + \frac{\lambda}{n} \quad (7)$$

Factorul λ/n controlează numărul de reguli pentru care se calculează eroarea pătratică medie; se favorizează astfel situațiile în care numărul de reguli pe baza cărui se calculează eroarea este mare. Motivul este că un set mic de reguli poate să ducă la o eroare mică, dar puterea predictivă a setului este redusă la etapa de testare.

Se poate observa că cele mai bune valori ale măsurilor de testare se obțin pentru *minconf*=0.7. Prin urmare, în experimentele viitoare se va folosi această valoare.

Tot pe baza metodei cross validation s-au testat valorile parametrului k pentru algoritmul k-NN și s-au obținut următoarele valori:

Table 2: Rezultatele obținute prin cross-validation pentru parametrul k

k	average(RMSE)	average(τ)
50	1.42022	1.44972
100	1.42888	1.45332
200	1.32193	1.34334
300	1.15952	1.17841

Din tabelul 2 se poate vedea că cele mai bune rezultate se obțin pentru $k = 300$ de vecini.

Similar s-a procedat și pentru algoritmul FARAMS ([11]) la care s-a adăugat partea de regresie liniară pentru a putea compara rezultatele. De această dată s-au luat în considerare valori atât pentru pragul *minconf* cât și pentru *minsup*. Astfel, deși algoritmul prezentat în [11], folosește în locul pragului *minsup*, un alt prag în care se specifică numărul de reguli ce trebuie obținute, am preferat această abordare, deoarece diferențele nu sunt semnificative. Acestea pot fi observate în tabelul 3.

În experimentele viitoare vom utiliza deci *minconf*=0.2 și *minsup*=0.1 pentru algoritmul FARAMS cu regresie liniară.

În ceea ce urmează vom ilustra rezultatele comparative obținute pe algoritmi k-NN, FARAMS și algoritmul introdus în lucrarea de față, utilizând valorile parametrilor precizate anterior. Rezultatele sunt date în tabelul 4.

Table 3: Rezultatele obținute prin cross-validation pentru *minconf* și *minsup*, pentru FARAMS.

minconf	minsup	average(RMSE)	average($\tau(\lambda)$)
0.2	0.1	0.99457	1.03441
0.2	0.2	1.07865	1.17560
0.2	0.3	1.0052	1.31209
0.3	0.1	1.07689	1.16019
0.3	0.2	1.19308	1.08989
0.3	0.3	1.31383	1.00636
0.4	0.1	1.15917	1.05750
0.4	0.2	1.20020	1.06060
0.4	0.3	1.31455	1.00343

Table 4: Rezultatele comparative

algoritm	RMSE
k-NN	1.16190
FARAMS cu regresie liniară	0.97511
algoritmul nou introdus	0.93122

Prin urmare, se poate observa o îmbunătățire a rezultatelor obținute cu noul algoritm atât față de algoritmul k-NN, cât și față de algoritmul FARAMS cu regresie liniară.

Implementarea aplicației este făcută în limbajul C#, folosind platforma .NET Framework 3.5 SP1; baza de date de filme, utilizatori și rating-uri este accesată prin intermediul lui SQL Server 2005 Express Edition, iar interfața utilizator este realizată în ASP.NET 3.5. Sistemul permite unui utilizator care a dat anterior niște rating-uri să vizualizeze alte filme, în ordinea descrescătoare a rating-urilor estimate de către aplicație.

5 Concluzii

Scopul acestei lucrări a fost de a propune un nou model, prin intermediul căruia să se ofere posibile soluții problemelor apărute în implementarea algoritmului Apriori. De asemenea s-a dorit să se realizeze o extindere a modelului original, în direcția evaluării de rating, necesară în momentul utilizării algoritmului pentru sistemele de recomandări.

Pornind de la articolele deja existente pe această temă, am observat câteva dintre problemele cu care algoritmi de recomandări se confruntă și am încercat să oferim o soluție viabilă în acest sens.

Spre deosebire de majoritatea algoritmilor de extragere a regulilor de asociere, în care utilizatorul este nevoit să precizeze valori pentru parametri, precum suportul minim, în varianta furnizată în această lucrare problema a fost evitată prin introducerea unui prag ce se calculează automat pe parcursul execuției algoritmului.

O altă îmbunătățire adusă algoritmului constă în reducerea numărului de reguli obținute, prin impunerea condiției ca fiecare regulă să aibă un singur element în consecvent și maximum două elemente în antecedent. În plus, regulile sunt eliminate și pe baza erorii medii pătratice obținute pe setul de validare. Se măsoară astfel numărul de calcule necesare, fără a se sacrifica din performanța algoritmului.

Ceea ce trebuie, de asemenea, specificat este faptul ca timpul de obținere a suportului unei reguli poate fi îmbunătățit prin utilizarea pentru fiecare articol a unei liste ce conține utilizatorii care și-au exprimat părerea referitoare la articolul în cauză.

Nu trebuie însă neglijată importanța valorii confidenței minime în obținerea unor reguli optime. În cazul de față, această valoare a fost calculată pe baza unor teste pe seturi diferite de validare. Cu toate acestea o posibilă direcție viitoare ar fi găsirea unei metode de înlocuire a acestei valori.

În concluzie, algoritmul prezentat oferă numeroase avantaje, comparativ cu alte versiuni ale algoritmilor de recomanări.

Bibliografie

- [1] ***, *The Netflix Prize Rules*. <http://www.netflixprize.com/rules>
- [2] Burke R, Knowledge-based Recommender Systems. *Encyclopedia of Library and Information Systems*, Vol. 69, Supplement 32. New York: Marcel Dekker.
- [3] Shardanand U., Maes P., *Social Information Filtering: Algorithms for Automating 'Word of Mouth'*, Proceedings of ACM CHI'95 Conference on Human Factors in Computing Systems, May 7-11, Denver, Colorado
- [4] Toby Segaran, *Programming Collective Intelligence* editura O'Reilly, 2007
- [5] Haralambos Marmanis, Dmitry Babenko *Algorithms of the Intelligent Web*, Manning Publications Co., 2009
- [6] Trevor Hastie, Robert Tibshirani, Jerome Friedman, *Elements of Statistical Learning*, Stanford, California, 2008
- [7] Richard O. Duda, Peter E. Hart, David G. Stork, *Pattern Classification*, Wiley Publishing, 2000
- [8] D. Billsus, M.J. Pazzani *Learning Collaborative Information Filters Proc of the fifteenth International Conference on Machine Learning* Wisconsin, Morgan Kaufmann Publishers
- [9] C. Kim, J. Kim, *A Recommendation Algorithm Using Multi-level Association Rules*. Proceeding of the IEEE/WIC International Conference on Web Intelligence, October 13-17, Halifax, Canada
- [10] W. Lin, S.A. Alvarez, C. Ruiz, *Efficient Adaptive-Support Association Rule Mining for Recommender Systems.*, *Data Mining and Knowledge Discovery*
- [11] Cane Wing-ki Leung, Stephen Chi-fai Chan, Fu-lai Chung, *A Collaborative Filtering Framework Based on Fuzzy Association Rules and Multiple-Level Similarity*. Knowledge and Information Systems
- [12] R. Agrawal, R. Srikant, *Fast Algorithms for Mining Association Rules*. Proceedings of the 20th International Conference on Very Large Databases, September 1994, Santiago de Chile, Chile
- [13] Xindong Wu, Vipin Kumar *The Top Ten Algorithms in Data Mining*. Data Mining and Knowledge Discovery Series. CRC Press
- [14] Michael Berry, Gordon Linoff, *Data Mining Techniques For Marketing Sales And Customer Relationship Management* Wiley Publishing, 2004
- [15] Wen-Yang Lin, Ming-Cheng Tseng *Automated support specification for efficient mining of interesting association rules*
- [16] ***, *MovieLens Data Sets*. <http://www.grouplens.org/node/73>

VÎRNĂ Claudia
Universitatea "Transilvania"
Facultatea de Matematică și In-
formatică
Bulevardul Iuliu Maniu nr. 50,
Braşov
ROMÂNIA
E-mail:
virna.claudia@gmail.com

**Sesiunea Națională de Comunicări Științifice a Studenților
"Imaginație, Creativitate, Design, Dezvoltare"
Editia a II-a, Sibiu – România, 2010**

PARTEA 2

Secțiunea dedicată elevilor

Aplicații grafice în C++

Diana Nastase, Adina Gaja, Claudiu Bruda
Coordonator: prof. Monica Oancea

Abstract

This project aims to present more problems related to computer-intensive curriculum, XIth grade . We will present programming techniques Divide et impera, backtracking, and applications with simple linear linked lists and circular double linked lists. In the context of programming in Borland C++, advanced programming techniques require hard work, many lines of code and text mode display results do not reflect the amount of work.. To underline the results of the problem we resorted to posting the output in graphic mode using graphics.h library. With the help of colors, special fonts and effects, applications of the techniques presented above can be presented in a more attractive manner. We specify that work in graphics mode C++ is not included in the curriculum of high school, but under the guidance of our teacher we studied the graphics library's functions and tried to solve the proposed problems graphically also.

1 Introducere

Lucrarea isi propune sa prezinte mai multe probleme ce tin de programa de informatica-intensiv, clasa a XI-a. Se vor prezenta tehnicile de programare Divide-et-impera, Backtracking, si aplicatii cu liste liniare simplu înlănțuite și circulare dublu inlantuite.

In contextul programarii in Borland C++, aplicarea tehnicilor de programare complexe presupune o munca laborioasa, multe linii de cod, iar modul text de afisare a rezultatelor nu reflecta indeajuns munca depusa.

Pentru a evidientia rezultatele problemelor am apelat la afisarea in modul grafic cu ajutorul bibliotecii graphics.h.

Astfel cu ajutorul culorilor, fonturilor speciale se pot prezenta aplicatii la tehnicile prezentate mai sus intr-un mod atractiv.

Specificam ca lucrul in modul grafic C++ nu este inclus in programa de liceu, dar sub indrumarea d-nei profesoare am studiat functiile bibliotecii graphics si am incercat sa rezolvam problemele propuse si in mod grafic.

2 Noțiuni teoretice

2.1. Metoda Backtracking este exemplificată prin:

- problema steagurilor;

Se dau N culori. Sa se genereze toate steagurile cu trei culori distincte avand la mijloc doar una din ultimele doua culori citite.

- problema cuburilor;

Fiind date n cuburi etichetate de la 1 la n , de laturi L_i si culori c_i , $1 \leq i \leq n$, sa se afiseze toate turnurile de h cuburi care se pot forma, astfel incat cuburile din turn sa aiba laturile in ordine descrescatoare, iar culorile cuburilor alaturate sa fie diferite.

-problema damelor;

*Fiind o tabla de sah cu dimensiunea $n*n$, se cer toate solutiile de aranjare a n dame, astfel incat sa nu se afle doua dame pe aceiasi linie, coloana sau diagonala (damele sa nu se atace reciproc).*

2.2 Metoda Divide-et-Impera

- problema Turnurilor din Hanoi;

Se dau trei tije simbolizate prin a, b, c . Pe tija a se gasesc discuri de diametre diferite, asezate in ordine descrescatoare a diametrelor privite de jos in sus. Se cere sa se mute discurile de pe tija a pe tija b utilizand ca tija intermediara tija c , respectand urmatoarele reguli:

- la fiecare pas se muta un singur disc
- nu este permis sa se aseze un disc cu diametrul mai mare peste un disc cu diametrul mai mic

- Fulgul lui Koch pentru un triunghi echilateral;

Se considera un triunghi echilateral. Fiecare latura a sa se transforma astfel incat sa se imparta in trei segmente congruente, se elimina segmentul din mijloc si se construiesc deasupra un triunghi echilateral. Fiecare latura a acestui poligon se transforma din nou, dupa aceeași regula. Se sa se vizualizeze figura obtinuta dupa $1s$ pasi.

- Fractali –Arborele

Se da un segment AB , cu ajutorul acestuia se construiesc un arbore. Lungimea fiecărei ramuri este $1/3$ din lungimea initiala a segmentului. Fiecare latura se transformă in mod asemanator. Se cere sa se vizualizeze figura astfel rezultata, dupa $1s$ transformari.

2.3 Liste liniare

- problema Joc de cărți-Război;

Fiecarui jucator i se vor distribui aleator 16 carti numerotate de la 1 la 8. Jucatorii vor intoarce cate o carte de deasupra mini-pachetului. Jucatorul cu cartea cea mai mare va lua cartile si le va pune sub cartile sale, acestea urmand a fi repuse in joc. In caz de egalitate numerica, jucatorii vor intoarce un numar de carti egal cu numerele cartilor initiale. Jucatorul cu cea mai carte dupa razboi ia toate cartile puse in joc. Pierde jucatorul care ramane fara carti.

- problema Seifului-aplicatie la listă dublu înlănțuită circulară

Se dau n numere dispuse intr-o lista circulara dublu inlantuita. Din fisierul de intrare se citeste o secventa codificata (5d 2s 4d 1s) ce reprezinta succesiunea de rotiri stanga/dreapta necesare pentru a deschide seiful. Sa se afle codul de acces al seifului.

3 Codul sursă a programului

```
#include <iostream.h>#include <math.h>#include <conio.h>#include <stdlib.h>#include <graphics.h>
#include <string.h>#include <dos.h>#include <time.h>
struct nod { int t; int cl; nod *urm; };
nod *c1, *c2, *c3, *ul1, *ul2, *ul3, d1, d2; int f[9],dly=1000, n1, n2;
void ad(nod *&c, nod car, nod *&ul)
{ nod*q;q=new nod; q->t=car.t; q->cl=car.cl; q->urm=NULL;
  if(c==NULL) { c=q; ul=q;}
  else {ul->urm = q; ul=q;}
  if (c==c1) n1++; if (c==c2) n2++;}
void distribuie_carti(nod *&c1, nod *&c2)
{ int ct=0, semn=1; nod x; c1=NULL; c2=NULL; time_t t; srand((unsigned) time(&t));
  while(ct<32)
  { x.t=1+rand()%8;
    if(f[x.t]<4) { f[x.t]++; ct++;x.cl=f[x.t]+2;if(semn>0) ad(c1,x, ul1);else ad(c2, x, ul2);semn=semn*(-1);}
  }
  nod st(nod*&c)
  { nod*x;x.t=c->t; x.cl=c->cl; q=c; c=c->urm; delete q; if (c==c1) n1--; if (c==c2) n2--;
    return x;
  }
  nod stj1()
  { nod x = st(c1);
    if (c1==NULL)
    { cleardevice(); settextstyle(TRIPLEX_FONT, 0, 6);setcolor(YELLOW);outtextxy(10,200,"Jucatorul 2 a
    castigat"); delay(4000); exit(0); } return x;
  }
  nod stj2()
  { nod x = st(c2);
    if (c2==NULL)
    { cleardevice(); settextstyle(TRIPLEX_FONT, 0, 6); setcolor(YELLOW);outtextxy(10,200,"Jucatorul 1 a
    castigat"); delay(4000); exit(0); } return x;
  }
  void parcurg(nod *prim)
  { cout<<"Lista este: \n";
    for( ;prim!=NULL; prim=prim->urm) cout<<"n:"<<prim->t<<" c:"<<prim->cl<<" "; cout<<endl;
  }
  void egalitate(nod d1, nod d2)
  { int num=d1.t; settextstyle(TRIPLEX_FONT, 0, 6); setcolor(YELLOW); outtextxy(200,20,"RAZBOI!");
    cout<<"\x7"; delay(500); ad(c3, d1, ul3); ad(c3, d2, ul3);
    while(num - 1 > 0)
    { nod carte1 = stj1();nod carte2 = stj2(); ad(c3, carte1, ul3); ad(c3, carte2, ul3); num--; }
    d1=stj1(); d2=stj2();
    if(d1.t<d2.t) { while(c3!=NULL) ad(c2, st(c3), ul2); ad(c2, d1, ul2); ad(c2, d2, ul2);
    settextstyle(TRIPLEX_FONT, 0, 4); setcolor(YELLOW); outtextxy(140,400,"Castiga jucatorul 2");
    delay(100); } else if(d1.t>d2.t) { while(c3!=NULL) ad(c1, st(c3), ul1); ad(c1, d2, ul1); ad(c1, d1, ul1);
    settextstyle(TRIPLEX_FONT, 0, 4); setcolor(YELLOW);outtextxy(140,400,"Castiga jucatorul 1");
    delay(1000); } else egalitate(d1, d2);
  }
  void afisare(nod cr1,nod cr2)
  { char s1[2],s2[2], nr1[2], nr2[2], *p;
    s1[0]=cr1.cl; s2[0]=cr2.cl; s1[1]=s2[1]=0; nr1[0]=cr1.t+'0'; nr2[0]=cr2.t+'0'; nr1[1]=nr2[1]=0;
    cleardevice(); setcolor(YELLOW); settextstyle(TRIPLEX_FONT, 0, 2); outtextxy(90,110,"Jucator 1");
    outtextxy(440,110,"Jucator 2"); //Juc 1
    setcolor(LIGHTBLUE); rectangle(60,150,200,350); setcolor(WHITE); floodfill(61,151,LIGHTBLUE);
```

```

if (cr1.cl<=4) setcolor(RED); else setcolor(BLACK);
settextstyle(DEFAULT_FONT, 0, 8); outtextxy(105,215,s1); settextstyle(DEFAULT_FONT, 0, 5);
outtextxy(62,152,nr1); outtextxy(162,312,nr1); itoa(n1,p,10); settextstyle(DEFAULT_FONT, 0, 3);
setcolor(YELLOW); outtextxy(110,370,p); //Juc 2
setcolor(LIGHTBLUE); rectangle(410,150,550,350); setcolor(WHITE); floodfill(411,151,LIGHTBLUE);
if (cr2.cl<=4) setcolor(RED); else setcolor(BLACK);
settextstyle(DEFAULT_FONT, 0, 8); outtextxy(460,215,s2); settextstyle(DEFAULT_FONT, 0, 5);
outtextxy(412,152,nr2); outtextxy(512,312,nr2); itoa(n2,p,10); settextstyle(DEFAULT_FONT, 0, 3);
setcolor(YELLOW); outtextxy(460,370,p);}
void reguli()
{ char s[]="          **** REGULI DE JOC ****\n\n"
  Fiecarui jucator i se vor distribui aleator 16 carti numerotate de la 1 la 8. Jucatorii vor intoarce cate o
  carte de deasupra mini-pachetului. Jucatorul cu cartea cea mai mare va lua cartile si le va pune sub
  cartile sale, acestea urmand a fi repuse in joc. In caz de egalitate numerica, jucatorii vor intoarce un
  numar de carti egal cu numerele cartilor initiale. Jucatorul cu cea mai carte dupa razboi ia toate
  cartile puse in joc. Pierde jucatorul care ramane fara carti.";
  int i,ct=0; for (i=0;i<strlen(s);i++) {cout<<s[i]; if (kbhit())ct=1;if (ct==0)delay(50); }getch();
}
void main()
{ int gdriver = DETECT, gmode, errorcode;
  initgraph(&gdriver, &gmode, "");
  distribuire_carti(c1, c2);
  reguli(); getch();
  while(c1!=NULL && c2!=NULL)
  { d1=stj1(); d2=stj2(); afisare(d1,d2);
    if(d1.t<d2.t) { ad(c2, d1, ul2); ad(c2, d2, ul2); }
    else if(d1.t>d2.t) { ad(c1, d2, ul1); ad(c1, d1, ul1); }
    else { egalitate(d1, d2); } delay(dly);
    if (kbhit()) dly = 300; }
  getch();
}

```

Bibliografie

- [1] Tudor Sorin , Vlad Hutanu, *Manual de informatica intensiv cls. XI*,Bucuresti 2006.
- [2] Mariana Milosescu, *Manual informatica intensive*, Bucuresti 2006.
- [3] Carmen Popescu,,Monica Oancea, Georgeta Preda *Culegere de informatica pentru clasa a X-a si a XI-a ;Sibiu 2007.*
- [4] www.deviantart.com
- [5] www.yahoo.com

Diana Nastase
 Colegiul National "Gheorghe Lazar"
 XI- G Intensiv informatica
 Str. Gheorghe Lazar, nr.3
 Romania
 diana_n13@yahoo.ca

Adina_Gaja
 Colegiul National "Gheorghe Lazar"
 XI- G Intensiv informatica
 Str. Gheorghe Lazar, nr.3
 Romania
 adina_gaja@yahoo.com

Claudiu Bruda
 Colegiul National "Gheorghe Lazar"
 XI- G Intensiv informatica
 Str. Gheorghe Lazar, nr.3
 Romania
 claudiu725@yahoo.com

SWOOP – A P2P Application

Victor-Gabriel Savu, Andra-Florina Mureșanu
Coordonator: prof. Delilah Florea

Abstract

When trying to communicate online, people can use two different methods: either use a server based service or try out a peer to peer application. P2P raises a set of questions: where is the other person and how do I reach him? (DNS is hard to use when the other person has different IPs at different locations, NAT poses problems), how can you be sure that the person behind the IP is the one you want to talk to?

In order to figure out a way through which people can communicate with other people without using complicated IPs or ports, we have come up with a solution that implements P2P in the background and offers high level services to the user.

This application suits the regular costumer (who can chat and send files through SWOOP) as well as businesses, allowing them to build another application (only needing to implement OSI layers 6 and 7) based on the provided SWOOP services.

1 Introduction

In the attempt of simplifying the management and operations of servers within companies and offering in the same time an alternative to server based solutions to the end user, we have created an application that suits both businesses and regular Internet users, providing them with the opportunity to use a peer to peer system in a very simple manner.

In this paper we will describe the theoretical model on which SWOOP, our application, was built and its actual implementation.

The Gnutella protocol and all associated applications offer a similar functionality, but only at an elementary level, lacking basic authentication (and indirectly locating of a known user), security or any other services besides file-sharing. Thus, SWOOP provides a more complete feature set including the capacity to find a specific person using an advanced form of authentication system and security by making encrypted communications possible when required. The main characteristic of SWOOP is that it can be extended to suit the needs of virtually any type of user, because other programs can use its underlying systems to offer that specific needed feature.

Our paper is structured in 4 main parts. The first chapter describes the links that users form and

how they are propagated across the network. In the second part we explain the authentication and security system that is used by SWOOP. The third chapter contains the actual protocol used by the main application to communicate to other instances. Finally, the last part shows how SWOOP can be extended by other programs.

2 The Network

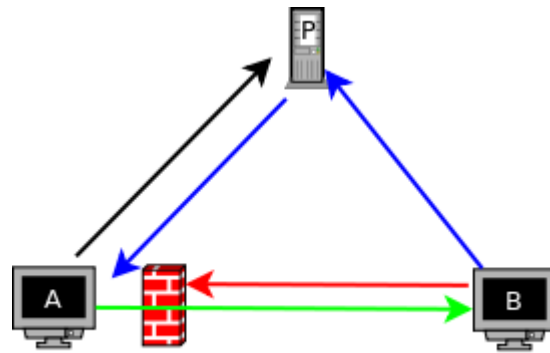
Definition 1 A Node is a running instance of the SWOOP application having an associated address consisting of an IP address and a port which identifies itself using a predetermined public key.

Definition 2 A link is a connection between two nodes.

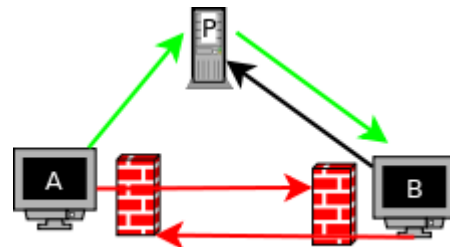
Nodes must be accessible from a remote address (port is open and accessible from the Internet) so that incoming links can be formed. The next subchapter defines the behavior when this condition is not met.

2.1 Proxy

The first case solved by a proxy is when only one node resides behind a firewall (A) that does not permit access, but the calling node (B) has an open connection. A notifies another node (P) that it should be accessed through it. P then becomes a proxy for A. When B is searching for A, P responds. B then sends a message to A through P so that A can connect to B forming a link.



When both nodes forming a link are behind a firewall, a full proxy is required. The SWOOP Application refuses such functionality by default because of the high bandwidth requirement, but some users will enable it. A full proxy must retransmit all messages between A and B.



2.2 Link discovery

In order for a node to form a link with another node the latter's address must be known. When the application is closed all connections are lost so a node must store a list of former addresses to be able to reenter the network. When a new connection is established the node updates its database of known addresses with the information received from the new node.

Nodes maintain the following information about known addresses:

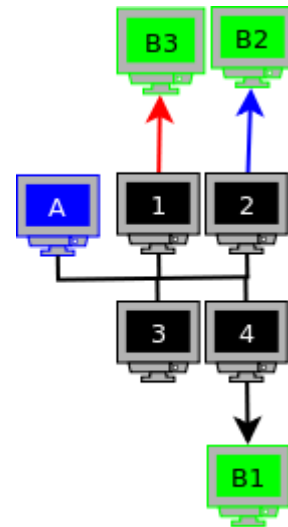
- live connections:** These connections are currently active so the addresses are up to date.
- recent connections:** The node has found a node at these addresses, the time the connection was lost is also recorded.
- learned connections:** The node has received these addresses from other nodes so it is uncertain of their validity. These are used as a last resort when all known recent connections are exhausted.

The address database contains a large number of records to make sure that a node always has someone to connect to.

2.3 Search

When looking for a specific node, the application firstly searches through the live connections. If it does not find a link to the node, it tries to create one. The method used is to locate the node among the recent or learned connections.

If all else fails, the node asks all its linked nodes to execute the same search and send back the results. For example, when **A** is searching for **B** and a link does not exist between them, **A** will call for **1**, **2**, **3** and **4** to search among their links. **1** returns a learned connection (the red arrow), **2** brings back a recent connection (the blue arrow) and **4** returns a live connection (the black arrow). This is why **A** will reach for the address it received from **4**.



3 Security

3.1 Methods

Swoop uses RSA public key cryptography to ensure the authentication of the nodes and the encryption of the messages when required. Symmetrical key cryptography cannot be used in this scenario because the secure sharing of the key is impossible.

3.2 Authentication

Each node is identified by its public key and authenticates itself during the beginning of a connection. Because of the 2048 bit key used it is very unlikely that a collision can appear. In this case however the private key is already compromised and both users must choose another key.

3.3 Encryption

Because of public key cryptography, node A can securely send any data to another node, B, knowing only B's public key. Nevertheless, encryption is processing-intensive and is disabled by default in most cases.

4 Protocol

All communication between the nodes is handled by the scala remote actors library. This offers a simple and reliable method to transport the high level data across the network.

The following messages are defined:

```
class Communication(time:Date)
class Message extends Communication(new Date())
```

These are the base classes for all communications between nodes.

```
case class End extends Message
case class Accept(to:Message) extends Message
```

```
case class Refuse(to:Message) extends Message
```

These are utility classes to signal choices.

```
case class TestConnect(port:Int,rand:Int) extends Message
case class TestResponce(rand:Int,youreaddress:Address) extends Message
```

These two classes are used by a node to determine if he has an open port.

```
case class Connect(me:PKey,you:Option[PKey],
    youreaddress:Address,myaddress:Option[Address],
    proxy:Boolean,sign:Option[Array[Byte]]) extends Message
```

This class will precede all communication between to nodes. Each one identifies itself and proves its identity by signing the same message and storing it in the sign field.

```
case class Encrypt extends Message
case class SendE(key:Option[PKey], message:Array[Byte]) extends Message
```

If a node requests encryption and the second one accepts all further messages will be encrypted and sent using the sendE class. The message field contains the serialized message in its encrypted form.

```
case class Proxy extends Message
case class ProxyResponce(address:Option[Address]) extends Message
case class ProxyFor(key: List[PKey]) extends Message
case class FullProxyRequest(to:Address,key:PKey) extends Message
case class CallRequest extends Message
case class SendS(key:Option[PKey], message:Message) extends Message
```

The situations in which a proxy is used are described in chapter 2. These are the classes that initialize the specific modes and enable communication.

```
class Connection(key:PKey,address:Address,last:Date)
case class ConnectionsRequest(all:Boolean) extends Message
case class CurrentConnections(who:List[Connection]) extends Message
case class MyRecentConnections(who:List[Connection]) extends Message
case class AllConnections(who:List[Connection]) extends Message
```

When a connection is established the two nodes share these classes on request to extend their databases. The CurrentConnections class is always sent.

```
case class Search(who:PKey,all:Boolean = false) extends Message
case class SearchReply(reply:Connection) extends Message
```

The above classes are used to implement search.

```
case class DataTransport(channel:Int,data:Array[Byte]) extends Message
case class OpenChannel(application:String,channel:Int) extends Message
```


Any application can open a connection to a remote node, SWOOP handling the multiplexing and negotiation.

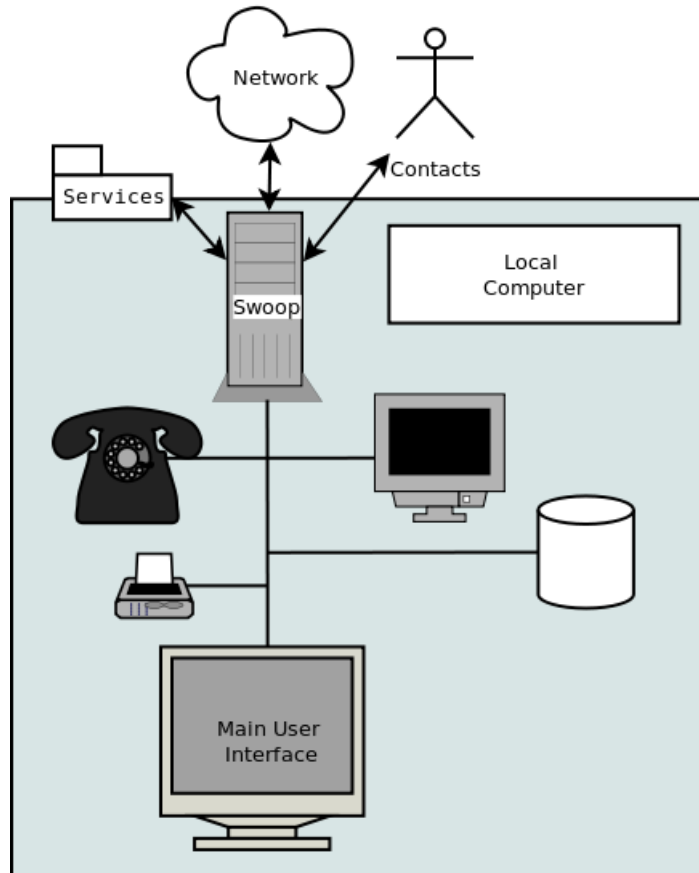
5 SWOOP

5.1 SWOOP service

SWOOP starts at system start-up, opens a port (by default 3325) and listens for a connection from the main interface. All communication is done using that socket.

The Main User Interface first sends an authentication packet that was predetermined and is known to both application and service. All commands for the server are written in Standard ECMA-262 ECMAScript Edition 3 (JavaScript) and are interpreted by the service using Rhino.

The server sends asynchronous messages to the interface using a symbol protocol, a two-byte code representing the type of user input required. The interface must take action upon that message and send an appropriate command (in JavaScript) back to the service.



5.2 Interfaces

SWOOP is a service that cannot be used without the Main User Interface. By accessing this interface you can control all aspects of SWOOP (for example its settings).

5.2.1 Main Interface

The main interface must implement three aspects:

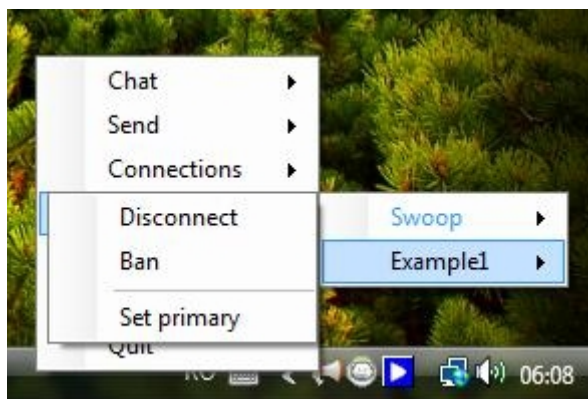
- interaction with the user (for example: "Do you want to continue the communication even if the other node refused encryption?")
- ability to edit settings and lists (Friends, Ignore, Ban)
- control over the other applications



The role of Main Interface can be taken over by any program connected to the service upon user input.

5.2.2 Secondary Interfaces

Secondary Interfaces use SWOOP for networking and offer additional functionality specifically requested or needed by the user.



5.3 Security for applications

SWOOP always keeps a port open so anyone on the local machine can connect to it. The application closes any connection that does not come from an unauthorized program or, if it is a new program, asks the user how to proceed.

6 Conclusions

SWOOP can be further developed to suit the needs of a large company whose employees from different departments would collaborate more effectively in providing feedback to each other. For example, a lot of useful documents that are available for the marketing department of a company could simply be transferred to the sales managers and help them elaborate a strategy to increase the sales of their products. This is also a way to lower the production costs, because there is no need for large datacenters to support their employees.

Furthermore, SWOOP and other peer to peer applications could one day replace the server client paradigm due to the rise in bandwidth available to the regular user.

References

- [1] Martin Odersky, Lex Spoon, Bill Venners, *Programming in Scala*, Artima Press, Mountain View, California, 2007
- [2] http://www9.limewire.com/developer/gnutella_protocol_0.4.pdf
- [3] https://developer.mozilla.org/en/Rhino_documentation
- [4] <http://tools.ietf.org/html/rfc3447>

SAVU Victor-Gabriel
C. N. "Samuel von Brukenthal"
Matematică-informatică, informatică intensiv
Piața Huet nr. 5, Sibiu
ROMÂNIA
E-mail: victorsavu3@gmail.com

MUREȘANU Andra-Florina
C. N. "Samuel von Brukenthal"
Matematică-informatică, informatică intensiv
Piața Huet nr. 5, Sibiu
ROMÂNIA
E-mail: andra.muresanu@gmail.com

LISTA DE AUTORI

- 1. ALEXE Iulian**
Universitatea "Lucian Blaga" din Sibiu
Facultatea de Științe
Informatică
Str. Dr. Ioan Rațiu, nr. 5-7, Sibiu
ROMÂNIA
E-mail: iulian.alexe@ulbsibiu.ro
- 2. BAN Adriana**
Universitatea "Lucian Blaga" din Sibiu
Facultatea de Științe
Str. Dr. Ioan Rațiu nr. 5-7
ROMÂNIA
E-mail: ban.adriana@yahoo.com
- 3. BOTA Florentin**
Universitatea „Lucian Blaga” din Sibiu
Facultatea de Științe
Informatica
str dr. Ioan Ratiu, nr 5-7, Sibiu
ROMÂNIA
E-mail: botaflorentin@yahoo.com
- 4. BRUDA Claudiu**
Colegiul National "Gheorghe Lazar"
XI- G Intensiv informatica
Str. Gheorghe Lazar, nr.3
Romania
E-mail: claudiu725@yahoo.com
- 5. BURCĂ-FLOREA Domnina**
Universitatea „Politehnica” din București
Calculatoare
Spl. Independenței Nr. 313, București
ROMANIA
E-mail: domnina.burca@gmail.com
- 6. CAPUZZO Francesco**
Universitatea Lucian Blaga
Facultatea de Științe
Informatică
Str. Dr. Ioan Rațiu, nr. 5-7, Sibiu
ROMÂNIA
E-mail: francesco.capuzzo@gmail.com
- 7. CICONE Luiza**
Universitatea Politehnică București
Calulatoare și tehnologia informației
Splaiul Independenței nr.313, București
ROMÂNIA
E-mail: luiza.cicone@rdslink.ro

- 8. CONSTANTINESCU Marius** Universitatea „Politehnica” din București
Calculatoare
Spl. Independenței Nr. 313, București
ROMANIA
E-mail: constantinescu.marius@gmail.com
- 9. CONSTANTINESCU Tudor** Universitatea Politehnica Bucuresti,
Facultatea de Inginerie în Limbi Straine
Splaiul Independentei 313,
Bucuresti
ROMANIA
E-mail: cttudor_kobe@yahoo.com
- 10. CRISTEA Diana** Universitatea "Lucian Blaga" Sibiu
Facultatea de Științe
Str. Dr. Ioan Rațiu nr. 5-7
ROMÂNIA
E-mail: diana.cristea25@yahoo.com
- 11. DODA Gheorghe** Universitatea Lucian Blaga
Facultatea de Științe
Informatica
Str. Dr. Ioan Rațiu, nr. 5-7, Sibiu
ROMÂNIA
E-mail: godlike_affairs@yahoo.com
- 12. DRAGOMIR Alexandra Elena** Universitatea Politehnica Bucuresti
Facultatea de Inginerie în Limbi Straine (FILS)
Electronica aplicata
Splaiul Independentei, 290
ROMANIA
E-mail: puttel_chermir@yahoo.com
- 13. DROBOTĂ Florin-Robert** Universitatea Transilvania Brasov
Informatică aplicată
Str. Iuliu Maniu, nr. 50, cod 500091, Brasov
ROMANIA
E-mail: robert.drobot@gmail.com
- 14. FLESTER Iulian** Universitatea Transilvania Brasov
Facultatea de Matematica-Informatica
Str.Iuliu Maniu,nr 50, Brasov
ROMANIA
E-mail: flester.iulian@gmail.com

- 15. GAJA Adina** Colegiul National "Gheorghe Lazar"
XI- G Intensiv informatica
Str. Gheorghe Lazar, nr.3
Romania
adina_gaja@yahoo.com
- 16. IVASCU Carina** Universitatea Transilvania Brasov
Facultatea de Matematica-Informatica
Str.Iuliu Maniu,nr 50, Brasov
ROMANIA
- 17. LAZAR Valentina** Universitatea „Lucian Blaga” din Sibiu
Facultatea de Științe
Informatica
Str. Ion Rațiu Nr.5-7, Sibiu, 550012, Sibiu
ROMANIA
E-mail: lyah_valy@yahoo.com
- 18. LUPESCU Grigore** FILS Politehnica Bucuresti
Computer Science, 2nd year
ROMANIA
E-mail: lupescu_grigore@hotmail.com
- 19. MORARIU Stelian** Universitatea Lucian Blaga
Facultatea de Științe
Informatica
Str. Dr. Ioan Rațiu, nr. 5-7, Sibiu
ROMÂNIA
E-mail: modev_st@yahoo.com
- 20. MUREȘANU Andra-Florina** C. N. "Samuel von Brukenthal"
Matematică-informatică, informatică intensiv
Piața Huet nr. 5, Sibiu
ROMÂNIA
E-mail: andra.muresanu@gmail.com
- 21. NASTASE Diana** Colegiul National "Gheorghe Lazar"
XI- G Intensiv informatica
Str. Gheorghe Lazar, nr.3
Romania
E-mail: diana_n13@yahoo.ca
- 22. NECHIFOR Laura** Universitatea Politehnica din Bucuresti
Electronica aplicata
Splaiul Independentei 313, Bucuresti
ROMANIA
E-mail: lauri_mari@yahoo.com

- 23. NECHIFOR Vasile Nicușor** Universitatea „Lucian Blaga”
Informatică
Str. dr. I. Ratiu, nr. 5-7, cod 550012, Sibiu
ROMANIA
E-mail: vasilenicusor@yahoo.com
- 24. NEGULICI Teona Daiana** Universitatea Politehnica din Bucuresti
Electronica aplicata
Splaiul Independentei 313, Bucuresti
ROMANIA
E-mail: teodaia@yahoo.com
- 25. OBANCEA Dragoș Iulian** Universitatea „Transilvania” din Brașov
Facultatea de Matematică și Informatică
Specializarea Informatică
Strada Iuliu Maniu, Nr. 50, Brașov
ROMÂNIA
E-mail: obancea_dragos@yahoo.com
- 26. PANDARU Raluca** Universitatea Transilvania Brasov
ROMANIA
E-mail: raluca_pandaru@yahoo.com
- 27. POPA Bogdan Constantin** Universitatea Transilvania
Facultatea de Matematica si Informatica
Specializarea Informatica Aplicata
Str. Iuliu Maniu, nr. 50, Cod postal: 500091, Brasov
ROMANIA
E-mail: bogdi@ymail.com
- 28. RADU Sorin Daniel** Universitatea „Lucian Blaga”
Informatică
Str. dr. I. Ratiu, nr. 5-7, cod 550012, Sibiu
ROMANIA
E-mail: radu_s_o_r_i_n@yahoo.com
- 29. ROMAN Cristina Elena** Universitatea Transilvania Brasov
Informatică aplicată
Str. Iuliu Maniu, nr. 50, cod 500091, Brasov
ROMANIA
E-mail: cri_roman@yahoo.com
- 30. RUSU Andrei** Universitatea Lucian Blaga, Sibiu
Facultatea de Științe, Sibiu
Str. Dr. Ion Ratiu, 5-7
ROMANIA
E-mail: rusu.andyl@gmail.com

- 31. SAVU Victor-Gabriel** C. N. “Samuel von Brukenthal”
Matematică-informatică, informatică intensiv
Piața Huet nr. 5, Sibiu
ROMÂNIA
E-mail: victorsavu3@gmail.com
- 32. STANCU Mihai** Universitatea „Lucian Blaga” din Sibiu
Facultatea de Științe
Specializarea Matematica-Informatică
Bd-ul. Victoriei, Nr. 10, Sibiu, 550024
ROMANIA
E-mail: stancu_meehigh@yahoo.com
- 33. STOICA Lucian** Universitatea „Lucian Blaga”, Sibiu
Master Tehnologia Informatiei
Str. Dr. I. Ratiu, Nr. 5-7
ROMANIA
E-mail: luci15ian@gmail.com
- 34. STOICESCU Monica** Universitatea Politehnica Bucuresti
Facultatea de Inginerie în Limbi Straine
Splaiul Independenței 313 Bucuresti
ROMANIA
E-mail: monica.stoicescu00@gmail.com
- 35. SZASZ Zsigmond-Attila** Universitatea Transilvania Brasov
Facultatea de Matematica-Informatica
Specializarea: Informatica
Iuliu Maniu 50, Brasov
ROMANIA
E-mail: zsigmond.szasz@xu.unitbv.ro
- 36. TAMASI Zoltan** Universitatea Transilvania Brasov
Facultatea de Matematica-Informatica
Specializarea: Informatica
Iuliu Maniu 50, Brasov
ROMANIA
E-mail: zoltan.tamasi@xu.unitbv.ro
- 37. VÎRNĂ Claudia** Universitatea Transilvania Brasov
Facultatea de Matematica-Informatica
Str.Iuliu Maniu,nr 50, Brasov
ROMANIA
E-mail: virma.claudia@gmail.com

38. VOLOSINCU Bogdan

Universitatea Lucian Blaga, Sibiu
Facultatea de Științe, Sibiu
Str. Dr. Ion Ratiu, 5-7
ROMANIA